

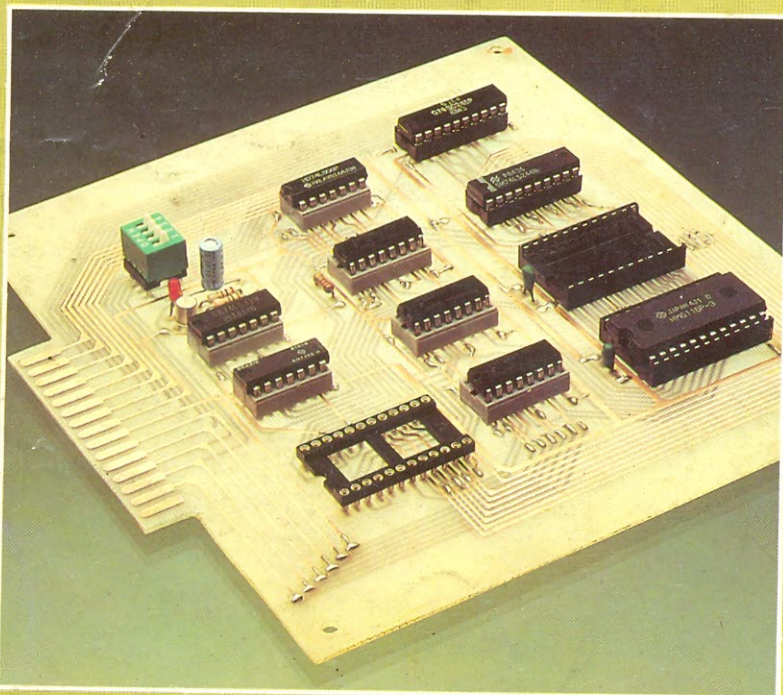
NOVA ELETRONICA

ANO IX — N.º 99 — MAIO/85 — Cr\$ 6.200

COMO PROJETAR

Nova série de projetos em eletrônica

NESTA EDIÇÃO: TRANSFORMADORES



PRÁTICA

*Temporizador universal
programável*

*Conheça os operacionais
através de circuitos práticos*

PY/PX

*Aprenda telegrafia
com seu micro*

SUPLEMENTOS ESPECIAIS

*Curso de Telefonia – 2.º fascículo
Tabela de preços de componentes*

**UM EMULADOR PARA
DEPURAR SEUS PROGRAMAS**

SOM EM ALTA FIDELIDADE

NOVIK para você montar

MIDRANGES

Nas frequências médias, localiza-se a parte nobre do espectro musical, como por exemplo a voz humana. As frequências são reproduzidas em alta-fidelidade, sem distorções ou desequilíbrios.



WOOFERS

Alta compliância. Soberba resposta dos transientes pelo seu bom projetado sistema magnético. Perfeito funcionamento em todos os níveis.

TWEETERS

De ampla dispersão angular. Agudos claros e suaves que se estendem além da faixa audível.



DIVISORES DE FREQUÊNCIA

Fabricados em duas versões: 2 ou 3 canais. mods.: ND2BR e ND3BR. Com perfeita regulagem, dispensam o ajuste manual. O máximo em qualidade.



“Os graves da Suspensão Acústica e a eficiência do Bass-Reflex”

SISTEMAS D.O.S.

DUTO ÓTIMAMENTE SINTONIZADO

Calculado por computador e aferido por instrumentos dos laboratórios e por técnicos em som da NOVIK

GRÁTIS!!

7 VALIOSOS PROJETOS DE 6" A 15" E DE 40 A 150W

Solicite no revendedor NOVIK ou escreva p/Cx. Postal 7483 - S. Paulo 1000.

A MAIOR POTÊNCIA EM ALTO-FALANTE

alto-falantes
NOVIK



EDITELE

EDITOR E DIRETOR RESPONSÁVEL

Leonardo Bellonzi

DIRETOR GERAL

Marino Lobello

NOVA ELETRÔNICA

Editor Técnico: Juliano Barsali

Redação: José Américo Dias, José Rubens Palma, Elisabeth Ng (secretária)

Colaboradores: Adolfo L. Júnior, Antonio Carlos Pascoal, Apollon Fanzeres, Arnaldo Megrich, Brasil Ramos Fernandes, Ciro J. V. Peixoto, Cláudio César Dias Baptista, David Marco Risnik, Francisco Bezerra Filho, João Antonio Zuffo, José Roberto S. Caetano, Márcia Hirth, Ruy Natividade, Walter Ullmann

PRODUÇÃO EDITORIAL

Sonia Aparecida da Silva

REVISÃO

Sueli A. Mazze Cerchiaro

DEPARTAMENTO DE ARTE

Diretora de Arte: Ethel Santaella Lopes

Chefe de Arte: Aristocles C. de Moura Lima

Assistentes: Marii Aparecida Rosa (desenhista), Sebastião Nogueira, Sueli Andreato, Wilson Roberto Thomaz

PRODUÇÃO GRÁFICA

Vagner Vizioli

DEPARTAMENTO COMERCIAL

Gerente Comercial: Ivan Jubert Guimarães

ASSINATURAS

Vera Lúcia Marques de Jesus

DEPARTAMENTO DE LIVROS

Gerente: Paulo Addair Daniel Filho

Tradutor Técnico: Júlio Amancio de Souza

DEPARTAMENTO DE PUBLICIDADE

São Paulo — SP — Tel.: (011) 532-1655

Rua Casa do Ator, nº 1060 — CEP 04546

Gerência Nacional: João Conte Filho

Secretária: Silvana Lopes Izzi

Contato: João Bosco Vieira de Camargo

Representantes:

Belo Horizonte — MG

REPUBLICAR LTDA. — Tel.: (031) 463-4666

Brasília — DF

REPUBLICAR LTDA. — Tel.: (061) 226-4784

Recife — PE

REPUBLICAR LTDA. — Tel.: (081) 221-1955

Rio de Janeiro — RJ

João Gonçalves Cardoso — Tel.: (021) 289-9200

Rio de Janeiro — RJ

REPUBLICAR LTDA. — Tel.: (021) 232-6893

Porto Alegre — RS

REPUBLICAR LTDA. — Tel.: (0512) 42-4065

ADMINISTRAÇÃO

Gerente: Mitie Tsuruda

Correspondentes: Brian Dance (Grã-Bretanha), Guido Forgnoni (Nova Iorque), Mário Magrone (Milão)

Composição: — A.M. - Produções Gráficas Ltda./ FOTOLITO — Priscor Ltda./ IMPRESSÃO — Cia. Litográfica Ypiranga./ **DISTRIBUIÇÃO** — DINAP — Distribuidora Nacional de Publicações.

NOVA ELETRÔNICA é uma publicação de propriedade da EDITELE — Editora Técnica Eletrônica Ltda. — Redação, Administração, e Publicidade: Rua Casa do Ator, 1060 — Telefones: 542-0602 (Assinaturas); 531-5468 (Administração); 532-1655 (Publicidade); 240-8305 (Redação) — CEP 04546 — Vila Olímpia

CAIXA POSTAL 30.141 — 01000 — S. PAULO, SP. REGISTRO N.º 9.949-77 — P. 153.

TIRAGEM DESTA EDIÇÃO: 40.000 EXEMPLARES

Todos os direitos reservados; proíbe-se a reprodução parcial ou total dos textos e ilustrações desta publicação, assim como traduções e adaptações, sob pena das sanções estabelecidas em lei. Os artigos publicados são de inteira responsabilidade de seus autores. É vedado o emprego dos circuitos em caráter industrial ou comercial, salvo com expressa autorização escrita dos Editores, sendo apenas permitido para aplicações didáticas ou docentes. Não assumimos nenhuma responsabilidade pelo uso de circuitos descritos e se os mesmos fazem parte de patentes. Em virtude de variações de qualidade e condições dos componentes, os Editores não se responsabilizam pelo não funcionamento ou desempenho deficiente dos dispositivos montados pelos leitores. Não se obriga a Revista, nem seus Editores, a nenhum tipo de assistência técnica nem comercial. **NÚMEROS ATRASADOS:** preço da última edição à venda. **ASSINATURAS:** os pedidos deverão ser acompanhados de cheque visado pagável em SÃO PAULO, em nome da EDITELE — Editora Técnica Eletrônica Ltda.

Sempre houve uma grande carência, no Brasil, de literatura especializada em projetos de circuitos eletrônicos. Essas informações podem ser encontradas de forma dispersa, em artigos de revista, ou de forma acadêmica, em livros e apostilas. No primeiro caso, a localização de um determinado assunto é uma tarefa trabalhosa; no segundo, é preciso abrir caminho num emaranhado de teorias e fórmulas, para achar o sumo da coisa.

Nada mais oportuno, então, do que reunir e ordenar essas informações, resumidas somente àquilo que “interessa”, para facilitar sua localização e, o que é mais importante, sua utilização. Vamos colocar isso em prática através de uma nova série de artigos de bancada — artigos curtos, “enxutos” e claros, ideais para quem quer aprender apenas o essencial ou fazer consultas rápidas. Essa é a filosofia da série “Como projetar”, que começa neste número.

Transformadores são o tema do primeiro artigo. Fomos buscar diversos autores e fontes para os próximos, que vão abordar osciladores, multivibradores, bobinas, amplificadores, entre muitos outros temas. Não perca nenhum artigo da série e envie sugestões, para que possamos direcioná-la de acordo com suas necessidades — dando prioridade a alguns temas, por exemplo, em detrimento de outros.

* * * * *

Existe coisa mais aborrecida do que desenvolver um programa com uma EPROM? A depuração quase sempre exige vá-

rias etapas de apagamento e reprogramação da memória — o que torna o serviço tedioso e chega a limitar a criatividade do programador. Porém, se você dispuser de um emulador e um micro de apoio, tudo se torna mais fácil e rápido, pois o programa é armazenado e corrigido em memórias RAM, num processo contínuo — e o programa final pode então ser diretamente gravado numa ROM, dispensando a etapa da EPROM, se for esse o caso.

Essa é a finalidade do Emulador para EPROMs que estamos lançando nesta edição. Emprega duas memórias RAM de 2 k e foi projetado para trabalhar, inicialmente, com o micro Nestor, já apresentado pela NE. Contendo apenas 10 CIs e pouquíssimos componentes passivos, ele pode ser montado numa placa de apenas 16 x 16 cm (com conector) e é um investimento que vale a pena.

* * * * *

Estamos iniciando também, uma série de artigos teórico-práticos que poderá dar origem a uma nova seção dentro da *Nova Eletrônica*. A série foi denominada “Conheça os Operacionais pela Prática” e visa exatamente o que o nome sugere — análise e domínio dos amplificadores operacionais, através de simples circuitos para montar, que comprovem seus parâmetros e comportamento. Cada bateria de testes práticos orientados será precedida de informações teóricas sobre os componentes, para firmar conceitos e dar subsídios à parte prática. Sugestões sobre mais essa inovação serão bem-vindas.



12ª FEIRA DA ELETRO-ELETRÔNICA

Seja qual for a sua área de interesse, de 20 a 26 de junho você tem um sentido obrigatório a seguir: o Pavilhão de Exposições do Parque Anhembi, em São Paulo.

É porque lá estarão acontecendo simultaneamente duas grandes feiras: a XII Feira da Eletro-Eletrônica e a IV Febrava (Feira Brasileira de Refrigeração, Ar Condicionado, Ventilação e Tratamento de Ar). Serão mais de 400 empresas expondo a alta qualidade da tecnologia brasileira. Muitas já são grandes exportadoras, com produtos extremamente competitivos no mercado internacional.

Este duplo evento ficará aberto, diariamente, das 9:00 às 18:00 horas.

Não deixe de comparecer: as oportunidades para bons negócios vão surgir por todos os lados.

Setor Eletro-Eletrônica.

1. Equipamentos e Sistemas de Geração, Transmissão e Distribuição de Eletricidade

2. Painéis Elétricos de Baixa, Média e Alta Tensão, Medidores e Componentes
3. Material Elétrico de Instalação
4. Ferramentas Elétricas e Manuais
5. Motores Elétricos, Geradores e Acessórios
6. Eletrotermia
7. Soldas e Equipamentos
8. Iluminação
9. Equipamentos e Componentes Eletro-Eletrônicos
10. Automação
11. Instrumentos, Equipamentos e Acessórios de Medição, Controle e Relógios
12. Informática, Equipamentos e Aplicativos
13. Equipamentos Eletrônicos de Cálculo
14. Telefonia, Telecomunicações e Radiocomunicação
15. Produtos Eletro-Eletrônicos de Consumo ("Electro-Electronics Consumer Show")
16. Acumuladores
17. Máquinas Operatrizes
18. Máquinas de Indução e Têmpera
19. Serviços e Projetos Técnicos
20. Publicações Técnicas
21. Empresas de Utilidade Pública

Bons negócios com duplo sentido.

Patrocínio:

ABINEE - Associação Brasileira da Indústria Elétrica e Eletrônica.

SINAEES - Sindicato da Indústria de Aparelhos Elétricos, Eletrônicos e Similares do Estado de São Paulo.

ABRAVA - Associação Brasileira de Refrigeração, Ar Condicionado, Ventilação e Aquecimento

SINDRATAR - Sindicato da Indústria de Refrigeração, Aquecimento e Tratamento de Ar no Estado de São Paulo.

Promoção:

Alcantara Machado Feiras e Promoções

Evento autorizado pelo Ministério da Indústria e do Comércio, através do Conselho de Desenvolvimento Comercial (CDC). Transportadora oficial:

VARIG 


Paulistur

IV FEBRAVA

Setor FEBRAVA

22. Refrigeração
23. Ar Condicionado
24. Ventilação e Controle de Poluição
25. Isolamento Térmico
26. Máquinas e Equipamentos para Conservação de Alimentos
27. Projetos e Instalações
28. Equipamentos e materiais antipoluição e para tratamento de água, ar, esgotos, gases, lixo e resíduos em geral.

A linguagem Forth

Sou eletricitista de manutenção e trabalho com prensas (de até 1600 toneladas), máquinas de ferramentaria e de usinagem. Para o comando das mesmas são utilizados contadores, presostatos, chaves fim-de-curso, botões de comando, relés térmicos, termostatos etc. Veç por outra são efetuadas modificações, para atender novas exigências de processos, para aumentar a segurança do operador, para substituir componentes não mais encontrados na praça ou por quaisquer outros motivos.

Como qualquer outra técnica, as técnicas de controle de processo evoluem e a cada ano surgem novos contadores, chaves fim-de-curso, sensores. Com a revolução da informática no Brasil, não tardará a substituição dos enormes e antiquados painéis de relés por computadores (acredito eu). Já existe, inclusive, na fábrica onde trabalho (Volkswagen do Brasil, divisão caminhões), um sistema de controle eletrônico, chamado Simatic e programado com uma linguagem denominada Step 5. Fiz o curso de programação com essa linguagem junto ao fabricante e fornecedor do equipamento.

Como o equipamento é ainda de primeira geração, apresenta diversas limitações técnicas, tais como pouca flexibilidade, apesar de ser maior que a de um painel de relés; número limitado de entradas e saídas e nenhuma possibilidade de expansão. E, ainda por cima, são equipamentos copiados de países desenvolvidos ou até mesmo importados. Assim, muitas vezes estão longe da realidade técnica brasileira e dependem de peças de reposição bastante caras.

Por tudo isso, não acho muito vantajoso o sistema Simatic. A meu ver, poderia ser usado um microcomputador comercial e algumas interfaces adequadas e, assim, substituir os painéis de contadores e relés por algo mais moderno, barato, eficiente e mais próximo da realidade técnica nacional. Contudo, não é tão simples como possa parecer à primeira vista.

Existe a necessidade do processamento ser rápido, uma vez que o controle deve ser efetuado em tempo real. Além disso, um sistema de controle de processos exige programação em Assembly ou com uma linguagem compilada (...). Pelo que li até agora, em

artigos esparsos das revistas de computação, a linguagem Forth me pareceu a mais adequada para o referido fim. Mas como qualquer outra linguagem, ela exige conhecimentos sobre as regras de programação, além de outros pequenos detalhes, macetes etc., para o total aproveitamento de suas possibilidades.

Quando procurei alguma literatura que tratasse especificamente da Forth, para minha decepção não encontrei nada em português. Acredito haver alguma obra sobre essa linguagem em português e espero contar com a experiência de vocês no ramo da literatura técnica (...)

**Gilberto F. da Silva
S. Bernardo do Campo — SP**

Realmente, Gilberto, os bons livros sobre a linguagem Forth estão todos em inglês. Localizamos, porém, uma série de artigos da extinta revista *Interface* que, acreditamos, deve servir aos seus objetivos. A série, de autoria de Rildo Pragana, denominada "Filia: um sistema de programação" e foi publicada do n.º 8 ao 16 da revista. Segundo o autor, a linguagem Filia baseia-se na Forth, mas sem algumas desvantagens que esta apresenta; acrescenta, além disso, que uma equipe da Universidade Federal de Pernambuco já está utilizando uma versão de Filia no desenvolvimento de equipamentos para controle de processos. Como a Editora dessa revista fechou, você talvez encontre os números atrasados da *Interface* nas bancas e livrarias técnicas da região da Santa Ifigênia, em São Paulo.

Nestor mais "dinâmico"

Estou construindo o Nestor e gostaria de implementá-lo com memórias dinâmicas. Por essa razão, gostaria que me fornecessem dados sobre a operação de uma memória dinâmica, como interfaceá-la ao Z-80 e como utilizar o refresh desse microprocessador. Se não for possível me responder, indiquem-me, por favor, algum livro que contenha tais informações.

**Christian Daudt
Santa Maria — RS**

As informações sobre a operação das RAMs dinâmicas você pode

encontrar principalmente em livros americanos ou nos manuais de fabricantes de memórias. E, se você puder esperar um pouco mais, estamos preparando um artigo específico sobre esse tipo de memória.

Quanto à interligação de um banco de memórias dinâmicas ao Z-80, irá depender do arranjo desejado. O que podemos sugerir, de saída, é uma consulta ao manual da Zilog (fabricante do Z-80), juntamente com os manuais das memórias de interesse — pois em geral as informações que você precisa são fornecidas nessas obras.

Componentes "extintos"

Sou estudante de eletrônica e me interessei por um artigo publicado na Nova Eletrônica: "O Phaser". O que me leva a escrever é uma pequena dúvida sobre esse artigo, a respeito do transistor EM 503 e o diodo W120 (...)

**Elias de Souza Lima
São Paulo — SP**

Venho solicitar a gentileza de me informarem a equivalência do transistor EM 4250, que até o momento não consegui encontrar no mercado. Ele pertence ao circuito do Dobrador de Frequências, publicado na revista Nova Eletrônica, n.º 8.

**Valdir Elcio Rullo
Jundiá — SP**

Os dois transistores e o diodo pertencem a kits NE de sete anos atrás e não são mais encontrados em nosso mercado. Não pudemos localizar nenhuma tabela que nos fornecesse alguma equivalência para esses transistores, mas temos, pelo menos, suas características típicas de operação:

— O EM 503 é um pré de baixa potência, tipo PNP; sua corrente de coletor é de 100 mA, sua tensão coletor-emissor, de 20 V, sua potência, de 200 mW e sua frequência de corte, de 40 MHz.

— O EM 4250 é um comutador de uso geral, também PNP; tem uma corrente de coletor de 100 mA, uma tensão coletor-emissor de 40 V, uma potência de 500 mW e uma frequência de corte de 90 MHz.

Quanto ao diodo W120, conseguimos localizar um equivalente mais recente, que é o 1N5231. ●



Vença os Obstáculos no Futuro!

Ágil, moderno e perfeitamente adequado à nossa realidade, os CURSOS CEDM garantem condições ideais para o seu aperfeiçoamento profissional. Consequentemente, você vencerá os obstáculos no futuro juntamente com quem já tem muita experiência no Mundo da Informática.



CURSO DE ELETRÔNICA DIGITAL E MICROPROCESSADORES

São mais de 140 apostilas com informações completas e atualizadas. Tudo sobre os mais revolucionários CHIPS para o seu desenvolvimento prático.

CURSO DE ELETRÔNICA E ÁUDIO

Em cada nova lição, apostilas ilustradas ensinam tudo sobre Amplificadores, Caixas Acústicas, Equalizadores, Toca-discos, Sintonizadores AM/FM e muito mais.

CURSO DE PROGRAMAÇÃO EM BASIC

Este curso oferece os fundamentos de linguagem de programação que domina o universo dos microcomputadores. Dinâmico e abrangente, ensina até o Basic mais avançado, incluindo noções básicas sobre Manipulação de Arquivos, Técnicas de Programação, Sistemas de Processamento de Dados, etc. Garanta agora o seu futuro.



CURSOS CEDM

Av. Higienópolis, 436 – Centro
Caixa Postal, 1642
CEP 86.100 – Londrina – PR.



NE-99

Eu quero receber, INTEIRAMENTE GRÁTIS, maiores informações sobre o curso de:

- | | | |
|--|---|---|
| <input type="checkbox"/> Eletrônica Básica | <input type="checkbox"/> Eletrônica Digital | <input type="checkbox"/> Microprocessadores |
| <input type="checkbox"/> Áudio | <input type="checkbox"/> Acústica | <input type="checkbox"/> Programação em Basic |

Nome
Endereço
Bairro Cidade
CEP Estado

Videotexto em Brasília

Desde o mês de março, Brasília está contando com serviços de videotexto, oferecidos pela Telebrasil — uma das empresas integradas ao projeto de implantação da rede nacional de videotexto. Criado com base na experiência de São Paulo, o sistema da Telebrasil vai utilizar, de forma remota, o banco de dados do videotexto da Telesp, até que consiga implantar seu próprio centro, ainda este ano.

Para esta primeira fase foram adquiridos, até o momento, da Itaotec, 51 terminais de videotexto e três sistemas de editoração — equipamento destinado à criação e à atualização das páginas do banco de dados.

Inicialmente, a Telebrasil colocou à disposição dos usuários brasilienses 3 000 páginas do banco de dados. Mas o sucesso foi tão grande que, antes mesmo de a empresa anunciar formalmente o lançamento do sistema, 2 800 páginas já estavam comprometidas com apenas dois fornecedores: a Multiconsultoria Comunicação e a Met Computadores. A primeira, que contratou 1 500 páginas, firmou um acordo de subfornecimento de serviços com o *Correio Brasiliense*, o maior jornal da cidade. Através dele está sendo fornecido o noticiário local, que inclui até mesmo um boletim de fofocas políticas dos bastidores do governo.

Itaotec já vendeu 120 máquinas IFAX-3021

A Itaotec comercializou no primeiro trimestre deste ano 120 máquinas IFAX-3021, num valor total de 134 640 ORTNs. Entre os seus principais clientes, alinham-se o Banco Europeu, a Vale do Rio Doce e a Empresa de Correios e Telégrafos, que adquiriu 14 máquinas para a utilização em seu serviço de Post Grama.

O IFAX-3021 é um transceptor de fac-símile, que possibilita a transmissão de documentos, por telefone, a qualquer distância. Fabricado com tecnologia da Canon, do Japão, o equipamento foi mostrado pela primeira vez em novembro, durante a Feira de Informática, no Rio de Janeiro. Segundo o fabricante, o IFAX-3021 é compatível com máquinas do grupo 3 e 2, padrão CCTII, e com máquinas mais antigas com modo de

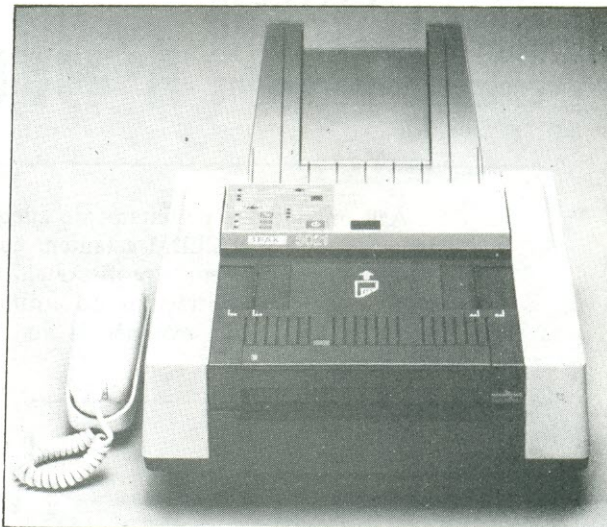
transmissão FM. Funcionando acoplado a um telefone e reproduzindo imagens ou textos impressos em qualquer parte do mundo onde haja outro equipamento semelhante, o IFAX apresenta uma considerável economia de tempo e custos, se comparado com o telex. Enquanto transmite, por exemplo, um documento de duas páginas, tamanho padrão A4, com trinta linhas cada, em um minuto, o telex não é capaz de fazê-lo em menos de 12 minutos.

O processo de impressão do IFAX é térmico e o papel que utiliza vem em rolos de 100 m, não havendo necessidade de trocas constantes (a máquina encarrega-se de cortar o papel no tamanho do original). Suas operações de recepção são automáticas, independente da hora ou do dia, dispensando mesmo a presença do operador.

Sistema para recursos humanos

A Micromática, de São Paulo, está colocando à disposição dos profissionais da área de recursos humanos, que trabalham com recrutamento e seleção de pessoal, um sistema específico para o setor, que fornece informações no vídeo do micro, além de imprimir relatórios com informações selecionáveis em fichas completas sobre candidatos ou qualquer outro assunto.

O sistema, denominado *Memória*, foi desenvolvido para propiciar maior racionalidade e rapidez na execução de atividades de recursos humanos. Através dele, pode-se realizar consultas, em tela ou relatórios, de informação sobre: a) *candidatos a emprego*: dados pessoais, experiência anterior, últimos salários, salário pretendido, cargos assumidos e cargos pleiteados, formação, idiomas que domina, resultado de testes etc.; b) *cargos a serem preenchidos*: requisitos essenciais, requisitos desejáveis, atribuições, salário, benefícios diretos e indiretos, local de trabalho etc.; c) *normas administrativas para recrutamento, seleção e contratação de pessoal*; d) *funcionários da empresa*: dados pessoais, cargos exercidos etc.



Transceptor fac-símile IFAX-3021, da Itaotec.

Micro de 256 kbytes fabricado pela AIT

A Automação Industrial, Informática e Telecomunicações Ltda — AIT — está comercializando desde o início do ano um novo micro — o AIT 300 —, destinado a aplicações que, de acordo com a empresa, requeiram alta confiabilidade. O equipamento foi desenvolvido segundo a concepção modular, baseando-se no microprocessador Intel 8085. Aceita até 256 kbytes de memória e possui uma série de recursos para aumentar a sua versatilidade: interfaces para terminal de vídeo, impressora, monitor de vídeo a cores, disco flexível, Winchester e outros periféricos.

Para a empresa, o grande trunfo de seu produto é o *software* que o acompanha: o Aitos 85 — um sistema operacional de tempo real, que pode ser ainda complementado com o repertório de programas aplicativos já existentes, que a empresa fornece aos usuários do AIT 300.

Norma técnica para automação bancária

Foi instalada em março, no Rio de Janeiro, uma comissão de estudo do Comitê Brasileiro de Normas Técnicas em Informática (CB-21), dedicada à normalização técnica no setor de automação bancária e comercial. Segundo o

presidente do Comitê, Lucas Tofolo de Macedo, o trabalho da Comissão vai se basear no "Código de Barras para Automação de Operações Comerciais", um documento da ANA (*Article Number Association*), que estabelece um conjunto de documentos normativos referentes a padrões técnicos de fabricação, codificação de produtos e embalagens etc. Embora baseado-se num documento estrangeiro, o objetivo de trabalho da Comissão é estabelecer padrões técnicos nacionais, para a orientação de fabricantes, lojas de departamentos, fornecedores de equipamentos e serviços.

Bolsa de empregos

A Associação Nacional dos Dirigentes e Executivos de Informática — ANDEI — mantém uma bolsa de empregos, que realiza a comunicação com as empresas especializadas em recrutamento e seleção, e ainda com os setores de recursos humanos de empresas industriais, com o objetivo de levantar oportunidades existentes no mercado de trabalho.

A bolsa de empregos da ANDEI é de responsabilidade do diretor Dalton Gobato, e sua atuação se estende a todos os profissionais da área de informática, mesmo que não sejam associados à ANDEI. Para efetuar o cadastramento em seus arquivos, basta contatar a sede da entidade, na rua Capitão Antonio Rosa, 376 — cj. 102 — fone: 280-0401 (falar c/ Srta. Bárbara).

Bolsa de estudos

A Philips comunica a abertura das inscrições para bolsas de estudo na Holanda, em 1986, destinada a diplomados em engenharia eletrônica ou física. Os cursos, em nível de mestrado e pós-graduação, realizam-se anualmente no *Philips International Institute*, em Eindhoven.

As inscrições podem ser feitas por telefone ou carta, por diplomados ou quartanistas, desde que, na data do embarque (janeiro de 86), já estejam formados. O prazo se estende até o dia 31 de maio e os interessados devem se dirigir ao Departamento de Seleção e Desenvolvimento de Pessoal da Philips, na rua Manoel Eloy do Nascimento, 66,

CEP 04752, São Paulo, SP, fone: (011) 524-2211, ramal 258, com Miguel Vizioli.

Os selecionados no concurso receberão passagens de ida e volta à Holanda, além de assistência médica gratuita e uma quantia mensal para alimentação, roupas de inverno e livros. Segundo a Philips, 38 brasileiros já participaram deste programa, até o momento.

Cursos

IBPI

- Planejamento de Informática na Empresa. *Período: 22 a 24/05.*
- Redes Locais de Computadores. *Período: 29 a 31/05.*
- Projeto Estruturado de Sistemas. *Período: 03 a 05/06.*
- Análise de Dados. *Período: 12 a 14/06.*

Mais informações podem ser obtidas no IBPI — Instituto Brasileiro de Pesquisa em Informática — R. Mena Barreto, 77 — 22271 — Rio de Janeiro — RJ — tel. (021) 286.6891 e 226.2913.

ABACE

- Robótica — Automação — Controle de Processos — CAD/CAM. *Período: 16 e 17/05.*

Mais informações na ABACE — Associação Brasileira de Administração e Conservação de Energia — Av. Paulista, 2073 — Horsa 1 — cj. 1020 — 01311 — São Paulo — SP.

CETECIL

- Curso de Termometria. *Período: 20 a 24/05 ou 10 a 14/06.*

Mais informações, em São Paulo, na R. Funchal, 203 — 10º andar — tel. (011) 815.7122. Em Belo Horizonte: Av. Amazonas, 641 — 17º andar — tel. (031) 201.4790 e 201.7139. No Rio de Janeiro: R. Araújo Porto Alegre, 70 — 12º andar — tel. (021) 240.7478 e 240.3778.

MAXITEC

- Curso de Comando Numérico — Manutenção Fabricante Máquina por Comando Numérico Computadorizado. *Período: 20 a 24/05. Preço: 15 ORTN's.*

Mais informações podem ser obtidas na Maxitec S/A — R. Josef Kryss, 250 — Pq. Industrial Thomas Edson — 01140 — São Paulo — SP — tel. (011) 67.5944.

MANUAIS

MONOLITHIC MEMORIES

— BIPOLAR LSI DATA BOOK - 1982Cr\$ 40,000

INTEL

— MICROSYSTEM COMPONENTS HANDBOOK - 2 VOLUMESCr\$ 220,000

RCA

— LINEAR INTEGRATED CIRCUITS AND MOS/FET'S - 1982Cr\$ 120,000

INTERSIL

— DATA BOOK - Analog Switches - Multiplexers - A/D & D/A - Linear - Power Mos - Timers - Counters - Display Drivers - Discrete/Fets - Roms/Rams/Eproms - Microprocessors & Peripherals - Watch/Clock CircuitsCr\$ 95,000

EQUIVALÊNCIAS DE TRANSISTORES

— SEMICONDUCTOR GENERAL-PURPOSE REPLACEMENTS - 5th Edition - H. W. SamsCr\$ 99,500
 — DIODOS EQUIVALENCIAS - 4ª Edición - MuiderkringCr\$ 26,000
 — MANUAL DE EQUIVALENCIAS MUNDIALES DE: DIODOS, TRIAC Y TIRISTORES - DominguezCr\$ 50,000
 — TRANSISTORES EQUIVALENCIAS - 9ª Edición - MuiderkringCr\$ 25,000
 — TABLAS UNIVERSALES TOWERS PARA SELECCION DE TRANSISTORES - 2ª Edición - TowersCr\$ 41,000

MICROONDAS

— COMMUNICATION AND RADAR SYSTEMS - TzannesCr\$ 333,000
 — PRACTICAL MICROWAVES - LaverghettaCr\$ 319,600
 — MICROWAVE FIELD-EFFECT TRANSISTORS - THEORY, DESIGN AND APPLICATIONS - PengellyCr\$ 318,700
 — MICROWAVE IMAGING WITH LARGE ANTENNA ARRAYS SteinbergCr\$ 239,250
 — FOUNDATIONS FOR MICROSTRIP CIRCUIT DESIGN - EdwardsCr\$ 223,700
 — WAVES AND FIELDS IN OPTOELECTRONICS - HausCr\$ 231,600
 — MICROWAVE FILTERS, IMPEDANCE-MATCHING NETWORKS AND COUPLING STRUCTURES - MatthaeiCr\$ 774,000
 — RADAR DETECTION - DiFranco/RubinCr\$ 528,000
 — MILLIMETER WAVE RADAR - JohnstonCr\$ 472,000

FIBRAS ÓTICAS

— INTRODUCTION TO OPTICAL ELECTRONICS - 2nd Edition YarivCr\$ 163,850
 — OPTICAL COMMUNICATION SYSTEMS - GowarCr\$ 288,000
 — FIBER OPTICS COMMUNICATIONS - TaylorCr\$ 432,000
 — FIBER OPTICS DEVICES AND SYSTEMS - CheoCr\$ 297,000
 — AN INTRODUCTION TO OPTICAL FIBERS - CherinCr\$ 311,600
 — OPTICAL FIBERS FOR TRANSMISSION - MidwinterCr\$ 311,600

FILTROS

— INTRODUCTION TO DIGITAL FILTERS - TerrellCr\$ 52,500
 — MANUAL OF ACTIVE FILTER DESIGN - 2nd Edition - Hilburn/JohnsonCr\$ 332,000
 — MECHANICAL FILTERS IN ELECTRONICS - JohnsonCr\$ 340,000
 — DIGITAL FILTERS - 2nd Edition - HammingCr\$ 315,000
 — ANALOG FILTER DESIGN - Van ValkenburgCr\$ 105,000
 — ACTIVE FILTERS FOR COMMUNICATIONS AND INSTRUMENTATION - Bowron/StephensonCr\$ 216,000
 — ACTIVE FILTER DESIGN - WilliamsCr\$ 216,000
 — A HANDBOOK OF ACTIVE FILTERS - Johnson/JohnsonCr\$ 167,600
 — TEORIA E PROJETO DE FILTROS - 2 VOLUMES - SerraCr\$ 42,000

AMPLIFICADORES OPERACIONAIS

— IC OP-AMP COOKBOOK - 2nd Edition - JungCr\$ 127,600
 — INTEGRATED-CIRCUIT OPERATIONAL AMPLIFIERS - 2nd Edition - RutkowskiCr\$ 239,600
 — AMPLIFICADORES OPERACIONAIS - TEORIA Y MONTAJES PRACTICOS - Lopez/IglesiasCr\$ 27,000
 — EL AMPLIFICADOR OPERACIONAL Y SUS APLICACIONES MarchaisCr\$ 74,000
 — 40 MONTAJES CON AMPLIFICADORES OPERACIONAIS: BIFET - BIMOS - CMOS - SchreiberCr\$ 27,000
 — LOGICA Y TEORIA DE LOS AMPLIFICADORES OPERACIONAIS Y LINEALES - TractonCr\$ 25,000

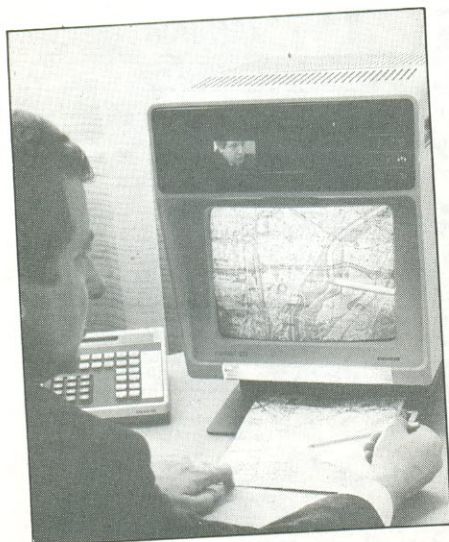
PREÇOS SUJEITOS A ALTERAÇÃO

Atendemos pelo Reembolso Postal e VARIG, com despesas por conta do cliente, para pedidos acima de Cr\$ 10.000 (VARIG: Cr\$ 30.000). Pedidos menores devem vir acompanhados por cheque nominal ou Vale Postal, acrescidos de Cr\$ 1.000 para as despesas de despacho pelo correio.

SOLICITE
CATÁLOGO

LITEC

LIVRARIA EDITORA TÉCNICA LTDA
 Rua dos Timbiras, 257 01208 São Paulo - SP
 Telefone: (011) 220.8983 Caixa Postal 30.869



O Vicoset 200 permite a apresentação visual de documentos e relatórios.

Siemens: imagem e dados via telefone

A Siemens AG está desenvolvendo, na Alemanha, um novo sistema de comunicações, o BIGFON, capaz de receber e transmitir chamadas telefônicas, imagens e dados. O sistema funciona acoplado ao telefone e pode mudar automaticamente de função, passando a transmitir teletextos em vez de receber imagens.

Com esse sistema, a Siemens abre um leque de novas possibilidades no campo das comunicações. Para a transmissão de imagens entre escritórios, por exemplo, a empresa desenvolveu especialmente um equipamento, o Vicoset 200, que permite a apresentação de documentos, relatórios e outros assuntos, na tela do visor.

O sistema inclui também um projeto que possibilitará aos deficientes auditivos acesso ao telefone. E, para concretizar isso, é necessário apenas um televisor comum e uma videocâmara, acoplados ao sistema. O resto será feito pela linguagem não-verbal dos interlocutores.

Salão Internacional de Componentes, em Paris

Paris sediará, no período de 4 a 8 de novembro deste ano, o 27º Salão Internacional dos Componentes Eletrônicos. A mostra ocupará a totalidade do espaço disponível no novo Parque de Exposições Paris Norte, que tem uma área de 70 000 m².

O Salão será subdividido em duas grandes seções, que agruparão os produtos por categoria de uso. A parte de Componentes Eletrônicos e Subcon-

junto abrangerá os dispositivos semicondutores, microsistemas, válvulas, componentes passivos, circuitos impressos e outros. Por seu lado, captadores, analisadores, gravadores, conjuntos manuais e automáticos de teste para circuitos integrados, componentes passivos etc., estarão reunidos na seção de Aparelhos Eletrônicos de Medição e Teste.

Com relação aos equipamentos e artefatos diversos para Eletrônica, terá um salão independente, que será realizado nos anos pares, em alternância com o de Componentes Eletrônicos. O evento é patrocinado pela Federação Francesa das Indústrias Elétricas e Eletrônicas e os interessados em participar poderão fazer contato com a organizadora SDSA, à Rua Hamelin, 20, F 75116, Paris.

Pilhas recarregáveis de metal-hidrogênio

Como resultado de pesquisas realizadas nos laboratórios da Philips em Eindhoven, Holanda, foram desenvolvidos novos eletrodos de pilha de alta qualidade, que podem ser preparados a partir de ligas de metais capazes de armazenar hidrogênio. Com o uso desses eletrodos em pilhas recarregáveis, obtém-se uma reduzida perda de capacidade, mesmo após mil ciclos de carga e descarga, segundo o fabricante.

Após vários anos de pesquisa sobre as características de compostos de metal-hidrogênio — os hídricos metálicos —, descobriu-se acidentalmente que certos compostos de metal são capazes de absorver grandes quantidades de hidrogênio. Desde então, a contínua pesquisa sobre esse fenômeno abriu diversas possibilidades, como a dos compostos serem usados como pólo negativo de uma pilha. Durante a descarga, o hidrogênio ligado ao metal é oxidado, produzindo água. E durante o processo de recarregamento ocorre exatamente o contrário, ou seja, a água presente no eletrólito é reduzida a hidrogênio, que mais uma vez é absorvido pelo metal.

Entretanto, estudos demonstraram que as repetidas expansões e encolhimentos do material do eletrodo durante a carga e descarga causam corrosão, o que diminui a capacidade de armazenamento. O passo seguinte foi a descoberta de uma classe de compostos com a desejada baixa variação volumé-

trica — e portanto baixa corrosão —, utilizando partículas de cobalto, silício ou alumínio.

As pilhas experimentais que utilizam eletrodo hídrico mostraram muita eficiência, podendo ser carregadas e descarregadas em menos de uma hora, com possibilidade de repetição desse ciclo por mais de mil vezes, de acordo com informe da Philips. Além disso, essas pilhas não contêm metais pesados venenosos como cádmio ou chumbo.

EUA reforçam automação na produção de wafers

A indústria norte-americana de dispositivos semicondutores está prestes a sofrer uma onda de automação. O objetivo dessa decisão é enfrentar a forte concorrência em termos de preço oferecida pelos fabricantes japoneses, muito automatizados, além de atender à necessidade de um controle mais rigoroso sobre a produção das lâminas semicondutoras que dão base ao fabrico dos circuitos integrados.

Essa tendência foi apontada pelo estudo intitulado "O mercado norte-americano de fabricação automatizada de lâminas (wafers) de semicondutores", publicado recentemente pela empresa internacional de informações empresariais Frost & Sullivan. O trabalho prevê que os gastos com o equipamento e os sistemas que controlam a precisão da produção de lâminas, assim como sua movimentação através da fábrica, terá incrementos de 30% ao ano, em média, até 1993, devendo chegar a 1,1 bilhão de dólares, a partir dos gastos de 83 milhões efetuados em 1984.

Ainda segundo o estudo da Frost & Sullivan, a automação na fabricação de lâminas faz parte de uma tendência de investimentos crescentes de capital entre as indústrias de semicondutores. Os fabricantes norte-americanos tiveram gastos estimados em 3,2 bilhões de dólares durante o ano passado, contra 2,3 bilhões em 1983. O aumento da automação apresenta muitas vantagens, algumas das quais peculiares ao processo delicado e caro de produção das lâminas, tais como: diminuição de contaminação por poeira, redução de refugos e melhoria na administração da produção. ●

(Fonte: Schlochauer & Associados — Consultoria e Representações Ltda.)

Elantec lança seus primeiros produtos

Nove meses após seus fundadores terem saído da National Semiconductors e da Intersil, a Elantec (Milpitas, Califórnia, EUA) anunciou seus seis primeiros produtos, uma série de amplificadores operacionais de alto desempenho. A Elantec se especializará em operacionais de alta velocidade, alta faixa passante, alta potência e elevada taxa de inclinação do sinal de saída (*slew-rate*), que serão utilizados em conversores A/D e D/A. Todos os produtos lançados são versões híbridas de CIs da National. Em breve serão apresentados novos operacionais com isolamento dielétrico. (Fonte: *Electronics*, 19 de abril de 1984)

Surge a integração em escala de lâmina

O permanente interesse por técnicas de encapsulamento de alta densidade está sendo ampliado pela publicidade feita em torno do sistema Trilogy de Integração em Nível de Lâmina — INLA. Esse sistema foi desenvolvido pela Mosaic Systems (Troy, Michigan, EUA) através de uma técnica denominada pacotes de interconexão híbrida de lâminas. De acordo com o presidente da empresa, Robert Johnson, "a tecnologia de interconexão, de propriedade da Mosaic, é projetada para utilizar os benefícios em desempenho da integração em nível de lâmina, quando são usadas pastilhas lógicas e de memória. Essa tecnologia é totalmente aplicável a lâminas monolíticas integráveis". Ainda segundo ele, "a técnica de encapsulamento e esfriamento, desenvolvida pela empresa, resolve os principais problemas de dissipação de calor encontrados em outros processos de encapsulamento de alta densidade". A Mosaic iniciará os embarques de CIs desse tipo no início de 85. (Fonte: *Computer Design*, setembro de 1984)

Mostrador cerâmico competitivo com MCLs

Os mostradores de cristal líquido — MCLs — podem ter encontrado competidores à altura nos mostradores ce-

râmicos eletroóticos, que os superam na faixa de temperatura de operação, tempo de resposta e ângulo de visão. O mostrador cerâmico em estado sólido — MCEs —, como está sendo denominado, é construído com um material dopado com *lantânio*, denominado zirconato lantanato policristalino. Esses mostradores podem operar desde a -40°C até a $+85^{\circ}\text{C}$ sem os aquecedores necessários aos MCL. Por toda a faixa, os MCEs respondem a $500\ \mu\text{s}$ e permitem um ângulo de visão de 160° . Esse tipo de mostrador foi desenvolvido pela divisão de produtos cerâmicos da Motorola (Albuquerque, Novo México, EUA), podendo ser construído com características refletivas transrefletivas e transmissivas. O material pode também mudar de cor como função da amplitude da tensão de operação, tendo sido originalmente desenvolvido para a Força Aérea Americana pelos Laboratórios Sandia (Albuquerque). (Fonte: *Electronic Design*, 6 de setembro de 1984)

Mostek e AMI planejam expandir linha C-MOS

Como parte do esforço para diversificar sua linha, a Mostek planeja expandir suas atividades em CIs semidedicados, com a inclusão de células padrões que utilizem tecnologia C-MOS, dupla camada metálica. As células, fabricadas com tecnologia de $3\ \mu\text{m}$, serão também produzidas pela associada da Mostek, a American Microsystems (Santa Clara, Califórnia, EUA). O processo de dupla camada metálica deve melhorar sensivelmente os tempos de propagação das células C-MOS comuns, feitas com uma camada metálica e uma camada de silício policristalino. O silício policristalino tem resistividade cerca de 1 000 vezes maior do que o metal, tornando mais lenta a propagação dos sinais. A diferença de resistividade entre as camadas é um fator de incerteza durante o projeto inicial, antes dos componentes serem concebidos e o circuito classificado. (Fonte: *Electronics*, 17 de maio de 1984)

Novo computador CP-IBM utiliza o micro 80286

O primeiro computador pessoal a utilizar o microprocessador 80286, da In-

tel, já vem operando com suporte para múltiplos usuários com um protocolo de comunicação chamado CSMA/CD. O computador pessoal da IBM (Armonk, Nova Iorque, EUA), denominado AT, também conta com um processador auxiliar 8087, bem como a série programacional familiar do CP, além de periféricos e cartões de expansão.

Embora o duto interno do AT seja de 32 bits, já foram previstos, na placa-mãe, oito vagas de expansão para a aceitação de cartões de adaptação na velha família CP-IBM, que foi desenvolvida com o microprocessador 8088 e duto de 8 bits.

Além disso, o computador utiliza os alimentadores de disquetes de 13,33 cm, de alta densidade. O alimentador de 80 trilhas é dupla-face, gravando em 37,8 tpc (trilhas por cm) e 37,98 bpc (bits por cm). (Fonte: *Electronic Design*, 6 de setembro de 1984)

rm assessoria participações & comércio Ltda.

Distribuidor

FAIRCHILD

o bom senso em eletrônica

- Distribuidor de Semicondutores em Geral, Conectores, Memórias, Circuitos Integrados, CMOS, Linear, TTL, etc.
- Agora exclusivamente produtos da linha Fairchild; Diodos de Sinais, Diodos Retificadores, Diodos Retificadores Rápidos, Diodos Zeners 1/2W, Diodos Zeners 1W e Transistores de Baixos Sinais.

Al. Lorena, 1304 - 99 - cj. 910 - CEP 01424
- Tels.: 883-4038 - 881-5613 - Telex (011)
38711 RMPC - BR - São Paulo.

Linearidade de fase caracteriza filtros Bessel

O estudo da configuração Bessel, precedido de uma análise qualitativa das funções fase × frequência de filtros de 1ª e 2ª ordem

Até o momento discutimos as características dos filtros apenas sob o aspecto das atenuações associadas a diferentes frequências, desprezando-se as variações de fase que se manifestam entre o sinal na saída do filtro e o que foi injetado em sua entrada.

Em aplicações particulares, principalmente as vinculadas ao tratamento de sinais na faixa de voz, podemos perfeitamente desconsiderar esta análise, restringindo-nos tão somente à resposta em frequência em termos de atenuações, tendo em conta que o ouvido humano não é sensível às alterações de fase. Tal fato não se verifica, no entanto, quando lidamos com outras informações, por exemplo, aquelas que se originam de sinais pulsados — onde os níveis aplicados à entrada do filtro são constituídos de formas de onda retangulares (no domínio temporal). Neste caso, as modificações (distorções) de fase ocorridas são responsáveis por atrasos, que devem ser corretamen-

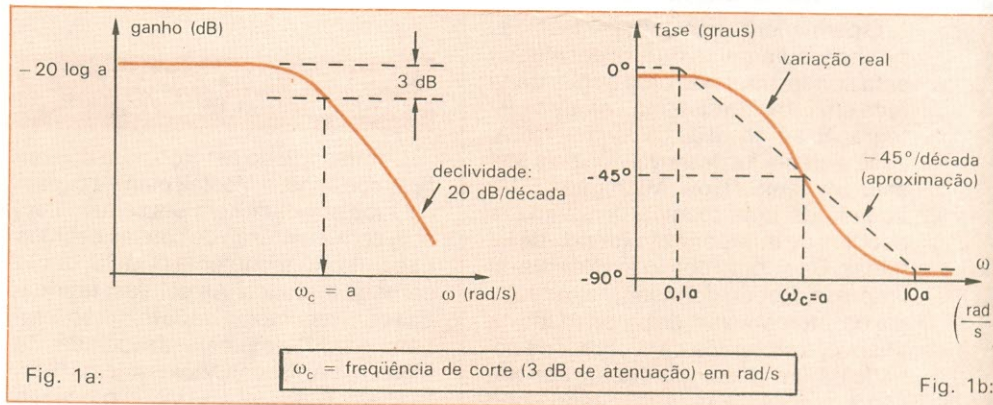


Fig. 1a:

Fig. 1b:

$\omega_c =$ frequência de corte (3 dB de atenuação) em rad/s

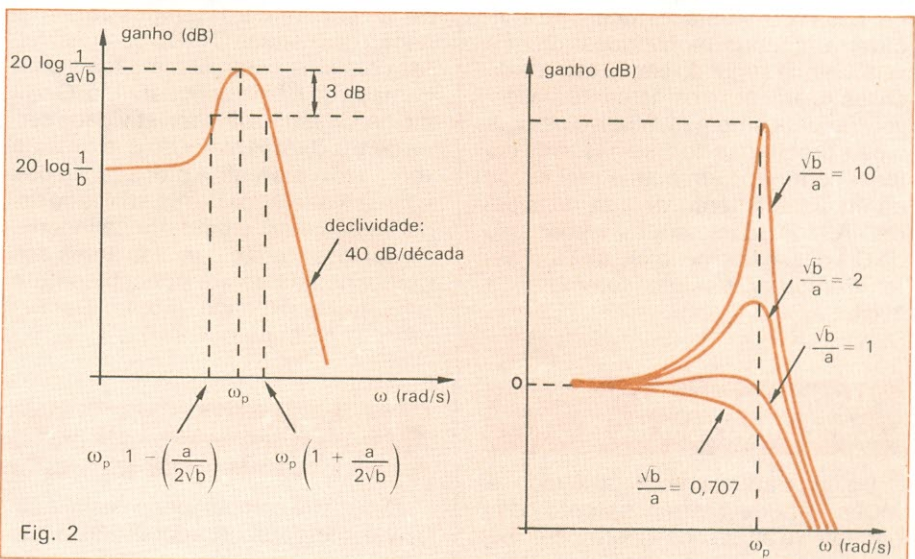


Fig. 2

Na figura 1a, resposta em frequência (atenuação) para um FPB do 1.º grau.

Na figura 1b, resposta em frequência (fase) para o filtro considerado.

Na figura 2, comportamento de um FPB para dois pólos complexos, com $\frac{\sqrt{b}}{a} >> 1$ e sobrelevações conforme o valor de \sqrt{b}/a .

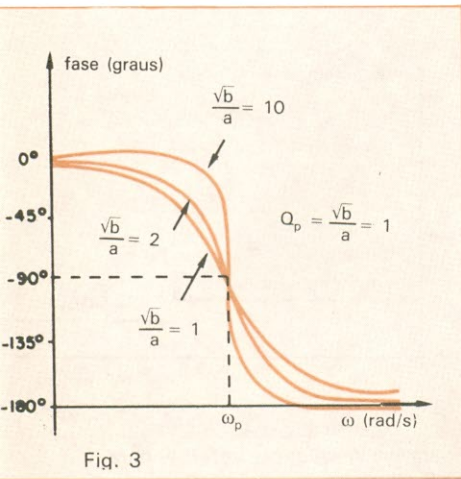


Fig. 3

Resposta em frequência (fase) correspondente a um filtro de segunda ordem (pólos complexos), para alguns valores de QP.

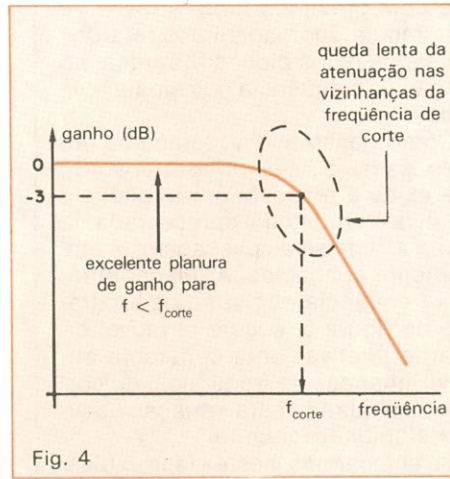


Fig. 4

O filtro passa-baixas de Butterworth representado através de sua resposta de frequência (amplitude).

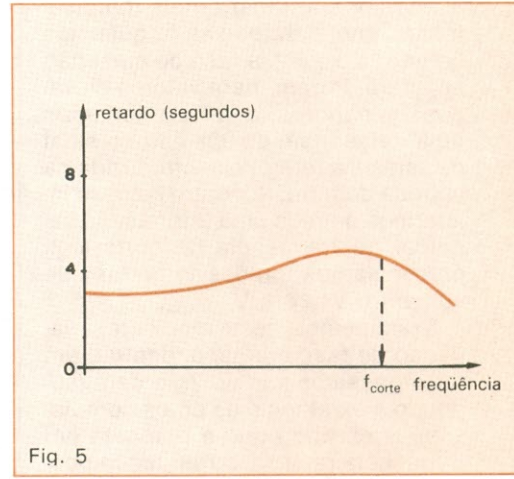


Fig. 5

Resposta em frequência (atraso) para um FPB Butterworth. Perceba a elevada variação do retardo nas proximidades de f_{corte} e a relativa constância para $f < f_{corte}$.

te ponderados (quanto à sua magnitude), avaliados (influência do retardo no sistema) e, às vezes, corrigidos (com o auxílio de equalizadores).

Neste artigo, estudaremos qualitativamente as funções fase x frequência para redes filtrantes do primeiro e segundo grau, bem como as relativas às redes Butterworth e Chebyshev. Objetivamos, com isto, adquirir os conceitos básicos necessários à análise mais detalhada da configuração Bessel, a qual — conforme será ressaltado — possui a melhor resposta de linearidade de fase, entre os grupos já considerados.

Funções de transferência e resposta em frequência para diversas redes — Tomando por hipótese um filtro passa-baixas do primeiro grau, cuja função de transferência corresponde à expressão abaixo:

$$\frac{V_{saída}}{V_{entrada}} = \frac{1}{s + a}$$

sabemos, por estudos anteriores, que a curva atenuação x frequência para a rede em questão é dada pelo gráfico traçado na figura 1a. Observe, paralelamente, o comportamento de fase deste filtro em relação à frequência de operação (fig. 1b), onde podemos constatar que esta frequência sofre uma rotação da ordem de 90° entre $0,1 \omega_c$ e $10 \omega_c$, com uma declividade de $-45^\circ/\text{década}$ (se assumirmos a aproximação indicada pelos segmentos tracejados).

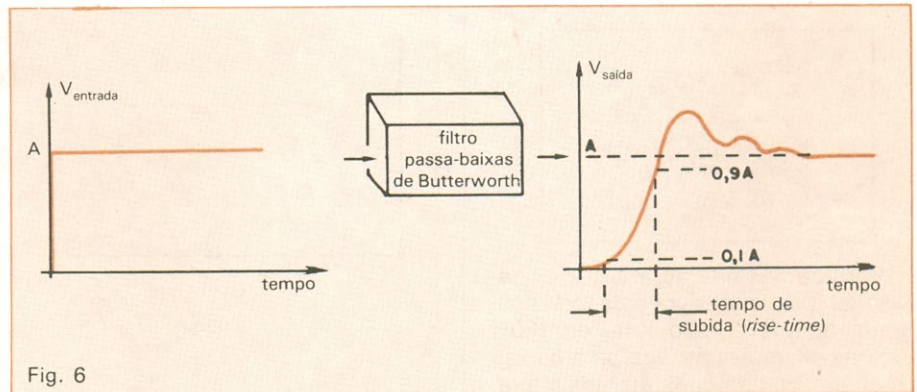


Fig. 6

Resposta do filtro passa-baixas de Butterworth à injeção de um degrau de tensão de nível "A".

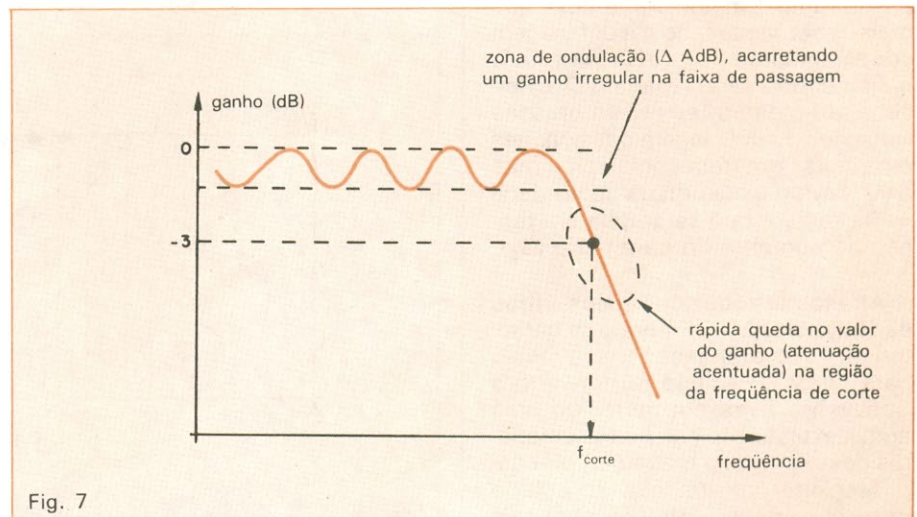


Fig. 7

O filtro passa-baixas de Chebyshev caracterizado por meio de sua resposta em frequência (amplitude).

Podemos afirmar, mais precisamente, que, para baixas frequências (inferior a $0,1 \omega_c$), a fase do sinal não se altera. Porém, para valores elevados (superiores a $10 \omega_c$) teríamos uma defasagem de 90° entre o sinal de saída e a referência introduzida na entrada do filtro. Por outro lado, ao injetarmos na rede uma informação senoidal na frequência de corte (ω_c), presenciamos um desvio de fase de 45° entre $V_{saída}$ e $V_{entrada}$.

Examinemos, neste momento, a variação de fase correspondente a um filtro passa-baixas de 2ª ordem (supondo a existência de pólos complexos), lembrando que a resposta em frequência relativa à atenuação possui as características apresentadas pela figura 2.

Como sabemos, a função de transferência para o FPB mencionado obedece à seguinte relação:

$$\frac{V_{saída}}{V_{entrada}} = \frac{1}{s^2 + as + b} = \frac{1}{s^2 + \left(\frac{\omega_p}{Q_p}\right)s + \omega_p^2}$$

(onde $Q_p = \frac{\sqrt{b}}{a}$)

Verificamos na figura 3, que as defasagens causadas por esta rede possuem uma excursão total de 180° , sendo que, mais uma vez, para baixas frequências, não constatamos alteração alguma (0°). No entanto, já no caso das faixas superiores registramos uma rotação de 180° , relativa ao sinal entrante. Um ponto particular que merece ser destacado é a defasagem correspondente à frequência ω_p (90° , qualquer que seja o valor de Q_p). Perceba, ao mesmo tempo, as bruscas variações de defasagem ocasionadas em sinais com frequências próximas a ω_p (devido à acentuada declividade nesta região, que se amplia em função do aumento do parâmetro (Q_p)).

Atrasos introduzidos pelos filtros de Butterworth — Embora as características de atenuação x frequência para filtros dos tipos Butterworth e Chebyshev tivessem merecido uma ampla explanação nas partes anteriores deste artigo, o mesmo não poderia ser dito com relação ao estudo das defasagens e atrasos para tais configurações. Portanto, vamos procurar compensar estas deficiências

nos dois próximos itens através de uma rápida abordagem dos retardos causados pelos blocos filtrantes em função da frequência dos sinais aplicados.

Como passo inicial, tomemos um filtro passa-baixas de Butterworth, que exibe a resposta em frequência (relativa à amplitude) apresentada na figura 4, diga-se de passagem, já amplamente conhecida. A relação atraso x frequência, registrada pelo gráfico da figura 5, sugere um nível de retardo relativamente constante até as vizinhanças da frequência de corte, que é quando esta situação se altera significativamente.

Se enfocarmos, nesta etapa, o mesmo filtro de Butterworth, porém, sob

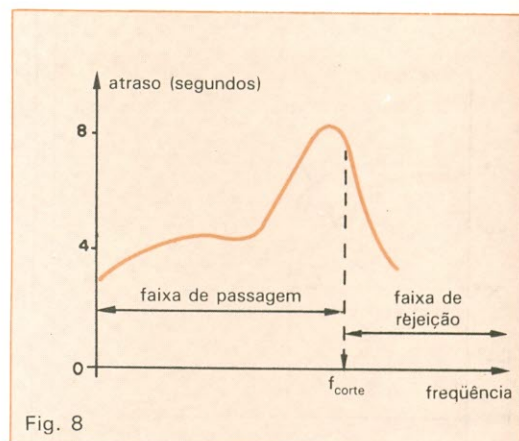


Fig. 8

Resposta em frequência (retardo) para um FPB Chebyshev.

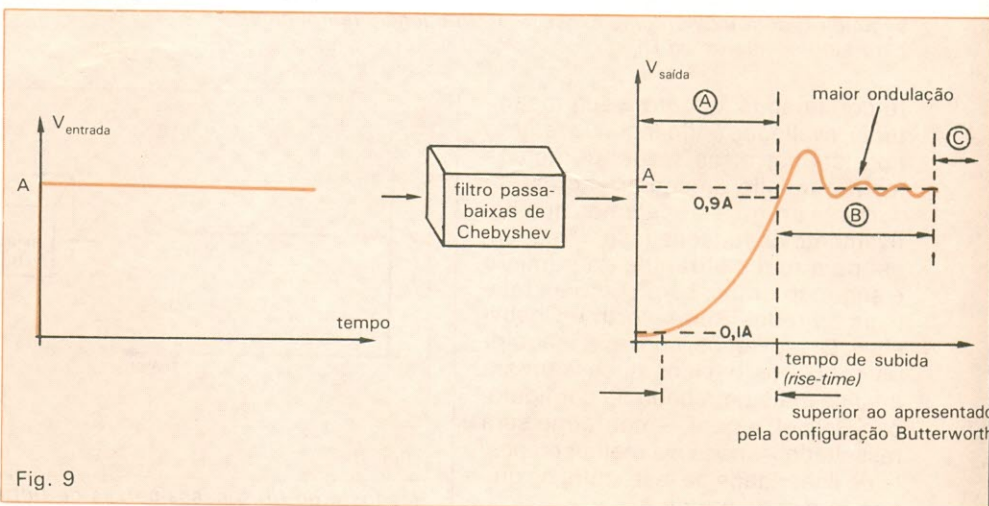


Fig. 9

Resposta do filtro passa-baixas de Chebyshev à injeção de um degrau de tensão de nível "A".

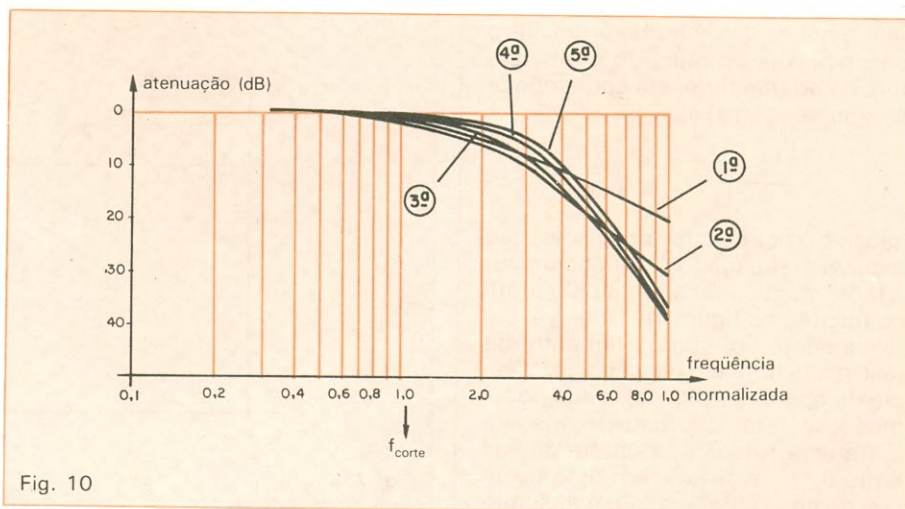


Fig. 10

As curvas: atenuação x frequência para filtros do tipo Bessel da 1ª à 5ª ordem.

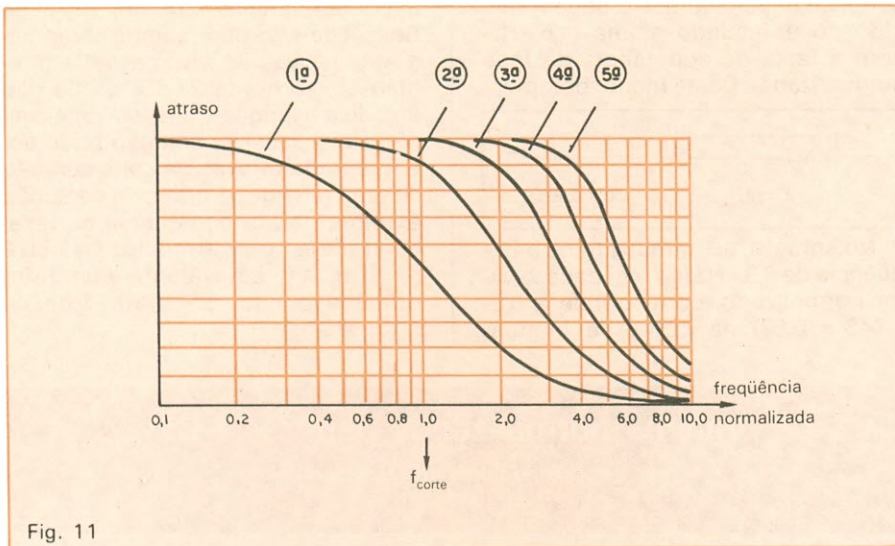


Fig. 11
As funções: retardo \times frequência para os cinco primeiros graus de um filtro de Bessel.

o ponto de vista do domínio temporal, vamos constatar que, ao introduzirmos um degrau de tensão à entrada do circuito, obteremos uma resposta caracterizada por um certo tempo de subida. Esta resposta é acompanhada de uma ligeira ondulação ao final do *rise time*, que, depois de alguns instantes, é sucedida por um nível constante, após a estabilização da resposta (veja fig. 6). Posteriormente, estaremos em condições de complementar este estudo através da consideração de redes Chebyshev e Bessel, quando então vamos perceber a influência da maior ou menor constância dos atrasos implícitos aos filtros, relativamente às respectivas respostas ao degrau, a exemplo da análise que ora realizamos.

Análise dos atrasos relativos aos filtros de Chebyshev

— As figuras 7 e 8 apresentam de forma aproximada a variação amplitude \times frequência e retardo \times frequência para um filtro passa-baixas de Chebyshev. Como é possível constatar na faixa de passagem ($f < f_{corte}$), as características de atraso são flagrantemente inconstantes. Assim, para frequências próximas à de corte, teríamos um retardo muito mais acentuado que aquele verificado para $f \ll f_{corte}$. Ao repetirmos o estudo no domínio do tempo desta família de filtros (fig. 9), observamos que o tempo de subida (região A) da resposta, causada pela introdução de um degrau de tensão, é maior do que o tempo de subida registrado para a configuração Butterworth — um fato, aliás, plenamente justificável, se lembrarmos que as altas frequências (responsáveis pelas rápidas alterações na forma de onda) estão sendo comparativamente mais retardadas que as componentes de frequência inferior. Tal atraso, por outro lado, influencia uma maior ondulação ao final do *rise time* — região B —, após o que é alcançada a fase estável (região C).

Concluimos, portanto, que o filtro de Chebyshev degenera sensivelmente a resposta a um degrau, apresentando uma distorção da informação aplicada superior àquela descrita para os filtros de Butterworth. Cabe novamente mencionar que a atenuação na faixa de rejeição do filtro passa-baixas de Chebyshev assume uma variação mais acentuada que a da rede de Butterworth (considerando-se, obviamente, filtros de mesma ordem). Isto pode ser constatado pela simples comparação das figuras 4 e 7.

Filtros de Bessel — caracterização

— As explicações sobre o comportamento da fase em relação à fre-

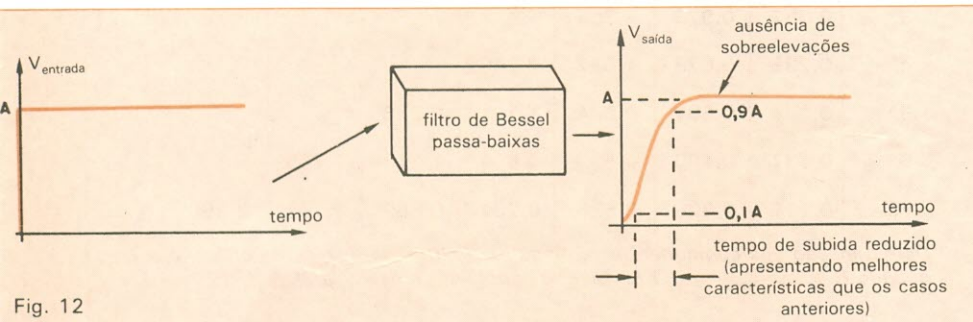


Fig. 12

A resposta de um filtro passa-baixas tipo Bessel à injeção de um degrau de tensão de nível "A".

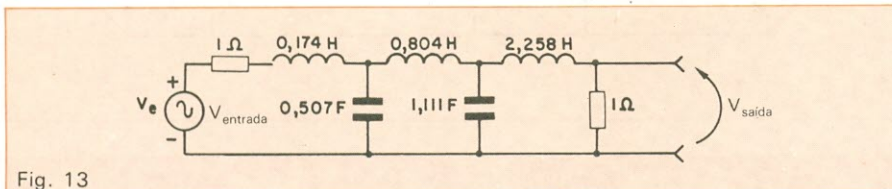


Fig. 13

Aspecto do filtro normalizado (rede tipo Bessel, 5.^a ordem, $R_{fonte} = R_{carga} = 1\Omega$)

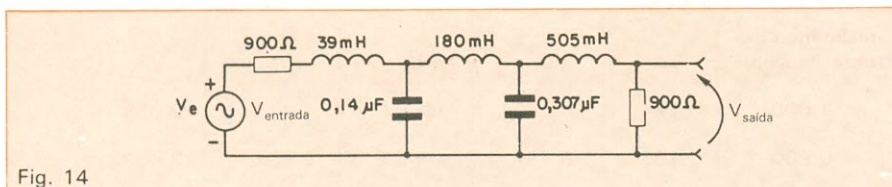


Fig. 14

O filtro passa-baixas de Bessel (5.^a ordem, $f_{corte} = 640$ Hz) adequadamente desnormalizado ($R_{fonte} = R_{carga} = 900\Omega$).

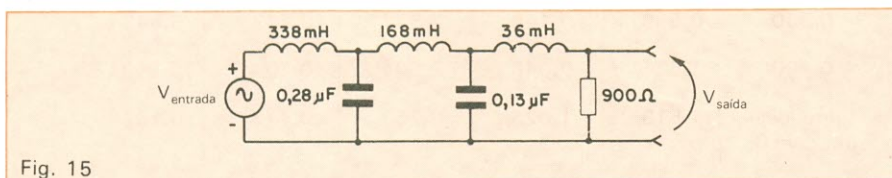


Fig. 15

Aspecto do filtro passa-baixas de Bessel (5.^a ordem, $f_{corte} = 640$ Hz) desnormalizado, com $R_{fonte} = 0$, $R_{carga} = 900\Omega$.

quência vão ser de grande utilidade no presente item, que examinará o terceiro grupo de filtros passivos — um grupo que se distingue dos demais pelo fato de ser caracterizado por uma linearidade na curva de fase, que não é encontrada nas duas famílias já consideradas. Em outras palavras, os filtros de Bessel são utilizados quando desejamos manter constante a defasagem na saída do circuito para qualquer sinal injetado à entrada da rede, se limitarmos-nos, evidentemente, à faixa de passagem.

Examinando as figuras 10 e 11, onde estão incluídos os gráficos atenuação x frequência e retardo x frequência para alguns filtros do tipo Bessel (em diferentes graus), podemos extrair uma série de conclusões: 1) quanto maior a ordem da rede, mais ampliada será a faixa de frequências para as quais obtém-se a constância no valor do atraso. Observe que as características de retardo para os filtros de Bessel são superiores, em termos de planura, às dos grupos Chebyshev e Butterworth; 2) em consequência deste fato, a resposta do filtro ao degrau de tensão também se torna sensivelmente melhor, sem sobrelevações (conforme ilustra a fig. 12); 3) por outro lado, tal melhoria de desempenho é alcançada às custas de uma menor declividade da função de atenuação na região da frequência de corte, apresentando uma resposta ainda mais pobre que a curva ganho x frequência para um filtro de Butterworth.

Projeto de filtros de Bessel — Prosseguindo a linha de nossos artigos anteriores, procuraremos, através de exemplos convenientemente escolhidos, fornecer ao leitor uma visão global das técnicas de projeto de filtros de Bessel.

Exemplo 1: Necessitamos configurar um tipo Bessel (passa-baixas), que deve ser caracterizado por uma defasagem constante (fase do sinal da saída relativamente ao de entrada, assumida uma determinada frequência) para a faixa de operação compreendida entre 0 e 1,6 kHz. Paralelamente, exige-se que o valor de atenuação na frequência de 5,8 kHz seja superior a 30 dB. Qual o grau a ser determinado para esta rede?

Analisemos os gráficos esboçados nas figuras 10 e 11. Ao adotarmos uma rede de 4.^a ordem, percebe-se que ela satisfaz a condição de linearidade de retardo, quando, por hipótese, assumimos $f_{normalizada} = 1,9$, valor que indica o limite da região de planura para o caso em consideração. Deste caso, por sinal, extraímos facilmente a magnitude da frequência de

corte, ao relacionarmos o dado fornecido no enunciado acima (1,6 kHz) com a faixa de constância de fase (normalizada). Deste modo, obtemos:

$$\frac{f_{corte}}{f_{normalizada}} = \frac{1}{1,9} = \frac{x}{1,6}$$

$$x = f_{corte} = \frac{1,6}{1,9} = 0,842 \text{ kHz}$$

No entanto, ao introduzirmos a frequência de 5,8 kHz (na realidade, o valor normalizado, corresponde a $5,8/0,842 = 6,89$) na curva de atenua-

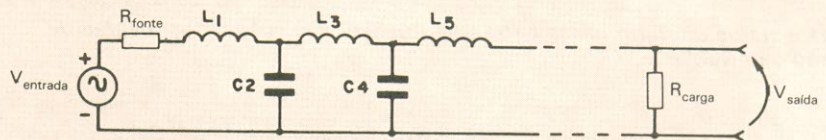
ção x frequência para um filtro de Bessel de 4.^a ordem, vamos notar que a atenuação não ultrapassaria a região em torno de 27 dB, o que não atende à segunda exigência do exemplo. Uma possível solução pode ser encontrada através da consideração de uma rede de 5.^a ordem: a condição extrema para a constância de fase, coletada ao utilizarmos-nos da curva n.º 5 (fig. 11), equivalente a um filtro de Bessel do 5.º grau, fornece $f_{norm} \approx 2,5$.

Valores normalizados para Lx e Cx

(incluindo filtros até 7.^a ordem)
Quadro 1

Ordem	L ₁	C ₂	L ₃	L ₄	L ₅	C ₆	L ₇
2. ^a	0,576	2,148					
3. ^a	0,337	0,970	2,203				
4. ^a	0,233	0,673	1,082	2,240			
5. ^a	0,174	0,507	0,804	1,111	2,258		
6. ^a	0,137	0,400	0,639	0,854	1,113	2,265	
7. ^a	0,111	0,326	0,525	0,702	0,869	1,105	2,266

Determinação dos componentes reativos para filtros de Bessel, de ordem 2 a 7 quando $R_{fonte} = R_{carga} = 1\Omega$ (escala de impedâncias deslocada).



Magnitudes normalizadas dos componentes

(para o caso genérico em que $R_{fonte} \neq R_{carga}$)
Quadro 2

resistência da fonte de sinais	L ₁	C ₂	L ₃	C ₄	L ₅
1,000	0,174	0,507	0,804	1,111	2,258
0,900	0,193	0,454	0,889	0,995	2,433
0,700	0,245	0,349	1,132	0,764	2,927
0,500	0,338	0,247	1,567	0,538	3,808
0,300	0,555	0,146	2,577	0,317	5,843
0,100	1,635	0,048	7,604	0,104	15,949
fonte ideal ($R_{fonte} = 0$)	1,513	1,023	0,753	0,473	0,162

Variação dos componentes reativos em função da resistência interna da fonte de sinais (para um filtro de Bessel de 5.^a ordem).

Podemos calcular a frequência de corte para este exemplo em particular: $1,6/2,5 = 0,640$ kHz. Assim, para $5,8$ kHz (normalizando, temos: $f_{norm} = 5,8/0,64 = 9,06$) encontramos, pelos gráficos da figura 10, uma atenuação superior a 30 dB, conforme estipulam as exigências descritas acima.

Exemplo 2: Toma-se por base a ordem acima obtida (5^a), para determinar a topologia e os valores dos componentes: a) para o filtro normalizado e b) para as frequências anteriormente citadas. Assumir uma impedância de carga equivalente a 900Ω , recordando que $f_{corte} = 640$ Hz.

Inicialmente, podemos constatar que, a exemplo dos grupos anteriores de filtros, também para a família Bessel podemos tabelar os valores de componentes normalizados em função da ordem da rede (Quadros 1 e 2), com o objetivo de aplicá-los à configuração básica. Esta, como de hábito, virá a constituir o filtro com a ordem e características desejadas, sempre que dimensionada adequadamente.

O Quadro 1 apresenta os valores normalizados para L_x e C_x , incluindo filtros até a 7^a ordem, havendo, porém, uma restrição: a impedância de carga deve se igualar à da fonte geradora de sinais ($R_{fonte} = R_{carga}$). Neste quadro, encontramos também a topologia genérica correspondente aos dados tabelados, para filtros passa-baixas de Bessel de enésima ordem.

Por sua vez, o Quadro 2 contém as magnitudes normalizadas dos componentes para o caso genérico em que $R_{fonte} = R_{carga}$. Limitamo-nos, todavia, à exibição do tabelamento para filtros do 5^o grau, sendo conveniente ressaltar que as informações complementares relativas às demais ordens poderão ser coletadas junto às referências citadas (veja bibliografia).

Sob a hipótese da igualdade de R_{fonte} e R_{carga} , extraímos imediatamente os valores dos componentes ao nos reportarmos ao Quadro 1. Desse modo, teremos para os componentes normalizados:

	$R_{fonte} = 1\Omega$	
	$R_{carga} = 1\Omega$	
$L_1 = 0,174$ H		$C_4 = 1,111$ F
$C_2 = 0,507$ F		$L_5 = 2,258$ H
$L_3 = 0,804$ H		

Conseqüentemente, o circuito com os valores acima extraídos viria a tomar o aspecto indicado na figura 13.

A desnormalização desta rede segue as técnicas que já se tornaram usuais em nosso trabalho. Os componentes obtidos encontram-se calculados, como sabemos, pressupondo-se f_{corte} (normalizado) = 1 rad/s. Realizamos a devida conversão, considerando $f_{3dB} = 0,640$ kHz e adotando, simultaneamente, como fator de escalonamento de impedâncias, o valor 900 . Portanto, os parâmetros reais poderão ser dimensionados a partir das relações tradicionais:

$$R_g = [R_n \times \text{escalonamento em impedância}]$$

$$L_g = \frac{L_n \times \text{escalonamento em impedância}}{\text{fator de escala em frequência}}$$

$$C_g = \left[\frac{C_n}{\text{fator de escala em frequência} \times \text{escalonamento em impedância}} \right]$$

O fator de escala em frequência é obtido através dos seguintes cálculos:

$$\text{fator de escala em frequência} = \frac{2\pi \times 640}{1} = 4019,2$$

Resultam para os componentes reais os seguintes valores:

$$L_1 = \frac{0,174 \times 900}{4019,2} \cong 39 \text{ mH}$$

$$C_2 = \frac{0,507}{4019,2 \times 900} \cong 0,14 \mu\text{F}$$

$$L_3 = \frac{0,804 \times 900}{4019,2} \cong 180 \text{ mH}$$

$$C_4 = \frac{1,111}{4019,2 \times 900} \cong 0,307 \mu\text{F}$$

$$L_5 = \frac{2,258 \times 900}{4019,2} \cong 505 \text{ mH}$$

$$R_{carga} = 1 \times 900 = 900\Omega$$

$$R_{fonte} = 1 \times 900 = 900\Omega$$

Evidentemente, a rede final será constituída pelos componentes desnormalizados, substituindo os que constam da figura 13.

Exemplo 3: Redimensionamento do filtro anterior para o caso em que a fonte de sinais possui uma impedância interna excepcionalmente baixa, podendo, em conseqüência, ser desprezada. Os dados para esta hipótese são tomados a partir do Quadro 2. Teremos, então:

$$R_{fonte} = 0\Omega$$

$$R_{carga} = 1\Omega$$

$$L_1 = 1,513 \text{ H}$$

$$C_2 = 1,023 \text{ F}$$

$$L_3 = 0,753 \text{ H}$$

$$C_4 = 0,473 \text{ F}$$

$$L_5 = 0,162 \text{ H}$$

Ao desnormalizarmos estes valores, chegamos aos seguintes componentes:

$$L_1 = \frac{1,513 \times 900}{4019,2} \cong 338 \text{ mH}$$

$$C_2 = \frac{1,023}{4019,2 \times 900} \cong 0,28 \mu\text{F}$$

$$L_3 = \frac{0,753 \times 900}{4019,2} \cong 168 \text{ mH}$$

$$C_4 = \frac{0,473}{4019,2 \times 900} \cong 0,13 \mu\text{F}$$

$$L_5 = \frac{0,162 \times 900}{4019,2} \cong 36 \text{ mH}$$

$$R_{carga} = 1 \times 900 = 900\Omega$$

$$R_{fonte} = 0 \times 900 = 0\Omega$$

Logo, a configuração da rede seria definida pelo circuito esquematizado na figura 15.

Como nota final, vale registrar que um filtro de Butterworth do 5^o grau propiciaria uma atenuação na frequência de $5,8$ kHz (com $f_{corte} = 640$ Hz) ao redor de 95 dB, ou seja, superior à que é proporcionada por uma rede tipo Bessel. Confirma-se, assim, o deficiente comportamento na região de rejeição para esta família de filtros. A partir do próximo artigo vamos nos dedicar integralmente ao estudo dos filtros fundamentados nas redes ativas. ●

Bibliografia

Principles of Active Network Synthesis and Design — Daryanani — John Wiley & Sons — EUA.

Modern Filter Theory and Design — TEMES/MITRA — John Wiley & Sons — EUA.

Handbook of Filter Synthesis — Anatol I. Zverev — John Wiley & Sons — EUA.

Filter Theory and Design: Active and Passive — SEDRA/BRACKETT — Matrix Publishers, Inc. — EUA.

Electronic Filter Design Handbook — Arthur B. Williams — McGraw-Hill, Inc. — EUA.

ARGOS- IPOTEL

CURSOS DE ELETRÔNICA E INFORMÁTICA

ARGOS e IPOTEL unidas, levam até você os mais perfeitos cursos pelo sistema:

TREINAMENTO À DISTÂNCIA

Elaborados por uma equipe de consagrados especialistas, nossos cursos são práticos, funcionais, ricos em exemplos, ilustrações e exercícios.

E NO TÉRMINO DO CURSO, VOCÊ PODERÁ ESTAGIAR EM NOSSOS LABORATÓRIOS.



Preencha e envie o cupom abaixo.

ARGOS — IPOTEL

R. Clemente Álvares, 247 - São Paulo - SP.
Caixa Postal 11.916 - CEP. 05090 - Fone 261-2305

Nome _____

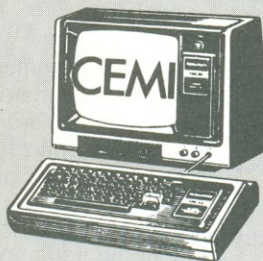
Endereço _____

Cidade _____ CEP _____

Curso _____

Ao nos escrever indique o código NE

COMPUTAÇÃO ELETRÔNICA !



NÃO PERCA TEMPO!
SOLICITE
INFORMAÇÕES
AINDA HOJE!
GRÁTIS



NO MAIS COMPLETO CURSO DE ELETRÔNICA DIGITAL E MICRO-PROCESSADORES VOCÊ VAI APRENDER A MONTAR, PROGRAMAR E OPERAR UM COMPUTADOR.

MAIS DE 160 APOSTILAS LHE ENSINARÃO COMO FUNCIONAM OS, REVOLUCIONÁRIOS CHIPS 8080, 8085, Z80, AS COMPACTAS "MEMÓRIAS" E COMO SÃO PROGRAMADOS OS MODERNOS COMPUTADORES.

VOCÊ RECEBERÁ KITS QUE LHE PERMITIRÃO MONTAR DIVERSOS APARELHOS CULMINANDO COM UM MODERNO MICRO-COMPUTADOR.

● CONSULTE-NOS SOBRE OS PLANOS DE FINANCIAMENTO DE MICROCOMPUTADORES.

CURSO POR CORRESPONDÊNCIA

CEMI — CENTRO DE ESTUDOS DE MICROELETRÔNICA E INFORMÁTICA
Av. Paes de Barros, 411, cj. 26 — Fone (011) 93-0619
Caixa Postal 13.219 — CEP 01000 — São Paulo — SP

Nome

Endereço

Bairro

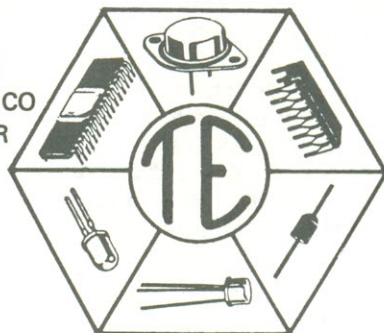
CEP Cidade Estado

NE 99

TRANSITRON

Comércio de Componentes

- TTL/LS/S/H
- C.MOS
- GRAVADOR E APAGADOR DE EPROM
- LINHA Z80
- ICL 7107
- 2114
- LINHA Z80A
- ELETROLÍTICO
- TRANSÍSTOR
- POLIESTER
- TÂNTALO
- PLATE
- RESISTOR
- FUSÍVEL
- SOQUETE
- CONECTOR C. IMP.
- PROTO BOARD
- CRISTAL



Atendemos pelo Reembolso VARIG

Linha completa — Consulte-nos

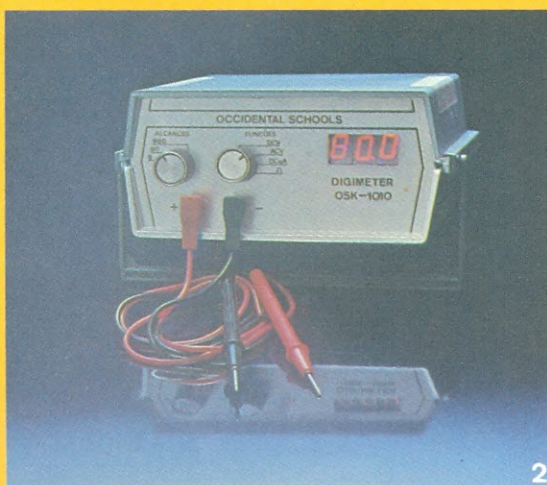
TRANSITRON Eletrônica Ltda.

Rua dos Gusmões, 353 - 3º andar - cj. 31 - fones: 223-9133/
223-5187 — Telex (011) 37982 — SP

Kits eletrônicos e conjuntos de experiências, componentes do mais avançado sistema de ensino, por correspondência, na área eletroeletrônica!



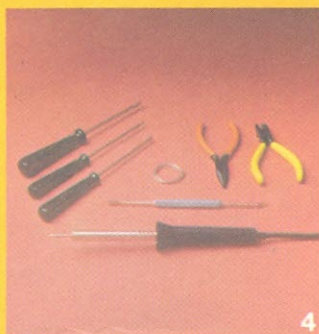
1



2



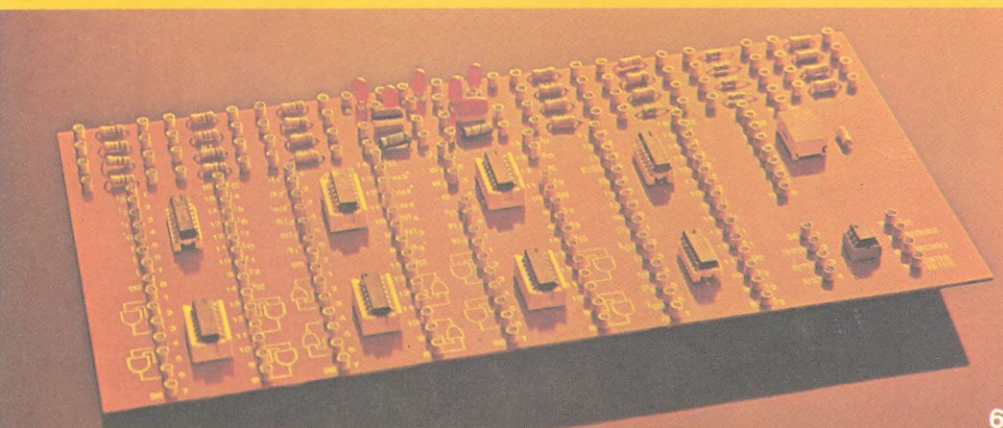
3



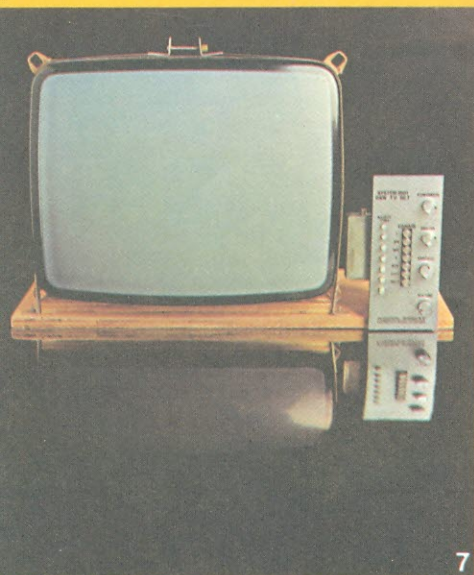
4



5



6



7



8

Aqui está a grande chance para você aprender todos os segredos do fascinante mundo da eletrônica!

Solicite maiores informações, sem compromisso, do curso de:

- 1 - Eletrônica
- 2 - Eletrônica Digital
- 3 - Áudio/Rádio
- 4 - Televisão P&B/ Cores

mantemos, também, cursos de:

- 5 - Eletrotécnica
- 6 - Instalações Elétricas
- 7 - Refrigeração e Ar Condicionado

Occidental Schools

cursos técnicos especializados

Al. Ribeiro da Silva, 700
CEP 01217 São Paulo SP
Telefone: (011) 826-2700

Em Portugal
Rua D. Luis I, 7 - 6º
1200 Lisboa PORTUGAL

À
Occidental Schools
Caixa Postal 30.663
CEP 01051 São Paulo SP

NE-99

Desejo receber GRATUITAMENTE o catálogo ilustrado do curso de:

indicar o curso desejado

Nome _____

Endereço _____

Bairro _____

CEP _____ Cidade _____

Estado _____

1) Kit Analógico Digital - 2) Multímetro Digital - 3) Comprovador Dinâmico de Transistores - 4) Conjunto de Ferramentas - 5) Injetor de Sinais - 6) Kit Digital Avançado - 7) Kit de Televisão - 8) Transglobal AM/FM Receiver

Uma das tendências que começam a prevalecer neste tipo de integrado é a sua construção com estruturas cavidade N ou cavidade dupla, ambas compatíveis com os processos NMOS

Tecnologias para o CMOS em corpo de substrato

No artigo anterior — 2ª parte —, apresentamos uma tabela, com a classificação das várias opções tecnológicas quanto ao seu mérito. Aí, destacamos a tecnologia CMOS cavidade P (CMOS convencional), além de classificar as tecnologias de corpo de substrato e tecnologias em filme fino. Como tivemos a oportunidade de verificar, a tecnologia CMOS cavidade P consiste do TEC-MOS canal N, porta metálica, fabricado em ilhas, com dopagem P, que se casa com um TEC-MOS canal P, também porta metálica, construído num substrato tipo N.

Agora, dando prosseguimento à nossa exposição, vamos reproduzir, na figura 1, a seção transversal deste integrado, mostrando, inclusive, os anéis de guarda que operam como bloqueadores de canais parasitários.

A tecnologia CMOS porta metálica foi, até o final da década de 70, substituída pela de porta de silício policristalino, que permite o desenvolvimento de processos com auto-alinhamento. Este recurso reduz drasticamente a capacitância parasitária porta-dreno, possibilitando uma simplificação do escalonamento. Na figura 2 apresentamos a seção transversal de um CMOS, fabricado de acordo com esta tecnologia.

A maior parte dos CIs que hoje encontramos no comércio é fabricada

com base nesta alternativa tecnológica, embora haja uma tendência atual de retorno ao CMOS porta metálica, que utilizam metais refratários para viabilizar o auto-alinhamento. Isso também se manifesta no uso de portas de silicetos, que possibilitam, além do auto-alinhamento, a oxidação dos filmes, e apresentam uma resistividade muito menor do que a do silício policristalino.

O melhor controle das cargas contidas no óxido de silício está possibilitando a muitas empresas permutarem as dopagens do substrato e da cavidade, dando origem ao processo CMOS, cavidade N. Com isso, passamos a ter uma cavidade N colocada no corpo do substrato. Os transistores TEC-MOS, canal P, são construídos nessa cavidade, enquanto que os TEC-MOS canal N ficam no substrato original. Na

figura 3 apresentamos a seção transversal de um CI fabricado segundo esta tecnologia, que aproveita a alta escala de compatibilidade existente com os processos NMOS. Sua implementação exige apenas um par de passos a mais de mascaramento para a produção CMOS, e, assim, os circuitos CMOS podem aproveitar a maior parte da linha de produção NMOS, da mesma forma que os avanços de processos realizados em suas estruturas.

Há, todavia, uma dificuldade já mencionada na seção anterior. Tanto no processo CMOS, cavidade P, como no de cavidade N, se otimizarmos o processo para um tipo de TEC-MOS, ficaremos fora do ponto ótimo para outro tipo, em virtude dos compromissos de processamento que devem ser assumidos durante a fabricação. Um terceiro método, denominado "cavidade dupla" (*twin tub*, *twin well* ou *dual well*), permite tanto a otimização de ambos os TEC-MOS como difunde cavidades tipo P e tipo N, dopados em substrato tipo N (por sua vez, levemente dopados). Nessas cavidades são feitas implantações iônicas para a melhor dopagem das regiões de fonte e de dreno dos TEC-MOS. O processo de dupla cavidade é mais complexo do que o processo cavidade P ou cavidade N simples; no entanto, resulta numa grande imunidade a partículas alfa e

aumenta ainda mais a imunidade a ruídos.

Isso porque cada tipo de TEC-MOS está colocado na sua própria cavidade, estando assim protegido contra os elétrons que são expelidos pelos choques com as partículas alfa através da pastilha. Da mesma forma, os TEC-MOS estão também isolados do ruído do substrato.

Sem dúvida, as estruturas CMOS cavidade N e dupla cavidade deverão prevalecer nos próximos anos. Ambas são beneficiadas pela sua compatibilidade com os processos NMOS, que se encontram altamente refinados. Como resultado disso, os CIs CMOS serão mais densos e mais rápidos permitindo a construção de microprocessadores e lógica casual em pastilhas de memória. A estrutura de dupla cavidade, em particular, promete densidades extremamente elevadas, eliminando as áreas perdidas com os TEC-MOS canal P, que necessitam apresentar dimensões mais amplas para compensar a dopagem P do substrato não otimizado. Acredita-se que, até o final da década de 80, as estruturas cavidade N e dupla cavidade devam fundir-se, originando um esquema de processamento único. No entanto, apesar das vantagens das estruturas cavidade N e dupla cavidade não temos ainda eliminados os problemas de isolamento dos dispositivos adjacentes e o problema de arrocho, devido ao disparo de PNP (fig. 4).

Em se tratando de pequenas dimensões, é mais difícil solucionar o problema do arrocho. As formas convencionais de equacioná-lo são as seguintes: aumento do espaçamento horizontal, uso de anéis de guarda difundidos ou colocação de tiras metálicas que impeçam a inversão de população em regiões críticas. Obviamente, estas medidas são contrárias ao aumento de densidade. Considerando, por exemplo, estruturas com dimensões inferiores a $2 \mu\text{m}$ e a necessidade de se colocar dispositivos uns próximos dos outros, o ganho das estruturas PNP laterais vai aumentar consideravelmente. Ruídos ou transitórios inesperados de tensão poderão disparar estas estruturas PNP, ativando-as; isto provocará a circulação de um fluxo elevado de corrente que certamente queimará o CI.

Há diversas alternativas tecnológicas para se reduzir o arrocho. Reduzir a resistência série do substrato, de modo a estabelecer um trajeto para eliminar correntes espúrias, que poderiam polarizar diretamente junções próximas e, assim, produzir o arrocho, é o processo tecnológico denominado "cavidade retrógrada". Uma cavidade retrógrada pode ser implementada

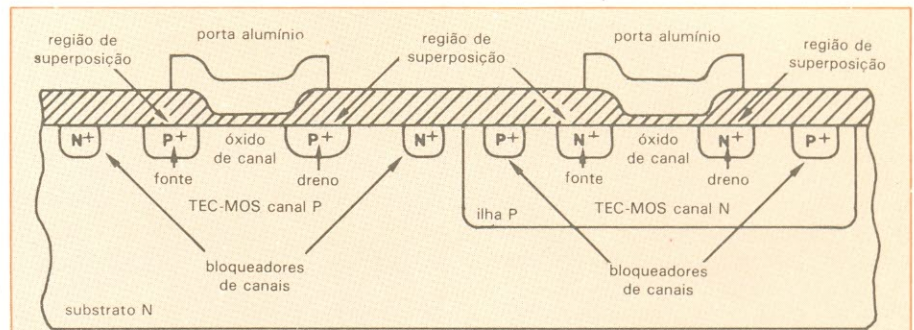


Fig. 1

Estrutura mais antiga, utilizada nos CMOS de corpo de substrato, cavidade P, porta de alumínio.

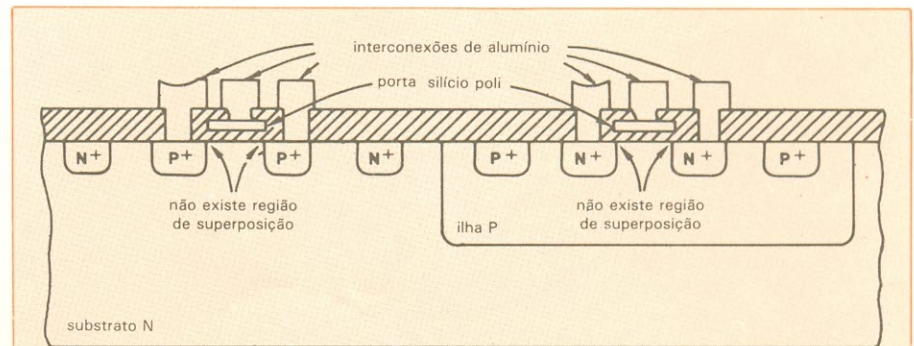


Fig. 2

A utilização da porta de silício policristalino permitiu o auto-alinhamento e um melhor controle da tensão de transição. Isso simplificou o processo de redução das dimensões dos dispositivos.

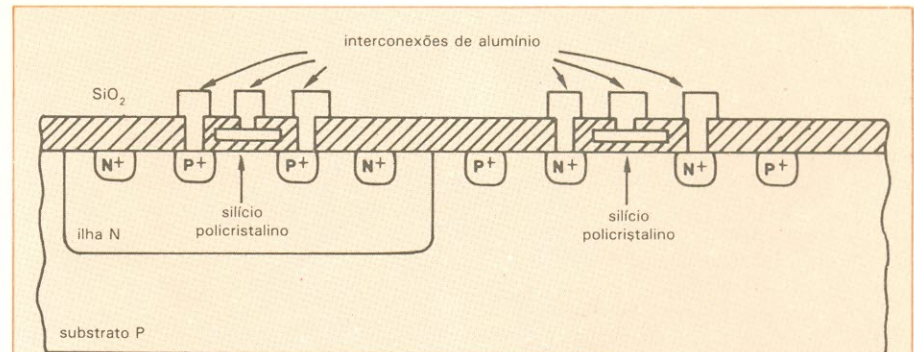


Fig. 3

Com a reversão da estrutura original do CMOS cavidade P, foi criada a estrutura CMOS, cavidade N, que se sobrepõe a muitos dos passos de processamento da tecnologia NMOS.

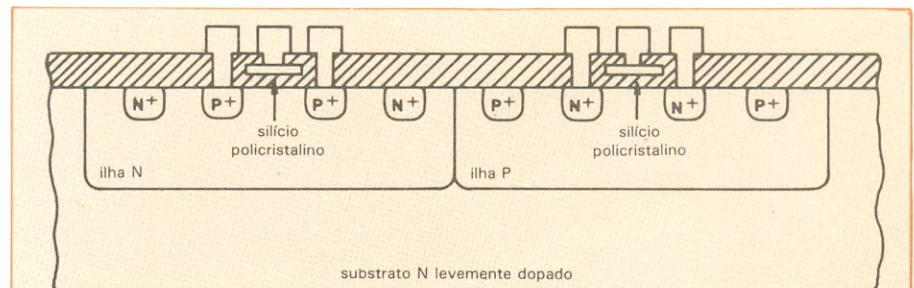


Fig. 4

Uma estrutura com cavidade dupla, que funde numa única pastilha os conceitos da cavidade tipo P e da cavidade tipo N, viabiliza a otimização de ambos os tipos de TEC-MOS.

da por dopagem retrógrada da cavidade com implantação de alta energia — que produz um máximo de concentração abaixo da superfície — ou pela difusão de uma cavidade razoavelmente dopada, realizando uma contradopagem para reduzir a concentração (de dopagem) na superfície. Uma das aplicações da cavidade retrógrada envolve a implantação profunda de boro. Nessa técnica, o boro define as regiões para os TEC-MOS canal N, operando como “faixa de guarda” de isolamento de campo elétrico, que, por sua vez, minimiza as fugas entre os transistores. Com isso, há o corte do ganho de corrente por um fator de 10, quando comparado com o processo cavidade P convencional.

Também está se tornando prática comum na aplicação da tecnologia CMOS, a fabricação de seus elementos sobre uma camada epitaxial desenvolvida sobre um substrato de baixa resistividade. Este substrato cria por si próprio um canal de eliminação de correntes espúrias que, tal como no caso anterior, poderiam polarizar diretamente a estrutura PNP e provocar o arrocho. Na figura 5, mostramos um inversor CMOS construído sobre uma camada epitaxial, que, possuindo pureza muito elevada, apresenta resistividade igualmente elevada, possibilitando a construção de TEC-MOS de boa qualidade. A baixa dopagem da camada epitaxial permite também a construção simples de regiões P e N, que operem como bloqueadores reduzindo o ganho das estruturas PNP. Além disso, sob a camada epitaxial de alta resistividade, que oferece baixa impedância, temos as correntes de fuga espúrias e os ruídos. A combinação elimina praticamente o fenômeno de arrocho, a não ser que se aplique tensões excepcionalmente elevadas, e que sejam capazes de disparar as estruturas PNP. A eliminação de ruídos prevê, também, uma excepcional resistência à radiação dos CMOS com camada epitaxial. Nessa tecnologia, há uma versão CMOS do microprocessador 8085, com seu conjunto de CIs periféricos, que suporta níveis de radiação de até 10^5 rads.

A utilização do *Crescimento Epitaxial por Feixe Molecular — CEFEM* — viabiliza o crescimento de camadas epitaxiais em áreas selecionadas da pastilha, otimizando deste modo o processo descrito. Este, por sua vez, encontra-se em desenvolvimento, sendo

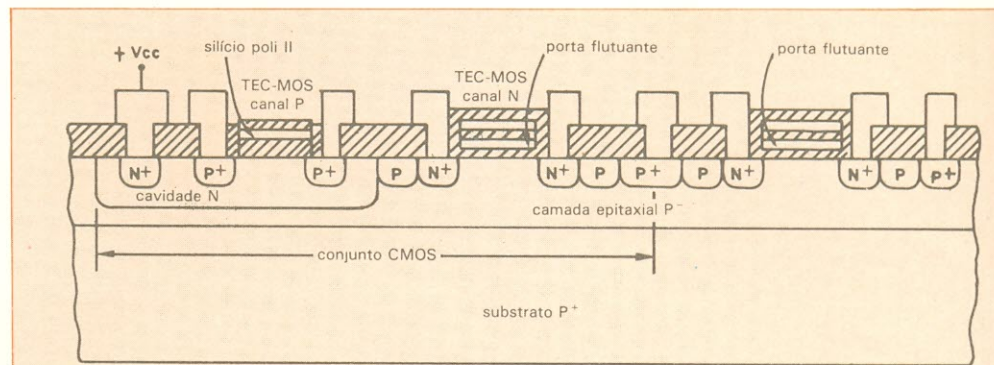


Fig. 5

Uma camada epitaxial de silício depositada sobre o substrato reduz automaticamente o ganho de estruturas PNP.

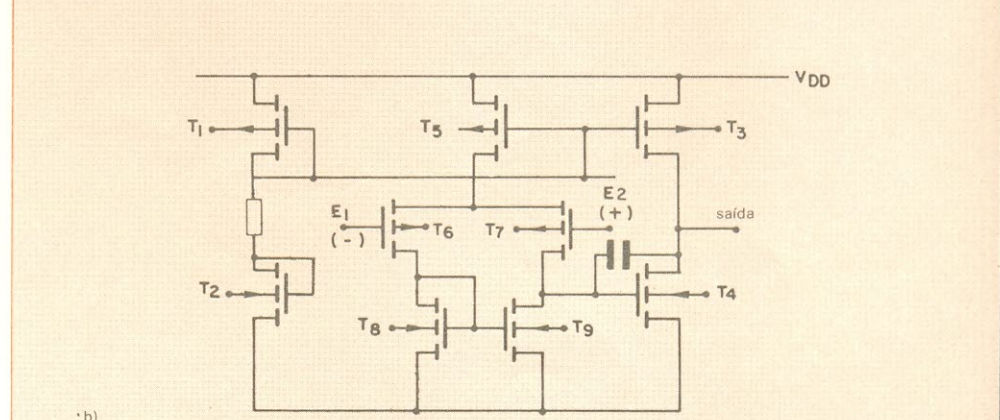
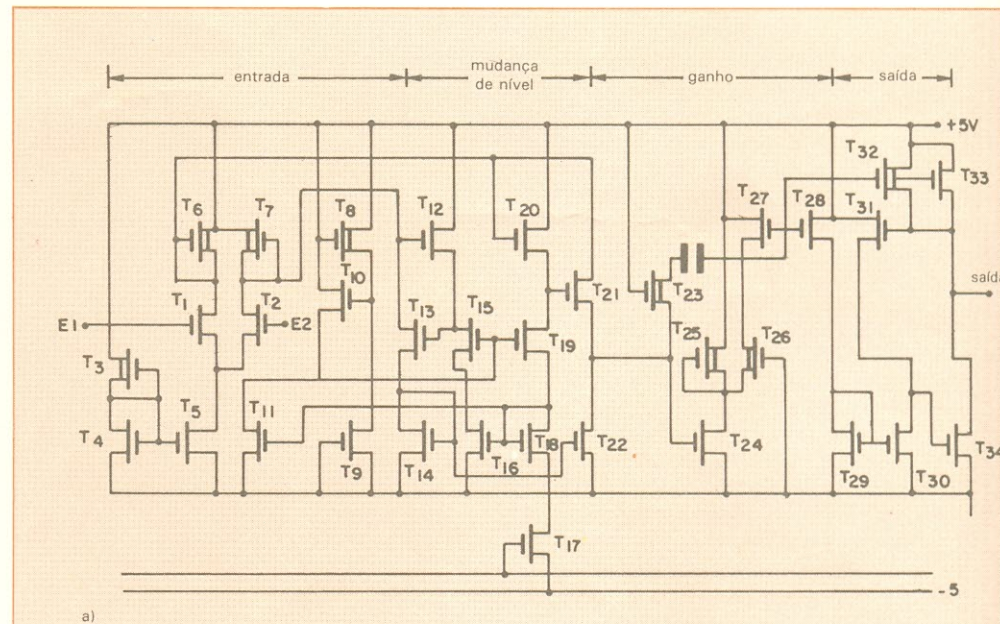


Fig. 6

A implementação TEC-MOS canal N, mostrada em a, requer um circuito muito mais complexo do que o resultante da implementação com circuitos CMOS, apresentada em b.

EDITELE

INFORMÁTICA E ELETRÔNICA NOS MAIS COMPLETOS LIVROS SOBRE O ASSUNTO



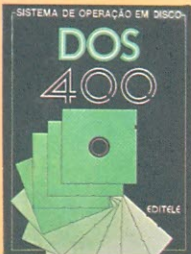
BASIC PARA CRIANÇAS DOS 8 AOS 80 - VOLUMES 1 E 2
 Michael Zabinski
 Dois divertidos livros para os jovens que querem conhecer a linguagem BASIC.



APLICAÇÕES PARA SEU TRS-80 - QUASE TUDO EM BASIC - VOLUMES 1 E 2
 Howard Berenbon
 Ao todo, 61 aplicações diferentes para o seu computador. Tudo muito bem explicado. Programas escritos em BASIC níveis I e II para o TRS-80 ou compatíveis.



CURSO INTENSIVO DE MICROCOMPUTADORES
 Louis Frenzel, 336 p.
 Em um mesmo livro, três cursos de informática: visão geral, hardware e software.



DOS 400 SISTEMA DE OPERAÇÃO EM DISCO
 Elaborado de forma didática e competente, este livro permite uma visão das características do sistema operacional do CP 400 Color.



CP 500 MICROCOMPUTADOR - OPERAÇÃO E LINGUAGEM BASIC
 Inclui as especificações e o uso de sub-rotinas em linguagem de máquina.



SUGESTÕES PARA O PROGRAMADOR BASIC
 Earl R. Savage
 O livro de consulta com todas aquelas técnicas e "dicas" que os programadores experientes tanto escondem.



CP 400 COLOR - MANUAL DE OPERAÇÃO E LINGUAGEM
 O mais completo manual entre todos os compatíveis com o Color Computer! Usando uma linguagem simples e clara, o texto apresenta gradualmente todos os conceitos relativos à programação com esse versátil equipamento. A linguagem utilizada pelo CP 400 Color é detalhadamente explicada e seus recursos intensamente explorados.



CURSO DE PROGRAMAÇÃO BASIC E OPERAÇÃO CP 200 S
 Gradualmente este livro desvenda os segredos da programação BASIC, com explicações detalhadas e dezenas de exercícios.



CP/M BÁSICO
 Murtha & Waite
 Aborda em detalhes o que é um Sistema Operacional, como funciona o CP/M, como utilizá-lo e tirar o máximo proveito dos vários recursos de que ele dispõe.



CARTÃO DE REFERÊNCIA CP 400
 Todas as informações relativas à linguagem dos compatíveis com o CP 400 Color condensadas num prático e resistente cartão.



DOS 500 SISTEMA DE OPERAÇÃO EM DISCO
 Objetivo e ilustrado por vários exemplos, este livro aborda todas as características do sistema operacional em disco do CP 500.



APLICAÇÕES PARA O 555 (Com Experiências)
 Howard M. Berlin
 Este livro foi elaborado com o intuito de preencher uma lacuna existente na literatura técnica. Ele explica o temporizador 555 e sugere mais de 100 circuitos onde ele pode ser aplicado com sucesso, entre jogos, ignição eletrônica e outros.



COMO UTILIZAR ELEMENTOS LÓGICOS INTEGRADOS
 Jack Streater
 Com uma linguagem simples, explicações detalhadas e exemplos práticos, este livro aborda os pontos essenciais desde as noções básicas sobre numeração binária até os microprocessadores e sua estrutura interna.



PROJETOS COM AMPLIFICADORES OPERACIONAIS
 Com Experiências
 Howard M. Berlin
 Estuda o amplificador operacional em detalhes numa linguagem bastante acessível, partindo de seus circuitos básicos, analisando-os e modificando-os de modo a obter seu máximo desempenho.

ADQUIRA-OS SEGUINDO AS INSTRUÇÕES ABAIXO

ASSINALAR

BASIC PARA CRIANÇAS - Vol. 1	Cr\$ 31.000
BASIC PARA CRIANÇAS - Vol. 2	Cr\$ 41.000
APLICAÇÕES P/O SEU TRS 80 - Vol. 1	Cr\$ 26.000
APLICAÇÕES P/O SEU TRS 80 - Vol. 2	Cr\$ 35.000
SUGESTÕES P/O PROGRAMADOR BASIC	Cr\$ 24.000
CP/M BÁSICO	Cr\$ 31.000
MANUAL DO CP 500	Cr\$ 29.000
MANUAL DOS 500	Cr\$ 24.000
MANUAL DO CP 400 COLOR	Cr\$ 50.000
CARTÃO DE REFERÊNCIA CP 400	Cr\$ 8.000
MANUAL DO DOS 400	Cr\$ 29.000
MANUAL DO CP 200S	Cr\$ 27.000
COMO UTILIZAR ELEM. LÓGICOS INTEGRADOS	Cr\$ 23.000
PROJETOS COM AMPLIFICADORES OPERACIONAIS	Cr\$ 23.000
APLICAÇÕES PARA O 555	Cr\$ 23.000
CIM - CURSO INTENSIVO DE MICROCOMP.	Cr\$ 55.000

PREÇO VÁLIDO ATÉ 30/JUNHO

Em anexo estou remetendo a importância de Cr\$ _____ em Cheque N° _____ c/Banco _____ ou Vale Postal N° _____ (enviar à Agência Central SP) para pagamento do/s livro/s assinalados ao lado, que me será/ão remetido/s pelo correio.

Cheque ou Vale Postal, pagável em São Paulo, a favor de:

EDITELE Editora Técnica Eletrônica Ltda.

Caixa Postal 30.141 - 01000 - São Paulo - SP

Nome _____

Endereço _____

_____ Bairro _____ CEP _____

Cidade _____ Estado _____

OFERTA VÁLIDA APENAS P/O BRASIL

(Se não quiser destacar esta folha pode enviar xerox com os dados completos)

aplicado comercialmente apenas a componentes especiais. A previsão, contudo, é que em 1990 ele esteja sendo amplamente empregado em CIs de silício. Alternativamente, camadas epitaxiais localizadas podem ser desenvolvidas sobre lâminas de silício, procedendo-se da seguinte forma: a) deposita-se óxido de silício (SiO_2) sobre toda a lâmina; b) abre-se janelas nesse óxido, nas regiões onde se deseja desenvolver as camadas; c) cobre-se toda a lâmina com nitreto de silício (Si_3N_4); d) abre-se novamente janelas nas regiões em que se deseja o desenvolvimento epitaxial, tendo-se o SiO_2 protegido por paredes laterais de nitreto de silício; e) com isso, pode-se desenvolver entre as regiões, camadas epitaxiais que formam as ilhas isoladas. Este processo tem sido usado na construção de algumas estruturas CMOS porta simples, tanto cavidade P como N e dupla.

Tecnologias de corpo de substrato

— Como já dissemos, a simplicidade de projeto e o baixo consumo de potência das aplicações CMOS, tanto em circuitos digitais como em analógicos, tornaram esta tecnologia uma das melhores opções. Enquanto a tendência dos sistemas evolui para um aumento das aplicações digitais de processamento de sinais e outras funções, a maior parte das saídas de sensores e transdutores é analógica, sendo a tecnologia CMOS ideal para ambos. A excursão de tensão trilha a trilha (de 0V a + Vcc), a melhor imunidade a ruídos e o maior ganho disponível, tudo isso contribui para uma maior facilidade dos projetos CMOS. Na figura 6 esboçamos os amplificadores operacionais (NMOS e CMOS) equivalentes, onde se pode notar a diferença de complexidade de circuitos. Já a figura 7 mostra uma tabela, indicando a redução do número de geradores de

relógio para uma memória dinâmica de 64 kbits (este número foi reduzido de 40 para 14). Os circuitos CMOS possibilitaram, também, a redução de 500 transistores de circuitos periféricos genéricos.

Já dissemos que as técnicas mais comuns de fabricação CMOS requerem um espaçamento mínimo de muitas micra entre os TEC-MOS, canais P e N. Esta área perdida influi diretamente no índice custo/eficiência das memórias de grande capacidade fabricadas com apenas um tipo de TEC-MOS (usualmente NMOS), além de acarretar um atraso considerável no desenvolvimento de CIs CMOS de tipo genérico. Hoje, diversos microprocessadores estão sendo reprojatados, para serem implementados com tecnologia CMOS, visando reduzir a potência consumida.

Outra alternativa para se economizar potência é utilizar CMOS apenas nos pontos críticos da tecnologia combinada com NMOS. Este recurso tem sido o grande estimulador do uso da tecnologia CMOS cavidade N. Em uma fotomáscara extra ou num esquema de auto-registros, podem ser fabricados dispositivos canais P e N de alto desempenho, à custa de maior complexidade do processo.

Junções rasas de desempenho otimizado, associadas a dispositivos menores e maior densidade, aumentam a resistência dos elementos da estrutura de um CI. O problema está sendo controlado pela utilização de metais refratários e silicetos, para se obter trajetos de corrente de menor resistência, conjuminados com camadas de difusão mais finas.

A tecnologia CMOS tem tido papel de destaque em uma série de novas implementações. Como exemplo, podemos citar as várias famílias lógicas de alto desempenho, que vêm sendo produzidas por diversas empresas do setor. Entre os microprocessadores, podemos destacar o 80C85, os microprocessadores e microcomputadores 14804, 14805, o 68HC11, o 68020 e seus periféricos (o 68020 é fabricado com a tecnologia híbrida CMOS/NMOS). A tecnologia CMOS está possibilitando, também, a elaboração de CIs semidedicados, havendo diversos fabricantes que oferecem pastilhas com portas CMOS de alto desempenho. Os circuitos CMOS estão ainda sendo empregados em linhas completas de modems, filtros, codecs, conversores

Complexidade CMOS comparada ao estado da arte NMOS

Tabela 1

Características principais	CMOS 64kbits	NMOS 64kbits
Número de geradores de relógio	14	40
Número de transistores utilizados em circuitos periféricos, lógica casual	1100	1600
Razão da área do arranjo de células para a área da pastilha	0,50	0,40
Razão da área de redundância para correção de falta para a área total da pastilha	0,68	0,55

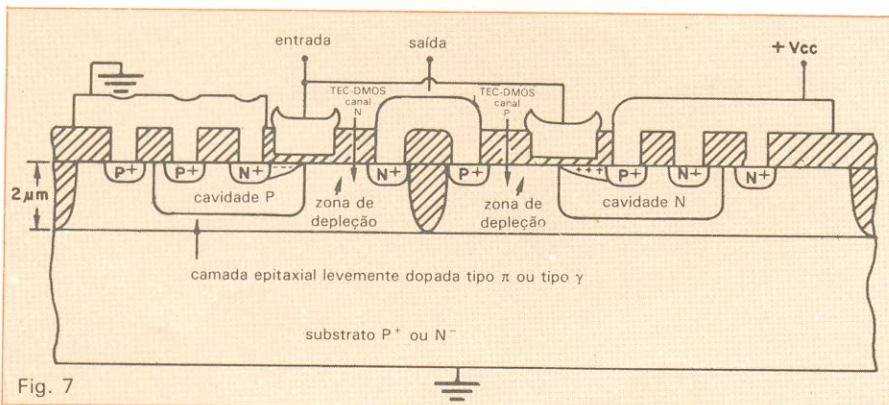


Fig. 7

A tabela ilustra um estudo com memórias de acesso direto de características similares, utilizando tecnologias CMOS e NMOS.

Weller®

Ferro de solda com temperatura controlada.



Nós avançamos a tecnologia para simplificar a soldagem.

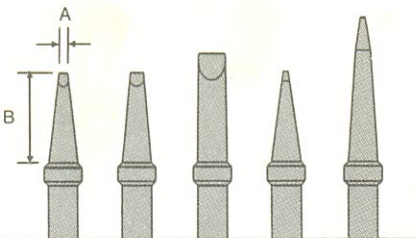
Os ferros de solda Weller controlam a temperatura automaticamente. Três versões são disponíveis, cada uma com um ajuste de temperatura diferente: 320°C, 370°C e 420°C.

Agora você tem a garantia de um controle preciso de temperatura sem perder tempo com ajustes e regulagens.

A Weller incorporou a tecnologia mais avançada para tornar a soldagem mais simples e precisa.



UMA VARIEDADE DE PONTAS ESTÁ À SUA DISPOSIÇÃO.



CODIGO	DESCRIÇÃO	TEMP.	VW		
WECB126	Ferro de Solda com Temperatura Controlada	320°C	120/42		
WECB127	Ferro de Solda com Temperatura Controlada	370°C	120/42		
WECB128	Ferro de Solda com Temperatura Controlada	420°C	120/42		
CODIGO	DESCRIÇÃO	A POL.	B	A m.m.	B
WETA-B	CHAVE DE FENDA	1/16"	5/8"	1,6	15,9
WETC-B	CHAVE DE FENDA	1/8"	5/8"	3,2	15,9
WETD-B	CHAVE DE FENDA	3/16"	3/4"	4,7	19,0
WETP-B	CÔNICO	1/32"	5/8"	0,8	15,9
WETS-B	CÔNICO LONGO	1/64"	1"	0,4	25,4

Qualidade

CooperTools

CRESCENT® K&F® LUFKIN® NICHOLSON® WELLER®

DISTRIBUÍDO POR
FILCRES Eletrônica Atacadista Ltda.
Rua Aurora, 179 - CEP 01209 - SP
Tels.: 222-3458/5430/0016
223-7388 (PBX)



análogo-digitais, MALs e MALREs e em vários outros circuitos.

Os projetos em desenvolvimento no momento atual situam-se na faixa de 0,5 μm para os CIs-VEMA, e em 2 μm , para o caso dos microprocessadores e periféricos comerciais avançados que utilizam silicetos. Ainda este ano deverão ser introduzidas memórias MADs com tecnologia de 1,5 μm .

A expectativa para o integrado CMOS, é de que ele, até o final da década, atinja 10 milhões de dispositivos por pastilha. Para este fim, a área média dos TEC-MOS individuais deverá ser reduzida dos atuais 400 μm^2 para 8 μm^2 — ou seja, um fator de 50 em apenas seis anos. Isto ocorrerá, provavelmente, quando os transistores forem colocados em mais do que uma camada, aumentando-se as camadas de interconexão para quatro ou mais, além de se utilizar litografia submicro-métrica.

Para encerrarmos esta discussão preliminar sobre os integrados CMOS

CMOS: milhões de dispositivos em cada pastilha

de corpo de substrato, vamos considerar aqueles que são construídos com dispositivos DMOS. Chamaremos estes CIs de CDMOS. Para sua construção, parte-se de uma lâmina substrato, levemente dopada, que chamaremos de π , se a dopagem tender a P^- , ou γ , se ela tender a N^- . Pode-se, também, utilizar uma camada epitaxial levemente dopada, desenvolvida sobre um substrato de dopagem elevada. A tecnologia de oxidação local LOCOS permite a separação da camada epitaxial em ilhas, levemente dopadas. Nessas ilhas, podemos difundir cavidades P e cavidades N, obtendo-se um perfil, conforme a figu-

ra 8. Onde temos a cavidade P, podemos difundir regiões N^+ , que irão constituir a fonte e o dreno do TEC-DMOS canal N. No caso de dispormos da cavidade P podemos difundir regiões P^+ , que, por sua vez, irão constituir a fonte e o dreno do TEC-DMOS canal P.

O leitor pode observar que as regiões de oxidação local LOCOS separam o dreno do TEC-DMOS canal P e, assim, garantem a formação de regiões de deriva para ambos os dispositivos DMOS. No caso da figura 8, outras regiões LOCOS separam o presente inversor CDMOS de outras portas lógicas presentes no CI.

Estudamos nesse artigo as principais tecnologias CMOS de corpo de substrato. Em artigos posteriores, continuaremos os estudos dessas tecnologias, bem como sua utilização para implementar CIs CMOS. Nos artigos conclusivos desta série estudaremos aplicações lineares e digitais e suas principais características.

GRAVE NA MEMÓRIA

IBRAPE

FAIRCHILD
A Schlumberger Company

TECCOR
TECCOR ELECTRONICS INC

RAYTHEON

GENERAL SEMICONDUCTOR INDUSTRIES, INC

SSS

National Semiconductor

SSS

ICOTRON
UMA ORGANIZAÇÃO SIEMENS

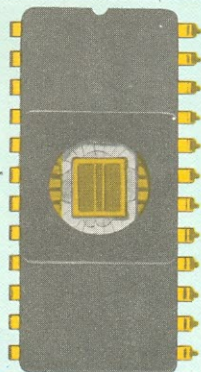
MOTOROLA

TEXAS INSTRUMENTS

TELEDYNE SEMICONDUCTOR

FONE - 222-2122

TLX: 011-24888



ATRAVÉS DESTES NÚMEROS SEUS DEPARTAMENTOS DE COMPRAS E ENGENHARIA PODEM CONTACTAR A TELEIMPORT, O DISTRIBUIDOR QUE HÁ MAIS DE 15 ANOS OFERECE PRODUTOS DE PRIMEIRA LINHA E UM ÓTIMO ATENDIMENTO ÀS INDÚSTRIAS DE ELETROÔNICA E INFORMÁTICA

DIODOS · TRANSISTORES · TIRISTORES · CIRCUITOS INTEGRADOS



Teleimport

Eletrônica Ltda.

Rua Sta. Ifigênia, 402 - 8.º ao 10.º and.

01207 São Paulo - SP - Brasil

2 zeners compensam efeito da temperatura

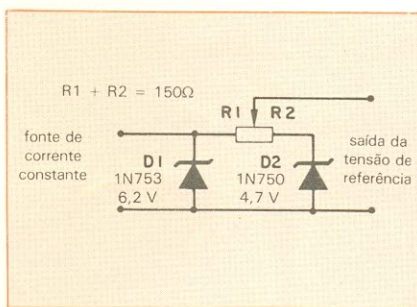
O diodo zener de precisão é bastante utilizado por "hobistas", técnicos e engenheiros na montagem de fontes sofisticadas, circuitos A/D e D/A etc. Porém, um grande obstáculo à utilização desse dispositivo é seu alto preço, além da dificuldade de encontrá-lo no mercado. Para remediar tal situação, o circuito da figura constitui um simples, porém eficiente sistema de se obter um coeficiente de temperatura ajustável, tirando proveito das características dos diodos zener.

Sabe-se que os zeners com tensões de ruptura abaixo de 5 V, aproximadamente, exibem um coeficiente de temperatura negativo, ao contrário daqueles com tensões de ruptura acima desse valor. Os diodos empregados nesse circuito não precisam ter, necessariamente, a mesma curva de coeficiente para se obter uma operação correta. A questão, na verdade, é tomar a saída no ponto em que o divisor de tensão forneça o coeficiente de temperatura desejado. Apenas quando os diodos forem selecionados com tensões muito acima ou abaixo de 5 V, o valor de R_{total} deverá ser elevado, para se conseguir a corrente adequada através de D2 — elevação que aumentará a resistência de saída, podendo ser indesejável, em alguns casos.

Os diodos e o potenciômetro escolhidos constituem uma resistência de saída inferior a 75Ω — que pode ser calculada pela fórmula:

$$(R_{D1} + R1)(R_{D2} + R2)/R_{D1} + R_{D2} + R1 + R2$$

onde R_{D1} e R_{D2} são as impedâncias dos diodos zener. As correntes desses diodos foram fixadas em 10 mA, com base nas tensões nominais do 1N753 e 1N750. A razão final de $R1/R2$, que vai estabelecer o coeficiente de temperatura exato, deve ser determinada por tentativa e erro.



Uma razão aproximada pode ser determinada para a condição de coeficiente nulo de temperatura, conhecendo-se o valor exato para uma corrente de 10 mA em ambos os zeners e comparando essas tensões com 5 V. Assumindo, por exemplo, que $V_{D1} = 6,2$ V e $V_{D2} = 4,7$ V, as diferenças em relação a 5 V são 1,2 V e 0,3 V, respectivamente. Tem-se, portanto, $R1/R2 = 1,2/0,3$ e, como $R1 + R2 = 150 \Omega$, $R1 = 120 \Omega$ e $R2 = 30 \Omega$.

Esses valores podem ser aproximados, já que a tensão de crossover não é exatamente 5 volts. Utilizando resistores de fio, foi possível conseguir unidades compensadas com desempenho superior a $\pm 0,001\%/^{\circ}\text{C}$, numa faixa de temperatura de -40 a $+100^{\circ}\text{C}$. Providenciando uma boa troca térmica entre os zeners e maior cuidado na seleção dos valores, pode-se obter desempenhos ainda melhores. ●

Atenção: Toda idéia publicada nesta seção dá direito a uma assinatura, por um ano, da revista Nova Eletrônica. Se você já for assinante, a publicação vai lhe garantir a renovação por mais um ano. Envie seu circuito acompanhado por um texto de duas páginas, no máximo; em cada edição divulgaremos uma entre as várias idéias que recebermos.



Curso Magistral em ELETRÔNICA Instituto Nacional CIÊNCIA

TODA A ELETRÔNICA EM UM SÓ CURSO MAGISTRAL

Você receberá em 48 Remessas, mais os Prêmios ao Graduado, todos os Elementos, Materiais, Ferramentas, Aparelhos, Kits, Instrumentos e TV a Cores completo que lhe entrega CIÊNCIA para sua mais completa e Garantida formação Técnico-Profissional.

NOVO MÉTODO M.A.S.T.E.R. COM MULTIPRÁTICA EM CASA

O Instituto Nacional CIÊNCIA incorporou o Método MASTER com total segurança e válido Treinamento em seu Lar com os Textos e Equipamentos de MULTIPRÁTICA EM CASA, e um opcional e valioso TREINAMENTO PROFISSIONALIZANTE FINAL.

TODO GRADUADO DE TÉCNICO EM ELETRÔNICA SUPERIOR TERÁ RECEBIDO:

- 1 SUPER KIT Experimental GIGANTE para experimentar progressivamente 20 Aparelhos Eletro-Eletrônicos mais 3 Instrumentos Exclusivos (Em Caixas Metálicas, não Plásticas), com todos os Materiais necessários para fazê-los funcionar, montados por você mesmo!!!
- 24 Ferramentas de Oficina.
- 1 Laboratório para Fabricar Placas de C.I.
- 6 Reprodutores de som (Autofalantes e Tweeters).
- 1 Gravador K-7 e 6 Fitas Didáticas pré-gravadas.
- 1 Gerador de AF e RF, com Garantia de Fábrica.
- 1 TV a Cores completo.
- 1 Gerador de Barras para TV, com Garantia de Fábrica.
- 1 Multímetro Digital, com Garantia de Fábrica.

BENEFÍCIOS EXCLUSIVOS:

Em forma inédita no Brasil você poderá capacitar-se em eletrônica com o mais completo e moderno Material Didático.

O valioso e completo Equipamento que entregamos, mais os importantes Textos e Manuais Profissionalizantes e de Empresas do "CEPA — GENERAL ELECTRIC — GETTERSON — HASA — HITACHI — MEGABRAS — MOTOROLA — PHILCO — PHILIPS — R.C.A. — SANYO — SHARP — SIEMENS — SONY — TELERAMA — TEXAS — TOSHIBA, WESTINGHOUSE Co, e outros, mais Lições TEMA A TEMA, Circulares Técnicas, PASTAS e Materiais Técnicos Didáticos diversos, mais as BOLSAS DE ESTUDO COMPLETAS de Especialização para nossos Graduados, com Estágios em Empresas e no CEPA.

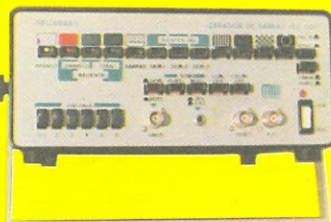
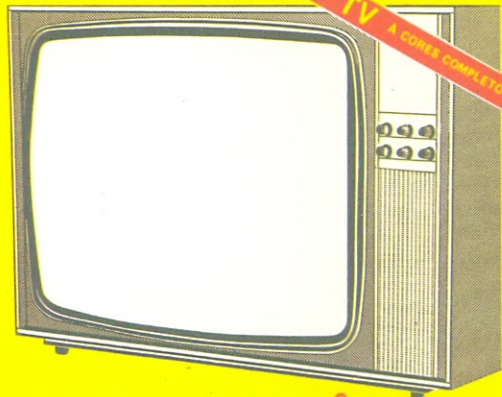
Esta OBRA EDUCACIONAL é uma realidade graças ao apoio e respaldo que importantes Instituições, Empresas e Editoriais Técnicas brindam com todo merecimento a CIÊNCIA, pelo sólido prestígio ganho em base a cumprimento, ideais de serviço e autêntica responsabilidade.



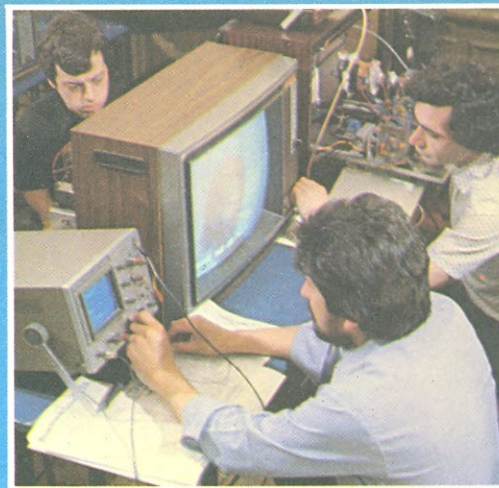
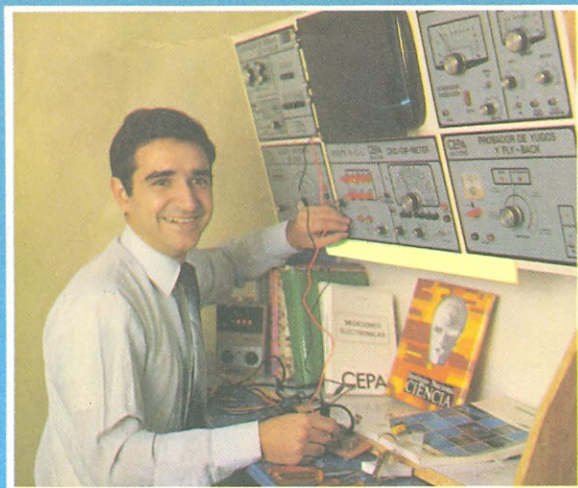
A CARREIRA TÉCNICA PARA AMBOS SEXOS COM MAIOR FUTURO

ELETRÔNICA

RÁDIO — ÁUDIO — TV — VIDEOCASSETES — INSTRUMENTAL — PROJETOS ELETRÔNICOS —
FABRICAÇÃO DE APARELHOS: CIRCUITOS IMPRESSOS, PAINÉIS E INSTRUMENTOS
ELETRO-ELETRÔNICOS — MICROONDAS — RADAR — ELETRÔNICA INDUSTRIAL — MICRO-
PROCESSADORES — COMPUTAÇÃO — DIREÇÃO DE OFICINA TÉCNICA, ETC.



Tudo para VOCÊ



**GARANTIA EXCLUSIVA
DE QUALIDADE
DE ENSINO**



Você recebe uma
GARANTIA DE QUALIDADE DE ENSINO,
em seu nome, Registrada no
5.º Cartório de Títulos e Documentos
de São Paulo, sob N.º 191.663.

**COM INTENSO "TREINAMENTO PROFISSIONALIZANTE FINAL"
(OPCIONAL)**

Para maior informação remeter este
cupom e o atendimento será imediato



Instituto Nacional
CIÊNCIA

Para solicitações **PESSOALMENTE**
R. DOMINGOS LEME, 289
Vila Nova Conceição - CEP 04510 - SÃO PAULO

**SOLICITO GRÁTIS O GUIA PROGRAMÁTICO
DO CURSO MAGISTRAL EM ELETRÔNICA**

Para mais rápido atendimento solicitar pela
Caixa Postal 19.119 - CEP 04599 - São Paulo

NE99

Nome: _____ Idade: _____

Endereço: _____

Cidade: _____ Estado: _____

CEP: _____

Um emulador para EPROMs

Acabou o método de tentativa e erro no desenvolvimento de programas em EPROM. Veja como o emulador é uma ferramenta indispensável para quem trabalha com circuitos digitais

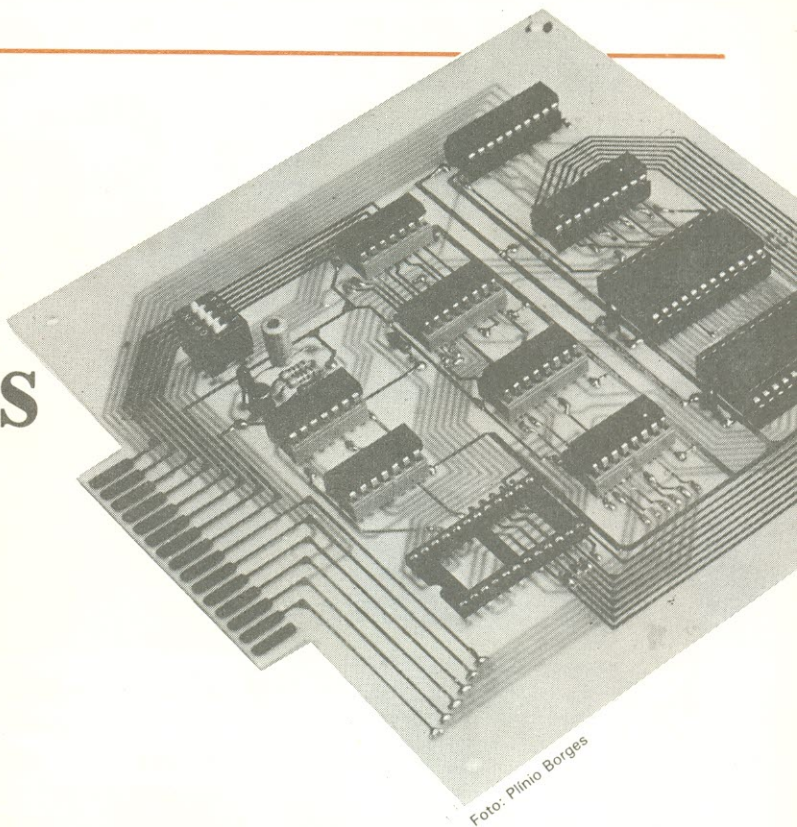


Foto: Plínio Borges

O verbo “emular”, segundo o Aurélio, exprime ação de disputa ou competição. Em nosso caso, porém, a idéia mais aproximada é a de substituição — pois o emulador consiste em uma interface que permite, no projeto de sistemas controlados por microprocessador, atuação direta na área de memória destinada ao programa monitor, a fim de agilizar o cansativo e moroso processo de depuração de programas gravados em EPROM.

Em outras palavras, com ele é possível converter temporariamente, num sistema em desenvolvimento, a área de memória não volátil em volátil, à qual se tem fácil acesso, permitindo alterações rápidas no programa em formação. Ou seja, enquanto o emulador está em operação, a EPROM do sistema é substituída por memórias RAM, cujo conteúdo pode ser facilmente alterado, até que o programa esteja rodando com perfeição. Em seguida, feita a depuração, pode-se gravá-lo definitivamente numa ROM ou EPROM. Claro que esse processo é igualmente válido para qualquer coisa que se queira gravar em memórias não voláteis, mas que precisa antes ser depurada.

O emulador, por sua vez, pode ser usado em qualquer sistema que empregue microprocessadores e memórias desse tipo, tais como computadores, controladores lógicos programáveis, comandos numéricos, *firmware* de impressoras. Além disso, pode ser acoplado com qualquer micro das linhas

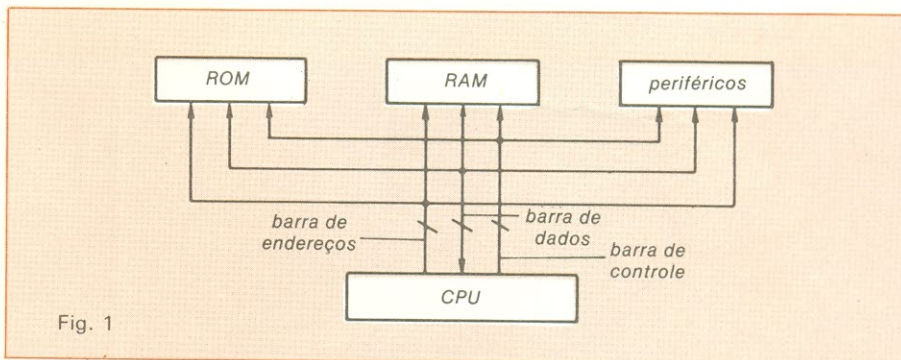


Fig. 1

Apple, Sinclair ou de desenvolvimento, como o Nestor.

Em detalhes — Vamos ilustrar com um exemplo genérico, para tudo isso ficar mais claro. Na figura 1 temos a configuração básica, em blocos, de um sistema baseado em qualquer microprocessador comercial (8080, 8085, Z-80, 6502 etc.). Para que esse sistema hipotético possa realizar as funções desejadas, será imprescindível a combinação de duas partes distintas, de campos de ação bem definidos: o *hardware* ou parte física do sistema, representado pelos vários circuitos envolvidos, e o *software*, representado pelo programa monitor gravado na ROM e responsável pela execução das tarefas.

Em geral, no projeto de um micro, por exemplo, define-se primeiramente o *hardware*, para depois passar à confecção de um programa monitor, que vai definir as funções do circuito. Nesse ponto aparece a maior dificuldade de realização do sistema, pois é raro

que um programa desse tipo — normalmente com um grande número de instruções básicas codificadas — rode imediatamente. Assim, o único caminho a seguir será a montagem do programa monitor por etapas, que deverão ser testadas sistematicamente, até que todo o conjunto esteja funcionando perfeitamente.

São de grande valia nessa tarefa as memórias EPROM, alojadas no bloco “ROM” da figura 1, já que permitem o apagamento dos dados armazenados por luz ultravioleta. Passemos agora à figura 2, que nos mostra o mesmo sistema, mas incluindo uma interface de emulação. O bloco “Computador de Apoio” indica que através de um sistema qualquer — que possua ao menos um teclado e um *display* — podemos ter acesso ao bloco “RAM partilhada”, quando a chave CH1 é posicionada para programar; isto faz com que o computador de apoio seja acoplado com essa memória, desconectando-a do sistema em desenvolvimento. Pode-

Instrumentos?

Nós da Priority temos o que você precisar.

Negociamos instrumentos: Osciloscópios, frequencímetros, geradores de função, multímetros, fontes etc. E não gostamos de deixar ninguém na mão.

Porisso mantemos sempre um grande e atualizado estoque de renomadas marcas (Simpson, Fluke, Icel Kaise, Trio/Minipa, Radionave, Entelbra, Leader, Son, Megabrás...) Temos pronta entrega e, se o produto que você necessita não estiver disponível no mercado nacional, podemos assessorá-lo eficientemente na importação. Nosso preço é cortesia da casa!

PANTEC

Osciloscópio Pantec

Modelo 5210:

10 e 15 MHz, 8 x 10 DIV (1 Div - 8mm); 5 polegadas área útil. Deflexão: 5 mV/Div. hoz. Sincronismo Int. Ext. Consumo 30 W - 110/220 volts. peso 11,5 kg. Consulte-nos também sobre os modelos 5120 (duplo traço/15 MHz portátil), 5107 (traço simples/15 MHz portátil) e o 5205 (traço simples 10 MHz).

Multímetro Simpson

Modelo 360-3

Portátil (manual). Polaridade automática. Digital de 3 1/2 dígitos. Display LED de 0.43". 29 escolas populares e duas de baixa impedância. Mede voltagem e resistência em corrente contínua e alternada. Mede corrente até 10A diretamente. Marca picos. Saída analógica para registrador. Circuito exclusivo MOS/LSI de alta confiabilidade e baixa dissipação de energia. Eliminador de bateria e cabos independentes. Altíssima durabilidade.

SIMPSON

Multímetro Fluke

Modelo 8024-B

Portátil (manual). Digital de 3 1/2 dígitos. Mede voltagem, amperagem e resistência em corrente contínua e alternada. marca picos nas funções de corrente e voltagem. Teste de diodo. Condutância. Detecção audível e visual de nível lógico. Testa Continuidade. Temperatura, com termopar K. Precisão básica de 0,1%. Proteção contra sobrecarga até 600 V. Pontas de prova. Garantia de dois anos. Consulte-nos sobre outros modelos.

FLUKE

Medidores de aterramento, Megôhmetro de alta isolação

Megômetros com isolação de 1 a 10 KV.

MEGABRÁS

Modelos	Tensão
MG-520	500 V
MG-1040	100 a 1 KV
MG-2510	500 a 2,5 KV
MG-10400	1 a 10 KV

Terromômetro TM-500

Medição 0-5/50/50 Ω com expansão até 2500 Ω .

Frequencímetro Digital Entelbra

Modelo ETB 150

Faixa de freqüência 1 Hz a 150 MHz. Sensibilidade 10 Hz/5 MHz: 45 mVRms; 10/150 MHz: 10 mVRms. Impedância canal A: 1 M Ω ; Canal B: 52 Ω . Funções 1 - Freq. estabilidade ± 1 PPM. Base de tempo 10 MHz (TCXo). Abertura de porta 10 mS/10 seg. em 4 tempos. Display 8 dígitos. Alimentação 110/220 V. Pronta entrega também para outros modelos. Consulte-nos.

ENTELBRA

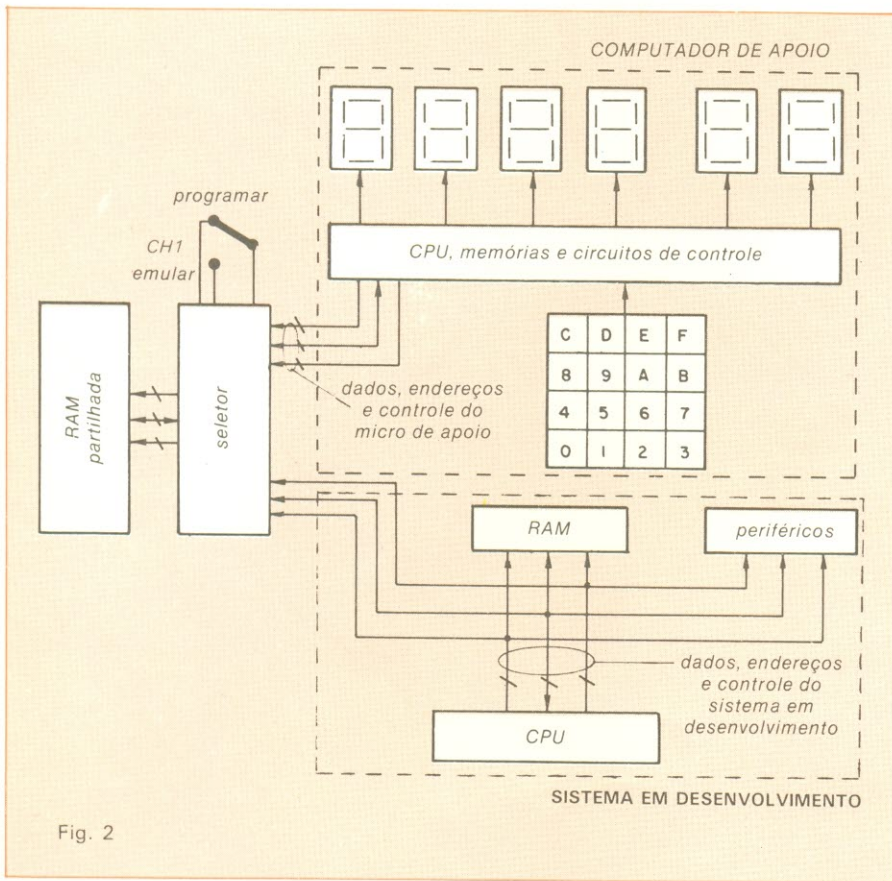
Fonte de Alimentação simétrica SON

A precisão da perfeição. E vice-versa!

0 a 18 VDC/2 e 5 A. 0 a 30 VDC/2 e 5 A. 0 a 60 VDC/3 e 5 A.
0 a ± 30 VDC (x2)/2 A. (Simétrica dupla)
Consulte-nos e solicite uma demonstração.

SON

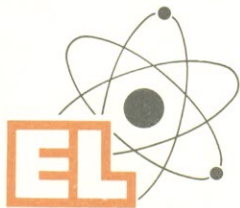




mos, dessa forma, através do teclado, carregar diretamente nela o programa monitor que estamos confeccionando.

Feito isso, a chave CH1 é comutada para emular, acoplando com a RAM partilhada ao sistema em desenvolvimento, e permitindo um teste *in loco*. O processo de montagem de programas fica então enormemente facilitado, uma vez que a cada erro de programação basta inverter a posição da chave para fazer as modificações exigidas, diretamente na área do programa. Essa técnica consiste, portanto, em "mascarar" a área de memória não volátil de um sistema em desenvolvimento em uma outra memória, volátil e facilmente alterável, através de um computador externo de apoio.

O emulador NE — O circuito que estamos sugerindo foi projetado para substituir diretamente, em qualquer sistema, até 4 kbytes de memória ROM ou EPROM, sendo o ideal para servir de apoio ao desenvolvimento de controles inteligentes. Como atualmente a maioria desses sistemas emprega EPROMs do tipo 2716 (2 k) ou 2732 (4 k), consideramos conveniente prever uma substituição direta dessas memórias. Utilizamos o Nestor como computador de apoio em nosso protótipo, que pode



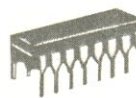
Eletrônica Luniv

Uma "senhora" loja. Temos tudo em eletrônica.



Kits

Novokit-JME
Dialkit-Laser



Componentes

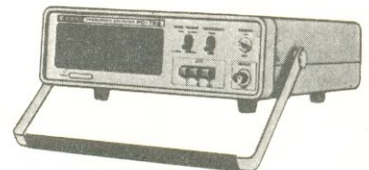
Transistores-CI's
Tiristores-Diodos
Zener's-Optos

Geral

Manuais-Fontes-Agulhas-Fitas
Caixas de som - Alto falantes
Microfones - Fios

Equipamentos

Trio-Kenwood-Sanwa
Labo-Kaise-
Dynatech-Fluke, etc.



*Preços baixos mesmo.
Venha conversar conosco.*

Rua República do Líbano, 25-A — Centro
Fones: 252-2640 e 252-5334 — Rio de Janeiro

ESCOLAS INTERNACIONAIS

327

O FUTURO EM SUAS MÃOS

CURSOS DE: ELETRÔNICA; RÁDIO, ÁUDIO, APLICAÇÕES ESPECIAIS e TELEVISÃO



Escolas Internacionais, a maior, a mais moderna, a mais atualizada instituição de ensino por correspondência em todo o mundo! Na África do Sul, Austrália, Brasil, Canadá, Escócia, Estados Unidos, Gana, Inglaterra, Irlanda do Norte, Irlanda do Sul, Nova Zelândia, Singapura, Zâmbia e Zimbábwe. A dimensão, a tradição, a seriedade e a atualização de ensinamentos são fatores

muito importantes para você que deseja estudar por correspondência. É a garantia de que sempre contará com professores, educadores, engenheiros e técnicos modernos e muito bem preparados para levar-lhe os ensinamentos dos quais você não pode prescindir nos dias de hoje: MODERNOS. DINÂMICOS. SEMPRE ATUALIZADOS.

Você receberá, INTEIRAMENTE GRÁTIS, todas as peças, ferramentas, acessórios e componentes para fazer interessantíssimas experiências eletrônicas, para montar um rádio portátil, um injetor de sinais, um multímetro profissional, um sintonizador AM/FM, de 4 faixas, estéreo, com duas caixas de som, um receptor de televisão.

ESCOLAS INTERNACIONAIS

Caixa Postal 6997 - CEP 01051 - São Paulo - SP - Telefone: (011) 803-4499

ATENÇÃO

Caso você não queira recortar a revista, envie uma carta ou telefone para EI.

Escolas Internacionais

Cx. Postal 6997 - CEP 01051 - São Paulo - SP - Tel.: (011) 803-4499

Sr. diretor, solicito que me envie, inteiramente grátis, o catálogo completo dos cursos de: *(assinale com X o curso desejado).*

Eletrônica Rádio, Áudio e Aplicações Especiais Televisão

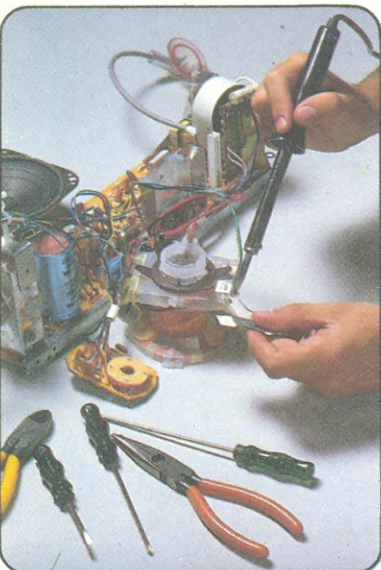
Nome _____

Rua _____ n.º _____

Cidade _____ Estado _____

CEP _____ Telefone _____

NE-99



Entradas e saídas do 74LS157

Tabela 1

\overline{CS} (pino 15)	SE (pino 1)	entradas A B		saída Y
1	X	X	X	0
0	0	0	X	0
0	0	1	X	1
0	1	X	0	0
0	1	X	1	1

mesmo ser considerado como mais um periférico do já famoso micro. O diagrama de blocos da figura 3 nos permite, então, analisar o princípio de operação de nosso emulador específico.

Observe, primeiramente, que as setas indicam o sentido de fluxo dos sinais. Desse modo, o Nestor fornece ao emulador as 12 linhas de endereçamento ($A_0 - A_{11}$), encarregadas de endereçar a RAM partilhada do emulador, sempre que CH1 estiver fechada (ou se-

ja, na posição "programar"). O micro sempre poderá endereçar os 4 k de memória independentemente da posição de CH2, cuja função será descrita mais adiante.

A linha \overline{WR} exerce uma função importante no sistema: quando está em "1", permite que os dados da RAM sejam lidos pelo Nestor; e quando em "0", possibilita ao micro inserir dados na memória do emulador. Observe que o barramento de dados que interliga micro e emulador é bidirecional. As linhas de seleção de memória (Y_4 a Y_7) posicionam a memória partilhada do emulador na posição entre os endereços 1000H e 1FFFH — ou seja, **para o Nestor, especificamente**, a área de programação dos 4 k de RAM tem início no endereço 1000H.

A conexão entre o emulador e o sistema em desenvolvimento é feita através de um soquete de 24 pinos, cuja disposição é idêntica à de uma memória 2716 ou 2732. Esse soquete deve ser acoplado com o soquete de memória do sistema sob emulação, por intermédio de um cabo multiveias. Com CH1 aberta (posição "emular"), o endereçamento do soquete (o que vem do sistema em construção) apenas seleciona dados para leitura, a partir da memória partilhada. Assim, para o sistema em desenvolvimento, tudo se passa co-

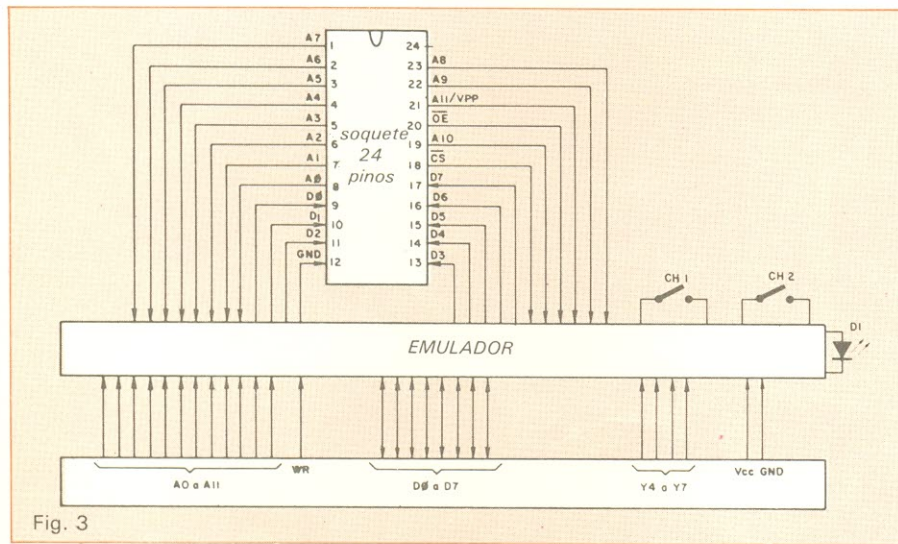


Fig. 3

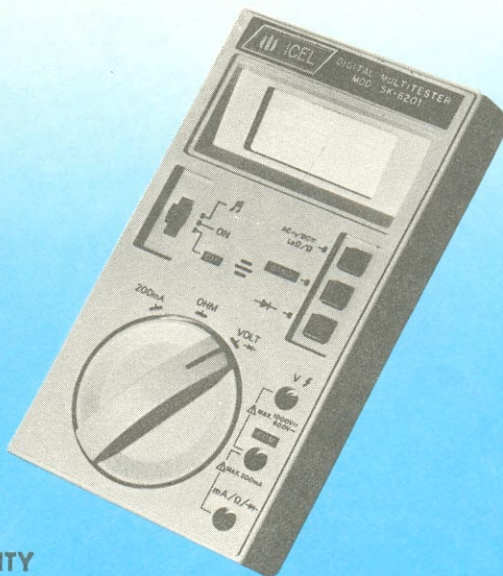
A PRIORITY oferece o mais novo modelo da ICEL-KAISE.

O multímetro digital modelo SK-6201.

- * Escala automática
- * 3 1/2 dígitos (LCD)
- * Teste de continuidade audível
- * Teste de diodos e transistores
- * Indicação de bateria fraca
- * Proteção contra sobrecarga

Preço: 42,88 ORTN'S!

Também possuímos grande estoque dos modelos analógicos, além do alicate amperométrico de leitura até 300 A.



Priority Eletrônica Comercial Importadora e Exportadora Ltda. — Rua Santa Efigênia 497
Telefones: 222-3444 — Telex (011) 23070 — 24038 — 36247

mo se a memória partilhada fosse uma ROM ou EPROM.

As linhas \overline{CS} e \overline{OE} , quando em "0", indicam que a memória partilhada foi requisitada pelo sistema e, nessa condição, o emulador vai colocar os dados (correspondentes ao endereçamento selecionado) no barramento de dados unidirecional. Para o sistema em emulação, a área da memória partilhada estará compreendida entre 0000H e 0FFF.

Vejamos agora o que faz a chave CH2: quando aberta, ela está adaptada a memórias 2716 e restringe o endereçamento do sistema em emulação para o máximo de 07FFH; quando fechada, posição própria para memórias tipo 2732, permite a utilização dos 4 k de memória partilhada pelo sistema. Logo adiante, ao analisar o circuito do emulador, vamos perceber que, para uma determinada condição, essa chave vai permitir o acesso do sistema somente à área mais significativa da RAM partilhada.

Por fim, o LED D1, quando aceso, indica que o sistema sob desenvolvimento encontra-se em condições de ter acesso à memória partilhada (emulação); e, quando apagado, que o Nestor tem direito ao acesso (programação).

Operação — A figura 4 traz o circuito completo do emulador proposto. Observe, de imediato, que o sistema conta com duas interligações externas: a primeira feita com o Nestor, através de um conector de placa, e a segunda, com o sistema em desenvolvimento, por meio do soquete SQ1. No esquema, essas ligações estão representadas por símbolos, nas extremidades das linhas; assim, "Y" significa uma conexão com o Nestor e "X", com o soquete SQ1.

Vê-se que, inicialmente, as barras de endereçamento do Nestor e do sistema em construção são aplicadas a três seletores do tipo 74LS157 (CI1, CI2 e CI3), cujo funcionamento vamos descrever rapidamente, com base na Tabela 1. De imediato, pode-se observar que o pino 15 (\overline{CS}) libera (quando em "0") ou inibe a operação do seletor. Já o pino 1 (SE), sempre que está em "0", permite que o seletor interligue as entradas 1A a 4A com as saídas (1Y a 4Y), desativando as entradas 1B a 4B; caso esse pino seja levado a um nível alto, ocorre o oposto: as entradas "A" ficam desativadas e as "B", acopladas à saída.

Assim, quando o pino 6 de CI4 estiver em "1", as saídas dos seletores serão conectadas à barra de endereçamento do sistema em desenvolvimento (condição de emulação); por outro lado, estando ele em "0", as mesmas saídas estarão ligadas à barra de endereçamento do Nestor (condição de pro-

gramação). Já é possível notar que as saídas Y de CI1, CI2 e CI3 fornecem o endereço para a memória partilhada do emulador — representada por CI7 e CI8, duas memórias RAM estáticas do tipo 6116.

Observe, agora, que o estado lógico do pino 6 de CI4 é comandado pela chave CH1, servindo o LED D1 como indicador de que o circuito encontra-se em condições de emular um sistema em construção. Mas o nível lógico do pino 6 de CI4 também inibe ou habilita, através do pino 10 de CI5, a linha \overline{CS} (pino 19) de CI9 — integrado composto por 8 buffers bidirecionais, cuja principal função é a de isolar barramento interno de dados do emulador durante uma emulação. Para que CI9 seja ativado, com $\overline{CS} = 0$, é preciso que os pinos 9 e 10 de CI5 estejam no nível baixo; assim, somente será possível selecionar

CI9 quando CH1 estiver fechada e uma das entradas Y de CI4 — que recebem o sinal do decodificador de memória do Nestor — estiver em "0".

Portanto, sempre que o circuito estiver emulando um determinado sistema, o Nestor não poderá ter acesso à área de memória partilhada; e, da mesma forma, quando o micro estiver programando a memória, o sistema será impedido de ler os dados contidos na mesma. Por outro lado, a linha \overline{WE} permite que o Nestor possa gravar e ler dados na área de memória partilhada, direcionando, segundo o estado lógico dessa linha, o fluxo de dados através de CI9.

A porta B de CI6 tem por função inibir ou não o acionamento do buffer de saída dos dados (CI10) para o sistema em construção. Para que possa ter os dados contidos na memória partilhada,

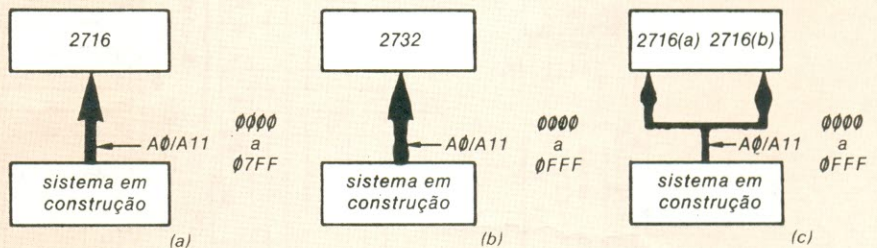


Fig. 5

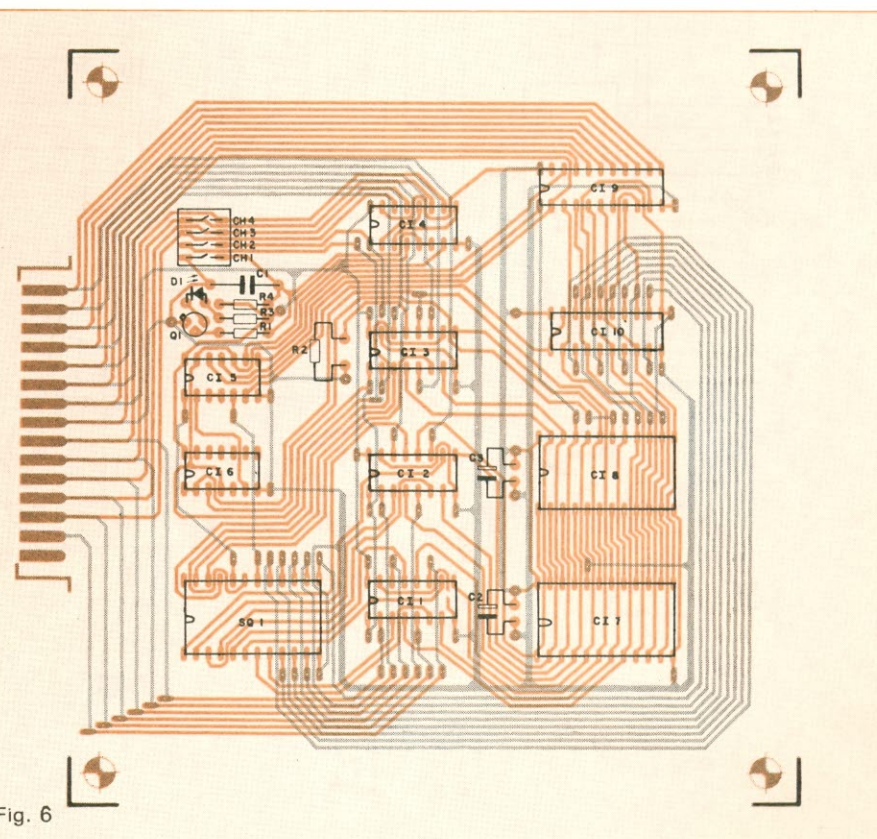


Fig. 6

o sistema deve mandar, através dos pinos 18 e 20 do soquete SQ1, a informação $\overline{CS} = \overline{OE} = 0$. No entanto, os dados somente irão atingir a saída de CI10 se CH1 estiver aberta — evitando que o sistema possa ter acesso à RAM durante a programação.

Para memórias do tipo 2716, o pino 21 de SQ1 corresponde ao terminal de programação VPP, que, quando em operação normal (leitura), deve ser levado a Vcc, para o perfeito funcionamento da memória. Para memórias do tipo 2732, esse mesmo pino corresponde à linha de endereços mais significativo (A11).

Pode-se observar que, com a chave CH2 aberta, a informação vinda do pino 21 de SQ1 não pode atingir a entrada 4B de CI3 (pino 13); desse modo, o sistema em construção poderá endereçar somente 2 kbytes da memória par-

tilhada, com um endereçamento que vai de 0000H até 07FF — correspondente ao de uma memória 2716. Com CH2 fechada, porém, a informação que vem do pino 21 do soquete vai atingir a entrada 4B e o sistema poderá endereçar toda a área de memória RAM — de 0000 até 0FFF. Ao mesmo tempo, pode-se utilizar CH1 fechada para emular a parte superior de 2 k da memória partilhada (que corresponde ao endereçamento que vai de 0800H até 0FFFH).

Esse procedimento possibilita emular por partes um sistema que possua 4 k de monitor, a partir de duas memórias 2716. Observe, por exemplo, a figura 5. A parte (a) ilustra um sistema do tipo Nestor, onde o programa monitor encontra-se numa memória tipo 2716; em sistemas com essa área de monitor, utiliza-se o emulador com a chave

CH2 aberta. Na figura 5b temos um sistema cujo monitor emprega os 4 kbytes de uma memória tipo 2732; nesse caso, utiliza-se o emulador com a chave CH2 fechada. Por último, na figura 5c, a área ocupada pelo monitor é também de 4 k, mas armazenado em duas memórias tipo 2716 — a primeira cobrindo de 0000H a 07FFH e a segunda, de 0800 a 0FFF; aqui deve-se emular os 2 k iniciais com CH2 aberta e os 2 k finais, com a mesma fechada.

Como no caso da 2716 o pino 21 de SQ1 é sempre levado a Vcc, na emulação da segunda memória de 2 k, esse pino estará em “1” — o que irá acionar automaticamente a memória CI8, correspondente ao endereçamento mais significativo da memória partilhada. Esse é um fator muito importante, pois evita que o operador, ao utilizar o emulador nesse tipo de sistema, tenha

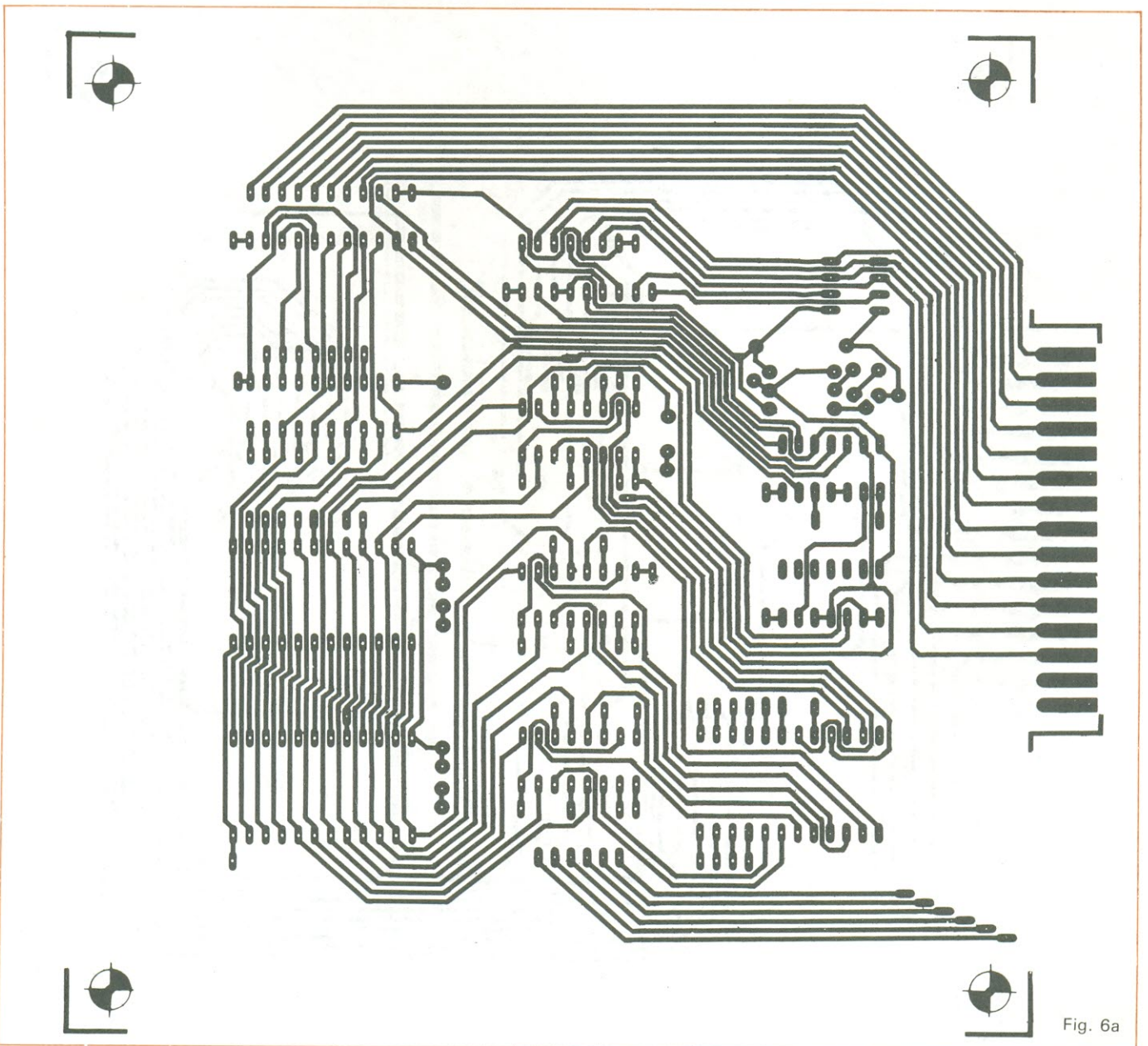


Fig. 6a

que lidar com uma relação de endereços (de programação e emulação) muito desiguais.

Basta, então, manter a relação abaixo, para facilitar o trabalho:

$$ADD_{Nestor} = ADD_{sist} + 1000H$$

ou seja, o endereço de programação 1000H vai corresponder ao endereço de 0000H do sistema e assim por diante.

Por último, faltou falar sobre as chaves CH3 e CH4, que têm a função de interligar os pinos dos operadores A e B de C14 — de modo a permitir que o

emulador possa ser utilizado pelos possuidores do micro Nestor II. Como o decodificador de memória dessa versão do Nestor seleciona de 2 k em 2 kbytes, essas chaves devem estar fechadas, nesse caso. Além disso, para o Nestor II são utilizados os pinos Y6 e Y7 do seletor de memória; assim, na modalidade de programação, o endereço da memória partilhada fica compreendido entre 3000H e 3FFFH, ficando válida a relação:

$$ADD_{Nestor} = ADD_{sist} + 3000H$$

Montagem — O emulador deve ser montado sobre uma placa de face dupla, de acordo com a sugestão da figura 6, onde ela aparece em tamanho natural e disposta de forma a ser facilmente copiada — seja pelo método manual ou fotográfico. Observe que as ilhas do traçado, onde não há componentes, devem ter furos metalizados ou pontes de uma face à outra. Além disso, é aconselhável utilizar placa de fibra de vidro e soquetes para todos os integrados. Aliás, para as memórias C17 e C18, além do soquete SQ1, será conveniente optar por modelos de pi-

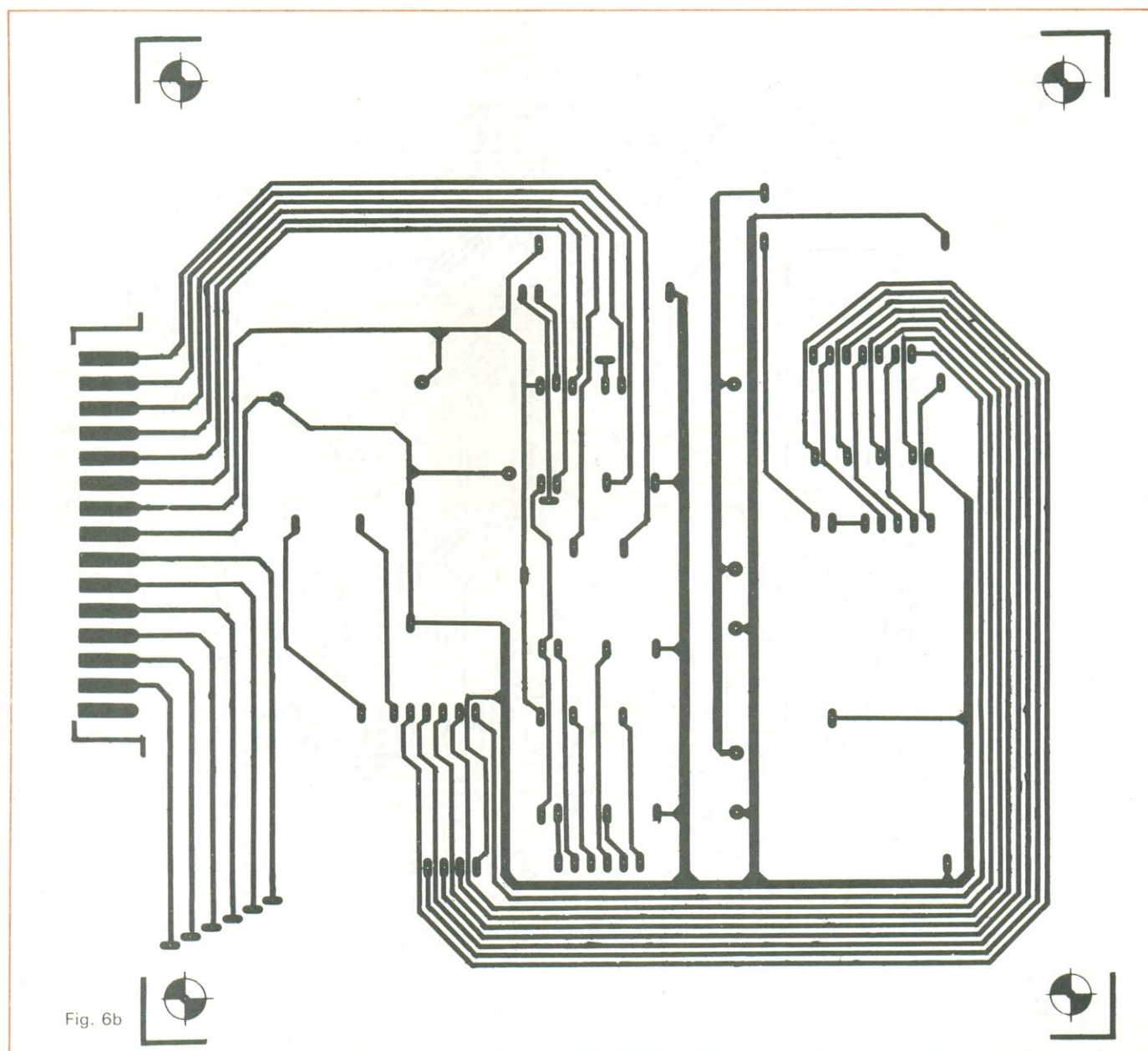


Fig. 6b

nos torneados (como o tipo SPT 12, da Cellis, por exemplo).

Concluída a montagem, deve-se confeccionar um cabo para a interligação entre o emulador e o sistema em desenvolvimento, utilizando um cabo multiveias e dois soquetes torneados tipo SPT 12, conforme indica a figura 7. Para efetuar a conexão com o Nestor, a placa sugerida dispõe de um conector incorporado, cujos contatos são feitos com o próprio traçado de cobre. Cabe ao montador decidir a forma de fazer essa segunda interligação — se através de outro cabo multiveias ou diretamente num conector fêmea acoplado com a placa do micro.

Testes de operação — Como dissemos, o emulador pode ser adaptado a vários tipos de micro. No entanto, na versão que estamos apresentando, ele está pronto para trabalhar com o Nestor, micro de desenvolvimento lançado pela NE. Na figura 8 estão ilustradas, esquematicamente, as duas fiações de

interligação entre o emulador e o micro, em suas duas versões. Basta então acompanhar a seqüência sugerida abaixo, feita especialmente para o Nestor publicado na *Nova Eletrônica*:

- Com o micro desligado, implemente a fiação sugerida na figura 8;
- Monte o circuito da figura 9, que servirá como apoio para os testes;
- Interligue, com um cabo multiveias, o soquete SQ1 do emulador com o conector do Nestor (ilustrado na figura 8);
- Certifique-se de que, na placa do emulador, CH1 está fechada (12716), CH2 aberta (programação) e CH3/CH4, abertas;
- Ligue o micro e insira, na área 0800H, o programa abaixo:
LD HL, 0000 — ORG 0800
LD DE, 1000
LD BC, 07FF
L DIR
RST 0

— Rode o programa da área 0800H e, após sua execução, verifique se a área de memória que vai de 1000H até

17FFH contém os mesmos dados que a área entre 0000 e 07FF (programa monitor do micro). Isto vai comprovar que o micro está tendo acesso à memória partilhada do emulador, na programação;

— Abra a chave CH1; o LED D1 deve acender;

— Coloque a chave CH12, no circuito auxiliar, em "0" e através das demais chaves (CH1 e CH11) enderece a memória partilhada; os dados lidos nos LEDs indicadores (D1 a D8) vão corresponder ao conteúdo do programa monitor do Nestor comprovando que o circuito auxiliar está tendo acesso à RAM partilhada.

— **Observações:** Em primeiro lugar, quando CH1 estiver aberta (condição de emulação), o micro não conseguirá ler ou gravar qualquer coisa na RAM partilhada, pelo endereço 1000H. E quando CH1 estiver fechada (condição de programação), não será possível ler os dados na RAM através do circuito auxiliar.

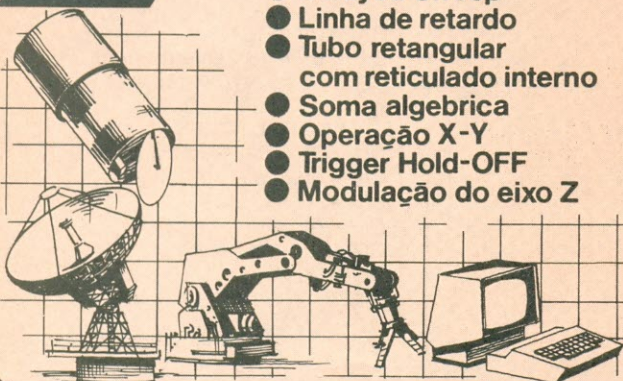
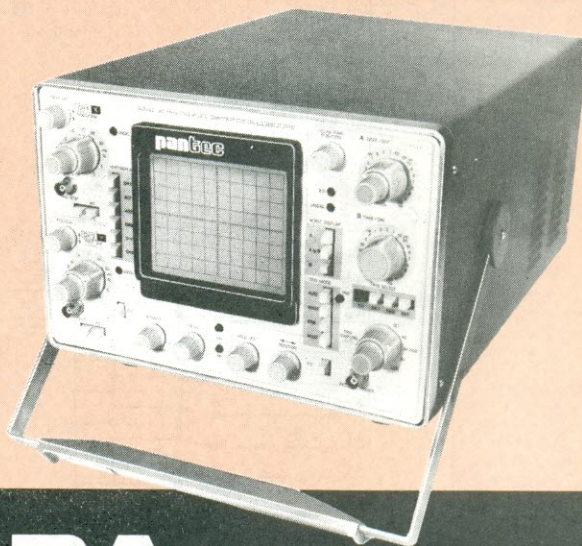


LANÇAMENTO

pantec
INSTRUMENTOS
OSCILOSCÓPIO

35 MHz

- Duplo traço
- 35 MHz, 2 mV/div.
- Delayed sweep
- Linha de retardo
- Tubo retangular com reticulado interno
- Soma algébrica
- Operação X-Y
- Trigger Hold-OFF
- Modulação do eixo Z



TECNOLOGIA
QUALIDADE
GARANTIA

PANAMBRA

VENDAS: Av. Senador Queiróz, 150 Tel.: 227-6722 - Telex: (011) 23797 SÃO PAULO

FÁBRICA E ASSISTÊNCIA TÉCNICA:
Rua Domingos Paiva, 224 - Tel.: 270-2066

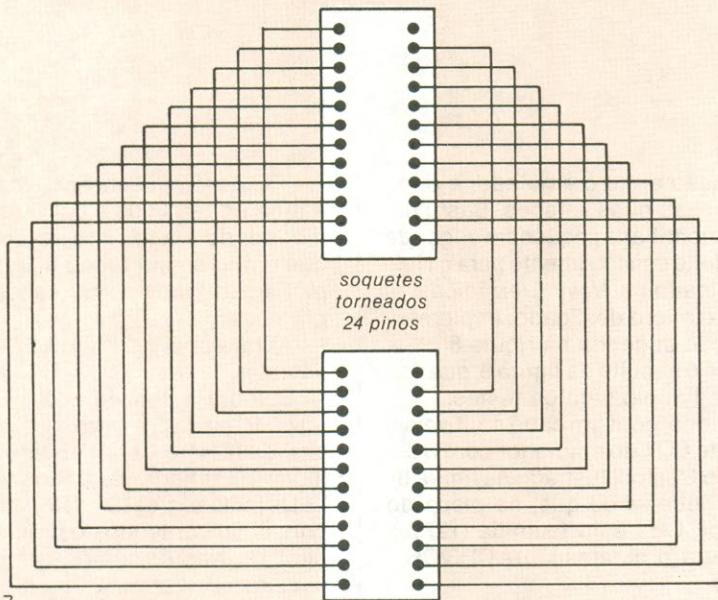


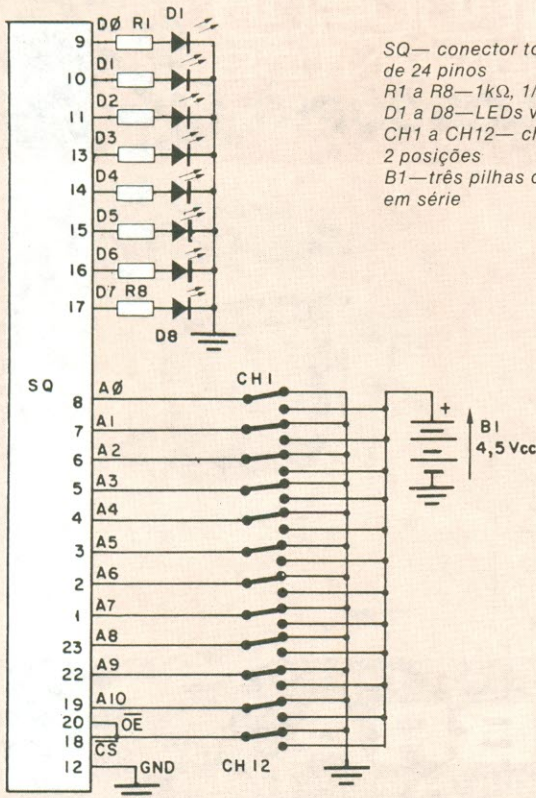
Fig. 7

lado superior do conector visto por trás

	A6	A9	A10	A7	A11	A8	Vcc	GND	A0	A4	A3	A5	A1	A2	S/C	
	D7	D6	D5	D4	D3	D2	D1	D0	WE	A*	B*	C*	D*	S/C	S/C	

Nestor $\begin{cases} A = Y4 \\ B = Y5 \\ C = Y6 \\ D = Y7 \end{cases}$ Nestor II $\begin{cases} A = Y6 \\ B = \text{nada} \\ C = Y7 \\ D = \text{nada} \end{cases}$

Fig. 8 obs.: para o Nestor II as chaves CH3 e CH4 devem estar fechadas



SQ— conector torneado de 24 pinos
 R1 a R8—1kΩ, 1/8 W, 5%
 D1 a D8—LEDs vermelhos
 CH1 a CH12— chaves 1 pólo 2 posições
 B1—três pilhas de 1,5 V, em série

Fig. 9

Utilização — Para utilizar o emulador sugerido, basta fazer a interligação entre o circuito e o sistema em desenvolvimento e, em seguida, carregar o monitor do sistema na RAM partilhada, através do Nestor. Assim que o programa estiver carregado, é só abrir CH1, ligar o conjunto e emular o programa. Cabem, entretanto, algumas observações adicionais:

- O Nestor poderá operar normalmente em outras funções sempre que CH1 permanecer aberta; por outro lado, não terá acesso à memória partilhada;
- Não será preciso desligar o sistema para voltar ao modo de programação, já que o mesmo não poderá gravar dados na memória partilhada;
- Enquanto o sistema estiver ligado, é aconselhável não desconectar os soquetes do cabo multiveias;
- O Nestor poderá rodar programas na área de memória partilhada sempre que CH1 estiver fechada.

Por fim, cumpre-nos lembrar que acoplar o emulador com o circuito do gravador de EPROMs, também já publicado pela NE, é uma boa solução — pois após a emulação do sistema é possível gravar o programa depurado imediatamente, sem demora e processos cansativos.

Relação de componentes

RESISTORES

- R1—4,7 kΩ
 - R2—2,2 kΩ
 - R3—100Ω
 - R4—2 kΩ
- (Todos de 1/8 W, 5%)

CAPACITORES

- C1—10 μF/16 V (eletrolítico)
- C2, C3—1 μF/16 V (tântalo)

SEMICONDUCTORES

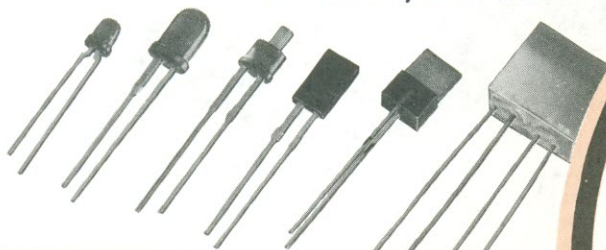
- C1, C2, C3—74LS157
- C4—74LS08
- C5—74LS32
- C6—74LS00
- C7, C8—6116 (RAMs 2k x 8)
- C9—74LS245
- C10—74LS244
- Q1—2N2222A
- D1—LED vermelho miniatura

DIVERSOS

- CH1 a CH4—chave DIP miniatura
- Conector de placa 15 pinos (dupla face)
- Soquetes
- Cabo multiveias (ver texto)
- Placa de circuito impresso, face dupla

MC INDUSTRIA BRASILEIRA DE OPTOELETRÔNICA

LED'S MÉDIA E ALTA INTENSIDADE
CORES: VERMELHO, VERDE,
AMARELO, LARANJA

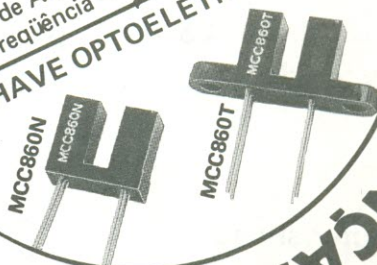


LANÇAMENTO

LED
"PISCA-PISCA"
5 mm

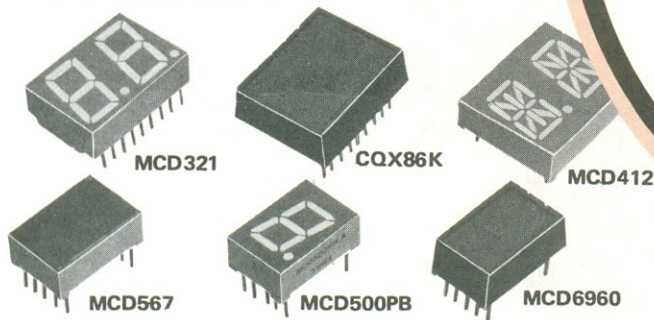
nas cores – vermelho – verde –
amarelo – laranja
Tensão de Alimentação – $V_F = 4,75$ a $7V$
Frequência – $f = 1,3$ a $5,2$ Hz

CHAVE OPTOELETRÔNICA

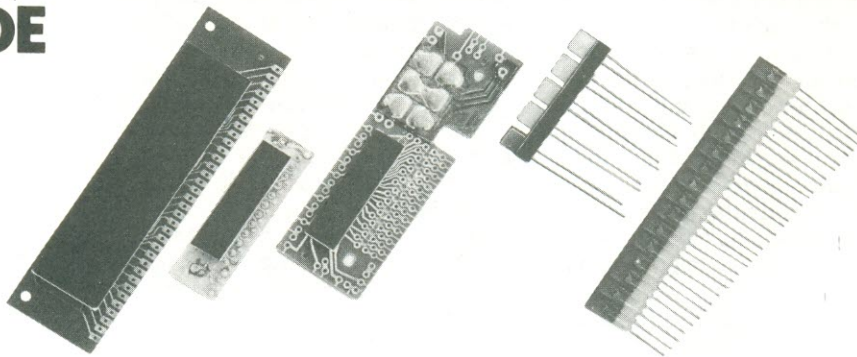


LANÇAMENTO

DISPLAYS



BARRAS DE LED'S E DISPLAYS ESPECIAIS

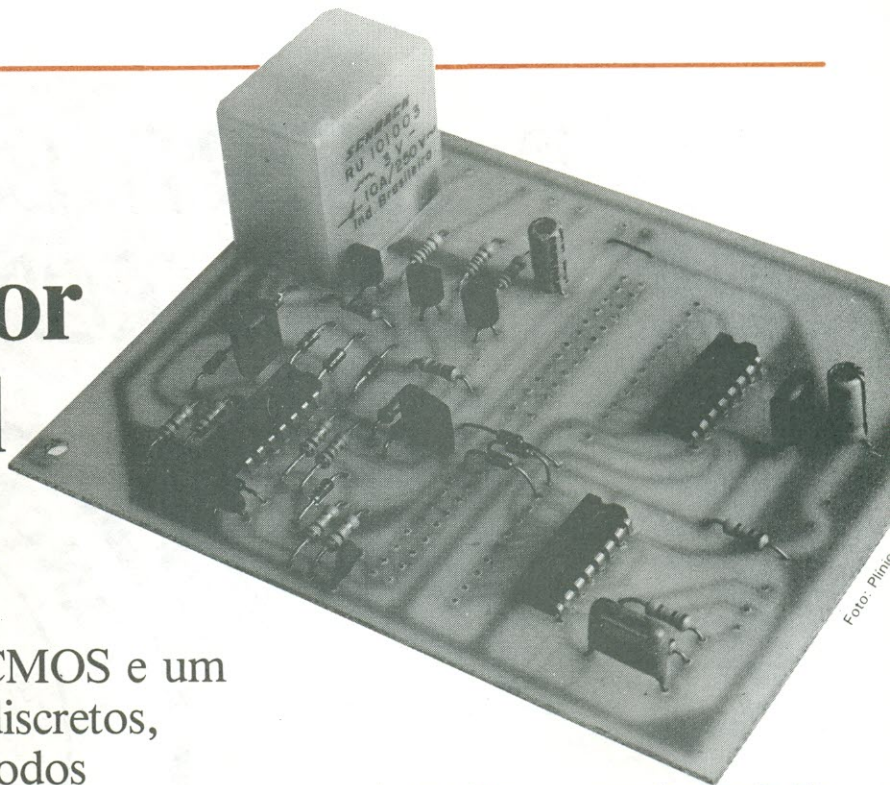


Nosso setor de Engenharia e Desenvolvimento está a sua disposição para quaisquer consultas de componentes em optoeletrônicos. Consulte-nos.



M. C. MICRO CIRCUITOS LTDA.
Rua Madeira, 42 – Canindé – SP
Fones: 228-0224 – 227-0934

Temporizador programável de uso geral



Com apenas 3 integrados CMOS e um punhado de componentes discretos, este circuito resolve quase todos os casos de temporização

Características

- Controla os dois períodos de atividade
- Tempos de 0,1 s a 120 dias
- Todo sinalizado por 3 LEDs
- Permite acionamento ou desativação de cargas
- Freqüência da rede ou própria, com oscilador "embutido"
- Programação fixa ou variável, através de diodos

Como é sabido, os temporizadores simples, baseados em malhas RC, têm seus limites. Sempre que o tempo de comando é da ordem de horas, por exemplo, a precisão e a estabilidade da contagem ficam comprometidas — pois, com resistores de centenas de quilohms, as correntes envolvidas têm a mesma ordem de grandeza das fugas nos capacitores eletrolíticos.

Feitas essas considerações, pode-se concluir que, nesses casos, a solução adequada é fornecida por um oscilador acoplado a vários divisores de freqüência. Para a geração da base de tempo tem-se duas saídas: utilizar os 60 Hz da rede ou implementar um oscilador autônomo. No primeiro caso pode-se obter uma grande precisão, mas o período de tempo fica rigidamente predeterminado — a não ser que se empregue divisores programáveis, que, além de caros, são difíceis de encontrar.

Por outro lado, um oscilador autônomo, com freqüência variável e uma rede de divisores binários, é um dispositivo simples, de baixo custo, além

de muito preciso e estável. Nosso projeto adota esta segunda modalidade — embora, em casos específicos, possa ser usado também o sinal de 60 Hz da rede elétrica.

O circuito que estamos propondo adapta-se às mais variadas aplicações — depende apenas do relé utilizado — e atua dentro de qualquer período entre um décimo de segundo e 4 meses. Além disso, permite dupla temporização, ou seja, podemos acionar uma determinada carga após um período previamente escolhido e, em seguida, manter essa carga acionada por outro período predeterminado. Ambas as programações podem ser feitas através da inclusão estratégica de diodos ao circuito; ou, então, caso o montador prefira, por meio de uma chave rotativa. Outras possibilidades serão descritas ao longo do artigo.

Operação — Nosso temporizador utiliza, como divisores de freqüência, dois contadores binários de 14 estágios, ligados em cascata: o 4020 e o 4060. Este último já vem com um osci-

lador interno, requerendo somente dois resistores e um capacitor (na configuração mais comum). Assim como foram interligados, proporcionam uma divisão de até 2^{28} vezes na freqüência do oscilador. Apenas a título de exemplo, se for aplicada a freqüência da rede na entrada do conjunto, na última saída será possível obter uma temporização pouco inferior a 26 dias.

Passando ao circuito, que é mostrado por inteiro na figura 1, podemos começar analisando o oscilador interno do 4060, cujo período é dado pela relação:

$$T = 2,2 \cdot R_1 \cdot C_1, \text{ onde } R_2 \cong 10R_1$$

Se for necessário variar a freqüência desse oscilador, basta substituir R_1 por um potenciômetro (veja a seção de uso e programação, mais adiante). O sinal gerado nesse estágio é ligado internamente à cadeia de divisores binários do próprio 4060.

Vista a parte de contagem, vejamos agora a etapa de controle e sinalização do temporizador. Para esse fim foi usado o integrado 4013, que contém dois biestáveis tipo D, e um sistema de 3 LEDs com seus transistores excitadores. Vamos acompanhar um ciclo completo de temporização, a partir de um nível "0" no pino 13 de $C13$ (saída Q do biestável inferior). Assim que a chave de partida é acionada, esse pino muda de estado, pois a entrada S_D (pino 8) recebe um nível "1" diretamente de V_{CC} .

Isso faz com que as entradas de reset dos contadores habilitem a divisão, ao mesmo tempo em que acendem LD2, indicando que a temporiza-

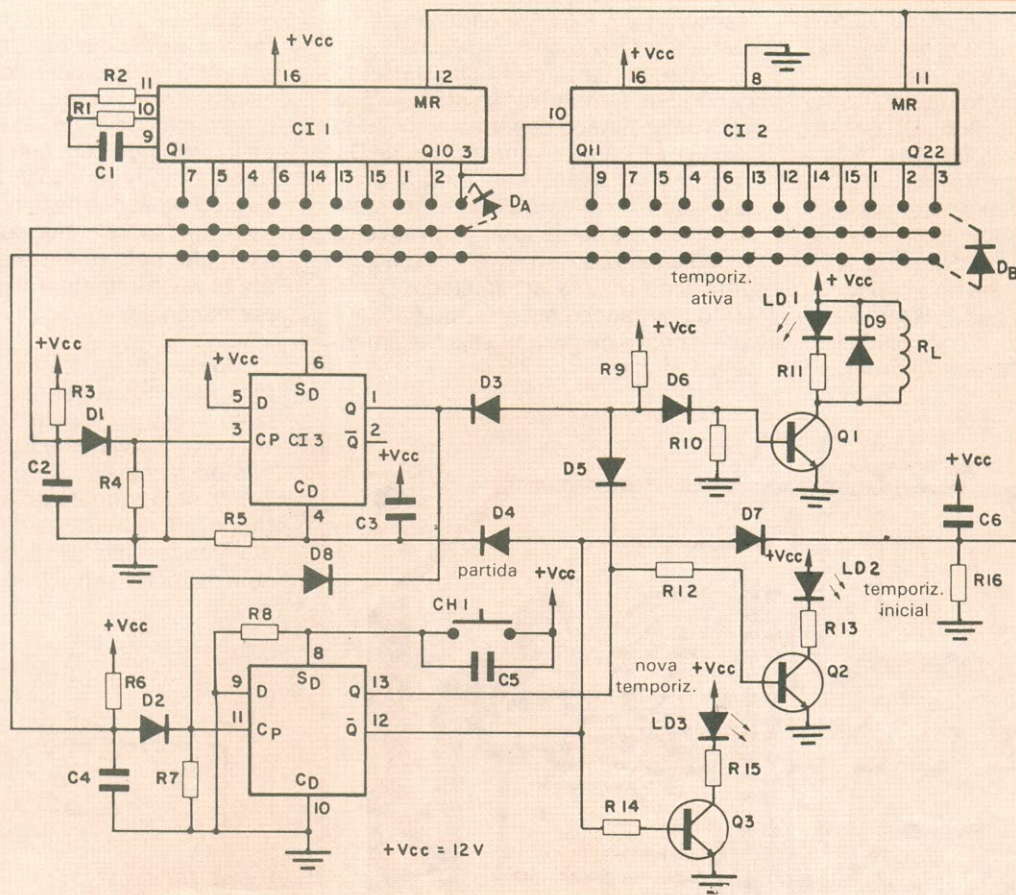
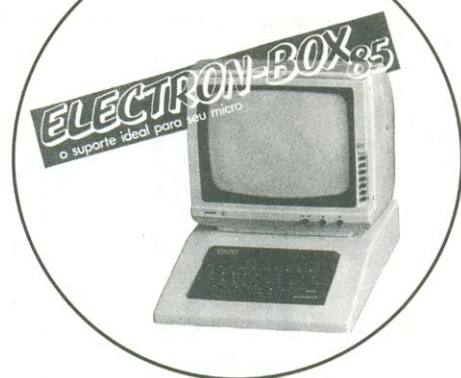


Fig. 1

Componentes Eletrônicos de Alta Qualidade

LANÇAMENTO



Suporte especial para microcomputadores TK-85

Optoeletrônica

- Led's
- Barra de led's
- Displays de Led's
- Chaves optoeletrônicas
- Displays de cristal líquido

Passivos em geral

- Capacitores: eletrolíticos, poliéster, cerâmicos, tântalo
- Potenciômetros
- Resistores
- Trimpots
- Cinescópios

Interruptores

- Chaves de Alavanca
- Chaves Basculantes
- Push Buttons
- Chaves Digitais

Supressor de transientes

- Transzorb
- Thyzorb

Semicondutores

- Transistores
- Diodos
- Circuitos Integrados
- Microprocessadores
- Memórias

Relés

- Reed Switches
- Reed Relé
- Relés Miniatura

Conectores

- Tipo circuito impresso
- Retangulares tipo sub-miniatura

Transdutores eletro-acústicos
SONALARME

Distribuidor das Linhas

- IBRAPE CONSTANTA - TEXAS - SID
- DIGIELECTRON - C & K - ITAUCOM
- METALTEX - POLITRONIC - R.C.A - NEC
- FAIRCHILD - M.C. - G.S.I
- NATIONAL - HAMLIN - AMP - SOURIAU



ALFATRONIC S.A.

Av. Rebouças, nº 1498 Cep 05402 São Paulo - S.P.
Fone (011) 852-8277 Telex (011) 24.317 ALFABR

ção já foi iniciada. Enquanto isso, o biestável superior também tem sua saída Q (pino 1 de CI3) em nível "0".

A mudança seguinte de estado vai acontecer através do diodo D_A , que determina o período de temporização inicial até o acionamento da carga, e mantém um nível baixo de entrada de *clock* do biestável superior. Assim que a saída de CI1 em que está ligado o diodo muda de estado, há uma transição positiva na entrada de *clock* (pino 3 de CI3), levando Q para "1" e deixando fluir uma corrente por D6, que vai saturar o

transistor Q1 — acionando o relé de carga e o LED respectivo (LD1).

Nesse instante o circuito entra no período de temporização ativa — que será determinado de forma semelhante à já explicada, só que através de D_B . O sinal de CI2 vai "virar" o outro biestável, que desativará a carga, provocará o *reset* dos contadores e ativará LD3 — indicando que um novo ciclo de temporização poderá ser iniciado. O circuito permanece nessa condição, até que a chave de partida seja novamente acionada.

O diodo D8 tem uma função importante: ele evita que haja interdependência entre os dois períodos de temporização, já que poderia haver, em certas programações, transições de D_B antes de D_A , fazendo com que o sistema voltasse ao estado inicial. Dessa forma, as programações de tempo ficam totalmente independentes, podendo-se, por exemplo, determinar alguns minutos até o acionamento e várias horas de permanência.

Montagem — Como sempre fazemos, estamos sugerindo uma placa de circuito impresso para o temporizador; ela pode ser vista na figura 2, por ambas as faces e em tamanho natural. Tendo sido "depurada" em nosso protótipo, ela está isenta de erros e pode alojar todo o circuito do temporizador, com exceção da fonte de alimentação.

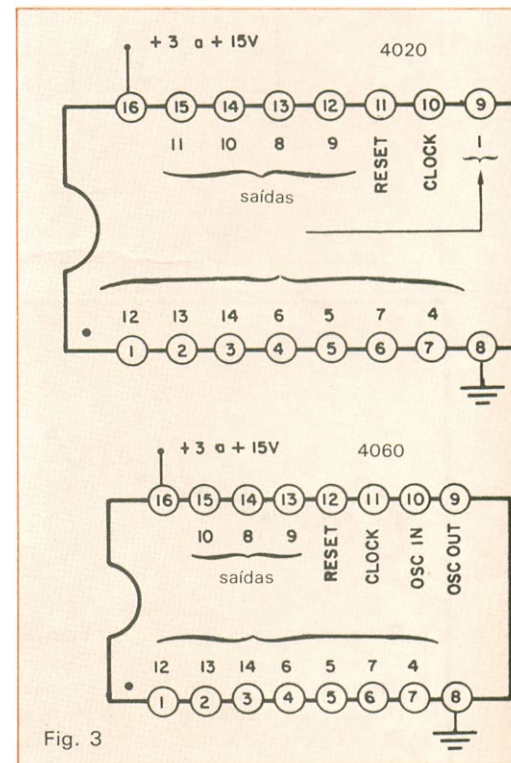
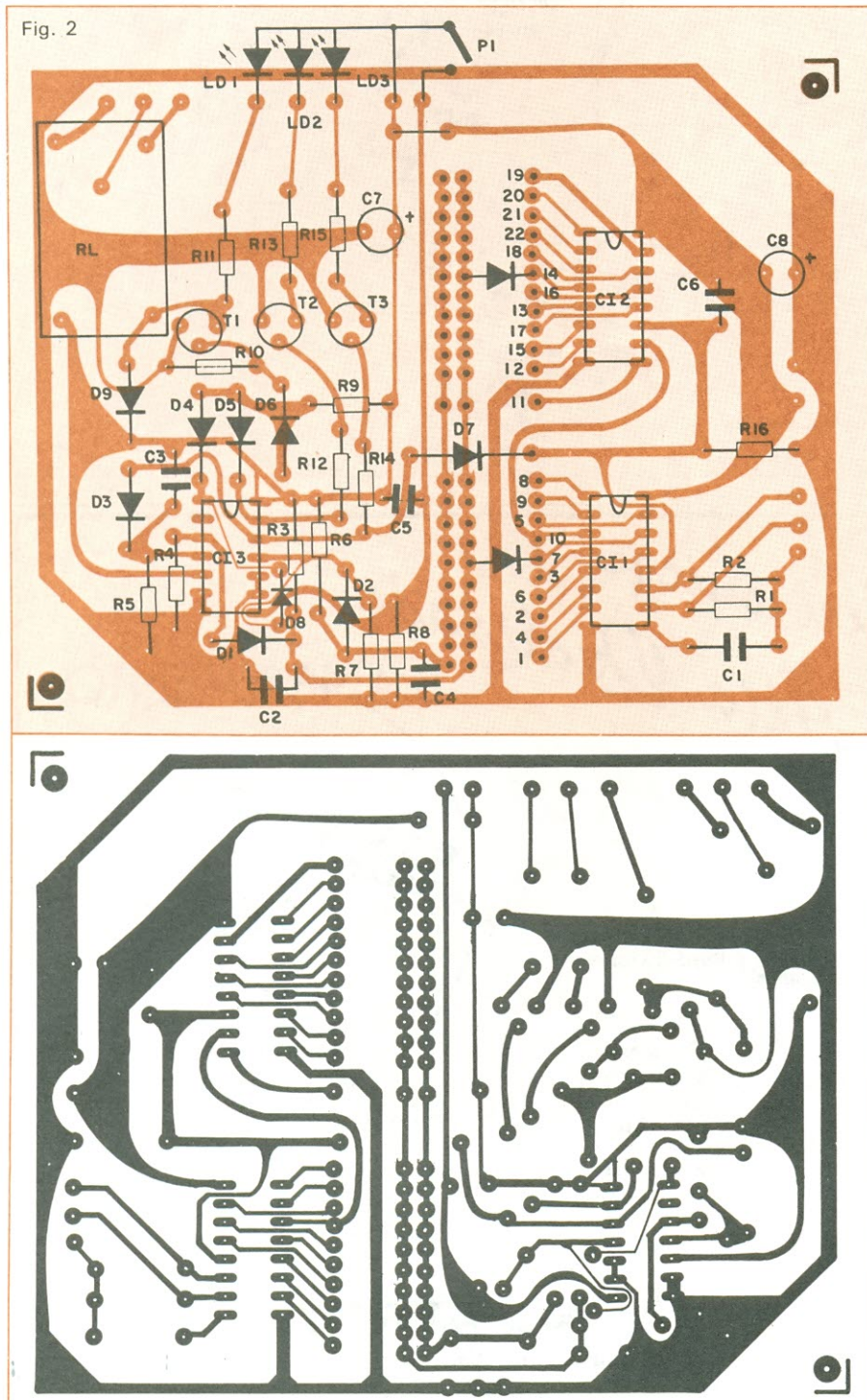


Fig. 3

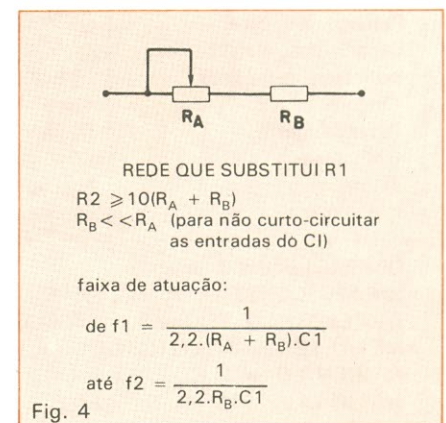


Fig. 4

A montagem não oferece pontos críticos, mas seria conveniente montar os integrados sobre soquetes apropriados, para evitar dores de cabeça com “queimas” acidentais e eventuais trocas de CIs. Dependendo do tipo de caixa em que o temporizador vai ser montado, os LEDs podem ser ligados diretamente à placa ou fora dela. No painel frontal do aparelho deverão estar, além dos LEDs sinalizadores, a chave de partida e um potenciômetro — este último em substituição a R1, caso o montador opte pelo controle contínuo da frequência, como veremos mais adiante.

Programação e uso — Para melhor ilustrar a programação do temporizador, vamos acompanhar um exemplo prático: suponhamos que é preciso acionar uma certa carga daqui a 10 horas e que a mesma deverá permanecer acionada durante 1 hora e 30 minutos. Na Tabela 1 temos todos os valores pré-calculados para intervalos inteiros de tempo, cobrindo as principais necessidades de temporização (outros valores poderão ser calculados através de uma fórmula adequada).

A tabela nos oferece uma frequência de 29,1 Hz na saída Q15, que totaliza exatamente 10 horas. Para programar o período de uma hora e meia, é melhor antes analisarmos as relações entre as saídas dos contadores e a frequência de entrada. Como já vimos, tanto CI1 como CI2 possuem 14 bistáveis internos — porém, só temos acesso, através de seus pinos, a 10 bistáveis do 4060 e a 12 do 4020 (veja as pinagens da figura 3).

Em ambos os contadores, a frequência de entrada é dividida por 2^n , onde “n” é o número da saída. Na Tabela 1 estão determinadas também essas relações, com o valor de n real do circuito. Para o cálculo dos intervalos de temporização, usa-se a fórmula:

$$\text{intervalo(s)} = \frac{2^{(n-1)}}{f.\text{clock (Hz)}}$$

cujos valores inteiros já estão relacionados na Tabela 1.

Voltando ao exemplo, faltou-nos temporizar 1,30h. Podemos tomar, de início, a saída Q12 do 4020 (CI2), que fornece um período de 1 hora e 15 minutos, valor bastante próximo ao desejado. Para chegar ainda mais perto, a solução é acrescentar mais um diodo D_B , agora em Q11, que fornece uma temporização de 9 minutos e 22 segun-

Programação do temporizador							
Tabela 1							
saída	N	pino	freqüência (Hz)	C1 (nF)	R1 (kΩ)	R2 (kΩ)	período
Q1	4	7	—	—	—	—	—
Q2	5	5	160	47	60,4	560	0,1 s
Q3	6	4	160	47	60,4	560	0,2 s
Q4	7	6	64	47	151	1500	1 s
Q5	8	14	—	—	—	—	—
Q6	9	13	—	—	—	—	—
Q7	10	15	51,2	47	188	1800	10 s
Q8	12	1	68,2	100	66	680	30 s
Q9	13	2	68,2	100	66	680	1 minuto
Q10	14	3	—	—	—	—	—
Q11	15	9	27,3	100	166	1800	10 minutos
Q12	18	7	218	47	44	470	10 minutos
Q12	18	7	72,8	100	62	680	30 minutos
Q13	19	5	72,8	100	62	680	1 hora
Q14	20	4	—	—	—	—	—
Q15	21	6	29,1	100	156	1500	10 horas
Q16	22	13	48,5	100	93	1000	12 horas
Q17	23	12	48,5	100	93	1000	1 dia
Q18	24	14	—	—	—	—	—
Q19	25	15	27,7	100	163	1500	1 semana
Q20	26	1	—	—	—	—	—
Q21	27	2	—	—	—	—	—
Q22	28	3	51,7	100	87,7	820	30 dias
Q22	28	3	12,9	100	351	3300	120 dias

dos (ou seja, 8 vezes menor que Q12). Ficamos, portanto, com um total de 1 hora, 24 minutos e 22 segundos, quase o ideal desejado.

Usando sempre esse “artifício” de combinar saídas, poderemos ter qualquer temporização, sem maiores problemas. Lembremo-nos, porém, de duas coisas: que a frequência de clock é dada por $1/2 \cdot 2R1 \cdot C1$ e que os diodos de programação devem sempre ficar com seus catodos voltados para as saídas dos divisores.

Caso o montador deseje, poderá implementar o controle proporcional da figura 4, que fornece um ajuste contínuo da frequência de entrada. Lá também incluímos a forma de calcular a faixa de variação, caso se queira fazer uma escala para o potenciômetro que substituiu R1. O circuito oferece ainda a possibilidade de utilizar uma base de tempo a cristal — onde é necessária maior precisão — ou pela rede elétrica. A implementação de ambas é bastante simples e não exige maiores comentários. ●

Bibliografia

Minitimer Superdigitale, Elettronica 2000, fev/84.

Relação de componentes

RESISTORES

R1, R2 — ver Tabela 1

R3, R6 — 10 kΩ

R4, R5, R7, R8, R10, R16 — 100 kΩ

R9 — 15 kΩ

R11, R13, R15 — 1 kΩ

R12, R14 — 33 kΩ

Todos de 1/4 W, 5%

CAPACITORES

C1 — ver Tabela 1 (cerâmico de disco)

C2, C4 — 1 nF (qualquer tipo)

C3, C5, C6 — 22 nF (qualquer tipo)

SEMICONDUCTORES

Q1, Q2, Q3 — BC237, BC547 ou equivalentes

D1 a D8 — 1N4148 ou equivalentes

D9 — 1N4004 ou equivalente

CI1 — 4060

CI2 — 4020

CI3 — 4013

LD1 a LD3 — qualquer LED vermelho

D_A , D_B — 1N4148 ou equivalentes

DIVERSOS

R_L — relé 12V/10A (Schrack tipo RU101012 ou equivalente)

CH1 — chave de pressão, tipo contato momentâneo

Placa de circuito impresso

Fios de conexão

Em junho, comemore conosco a 100.^a edição de

NOVA ELETRONICA

Nova Eletrônica vai completar 100 edições com o mesmo espírito inovador que motivou sua criação, há mais de 8 anos. Isso acontecerá em junho, coincidindo com a realização da XII Feira da Eletro-Eletrônica. E você vai participar da comemoração.

Agenda da Feira

Programa sua visita à FEE com a prática agenda de bolso que a NE n.º 100 lhe dará como brinde, contendo a relação de todos os expositores e espaço para suas anotações nos sete dias do evento.

Montagens especiais

Na seção Prática do n.º 100, duas surpresas: um Controlador Lógico Programável, para uso industrial, e um Analisador de Espectro para Áudio. Duas montagens semiprofissionais e inéditas no Brasil.

Curso e séries

Você terá mais um fascículo do Curso de Telefonia, inteiramente grátis, e a continuação das séries "Como Projetar" e "Conheça os Operacionais pela Prática".

Convites

Juntamente com a agenda, você terá direito a dois convites para a Feira — que este ano só vai admitir a entrada de profissionais ligados à área, em horário mais restrito. Você vai garantir sua entrada no Anhembi, sem precisar correr atrás dos convites.

Visite nosso estande na XII FEE!

Venha ver, ao vivo e funcionando, as principais montagens NE de 85, numa bancada especialmente construída. Até lá!

Conheça os operacionais pela prática

Os amplificadores operacionais são explicados através de vários circuitos práticos e da teoria apenas necessária

Os circuitos integrados já se consagraram junto aos projetistas pela sua versatilidade, confiabilidade e fácil manuseio. Utilizados em vários dispositivos, permitem atingir um alto grau de compactação dos circuitos, bem como reduzir drasticamente a complexidade que fatalmente apresentariam, se implementados com componentes discretos. Assim, cabe ao profissional de eletrônica o conhecimento das limitações desses componentes, através de suas características, a fim de direcionar cada CI às aplicações mais adequadas.

Esta série de artigos se propõe a discutir o projeto e a operação dos circuitos com amplificadores operacionais, não se limitando apenas a considerações de cunho puramente teórico, mas aliando-as a uma seqüência paralela e progressiva de experimentos práticos — que terão por finalidade comprovar ao leitor toda a teoria desenvolvida. Além disso, serão abolidas (na medida do possível) as demonstrações e deduções de cálculo, para dar espaço a fórmulas derivadas simples, de aplicação imediata, permitindo assim a assimilação do texto por estudantes de nível médio.

Para o perfeito acompanhamento do trabalho experimental, será necessária somente a utilização de um osciloscópio e de um multiteste (de preferência digital), pois serão desenvolvidos, através de circuitos práticos, outros instrumentos indispensáveis à verificação de certos experimentos, a fim de permitir o acompanhamento dos artigos por

aqueles que não disponham de um laboratório bem equipado.

Também é importante ressaltar que todo esse trabalho vai estar voltado ao profissional de nível médio, além de complementar a teoria sobre circuitos integrados lineares a nível universitário. Assim, o leitor deverá apresentar certos pré-requisitos mínimos, como experiência anterior com montagens utilizando circuitos integrados, capacidade de interpretação de leitura de gráficos e equipamentos de laboratório, além de conhecimentos básicos sobre eletrônica linear.

Relacionamos, a seguir, em seqüência didática, os tópicos que serão abordados sob a forma de estudo dirigido com experiências práticas.

Características técnicas dos operacionais

- amplificador operacional ideal
- amplificador operacional real
- parâmetros máximos absolutos
- parâmetros de entrada
- parâmetros de saída
- gráficos
- ganho e resposta de freqüência
- ajuste da tensão de off-set

Amplificadores lineares básicos

- amplificador diferencial
- amplificador inversor
- amplificador não inversor
- amplificador somador
- amplificador logarítmico
- amplificador antilogarítmico
- amplificador de circuito em ponte
- circuitos amplificadores de ganho variável

Circuitos integradores e diferenciadores

Osciladores

- oscilador senoidal
- oscilador co-senoidal
- oscilador de ondas triangulares
- oscilador de ondas quadradas
- gerador de degraus
- osciladores monoestáveis

Filtros ativos

- filtro passa-baixas
- filtro passa-altas
- filtro passa-faixa
- filtro rejeita-faixa
- filtro de função múltipla

Geradores de tensão e corrente

- fonte de corrente constante
- conversor tensão/corrente
- conversor corrente/tensão
- circuitos retificadores de precisão
- fontes de referência

Circuitos não lineares

- comparadores
- detectores
- circuitos de amostragem e retenção
- limitadores
- circuitos equivalentes a operadores lógicos

O uso de fonte unipolar para amplificadores operacionais O integrado LM324

O operacional Norton LM3900

Características técnicas dos operacionais

O termo "operacional" foi originalmente empregado para designar uma série de amplificadores de corrente contínua de alto desempenho e confiabilidade, visando sua aplicação como elementos básicos em computadores analógicos. Devido à sua estrutura interna, o ganho do operacional pode ser função exclusiva de redes resistivas externas (ganho de malha fechada), o que lhe confere grande versatilidade em várias aplicações. Para melhor entender os amplificadores operacionais, é necessário fazer um confronto entre o componente ideal e o real, admitindo-os em condições de malha aberta (ou seja, sem realimentação).

1 - Ganho de malha aberta (infinito) — A característica "malha aberta" confere ao amplificador seu máximo ganho — no caso ideal, infinito. Essa condição nunca poderia ocorrer na prática,

μA741

FREQUENCY-COMPENSATED OPERATIONAL AMPLIFIER

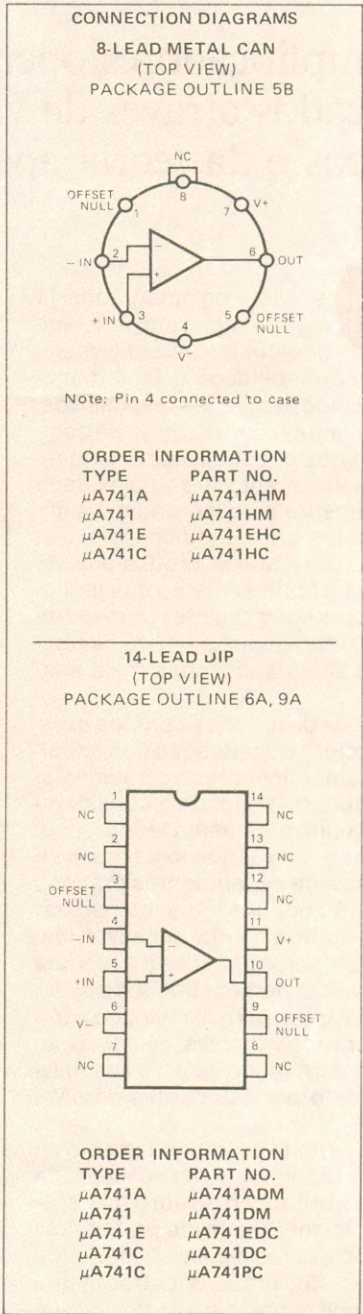
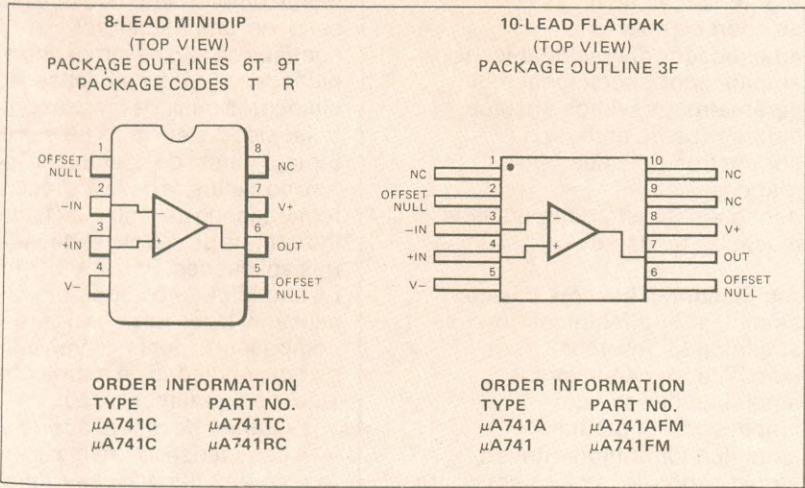
FAIRCHILD LINEAR INTEGRATED CIRCUIT

GENERAL DESCRIPTION — The μA741 is a high performance monolithic Operational Amplifier constructed using the Fairchild Planar* epitaxial process. It is intended for a wide range of analog applications. High common mode voltage range and absence of latch-up tendencies make the μA741 ideal for use as a voltage follower. The high gain and wide range of operating voltage provides superior performance in integrator, summing amplifier, and general feedback applications. Electrical characteristics of the μA741A and E are identical to MIL-M-38510/10101.

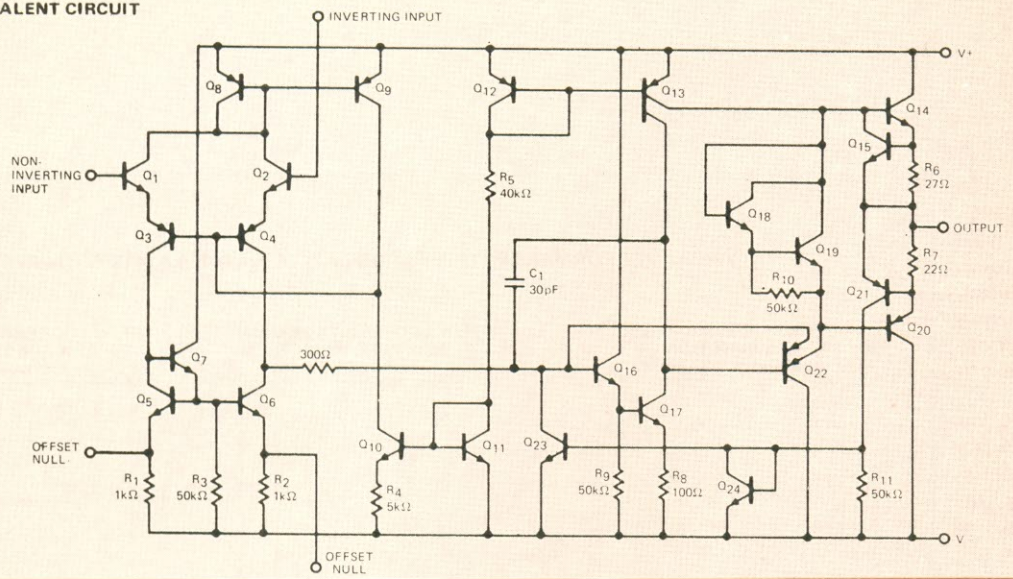
- NO FREQUENCY COMPENSATION REQUIRED
- SHORT CIRCUIT PROTECTION
- OFFSET VOLTAGE NULL CAPABILITY
- LARGE COMMON MODE AND DIFFERENTIAL VOLTAGE RANGES
- LOW POWER CONSUMPTION
- NO LATCH-UP

ABSOLUTE MAXIMUM RATINGS

Supply Voltage	
μA741A, μA741, μA741E	±22 V
μA741C	±18 V
Internal Power Dissipation (Note 1)	
Metal Can	500 mW
Molded and Hermetic DIP	670 mW
Mini DIP	310 mW
Flatpak	570 mW
Differential Input Voltage	±30 V
Input Voltage (Note 2)	±15 V
Storage Temperature Range	
Metal Can, Hermetic DIP, and Flatpak	-65°C to +150°C
Mini DIP, Molded DIP	-55°C to +125°C
Operating Temperature Range	
Military (μA741A, μA741)	-55°C to +125°C
Commercial (μA741E, μA741C)	0°C to +70°C
Lead Temperature (Soldering)	
Metal Can, Hermetic DIPs, and Flatpak (60 s)	300°C
Molded DIPs (10 s)	260°C
Output Short Circuit Duration (Note 3)	Indefinite



EQUIVALENT CIRCUIT



μA741C

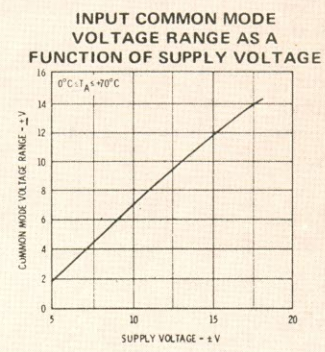
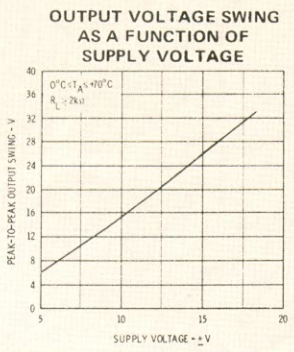
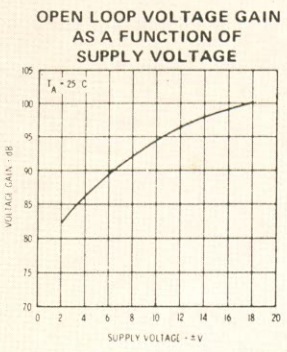
ELECTRICAL CHARACTERISTICS (V_S = ±15 V, T_A = 25°C unless otherwise specified)

PARAMETERS (see definitions)	CONDITIONS	MIN	TYP	MAX	UNITS
Output Offset Voltage	R _S ≤ 10 kΩ		2.0	6.0	mV
Output Offset Current			20	200	nA
Output Bias Current			80	500	nA
Output Resistance		0.3	2.0		MΩ
Output Capacitance			1.4		pF
Offset Voltage Adjustment Range			±15		mV
Output Voltage Range		±12	±13		V
Common Mode Rejection Ratio	R _S ≤ 10 kΩ	70	90		dB
Supply Voltage Rejection Ratio	R _S ≤ 10 kΩ		30	150	μV/V
Open Loop Signal Voltage Gain	R _L ≥ 2 kΩ, V _{OUT} = ±10 V	20,000	200,000		
Output Voltage Swing	R _L ≥ 10 kΩ	±12	±14		V
Output Resistance	R _L ≥ 2 kΩ	±10	±13		V
Output Short Circuit Current			25		mA
Supply Current			1.7	2.8	mA
Power Consumption			50	85	mW
Transient Response (Unity Gain)	Rise time		0.3		μs
	Overshoot	V _{IN} = 20 mV, R _L = 2 kΩ, C _L ≤ 100 pF		5.0	%
Slew Rate	R _L ≥ 2 kΩ		0.5		V/μs

The following specifications apply for 0°C ≤ T_A ≤ +70°C:

Output Offset Voltage				7.5	mV
Output Offset Current				300	nA
Output Bias Current				800	nA
Open Loop Signal Voltage Gain	R _L ≥ 2 kΩ, V _{OUT} = ±10 V	15,000			
Output Voltage Swing	R _L ≥ 2 kΩ	±10	±13		V

TYPICAL PERFORMANCE CURVES FOR μA741E AND μA741C



visto que também se deveria dispor de uma fonte de alimentação que apresentasse um valor infinito de tensão em seus terminais, o que seria impossível.

2 - Resistência de entrada (infinita) — No amplificador ideal, a resistência de entrada, com relação ao terra comum, deverá ser infinita, de modo a isolar o amplificador totalmente da fonte de sinal. Esta característica, com relação às ordens de grandeza envolvidas, chega a se aproximar bastante da ideal nos amplificadores operacionais de instrumentação.

3 - Resistência de saída (nula) — Qualquer gerador com resistência de saída nula possui corrente de curto-circuito infinita — o que nos daria uma potência infinita para o operacional e a carga dissiparem, sendo uma característica totalmente inviável, na prática. Na maioria dos operacionais reais, essa corrente é limitada internamente, mas a resistência de saída atinge valores desprezíveis, na maioria das aplicações.

4 - Largura de faixa de frequência (infinita) e ganho em relação à faixa (constante) — Sendo infinita a resposta em frequência de um amplificador, considera-se o mesmo apto a trabalhar desde tensões contínuas até variações infinitas de tensão; além disso, é capaz de manter o ganho constante em toda a faixa infinita de frequências — o que na prática não pode ser atingido, visto não ser possível sequer a geração de um sinal de frequência infinita.

5 - Tensão de compensação de entrada (nula) — A característica de resistência de entrada infinita confere ao amplificador ideal uma corrente de entrada nula. Isto lhe possibilita apresentar, na saída, tensão nula na ausência de tensão em sua entrada. De fato, como a tensão de saída de um operacional está baseada na relação entre valores diferenciais de tensão de entrada, sua saída deverá apresentar sempre o resultado dessa diferença.

Todavia, visto que na prática as entradas do operacional apresentam um valor de resistência finito e devido a limita-

ções construtivas, teremos na saída um certo valor de tensão mensurável, mesmo com tensão nula de entrada. Esta tensão, porém, pode ser limitada, ajustando-se, em uma das entradas, um valor de tensão igual e oposto, que recebe o nome de "tensão de compensação de entrada" ou "tensão de offset", como veremos adiante.

Assim, constatamos que na prática nenhum dos amplificadores reais pode satisfazer plenamente as características ideais. Entretanto, podemos afirmar que o modelo real foi criado de maneira a apresentar características semelhantes às ideais.

O amplificador operacional real

A melhor maneira de estudar os parâmetros do amplificador real, ao nosso ver, inclui um exame detalhado da folha de características técnicas de um operacional comercial, a fim de que o leitor se familiarize com seu conteúdo e possa compreender, por analogia, os parâmetros de outros amplificadores. Escolhemos, para este fim, o mais popular dos operacionais: o 741, oferecido por quase todos os grandes fabricantes de semicondutores. Publicamos aqui, na íntegra, seu conjunto de características exatamente como aparece nos manuais.

A folha de especificações técnicas de um operacional traz, geralmente, as seguintes informações: descrição geral do componente; esquema interno; pinagem; parâmetros máximos absolutos; características elétricas; aplicações típicas; gráficos; dimensões físicas.

Parâmetros máximos absolutos —

São as condições limite de operação, até onde o fabricante garante o funcionamento normal do componente, sem o perigo de danificá-lo. São eles:

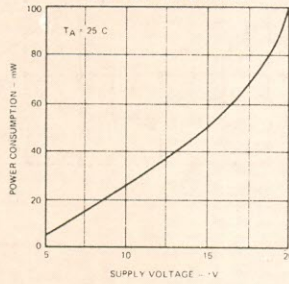
— *Supply voltage* (tensão de alimentação): máxima tensão simétrica aplicada entre os pinos de alimentação do operacional.

— *Internal power dissipation* (máxima dissipação interna): capacidade máxima de dissipação do componente, sem a utilização de dissipadores externos, em função da temperatura.

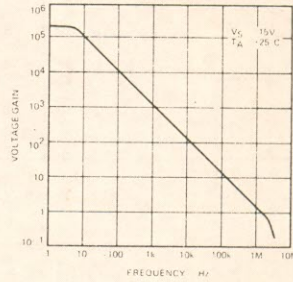
— *Differential input voltage* (tensão diferencial de entrada): máxima tensão que pode ser aplicada nas entradas do operacional, no modo diferencial. Equivale ao dobro da tensão diferencial de alimentação do operacional.

TYPICAL PERFORMANCE CURVES FOR μ A741A, μ A741, μ A741E AND μ A741C

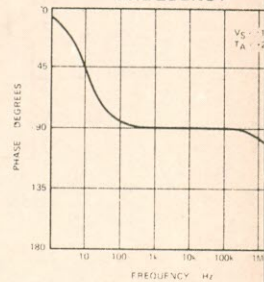
POWER CONSUMPTION AS A FUNCTION OF SUPPLY VOLTAGE



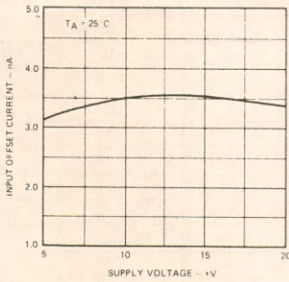
OPEN LOOP VOLTAGE GAIN AS A FUNCTION OF FREQUENCY



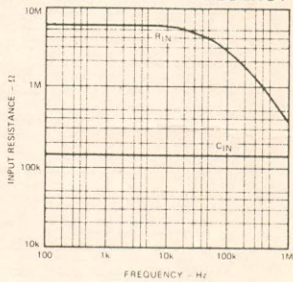
OPEN LOOP PHASE RESPONSE AS A FUNCTION OF FREQUENCY



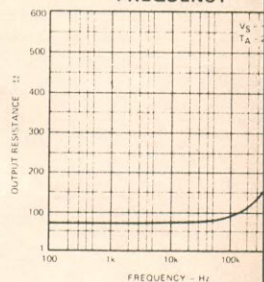
INPUT OFFSET CURRENT AS A FUNCTION OF SUPPLY VOLTAGE



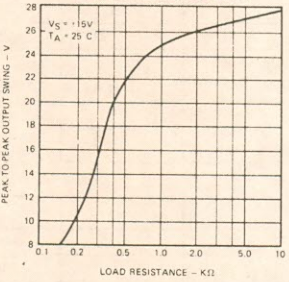
INPUT RESISTANCE AND INPUT CAPACITANCE AS A FUNCTION OF FREQUENCY



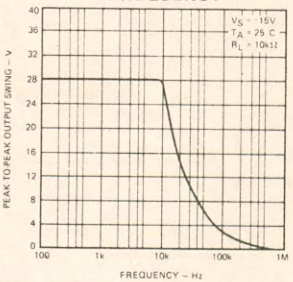
OUTPUT RESISTANCE AS A FUNCTION OF FREQUENCY



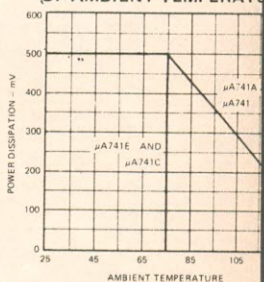
OUTPUT VOLTAGE SWING AS A FUNCTION OF LOAD RESISTANCE



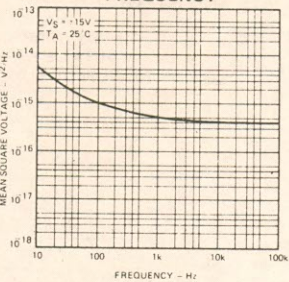
OUTPUT VOLTAGE SWING AS A FUNCTION OF FREQUENCY



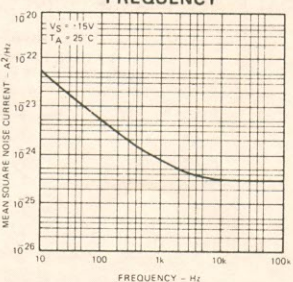
ABSOLUTE MAXIMUM POWER DISSIPATION AS A FUNCTION OF AMBIENT TEMPERATURE



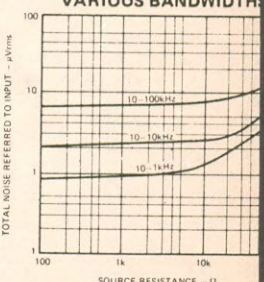
INPUT NOISE VOLTAGE AS A FUNCTION OF FREQUENCY



INPUT NOISE CURRENT AS A FUNCTION OF FREQUENCY



BROADBAND NOISE FOR VARIOUS BANDWIDTHS



— *Input voltage* (tensão de entrada): máxima tensão aplicada separadamente nas entradas, no modo comum. Equivale ao valor da tensão diferencial de alimentação.

— *Operating temperature range* (faixa de temperaturas de operação): gama de temperaturas de operação do operacional, dentro da qual o funcionamento do componente é garantido.

— *Output short circuit duration* (duração máxima de curto-circuito na saída): este parâmetro, para o 741C, é indefinido, pelo fato de ser internamente protegido contra eventuais curto-circuitos de saída.

Características elétricas — São definidas tendo-se estipulado anteriormente a tensão de alimentação e a temperatura ambiente. Na tabela, os parâmetros predefinidos serão: $V_{CC} = \pm 15\text{ V}$ e $T_A = 25^\circ\text{C}$. Em outras características, podem ser fixados outros parâmetros, tais como R_S (resistência interna da fonte) e R_L (resistência da carga). Observe, na tabela da folha de características, que os resultados obtidos apresentam um valor máximo, mínimo e típico — sendo este último o considerado na elaboração de qualquer projeto com o operacional, quando estiver trabalhando dentro dos parâmetros predeterminados. As principais características:

— *Input off-set voltage* (tensão de compensação de entrada): tensão que deve ser aplicada em uma das entradas, para que se verifique uma saída nula, quando a outra entrada é aterrada. O 741C permite este ajuste através de duas entradas, conforme veremos mais adiante, na série.

— *Input off-set current* (corrente de compensação das entradas): avalia a diferença entre as correntes de entrada do operacional, necessárias para que a saída apresente um valor nulo de tensão.

— *Input bias current* (corrente de polarização de entrada): representa a média das correntes das entradas do operacional — que, no caso ideal, deveria ser igual a zero, visto que as correntes seriam iguais (e nulas). Avalia a desigualdade das resistências de entrada do operacional.

— *Input resistance* (resistência de entrada): valor de resistência elétrica vista em uma das entradas do operacional, quando a outra está aterrada.

— *Input capacitance* (capacitância de entrada): valor da capacitância vista em uma das entradas, quando a outra está aterrada.

— *Off-set voltage adjustment range* (faixa de ajuste da tensão de compensação de entrada): gama de tensão simétrica na qual se encontra a tensão de off-set.

— *Input voltage range* (faixa de variação da tensão de entrada): limites máximo e mínimo entre os quais o sinal de entrada poderá excursionar, sem que se produza ceifamento (saturação) da tensão de saída (considerando os parâmetros prefixados, $V_{CC} = \pm 15\text{ V}$ e o operacional na configuração de ganho unitário).

— *Common mode rejection ratio* (rejeição do modo comum: média rejeição do sinal de modo comum, quando o operacional é utilizado como amplificador diferencial).

— *Supply voltage rejection ratio* (unidade ao ripple de fonte): valor aceitável de ondulação da fonte para a operação do integrado.

— *Large signal voltage gain* (ganho de tensão CC): avalia o ganho do operacional em malha aberta para vários valores de tensão CC na entrada. Assim, com o valor típico do ganho igual a 200 mil e a tensão de saída igual a $-10 V_{CC}$, temos na entrada inversora uma tensão de $500\ \mu\text{V}$.

— *Output voltage swing* (variação da tensão de saída): limites máximo e mínimo nos quais o sinal de saída pode excursionar, sem que se produza ceifamento da tensão, em função da resistência de saída. Este parâmetro deverá ser analisado juntamente com a faixa de tensões de entrada.

— *Output resistance* (resistência de saída): valor de resistência aplicada em série com a carga, na saída do CI. Equivale à resistência interna de um gerador, se considerarmos a saída do integrado como tal.

— *Output short circuit current* (corrente de curto-circuito): valor da corrente na saída do operacional, quando esta estiver curto-circuitada. Este valor, para o 741C, é constante, devido à limitação interna.

— *Supply Current* (corrente de alimentação): valor da corrente absorvida da fonte pelo operacional, quando em funcionamento.

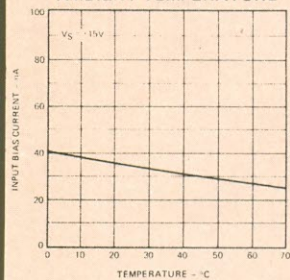
— *Power Consumption* (consumo de potência): dissipação interna de potência, em operação.

Numa pequena tabela, abaixo da maior, são dados novamente alguns parâmetros, dessa vez, para condições de variação da temperatura ambiente dentro de toda a gama de valores.

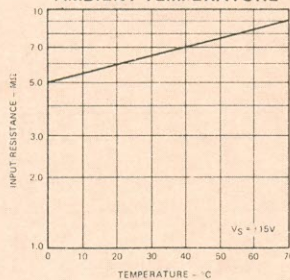
Gráficos — O operacional 741C apresenta, na sua folha de especificações técnicas, um total de 21 gráficos, dos quais iremos analisar somente um deles. Isto porque a grande maioria dos gráficos já foi analisada indiretamente, cabendo ao leitor apenas interpretá-los. Assim, por exemplo, no segundo gráfico temos a curva que demonstra a variação da tensão de saída em função da alimentação do operacional

TYPICAL PERFORMANCE CURVES FOR $\mu\text{A}741\text{E}$ AND $\mu\text{A}741\text{C}$

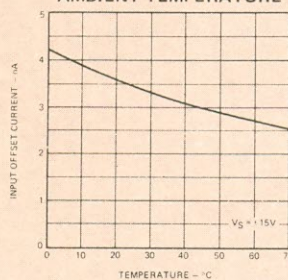
INPUT BIAS CURRENT AS A FUNCTION OF AMBIENT TEMPERATURE



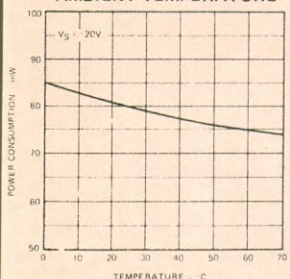
INPUT RESISTANCE AS A FUNCTION OF AMBIENT TEMPERATURE



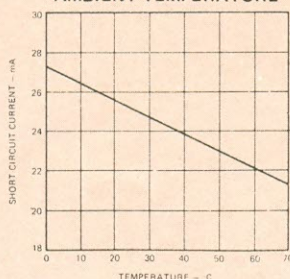
INPUT OFFSET CURRENT AS A FUNCTION OF AMBIENT TEMPERATURE



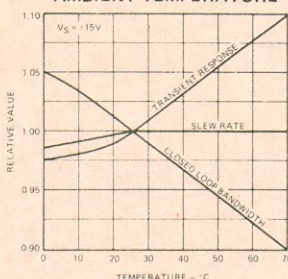
POWER CONSUMPTION AS A FUNCTION OF AMBIENT TEMPERATURE

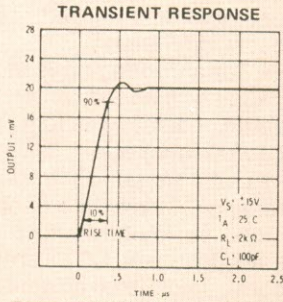


OUTPUT SHORT CIRCUIT CURRENT AS A FUNCTION OF AMBIENT TEMPERATURE

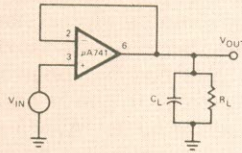


FREQUENCY CHARACTERISTICS AS A FUNCTION OF AMBIENT TEMPERATURE

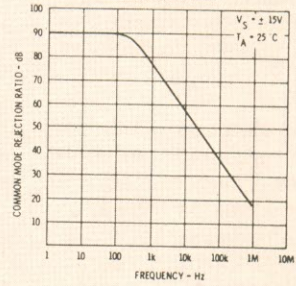




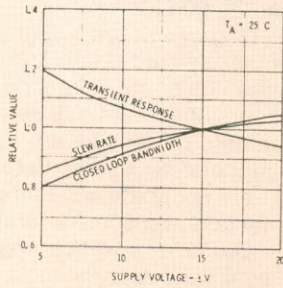
TRANSIENT RESPONSE TEST CIRCUIT



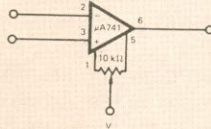
COMMON MODE REJECTION RATIO AS A FUNCTION OF FREQUENCY



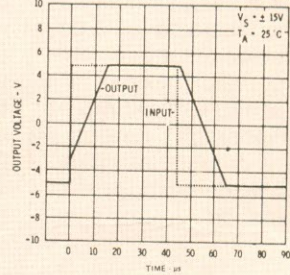
FREQUENCY CHARACTERISTICS AS A FUNCTION OF SUPPLY VOLTAGE



VOLTAGE OFFSET NULL CIRCUIT

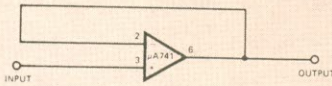


VOLTAGE FOLLOWER LARGE SIGNAL PULSE RESPONSE



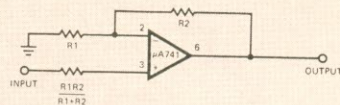
TYPICAL APPLICATIONS

UNITY-GAIN VOLTAGE FOLLOWER



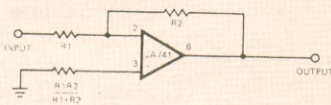
$R_{IN} = 400 \text{ M}\Omega$
 $C_{IN} = 1 \text{ pF}$
 $R_{OUT} \ll 1 \Omega$
 B.W. = 1 MHz

NON-INVERTING AMPLIFIER



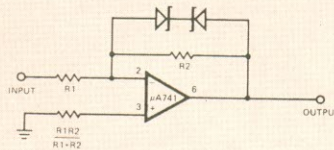
GAIN	R1	R2	BW	R _{IN}
10	1 kΩ	9 kΩ	100 kHz	400 MΩ
100	100 Ω	9.9 kΩ	10 kHz	280 MΩ
1000	100 Ω	99.9 kΩ	1 kHz	80 MΩ

INVERTING AMPLIFIER



GAIN	R1	R2	BW	R _{IN}
1	10 kΩ	10 kΩ	1 MHz	10 kΩ
10	1 kΩ	10 kΩ	100 kHz	1 kΩ
100	1 kΩ	100 kΩ	10 kHz	1 kΩ
1000	100 Ω	100 kΩ	1 kHz	100 Ω

CLIPPING AMPLIFIER



$$\frac{E_{OUT}}{E_{IN}} = \frac{R2}{R1} \text{ if } |E_{OUT}| \leq V_Z + 0.7 \text{ V}$$

where V_Z = Zener breakdown voltage

(output voltage swing as a function of supply voltage). Ora, esse parâmetro foi analisado na tabela de especificações técnicas, para uma tensão de alimentação de ± 15 Vcc (ou seja, considerando apenas um ponto do gráfico). Para comprovar isto, é só "entrar" no gráfico com o valor da fonte estipulado na tabela (± 15 Vcc) e verificar que o valor fornecido pelo gráfico e pela tabela é o mesmo (o gráfico mostra o valor pico a pico da tensão da saída).

Portanto, concluímos que os gráficos representam pontos típicos dos parâmetros, dentro da faixa de variação dos valores estabelecidos pela tabela, e deverão ser utilizados sempre que tais valores forem alterados (como, por exemplo, alimentação de ± 12 Vcc para o 741C). Por outro lado, a análise de gráficos mais específicos, como o da variação da fase do sinal em função da frequência (open loop phase response as a function of frequency), somente

é necessária em aplicações complexas, fugindo completamente ao escopo deste trabalho.

O ganho de tensão em malha aberta, como já vimos anteriormente para operacional real, não pode ser infinito, assim como a largura de faixa em que o operacional trabalha em regime de ganho constante. Assim sendo, o gráfico **ganho de tensão em malha aberta em função da frequência** (open loop voltage gain as a function of frequency) será bastante útil na avaliação teórica do produto ganho-largura de faixa (PGL) do operacional 741C.

Observando esse gráfico na folha de especificações do operacional, nota-se que o ganho permanece constante para baixas frequências, até uma certa frequência, na qual passa a sofrer uma atenuação de -6 dB por oitava ou -20 dB por década. Essa atenuação permanece constante até que o ganho de tensão seja unitário.

Na frequência de ganho unitário (1 MHz), temos estabelecida a faixa de frequências em que o operacional poderá trabalhar, ligado na configuração de amplificador de ganho unitário. Pode-se observar, no gráfico, que para cada largura de faixa existe um ganho constante. Exemplo: para a faixa de frequências de 0 a 10 kHz, o ganho 100 é constante. Assim, o PGL pode ser obtido através da expressão:

$$PGL = \Delta V \times LF$$

onde PGL é o produto ganho-largura de faixa; ΔV , o ganho de tensão do amplificador e LF, a largura de faixa. A utilização do PGL será vista com maiores detalhes na parte prática desta 1.ª etapa, no próximo número.

Paralelamente a este parâmetro, temos a *slew rate* ou razão de resposta, que, como o PGL, define a frequência máxima com a qual o operacional poderá trabalhar, sendo expressa através da expressão:

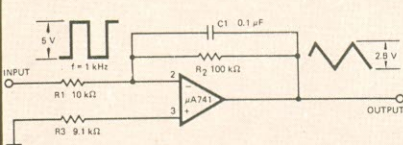
$$R_R = \frac{\Delta V}{\Delta t}$$

onde R_R é a razão de resposta (V/ μ s); ΔV , a excursão do sinal do sinal de saída e Δt , o tempo necessário para a excursão ΔV . O 741C apresenta uma razão de resposta típica de 0,5 V/ μ s, em ganho unitário; isto significa que o operacional não está capacitado para responder a variações de entrada rápidas, cujo período iremos determinar na 2.ª parte.

No próximo número: várias experiências práticas, envolvendo diversos parâmetros do 741C. De quebra, um projeto completo de fonte para operacionais, com a placa incluída.

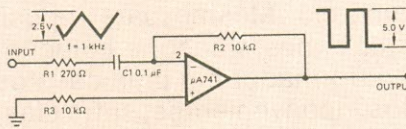
TYPICAL APPLICATIONS (Cont'd)

SIMPLE INTEGRATOR



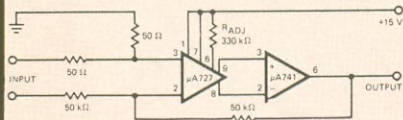
$$E_{OUT} = -\frac{1}{R_1 C_1} \int E_{IN} dt$$

SIMPLE DIFFERENTIATOR



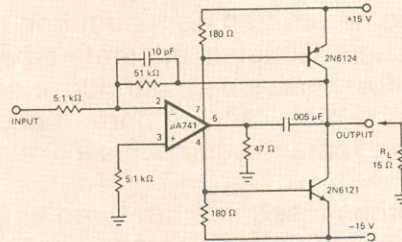
$$E_{OUT} = -R_2 C_1 \frac{dE_{IN}}{dt}$$

LOW DRIFT LOW NOISE AMPLIFIER

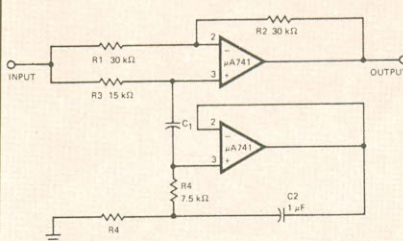


Voltage Gain = 10^3
Input Offset Voltage Drift = $0.6 \mu V/^{\circ}C$
Input Offset Current Drift = $2.0 pA/^{\circ}C$

HIGH SLEW RATE POWER AMPLIFIER

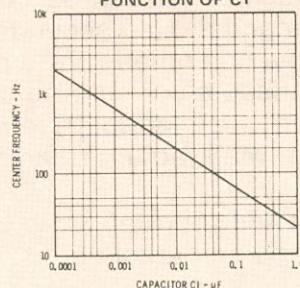


NOTCH FILTER USING THE $\mu A741$ AS A GYRATOR



Trim R3 such that
 $\frac{R_1}{R_2} = \frac{R_3}{2 R_4}$

NOTCH FREQUENCY AS A FUNCTION OF C1



Como projetar transformadores

O leitor que faz montagem, seja profissionalmente ou por *hobby*, provavelmente já se deparou com a situação de necessitar de um transformador com características diferentes daqueles normalmente encontrados no comércio. Mesmo para reposição em consertos, esta situação pode ocorrer e, neste caso, a solução óbvia é mandar enrolar, ou reenrolar, um transformador em uma casa especializada. Porém, quem já fez isto sabe dos inconvenientes, entre eles o custo elevado.

Uma outra solução é enrolar seu próprio transformador. Esta idéia provavelmente vai horrorizar aqueles que já tentaram colocá-la em prática alguma vez, mas garantimos que ela não é tão horripilante assim. Basta ter boa vontade para umas poucas horas de trabalho manual monótono (afinal, qualquer montagem é assim) e conhecer o jeito certo de fazer a coisa. O "jeito certo de fazer a coisa" é o que propomos descrever aqui. Quanto à boa vontade, fica por conta do leitor.

Daremos, inclusive, orientação para um trabalho que, se for feito com o devido cuidado, levará à confecção de um transformador sob medida, para necessidades especiais, de maneira simples, eficiente e barata.

Porém, antes que um transformador possa ser construído, ele precisa ser calculado (não fujam; esta é a parte mais fácil). A partir das características necessárias, deve-se calcular o tamanho do núcleo e o número de espiras de cada enrolamento.

A seqüência de cálculo que daremos a seguir é um tanto empírica e presta-se bem a transformadores de até 200 watts de potência. Não é aconselhável para produção em série; os cálculos são um tanto superdimensionados, a fim de abranger variações na qualidade do material empregado. Quanto à segurança de "dar certo", já tive a oportunidade de construir alguns transformadores empregando esse método — e todos eles funcionaram muito bem.

Cálculo do transformador — Em primeiro lugar, o que deve ser considerado é a potência, em watts, e a tensão do secundário (ou secundários) do transformador. Chamaremos de P_1 a potência no primário; P_2 , a potência no secundário; V_2 e I_2 respectivamente a tensão e corrente no secundário. Quando o transformador tiver mais de um secundário, P_2 representará a soma das potências dos secundários. Mais adiante daremos um exemplo de cálculo com dois secundários.

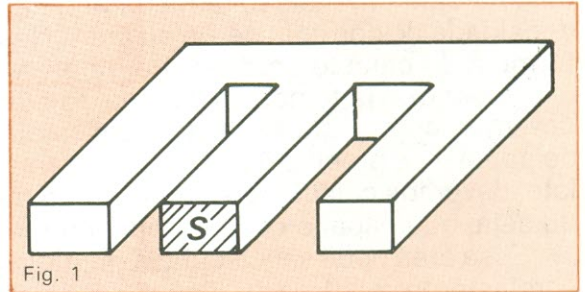
Primeiramente, tomamos a tensão e a máxima corrente a ser entregue pelo secundário do transformador e achamos a potência P_2 :

$$P_2 = V_2 I_2$$

Assumindo uma eficiência de 80%, a potência no enrolamento primário será:

$$P_1 = \frac{P_2}{0,8} \text{ ou } P_1 = 1,25 P_2$$

A potência é transferida do primário para o secundário através do fluxo magnético. Assim, a área da seção transversal do núcleo (S) de um transformador depende da potência a ser transferida, sendo proporcional a esta potência. A figura 1 mostra um núcleo em E, com a área a que nos referimos sombreada.



Corte do núcleo em "E", mostrando a área seccional S.

Para um núcleo de ferro comum para transformadores, a área S é dada pela fórmula:

$$S = \sqrt{P_1}$$

onde S é dado em cm² e P₁ em watts.

O número de espiras por volt (w') é o segundo parâmetro mais importante do transformador. É ele que determinará quantas espiras deverá ter cada enrolamento. Derivado diretamente da seção S, ele é dado pela seguinte equação:

$$w' = \frac{50}{S}$$

Agora é possível calcular o número de espiras para todos os enrolamentos, multiplicando w' pela tensão de cada enrolamento:

$$w_1 = w'V_1, w_2 = w'V_2, w_3 = w'V_3 \text{ etc.}$$

Quando a corrente circula pelo enrolamento, uma parte da tensão é perdida, devido à queda de tensão na resistência do fio. Para compensar isto, é recomendável enrolar de 5% a 10% a mais de espiras do que o valor calculado. A corrente no enrolamento primário é dada por:

$$I_1 = \frac{P_1}{V_1}$$

O diâmetro do fio é determinado a partir do valor da corrente e da densidade da mesma. Podemos usar uma densidade de 2 A/mm², um valor usual para pequenos transformadores. A partir da densidade de corrente, determinamos o diâmetro do fio (sem isolação) com a equação:

$$d = 0,8 \sqrt{I}$$

onde d é o diâmetro do fio em mm e I, a corrente, em ampères. Esse cálculo serve para todos os enrolamentos.

É necessário calcular também a área da seção transversal do fio, que será usada mais adiante. Para as finalidades práticas aqui propostas, podemos usar a fórmula:

$$q = 0,8d^2$$

onde q representa a área em mm^2 e d o diâmetro do fio em mm .

De posse do valor do diâmetro, uma tabela de fios nos dirá qual fio deve ser usado (apesar das determinações oficiais, ainda se usa a numeração AWG para fios). Caso não exista fio com diâmetro exatamente igual ao calculado, deve-se usar aquele imediatamente acima.

Para os enrolamentos de baixa tensão, com poucas espiras, e que ficam na camada mais externa da bobina do transformador, pode-se usar densidade de corrente de 2,5 ou até 3. Neste caso, o coeficiente de 0,8, na fórmula do cálculo do diâmetro, pode ser baixado para 0,7 ou 0,65.

Agora que já temos os valores do número de espiras e do tipo de fio, devemos lembrar que esse fio irá ser enrolado em um carretel, normalmente de papelão, e precisamos saber que tamanho deve ter esse carretel. Para isto, devemos calcular a área da seção transversal de cada enrolamento, ou seja, que espaço cada enrolamento ocupará no carretel.

Essa área pode ser calculada multiplicando-se o número de espiras do enrolamento pela área da seção transversal do fio, desta vez com isolamento. A figura 2 ilustra o que é a área da seção transversal do enrolamento, vista em corte. A área do fio, com isolamento, é dada por:

$$q_{is.} = 0,8d_{is.}$$

onde $q_{is.}$ é a área do fio com isolamento de esmalte e $d_{is.}$, o seu diâmetro.

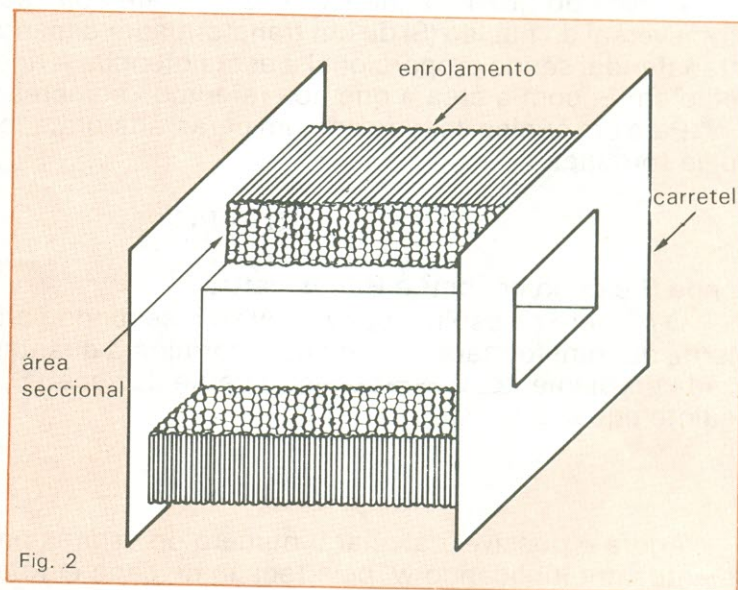
Calcula-se cada uma das áreas ocupadas pelos enrolamentos e somam-se todas elas. Em seguida, a área total assim determinada é multiplicada por dois ou três — o que é um fator aproximado, para permitir a colocação de isoladores entre camadas de enrolamento e entre enrolamentos, e também perdas, como sobreposição de fios, entre outras.

Construção fácil — A orientação de que falamos no início daremos agora. Descreveremos um método empírico de construção de um transformador que é mais uma “reconstrução” ou reforma, pois utiliza um transformador já pronto, porém diferente daquele que necessitamos, e aproveita seu enrolamento primário. O processo se baseia no fato de que os enrolamentos primários dos transformadores — que são normalmente os que contêm o maior número de espiras e, portanto, os mais difíceis de serem enrolados — ficam na parte mais interna da bobina, com os demais enrolados por cima deles. Estamos nos referindo, é claro, a transformadores cuja tensão do secundário é mais baixa do que a do primário.

Este é um método engenhoso e que pode dar bons resultados com pouco trabalho. Mais adiante descreveremos o meio de construir um transformador a partir do “zero”, pois nem sempre é possível usar o método agora descrito.

Primeiramente — e isto é a chave de todo o processo — deve-se conseguir um transformador, velho ou novo, porém funcionando, com as seguintes características: potência igual ou de preferência pouco maior do que necessitamos; tensão do primário igual à requerida; área do núcleo igual ou ligeiramente maior que a calculada; tensão total do secundário (soma de todas as tensões se houver mais de uma) maior do que precisamos.

Em seguida, desmonta-se o transformador cuidadosamente, sem danificar os enrolamentos, retirando as placas do núcleo. Desmancha-se agora, com muito cuidado, um enrolamento secundário de **tensão conhecida**,



Vista em corte da área transversal ocupada pelo enrolamento.

contando as espiras, a fim de se saber o w' (ou espiras por volt). Se houver mais de um secundário, desenrola-se todos eles. Ficaremos então com um carretel pronto, já com o enrolamento primário feito.

Agora basta calcular quantas espiras necessitamos para o nosso secundário, multiplicando o w' desse transformador pela tensão requerida. Então, utilizando o fio calculado anteriormente, enrolamos o novo secundário (ou secundários), montamos o núcleo e aí temos um novo transformador.

Descreveremos agora um processo para construir um transformador por inteiro e daremos algumas dicas sobre a montagem, as quais poderão ser úteis também para o método já descrito.

Construção não tão fácil — Uma vez prontos os cálculos, vem a parte física do trabalho, ou seja, construir o transformador. Talvez a parte mais insidiosa dessa tarefa seja a de se conseguir um núcleo e carretel com as dimensões requeridas. Provavelmente serão encontrados núcleos e carretéis de todos os tamanhos possíveis, exceto aquele de que precisamos. Mas, com alguma persistência, é possível chegar lá.

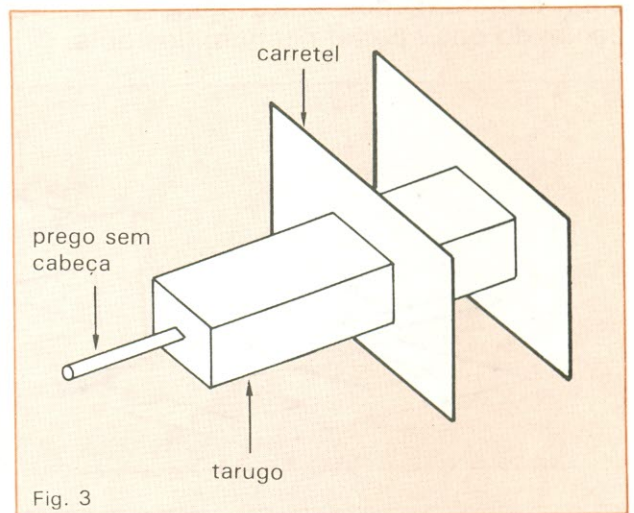
Pode-se procurar, por exemplo, um transformador velho na própria sucata, ou na de um amigo, ou até mesmo em oficinas de reparos. Pode-se ainda recorrer à pesquisa nas lojas que colocam sucatas à venda (acham-se coisas incríveis nesses lugares). E talvez, como último recurso, pode-se desmontar um transformador velho um pouco maior do que o necessário, fazer um novo carretel, com a área de núcleo requerida, respeitando-se a largura da perna central do "E" do núcleo e, posteriormente, empilhando tantas chapas E quantas forem necessárias para preencher o carretel.

Finalmente, de posse dos cálculos, do núcleo e do carretel, o leitor está um tanto apreensivo, tendo em vista o número de espiras que terá de enrolar, principalmente no primário do transformador, se não foi possível usar o método descrito anteriormente.

Não esqueça que o primário é enrolado em primeiro lugar, pois, sendo o que gera menos calor, é natural que fique na parte mais interna da bobina do transformador. Esse enrolamento poderá ser feito de três maneiras diferentes (existem outras, mas estas são as principais): 1) "Na unha", isto é, enrolam-se as espiras manualmente, uma a uma, sem perder a conta. Neste caso, o melhor é contar de 100 em 100 ou de 50 em 50 e fazer uma marca em papel, para cada contagem. É claro que é um processo muito trabalhoso. Mas **pode** ser feito; muita gente já fez coisa pior. 2) Conseguir acesso a uma máquina de enrolar bobinas. Este é, evidentemente, o menos trabalhoso, mas depende de sorte. 3) Este é um processo que nem depende de sorte, nem dá tanto trabalho quanto o primeiro. Precisa-se apenas de uma furadeira manual, o que não é tão difícil quanto obter uma máquina de enrolar bobinas. O processo consiste no seguinte:

— Corta-se um tarugo de madeira que se encaixe firmemente no interior do carretel. Em seguida, corta-se a cabeça de um prego grande e crava-se o prego exatamente no centro da ponta do tarugo. Insere-se o tarugo no carretel e prende-se o prego no mandril da furadeira. A figura 3 dá uma idéia de como ficará a coisa.

— Agora gira-se a furadeira lentamente, contando exatamente quantas voltas dá o carretel para uma volta da manivela, o que poderá não ser um número inteiro. Minha furadeira, por exemplo, dá 3,6 voltas para um giro da manivela. Para maior exatidão, pode-se contar quantas voltas ela dá para 10 giros da manivela.



Método de enrolamento usando um tarugo de madeira e um prego sem ponta.

— Agora uma continha simples nos dirá quantas voltas devemos dar na manivela para que o carretel gire o número de espiras requerido. Prende-se então a ponta do fio no carretel e “manivela-se” até enrolar todo o primário, tomando-se o cuidado de tentar distribuir o fio o mais uniformemente possível no carretel.

Atenção: O processo é desaconselhável para secundários de alta corrente, com fio grosso. Estes devem ser enrolados manualmente.

Lembre-se de que os enrolamentos devem ser isolados entre si por camadas de isolante, de preferência *mylar*, mas pode-se também usar plástico fino ou papel encerado.

Depois de pronta a bobina, monta-se o núcleo, colocando-se alternadamente chapas E e I de um lado e de outro do carretel, como mostra a figura 4.

Para terminar, o transformador pode ser mergulhado em verniz isolante, de preferência quente, e deixado lá por uma ou duas horas, dando-se uma sacudida de vez em quando, para que o verniz penetre melhor. Depois de seco, está pronto para ser usado.

Este processo poderá parecer trabalhoso demais para se fazer um “simples” transformador, mas é melhor ter um trabalhão e o transformador especial do que não ter nenhum dos dois.

Montagem das chapas do núcleo.

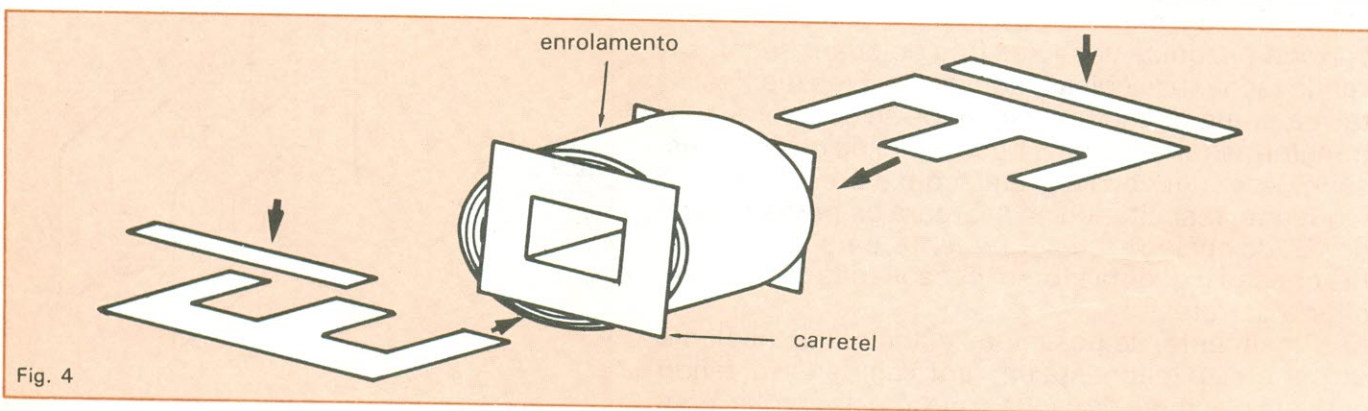


Fig. 4

Exemplo de cálculo

Suponha que precisamos de um transformador com dois secundários, um de 15 V a 1 A e outro de 8 V a 3 A. O primário será de 120 V.

Primeiramente, calculamos a potência total do secundário:

$$P_2 = (1 \text{ A} \times 15 \text{ V}) + (3 \text{ A} \times 8 \text{ V}) = 15 + 24$$

$$P_2 = 39 \text{ W}$$

A potência no primário será:

$$P_1 = 39 \times 1,25 = 48,75 \text{ W}$$

A área seccional do núcleo de ferro é achada em seguida:

$$S = \sqrt{P_1} = \sqrt{48,75} = 6,98$$

$$S = 7 \text{ cm}^2$$

E agora o número de espiras por volt:

$$w' = \frac{50}{7} = 7,14 \text{ esp/V}$$

E a corrente no enrolamento primário será:

$$I_1 = \frac{P_1}{V_1}$$

$$I_1 = \frac{48,75}{120} = 0,406 \text{ A}$$

O número de espiras no primário será:

$$w_1 = w' \times 120 = 7,14 \times 120 = 856,8 \text{ espiras}$$

E o diâmetro do fio é:

$$d_1 = 0,8\sqrt{I} = 0,8\sqrt{406} = 0,509 \text{ mm}$$

O fio AWG 24 é o que mais se aproxima com 0,511 mm.

O número de espiras e o diâmetro do fio para o primeiro secundário serão:

$$w_2 = w' \times 15 = 7,14 \times 15 = 107 \text{ espiras}$$

$$d_2 = 0,8\sqrt{I} = 0,8\sqrt{3} = 0,8 \text{ mm}$$

Podemos usar fio 20 AWG, com 0,813 mm.

E para o secundário de 8 V:

$$w_3 = w' \times 8 = 7,14 \times 8 = 57,1 \text{ espiras}$$

$$d_3 = 0,8\sqrt{I} = 0,8\sqrt{3} = 1,38 \text{ mm}$$

Neste caso podemos usar o fio 16 AWG, que tem diâmetro de 1,29 mm.

Os diâmetros dos fios com isolamento de esmalte são, respectivamente:

$$d_{1is.} = 0,551 \text{ mm}, d_{2is.} = 0,861 \text{ mm}$$

$$\text{e } d_{3is.} = 1,35 \text{ mm}$$

E agora podemos calcular a área seccional ocupada por cada enrolamento, com a fórmula:

$$q = 0,8 d^2 \times w$$

Para o primário:

$$q = 0,8 \times 0,551^2 \times 856,8 = 208,1 \text{ mm}^2$$

Para o secundário de 15 V:

$$q = 0,8 \times 0,861^2 \times 107 = 63,45 \text{ mm}^2$$

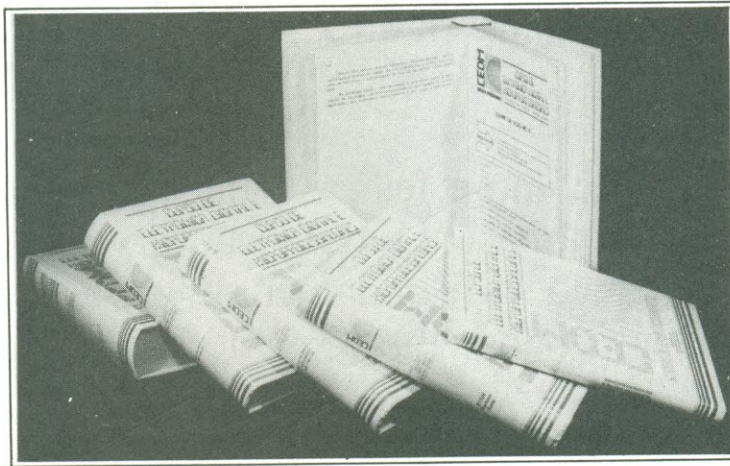
Para o secundário de 8 V:

$$q = 0,8 \times 1,35^2 \times 57,1 = 83,25 \text{ mm}^2$$

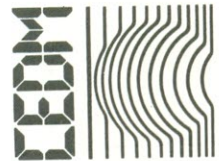
A área seccional total dos enrolamentos será de 355 mm² e, tomando-se um fator de 2 para perdas de áreas por isoladores etc., teremos uma área total de 700 mm², ou aproximadamente 7 cm².

A mais completa Obra já publicada no Brasil!

ELETRÔNICA DIGITAL E MICROPROCESSADORES



MAIS UM
PRODUTO

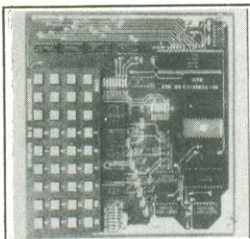


UMA OBRA COM 3.120 PÁGINAS COM ENCADERNAÇÃO LUXUOSA
TOTALMENTE ILUSTRADA

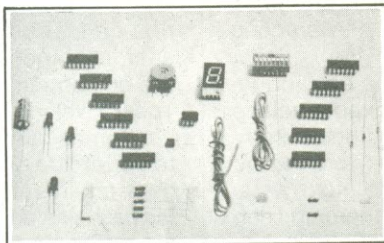
COM DIREITO AINDA DE ADQUIRIR OS SEGUINTE KITS

SEIS VOLUMES

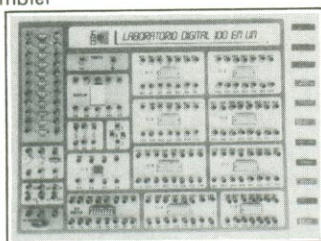
- Um volume dicionário de informática com 220 páginas
- Um volume sobre eletrônica geral com 600 páginas
- Um volume sobre eletrônica digital com 840 páginas
- Um volume sobre prática de eletrônica digital e microprocessadores com 640 páginas
- Um volume sobre microprocessadores com 800 páginas
- Um volume sobre manual de circuitos integrados com 660 páginas



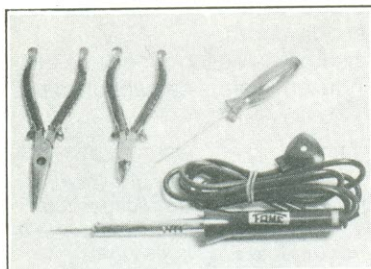
Kit CEDM-80 Microcomputador
Z80 Assembler



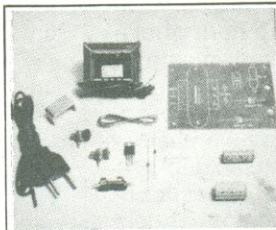
Kit CEDM-74 Componentes



Kit CEDM-35
Placa
Experimental



Kit CEDM-20 Ferramentas



Kit CEDM-78
Fonte de
Alimentação 5V/1A



CEDM - EDITORA LTDA.
Av. Higienópolis, 436
Caixa Postal, 1.642 - Fone: 0432 23-9674
CEP 86100 - Londrina - PR.

Não mande dinheiro agora, você paga ao receber a coleção

COLEÇÃO COMPLETA POR: Preços Válidos
460.000 À VISTA por Tempo Limitado

- 2 x 259.900 COM REMESSA EM 2 VEZES
- 3 x 195.000 COM REMESSA EM 3 VEZES
- 4 x 159.850 COM REMESSA EM 4 VEZES
- 5 x 139.840 COM REMESSA EM 5 VEZES
- 6 x 134.300 COM REMESSA EM 6 VEZES

Nome _____

Empresa _____

Endereço _____

Cargo _____ Profissão _____

CGC(CPF) _____ Inscr. Est. _____

FONE _____ RAMAL _____

CIDADE _____ EST. _____ CEP. _____

NE-99

Articulações e apoio dos braços

A forma como é feita a articulação do braço com a base e a definição do ponto de apoio são fundamentais para amortecer as vibrações mecânicas

Foi dito, no artigo anterior desta série, que o sistema do motor origina vibrações que, transmitidas através do conjunto do toca-discos e captadas pela cápsula, resultam em vibrações espúrias no conjunto. Essas vibrações podem atingir a frequência de ressonância das diferentes partes. Mas, as ressonâncias podem ser evitadas ou bastante amortecidas se atentarmos para certos detalhes.

Na figura 8, foram mostrados os pontos onde existem compliâncias mecânicas e que podem dar origem a ressonâncias, começando pela base do braço, que contém o pivô do mesmo. Uma vez que esse ponto é o responsável pela "união" entre o braço e a sua base, é por ele que serão passadas as vibrações mais fortes. A preocupação inicial é sobre como iremos bloqueá-las ou, pelo menos, reduzi-las ao máximo. O mesmo princípio descrito para a base de um toca-discos é válido aqui também.

As vibrações vindas através da base do toca-discos têm energia relativamente elevada; para amortecê-las, em parte, é interessante fazer com que tenham contato com uma massa razoavelmente grande, com a qual gastarão uma considerável energia. Se uma segunda base, ainda com massa elevada, for montada de modo a ter um acoplamento muito ruim com a primeira,

parte daquela energia, que passou a primeira barreira, será empregada para transpor o "acoplamento" e o restante fará a segunda base. Se possível, é montado um terceiro conjunto, amortecendo assim ainda mais as vibrações originais.

A função que determina a quantidade de amortecimento é exponencial e varia grandemente com o tipo de amortecimento empregado — forçado ou natural. Como, em nosso caso, estamos aplicando ambos, poderemos certificar-nos de que, ao final desse processo, bem pouco restará da energia inicial. O próximo passo é a montagem do braço sobre a base, ou seja, quais os tipos de articulações e suspensões mais usados.

A figura 13 mostra o tipo chamado *unipivô*(*). Caracteriza-se por possuir um único ponto de apoio para o braço, o que possibilita rotação em torno dos eixos horizontal e vertical, livremente. A figura 14 ilustra a articulação do tipo *faca*: uma cunha garante os movimentos em torno do eixo horizontal e um rolamento permite o movimento de rotação no plano vertical. Na figura 15, tem-se um tipo mais complexo, porém, bastante usado, que é a chamada articulação de suspensão dupla — pares de rolamentos ou articulações tipo *faca* garantem movimentos nos dois planos.

É extremamente importante que não

existam folgas nessas articulações, porque resultam numa instabilidade do braço quando a cápsula trilha os sulcos. Essa tendência se torna perceptível quando os sinais lidos são originários de instrumentos de baixa e alta energia como, por exemplo, o célebre tiro de canhão na "Abertura 1812", de Tchaicovsky. Quando aliado a outros problemas relativos ao posicionamento correto da cápsula e força de trilhaagem, fatalmente acaba por garantir belos passeios do braço sobre o disco, no momento do estrondo, sem que ninguém mexa no toca-discos. A instabilidade também ocorre em passagens de grande intensidade, como um *fortíssimo* dos naipes de cordas e sopro, que provoca uma desagradável distorção, entre outros dissabores. Ainda dão origem a dificuldades em trilhar os sulcos problemas do tipo acúmulo de poeira e perda do líquido lubrificante, em rolamentos autolubrificantes. Em geral, esse problema se manifesta como se toda a orquestra se colocasse atrás de uma pesada cortina.

Seria surpresa descobrir que os fios que conduzem o sinal da cápsula para

Nota (*) Pivô ou back centre é o local, na torre do braço, onde estão aplicadas todas as forças verticais, mais precisamente a resultante destas. Ele se resume, na verdade, a um ponto.

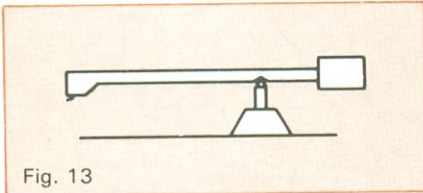


Fig. 13

Sistema de articulação do tipo unipivô.

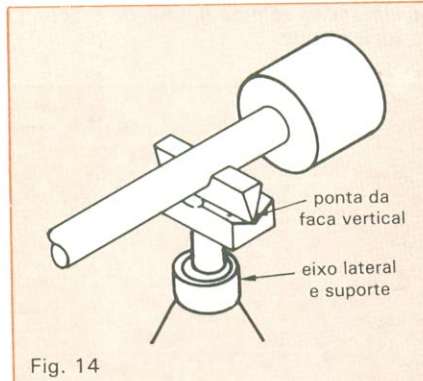


Fig. 14

Sistema de articulação tipo faca.

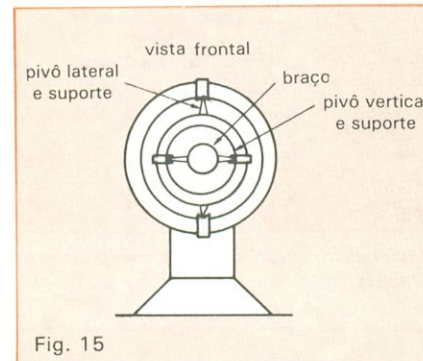


Fig. 15

Articulação de suspensão dupla, com vários pivôs.

o cabo de conexão do pré também podem causar problemas na movimentação do braço? Muitas vezes ao serem inseridos dentro do braço, os fios podem sofrer uma torção, porque freqüentemente são colados em vários pontos, mas conservam a tendência de voltar a sua condição original. Essa tendência influi bastante na mobilidade do braço. Muitas vezes, a espessura do cabo, tanto da alma metálica quanto de seu revestimento externo plástico ou resinoso, pode também provocar esse fato.

Voltando ao assunto, o bloqueio de vibrações no braço é importante também porque, se for transmitida uma vibração no sentido cápsula-articulação

e outra no sentido base do braço-cápsula, e uma delas não for suficientemente enfraquecida, poderá ocorrer a soma vetorial dessas freqüências. Isso dará uma resultante totalmente fora de controle, que provocará uma distorção muito grande nos sinais captados, justamente por afetar as oscilações dos transdutores dentro da cápsula. Veja a figura 16, que mostra o encontro entre essas duas vibrações.

Como o braço deve ser um elemento neutro em seu funcionamento e sabemos existir um ponto de ressonância no apoio da articulação — o contrapeso e o tubo do braço —, tem-se que diminuir ao máximo a freqüência de ressonância ou sua amplitude (vide fig. 8). Novamente, um procedimento semelhante ao adotado para a base pode ser utilizado. Se fizermos com que o ponto de apoio entre o braço e a articulação — qualquer que seja ela — tenha uma massa elevada em relação às massas do braço e cápsula/shell, estaremos quase que garantindo um ótimo amortecimento. Isso tanto das vibrações vindas através do braço, quanto daquelas da base e, em consequência, da própria vibração causada pela ressonância do braço. O senão aqui reside no fato de que toda essa massa deve ter seu centro de gravidade coincidindo com o ponto de apoio ou, preferivelmente, abaixo dele, melhorando o equilíbrio de todo o braço, como ilustra a figura 17. Essa solução resulta em um braço quase neutro e é particularmente interessante para aqueles com articulação unipivô.

Uma função pouco lembrada ou conhecida do contra-peso localizado na parte de trás do braço, além de providenciar a pressão necessária para a agulha trilhar os sulcos, é a de auxiliar no amortecimento das vibrações ao longo do braço, evitando que estabeleçam um elo de realimentação com a agulha (fig. 18).

O ponto seguinte onde pode surgir outra vibração de ressonância é entre o braço e o shell — container da cápsula. A causa mais freqüente desse fato, nesta região, é aquele anel de borracha que serve como amortecedor para as tão faladas vibrações transmitidas pela cápsula ao braço. A idéia é exatamente contrária àquela que propõe o uso do anel; na verdade, braço e shell deveriam ser encarados como uma única peça e não duas, como ocorre. Nessa junção, seria ideal ter-se uma ligação seca e precisa das duas partes

de modo que, ao serem encaixadas ou rosqueadas, não apresentassem folgas. Com isso, a vibração entre ambas seria muito pequena e, sendo um pouco otimista, se o encaixe fosse muitíssimo bem feito, a possibilidade de vibração seria nenhuma.

À medida que vamos nos aprofundando nesses pontos, as causas de problemas começam a deixar o aspecto puramente de construção para se tornarem cada vez mais de projeto e escolha de materiais para a fabricação do conjunto. Contra isso não se pode fazer muita coisa, uma vez estando o projeto definido.

Certas soluções alcançadas pelos projetistas fazem com que determinado braço tenha uma performance soberba com uma certa cápsula, mas que com outras se torne pra lá de lamentável. Outras vezes, surgem braços cujo desempenho mantém-se perto, ou dentro do mínimo aceitável para a maioria das cápsulas, mas que, mediante certos acertos e ajustes não muito exó-

Este é o segundo dos 9 selos que você deve colecionar para receber a capa do Curso de Telefonia.



Basta recortá-lo e fixá-lo no cupom fornecido juntamente com o 1º fascículo.

ticos, podem tornar suas performances com cápsulas de qualidade reconhecida bastante satisfatórias e, em alguns casos, excepcionais.

A maioria dos braços que equipa toca-discos nacionais e internacionais tem um desempenho que pode ser classificado entre o tolerável e o inaceitável. Os ajustes a serem propostos talvez não façam mágicas, mas poderão propiciar uma considerável melhora da situação. Se limitarmos-nos ao mercado nacional, embora sejam em maioria os braços lamentáveis, existem algumas exceções bastante simpáticas que chegam a surpreender e, ao contrário do que parece, não são difíceis de serem encontradas.

Mas não vá pensando que no exterior a coisa muda radicalmente de figura porque não é verdade. Tal como no Brasil, pouca variação ocorre com os braços que equipam a maioria dos toca-discos de linha, salvo, é óbvio, certas marcas conhecidas mas não muito populares, que são inacessíveis tanto aqui como lá.

Se você considera bom o desempenho do motor e do prato do seu toca-discos, porém, deseja melhorar o braço, pois o disponível não o satisfaz, prepare-se para inúmeras surpresas, nem sempre muito agradáveis. Falando como se estivéssemos no exterior,

prepare-se para desembolsar quantias variáveis entre 350 e 2.000 dólares, pelo menos, para adquirir um braço, sem incluir, nesse custo, o preço da cápsula.

Mas voltando à terra, o braço tem dois compromissos fundamentais: ter a maior rigidez possível e atenuar ao máximo as vibrações longitudinais a ele impostas. Tais exigências têm as suas restrições. A alta rigidez implica pouca ou nenhuma atenuação das ondas longitudinais. E a atenuação muito forte implica o uso de materiais pouco rígidos e bastante pesados.

Os fabricantes, tendo em vista esses fatores, em geral adotam posições intermediárias, notadas basicamente pelos dois tipos de braços mais encontrados ou oferecidos no mercado. Há os braços de massa baixa ou muito baixa, fabricados em fibra de carbono reforçada por fibra de vidro, com rigidez bastante alta e que, para conservar certas características, têm diâmetros pequenos em relação aos demais. Outra saída é adotar-se braços com massa de média para alta, uniformes e de seção com diâmetro variável, o que dá aspecto de telescópio ao braço. Na seqüência desta série de artigos, trataremos um pouco mais especificamente de tais tipos de braços.

Ainda dentro do assunto vibrações no braço, não se pode atribuir exclusivamente ao tubo do braço a função de absorver e amortecer vibrações. O correto seria rechear-se o interior do braço com uma substância amorfa, que pudesse absorver uma parte razoavelmente alta do espectro que compõe a possível vibração.

Em nosso caso, o espectro vai de cerca de 5 ou 6 Hertz até 60/70 Hertz. O material para preencher o interior do braço poderia ser um polímero, com uma composição tal que suas moléculas absorvessem as vibrações sem, contudo, entrar em ressonância, ao menos dentro dos limites que pudessem afetar a qualidade de áudio.

Imagine a seguinte situação: uma caixa contendo areia e tendo apoiada, na superfície desta, uma bandeja com um copo d'água. Se submetemos a caixa a vibrações, todo o sistema irá vibrar, é claro (fig. 19-a). Mas grande parte da energia será empregada para vencer a inércia (**) da caixa. Outra parte será utilizada pelos grãos de areia para se rearranjarem numa posição de

Nota ()** Sem nos aprofundarmos muito dentro das teorias da Física, mais diretamente das leis de Newton, pode-se entender inércia como a tendência de um corpo manter-se em repouso ou de continuar seu movimento. Basicamente, quanto maior sua massa, mais dificilmente o corpo poderá sofrer alteração de sua trajetória rapidamente.

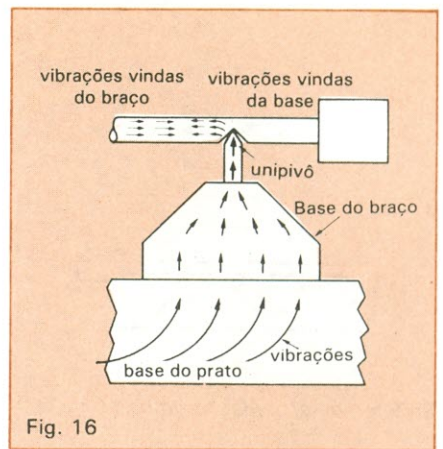


Fig. 16

As vibrações vêm da base e do braço do toca-discos.

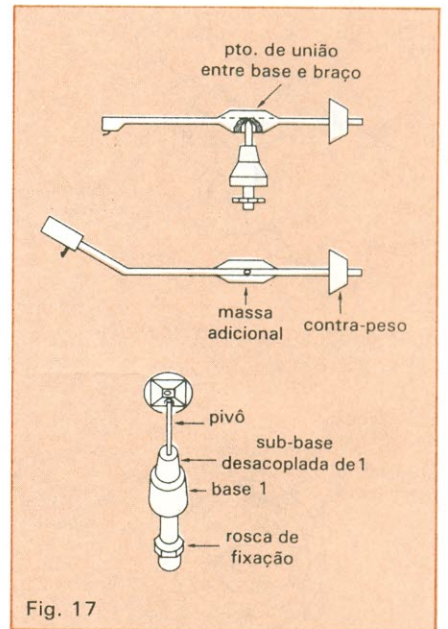


Fig. 17

Braço neutro: o CG coincide com o ponto de apoio.

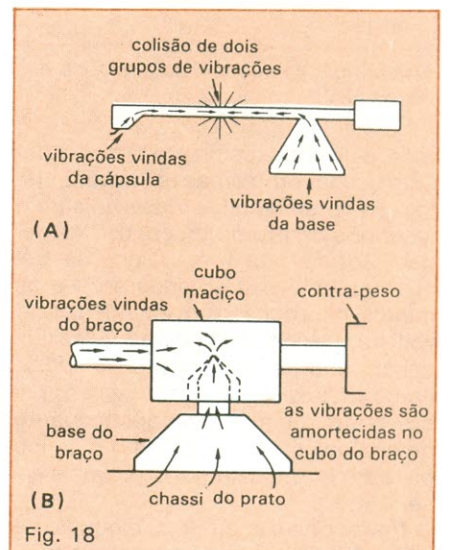
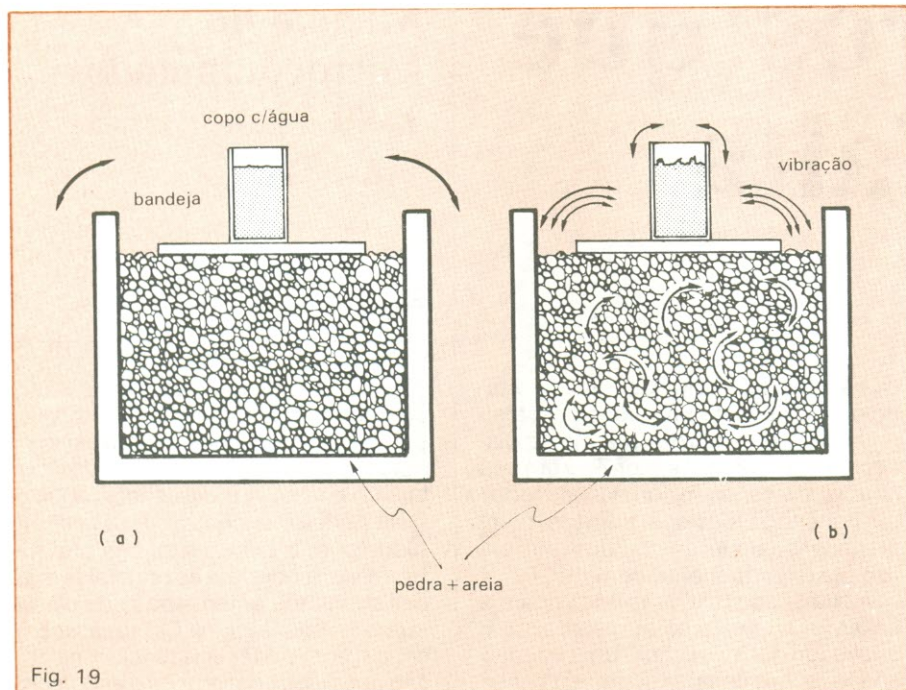


Fig. 18

O contrapeso do braço também serve para equilibrar as vibrações.

Assinando Nova Eletrônica, você vai garantir todos os fascículos de Telefonia Básica.

Faça ou renove já sua assinatura. Nesta mesma edição você pode encontrar um cupom com todas as informações necessárias.



maior equilíbrio dentro da caixa (fig. 19-b). Resta, assim, uma quantidade de energia bem menos significativa que a inicial; essa energia é então transmitida, como vibração de pequena amplitude, para a bandeja e o copo. Se transmitida diretamente à bandeja, seria provável que parte da água fosse expulsa do copo. Mas como isso não aconteceu, a superfície da água mostra apenas suaves ondulações, como na figura 19-b.

Como ilustração, o exemplo descrito serve para completar o exposto nas figuras 4, 5 e 6, no tocante a vibrações transmitidas através da base e para a base. Pode, inclusive, servir como ponto de partida para a construção de uma "sub-base" para seu toca-discos.


Mais adiante, analisaremos o braço de maneira um pouco mais profunda, bem como o método para a correção do ajuste da cápsula e da própria posição do braço no toca-discos. Além disso, será fornecida uma lista de referências e leituras complementares. ●

Fig. 19
Exemplos ilustrativos do amortecimento numa caixa de areia.

Tradição em Equipamentos Elétricos e Eletrônicos em Geral

DISTRIBUIDORA DOS PRODUTOS

CELIS
ELEMENTOS ELÉTRICOS LTDA.

BORNES MULTIPOLARES  Lumberg
SOQUETES P/ CIRCUITOS INTEGRADOS
CONJUNTOS DE SOQUETES DE RELÉ
CONECTORES MULTIPOLARES

SCHRACK

RELÉS MINIATURA
RELÉS INDUSTRIAIS
RELÉS REED
INTERRUPTORES MAGNÉTICOS

SEMIKRON

PONTES RETIFICADORAS
DIODOS
TIRISTORES
DISSIPADORES DE CALOR

Eletrotécnica Sotto Mayor Ltda.

MATRIZ:

RUA FLORÊNCIO DE ABREU, 474
01030 - SÃO PAULO - SP
TEL: (011) 228-3011 (TRONCO CHAVE)

FILIAL:

RUA SANTA IFIGÊNIA, 502
01207 - SÃO PAULO - SP
TEL: (011) 223-8899 (TRONCO CHAVE)

TELEX: (011) 24852 ESML - BR

Dois livros que faziam falta

Estamos analisando, este mês, dois lançamentos simultâneos da Editora Campus, que já se firmou como uma das principais na área de informática (publicando, inclusive, uma revista, a *Microbits*) e agora começa suas investidas também na eletrônica. A escolha dos títulos foi das mais felizes, pois ambos são do catálogo da Howard W. Sams — editora que, juntamente com a Tab Books, domina boa parte do mercado americano e mundial em livros de iniciação técnica para estudantes ou autodidatas. Em suma, ótima referência para qualquer obra traduzida.

Os dois livros dizem mais respeito à eletrônica do que à informática, embora se possa dizer que os assuntos abordados fazem parte do *hardware* de qualquer computador. Um deles abor-

da os integrados CMOS, muito oportuno pela crescente utilização dessa família de CIs. O outro virtualmente dissecou o microprocessador Z-80 em seu *hardware* e *software*, fornecendo todos os conceitos básicos para se compreender qualquer computador que utilize esse componente como UCP.

As edições brasileiras nada ficam a dever às originais na apresentação e qualidade dos desenhos. Um pequeno senão, como sempre acontece nesse tipo de livro, é o da tradução de certos termos técnicos — como “cabo de dados”, ao invés de “barramento” ou “duto”, e “microplaqueta”, ao invés de “pastilha”. Mas grande parte desse problema decorre da falta crônica de um órgão que nos dê uma padronização ágil e atualizada em terminologia e simbologia.

Circuitos Integrados CMOS

Roger Melen e Harry Garland

170 páginas
Ed. Campus, 1985

São 8 capítulos bem distribuídos, quatro deles ocupados por uma introdução teórica aos circuitos lógicos e integrados CMOS e os outros quatro, de cunho mais prático, apresentando vários circuitos usando esses integrados.

Talvez o menos interessante seja o 3º capítulo que trata da produção industrial desses componentes, em suas várias modalidades — informação mais útil para físicos do que para ele-

trônicos. Os demais capítulos introdutórios — “Introdução ao CMOS” (que fala dos circuitos digitais básicos), “Eletrônica do Circuito Integrado CMOS” e “Projeto dos Circuitos Monolíticos CMOS” — podem ser de grande ajuda ao estudante, por analisarem os princípios básicos de operações dos componentes.

Os quatro últimos capítulos são o ponto alto do livro e complementam as informações da primeira metade. Fornecem as regras básicas de projeto com CMOS, onde estão incluídas as características elétricas de portas e blocos lógicos; os principais circuitos digitais que podem ser implementados com esses blocos, tais como multivibradores, conversores A/D e D/A, filtros e moduladores; e algumas aplicações práticas que podem ser facilmente implementadas pelo leitor. O livro é concluído com um apêndice, que reúne a pinagem de vários CIs da série 4000.

Manual do Microcomputador Z-80

William Barden Jr.

364 páginas
Ed. Campus

É a edição brasileira do *The Z-80 Microcomputer Handbook*, já conhecido pelos técnicos e engenheiros especialistas em *hardware* — uma das “bíblias” do famoso processador da Zilog. Nela pode-se encontrar praticamente tudo sobre o Z-80, desde sua arquitetura e instruções até as principais marcas de micros americanos que o adotaram — seção que a Campus, sob licença, poderia ter enriquecido, na edição nacional, com nomes e endereços de fabricantes brasileiros de micros baseados no Z-80. Fica a sugestão para a próxima edição.

O livro foi dividido em 3 partes, totalizando 18 capítulos, mais 6 apêndices. A primeira parte aborda o *hardware* do Z-80, começando com uma comparação entre ele e o 8080, da Intel, e envolvendo arquitetura, sinais, endereçamento, instruções, operações, interrupções e interfaces. Na segunda parte, dedicada ao *software*, fala-se do *assembler* (ou montador), da movimentação de dados, de operações lógicas e aritméticas, de deslocamento e manipulação de bits, de sub-rotinas. A última, ocupando somente os dois capítulos finais e cerca de 30 páginas, não tem grande utilidade para o público brasileiro, pois nela são apresentados justamente os produtores norte-americanos de micros Z-80, com fotos e características técnicas de vários deles.

Em compensação, os apêndices são bastante úteis. Trazem todas as características elétricas (de *hardware*) do Z-80, incluindo o diagrama de tempos; uma tabela de consulta rápida, comparando os mnemônicos das instruções do 8080 e do Z-80; todas as instruções do Z-80, divididas em grupos e comentadas; e uma tabela de códigos dos caracteres ASCII. No conjunto, o saldo dos lançamentos foi altamente positivo e deverá beneficiar muitos estudantes, projetistas e hobbistas em suas atividades. ●

Conceitos básicos sobre os principais sistemas e padrões de transmissão em cores são reunidos, mostrando as diferenças entre NTSC, PAL e SECAN

Os diferentes sistemas de TV em cores

A televisão, de qualquer que seja o sistema, utiliza somente três cores básicas para dar origem à imagem colorida. Essas três cores, também chamadas de cores primárias, são o vermelho, cuja identificação é feita pela letra "R" de *red*, o verde, identificado pela letra "G" de *green* e o azul, identificado pelo "B" de *blue*. Por meio da combinação (método da mistura aditiva) dessas três cores, é possível reproduzir todas as demais necessárias à imagem, inclusive o branco e o preto.

A Tabela 1 ilustra, por ordem crescente de "brilho", as oito cores fundamentais obtidas pela combinação das primárias. Elas representam o padrão de barras coloridas utilizado como referência para teste dos receptores, através do qual é possível avaliar a correta atuação dos circuitos.

Luminância e croma — Qualquer sistema de televisão utiliza sempre dois tipos de sinais elementares que caracterizam a imagem: o sinal de luminância, que corresponde à formação da imagem em preto e branco, e o sinal de croma, que constitui o complemento da imagem de luminância e contém a informação das cores da cena. O sinal de luminância é representado pela letra "Y" e obtido pela combinação das cores primárias.

O sinal de croma, representado pela letra "C", contém duas informações que correspondem aos sinais diferença de cor: R-Y e B-Y. São esses sinais que conduzem a informação rela-

tiva às cores da imagem. Pode-se observar que o sinal G-Y não é utilizado na transmissão de croma porque ele é redundante, isto é, pode ser obtido pela combinação de R-Y e B-Y com Y.

Portanto, os sinais a serem processados por qualquer tipo de receptor em cores são: luminância (Y) e croma (R-Y e B-Y).

Padrão e sistemas — A transmissão de sinais de televisão envolve uma série de padronizações adotadas de acordo com as necessidades e características de cada país ou região. Sob esse aspecto, devemos saber diferenciar os conceitos de padrão e sistema ligados ao tipo de transmissão.

Entendemos por padrão o conjunto de características que define a transmissão básica dos sinais de vídeo e áudio, tais como: número de linhas, frequência horizontal, frequência vertical etc. A Tabela 2 reúne as principais características correspondentes aos diversos tipos de padrões existentes, que são identificados pelas letras A, M, N, B, C, G, H, I, D, K, L, F, E.

O padrão de transmissão adotado por localidade refere-se tanto a sinais em preto e branco como a sinais coloridos.

Entende-se por sistema como o processo de codificação dos sinais de croma adotado para transmissão de sinais coloridos. Portanto, como é possível ao leitor observar, podemos ter localidades que adotaram o mesmo sistema de transmissão de sinais coloridos, porém, com padrões

distintos. Como exemplo típico desse confronto, podemos citar o Brasil e a Alemanha que, embora utilizem o mesmo sistema PAL, possuem padrões de transmissão distintos: padrão M para o Brasil e padrão G para a Alemanha. Por outro lado, podemos encontrar situações opostas onde, apesar de utilizado o mesmo padrão, os sistemas são distintos. Esse é o caso entre o Brasil e os EUA: ambos realizam suas transmissões de acordo com o padrão M, mas com sistemas distintos — PAL para o Brasil e NTSC para os EUA.

É de extrema importância, ao se cogitar de fazer adaptações de aparelhos importados, analisar a viabilidade dessa operação considerando o padrão e o sistema do equipamento original. Como pode ser observado pela Tabela 2, é praticamente inviável a adaptação entre alguns padrões, pela total incompatibilidade de itens como: número de linhas da imagem, interpretadora som/vídeo, largura de banda etc. Tais adaptações, se houver insistência, resultarão muitas vezes na transformação total do aparelho, tornando-se

completamente desvantajosas do ponto de vista financeiro.

Vamos, a seguir, analisar sumariamente os três principais sistemas de codificação do sinal de croma.

Sistema NTSC — Por ordem cronológica, o sistema NTSC (*National Television System Committee*) representa o primeiro sistema comercialmente adotado. Nesse sistema, os dois sinais di-

ferença de cor (R-Y e B-Y) são transmitidos numa mesma subportadora, através da técnica de modulação em quadratura. Segundo essa técnica, dois sinais distintos modulam em amplitude (AM) uma mesma frequência portadora, só que defasada de 90° — daí a denominação “quadratura”.

Além dos sinais R-Y e B-Y, é enviada ao receptor também uma pequena amostra (*burst*) dessa subportadora, uma vez que, por medidas preventivas, só são transmitidas as bandas laterais dessa modulação. Ou seja, a subportadora é suprimida para não provocar batimentos indesejáveis entre os sinais de croma e luminância.

Como resultante desse tipo de modulação, a informação de cada cor é identificada por intermédio da fase do sinal de croma.

O diagrama vetorial da figura 1 apresenta a disposição dos sinais segundo o sistema NTSC.

Sistema PAL — A transmissão dos sinais de croma pelo sistema PAL (*Phase Alternating Line*) pode ser considerada uma versão aprimorada do sistema NTSC, uma vez que se utiliza do mesmo processo básico de codificação, com exceção de uma característica marcante: a inversão linha a linha da componente de sinal R-Y. Com esse procedimento, o sistema PAL con-

segue superar o NTSC quanto à estabilidade das cores.

Com a finalidade de sincronizar as inversões, o sinal *burst*, no sistema PAL, também acompanha as inversões linha a linha do sinal R-Y. O diagrama vetorial da figura 2 ilustra a disposição desses sinais em duas linhas consecutivas, segundo o sistema PAL.

Sistema SECAN — O sistema SECAN diferencia-se dos sistemas PAL e NTSC pela forma de transmissão das componentes de croma. Nesse sistema, os sinais R-Y e B-Y não são transmitidos simultaneamente, mas sim em “seqüência alternada” a cada período de varredura horizontal. Em outras palavras, um deles é transmitido durante uma linha (1H) e o outro só segue durante a próxima linha, sendo que para esta transmissão é utilizada a modulação em frequência (FM). Portanto, nesse sistema existe total separação entre componentes de croma, o que não ocorre com os sistemas PAL e NTSC, cujos componentes se relacionam vetorialmente.

A frequência da subportadora para cada um desses sinais é ligeiramente diferente:

$$f(R-Y) = 282 \text{ fh} = 4,40625 \text{ MHz}$$

$$f(B-Y) = 272 \text{ fh} = 4,25000 \text{ MHz}$$

Formação das cores fundamentais a partir das primárias

Tabela 1

cor	formação
preto	ausência de cor
azul	azul (primária)
vermelho	vermelho (primária)
magenta	azul + vermelho
verde	verde (primária)
ciano	verde + azul
amarelo	verde + vermelho
branco	verde + vermelho + azul

Principais características dos vários padrões de transmissão

Tabela 2

	A	M	N	B	C	G	H	I	D,K,K1	L	F	E	
Número de linhas da tela (linhas)	405	525	625	625	625	625	625	625	625	625	819	819	
Frequência de varredura horizontal (KHz)	10.125	15.750	15.750	15.625	15.625	15.625	15.625	15.625	15.625	15.625	20.475	20.475	
Frequência de varredura vertical (KHz)	50	60	50	50	50	50	50	50	50	50	50	50	
Largura de banda de transmissão (MHz)	5	6	6	7	7	8	8	8	8	8	7	14	
Interportadora vídeo-áudio (MHz)	-3,5	+4,5	+4,5	+5,5	+5,5	+5,5	+5,5	+6,0	+6,5	+6,5	+5,5	±11,15	
*Tipo de modulação de áudio	A3	F3 ± 25KHz 75µs	F3 ± 25KHz 75µs	F3 ± 25KHz 50µs	A3 50µs	F3 ± 50KHz 50µs	F3 ± 50KHz 50µs	F3 ± 50KHz 50µs	F3 ± 50KHz 50µs	F3 ± 50KHz 50µs	A3	A3 50µs	A3
Tipo de modulação de vídeo	A5C Positivo	A5C Negativo	A5C Negativo	A5C Negativo	A5C Positivo	A5C Negativo	A5C Negativo	A5C Negativo	A5C Negativo	A5C Negativo	A5C Positivo	A5C Positivo	A5C Positivo
Relação entre potências de transmissão: vídeo/áudio	4/1	10/1 ~ 4/1	10/1 ~ 5/1	10/1 ~ 5/1	4/1	10/1	10/1 ~ 5/1	5/1	2/1 ~ 5/1	8/1	4/1	4/1	

Um sinal de identificação (*burst*) também é enviado para possibilitar ao receptor a correta interpretação de cada sinal. A figura 3 ilustra a disposição dos sinais de croma segundo o sistema SECAN.

Conclusão — Depois dessa apresentação sumária dos três principais sistemas de transmissão em cores, o leitor pode concluir que existe uma grande afinidade entre os sistemas NTSC (M) e PAL (M). Isso permite que entre ambos se torne viável uma fusão de equipamentos, por meio de adaptações adequadas aos circuitos decodificadores de croma.

Já o sistema SECAN, pelas características bastante diversas que apresenta com relação aos dois primeiros, não admite transformações ao mesmo nível de facilidade que entre os anteriores.

Esse mesmo grau de dificuldade pode ser colocado quanto às transformações entre os sistemas PAL-M e PAL-G. Apesar da identidade de sistemas, es-

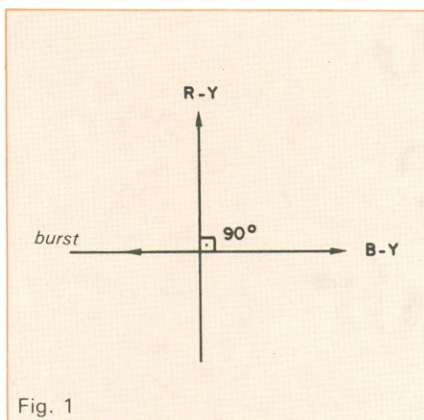


Fig. 1

Disposição vetorial dos sinais no sistema NTSC.

ses exibem profundas divergências relacionadas ao padrão de transmissão: número de linhas da tela, frequência vertical e horizontal, largura de banda e interportadora entre vídeo e áudio. Essas diferenças, para uma adaptação adequada, exigem uma total reconstituição do equipamento.

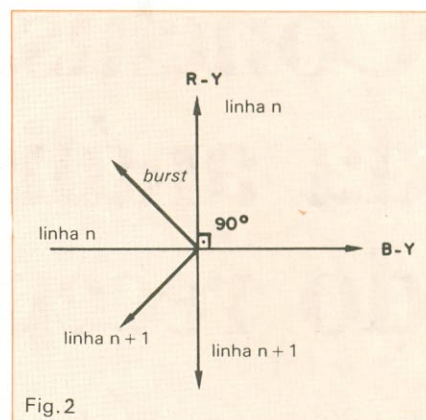


Fig. 2

Disposição vetorial dos sinais no sistema PAL.

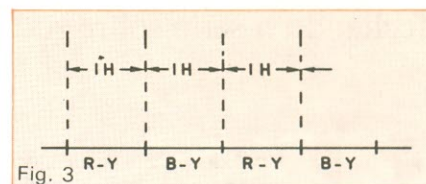


Fig. 3

Transmissão seqüencial das componentes de croma: sistema SECAN.

O melhor curso de eletrônica digital tem que ser feito na melhor escola profissional.

A ESCOLA PROFISSIONAL URUBATAN LANÇOU O MELHOR EM ELETRÔNICA DIGITAL

- 50% do curso com aulas práticas.
- Aparelhos específicos, proporcionando dezenas de experiências p/ maior facilidade no aprendizado dos circuitos integrados.
- Curso completamente apostilado c/ todas as ilustrações dos assuntos referidos.
- E 40 anos de experiência no ensino.

10 OUTROS CURSOS PARA SEU HOBBY E SUA PROFISSÃO.

INFORME-SE JÁ.

INICIE AINDA ESTE MÊS



ESCOLA PROFISSIONAL URUBATAN

RUA DAS PALMEIRAS, 184
(100m. METRÔ STA. CECÍLIA).

TEL.: 223-7311



É simplesmente Vo mais perfeito!

Os conectores circulares CELIS são fabricados para uso profissional em computadores, teclados, microfones, instrumentos médicos, taxímetros digitais, instalações de áudio, etc...

As carcaças dos conectores circulares CELIS são torneadas e garantem alta robustez mecânica, além de excelente acabamento e ótima aparência.

Os conectores são plugados, rosqueados e permitem o aterramento da carcaça. Em versões de 3,5 e 8 pinos (outras sob consulta) são fornecidos com prensa cabo e bucha para evitar quebras dos fios no cabo. O Conector Circular CELIS dará mais qualidade a seus produtos. Consulte-nos!

Sua conexão com a melhor técnica!

CELIS
ELEMENTOS ELETRICOS LTDR.

VENDAS Itapeperica da Serra □ SP: Av. Eduardo R. Daher, 723 □ Centro □ Tel.: (011) 495-2944
Rio de Janeiro □ RJ: Rua Uruguay, 393 □ Sobrelhoja 102 □ Tijuca □ Tel.: (021) 268-2586
FÁBRICA Itapeperica da Serra □ SP: Rua Mirangaba, 131 □ Jardim Itapeperica
CORRESP. Itapeperica da Serra □ SP: Cx. Postal 02 □ CEP 06850 □ Telex (011) 33226 SCHR BR

Conclusão da análise do receptor

Amplificador de FI, demodulador e saída do demodulador são os últimos blocos do receptor, fechando a série sobre radioenlace para SHF

O sinal de FI, após ter sido filtrado no equalizador de FI, é aplicado na entrada do amplificador de FI. Esse circuito tem quatro funções básicas: amplificar o sinal de FI, controlar o ganho através do CAG, operar o silenciador, ou *squelch*, e fornecer uma saída analógica para o registrador gráfico.

Na figura 36, temos o diagrama em bloco simplificado do amplificador de FI, o qual é constituído pelas seguintes subunidades: seis amplificadores de banda larga, com resposta plana desde cc até 100 MHz; um disparador de Schmitt (*Schmitt trigger*) e um silenciador, ou *squelch*.

O sinal de RF recebido na antena, com variação de -26 dBm a -76 dBm, é convertido para 70 MHz; em nível de FI, o sinal contém a mesma variação com que foi recebido na antena. O amplificador de FI tem seu ganho variável devido à ação do CAG: ele muda inversamente com a variação do sinal de FI na entrada do receptor. Dessa maneira, temos na saída um sinal com amplitude constante, desde que a variação do sinal de RF na entrada do receptor esteja dentro da gama de ação do CAG.

Definimos a gama de ação, ou faixa dinâmica do CAG, como a máxima variação que o sinal de RF na entrada do receptor pode sofrer, sem que haja alteração no nível de saída. Se o nível do sinal de RF recebido sofrer uma variação de -26 dBm a -76 dBm, ou seja, uma alteração de 50 dB, o circuito do CAG deve corrigir esta variação de mo-

do que o nível na saída do amplificador de FI se mantenha constante em torno de 500 mV/75 Ω , o que corresponde a $+5,25$ dBm.

Amplificador de FI(1) — O sinal de FI de 70 ± 10 MHz, depois de filtrado, é aplicado na entrada do 1.º amplificador, como indica a figura 36. Na realidade, são cinco amplificadores iguais, que proporcionam um alto ganho para sinais de pequena amplitude, presentes na entrada do receptor. Na saída de cada amplificador, um par de diodos (D1 e D2) forma um divisor variável de tensão. A relação do divisor varia inversamente com o nível do sinal de RF recebido.

A figura 37 é uma representação esquemática do divisor de tensão: em A, temos a ligação dos diodos — o sinal é aplicado no ponto 1 e é retirado no ponto 2; em B, temos a configuração de R1 e R2, que equivalem à resistência dinâmica de cada diodo. Se os dois diodos conduzirem por igual, teremos $R1 = R2$ e, neste caso, o sinal aparecerá na saída do divisor dividido por dois. Quando D1 conduz ($R1 = 0\Omega$) e D2 está em aberto ($R2 = \infty\Omega$), não há atenuação do sinal na saída. Quando D1 está em aberto e D2 conduzindo, a atenuação é total. Cada conjunto de atenuador contribui com uma atenuação máxima de 12 dB, para sinais de entrada máxima, resultando numa atenuação total de 5×12 dB = 60 dB. Dependendo da relação dos valores de R1 e R2, há infinitos valores de atenuação, em relação aos casos extremos.

O que vai determinar o estado de condução, de maneira que um diodo conduza mais ou menos em relação ao outro, é o nível de tensão de polarização do CAG, aplicado ao diodo D2. Essa tensão, por sua vez, depende da intensidade do sinal presente na entrada do receptor: a tensão do CAG aumenta na mesma proporção do sinal recebido. A ação do divisor a diodo é tal que, quando o sinal de RF aumenta em relação ao nível nominal de -36 dBm, a relação do divisor de tensão (D1 e D2) se reduz, de maneira a diminuir o ganho, trazendo-o para o valor nominal na saída. No caso contrário, quando o nível recebido diminui em relação ao nominal, a relação do divisor aumenta, elevando o ganho e, mais uma vez, trazendo a saída de volta ao valor nominal. Nos casos extremos, assim como nos infinitos casos intermediários, o nível na saída mantém-se constante.

Amplificador de CAG (5) e (6) — Na saída do 5.º amplificador é retirada uma amostra do sinal de FI, que é retificada por D3, transformando-a em um nível cc variável. O sinal retificado é amplificado inicialmente pelo amplificador (5). Quando a chave CH1 está na posição "AUT" (correção automática), o nível cc variável é amplificado mais uma vez pelo amplificador (6). Esse sinal é aplicado à cadeia de diodos existentes na saída de cada amplificador de FI. A cadeia de diodos corrige automaticamente o nível de tensão na saída de cada amplificador, compensando a variação do nível do sinal de RF recebido, como vimos há pouco.

A tensão de referência na saída do amplificador de FI é ajustada através do P2, ligado na outra porta do amplificador (6); esse ajuste é feito para um nível nominal de -46 dBm, aplicado na entrada do receptor. Mesmo que o nível do sinal de RF recebido sofra uma variação de -26 dBm a -76 dBm, o nível na saída se mantém constante, graças à ação do CAG. Quando o nível recebido é muito forte, acima de -26 dBm, o CAG satura, não controlando mais o ganho; nesse caso, o nível na saída aumenta como ilustra a figura 38. Aí, podemos operar com CAG manual.

Quando colocamos a chave CH1 na posição MAN, o nível na saída do amplificador passa a ser controlado manualmente, por meio do potenciômetro P1, fixado no painel frontal da unidade. O controle de ganho manual é mais usado no caso de se querer registrar a

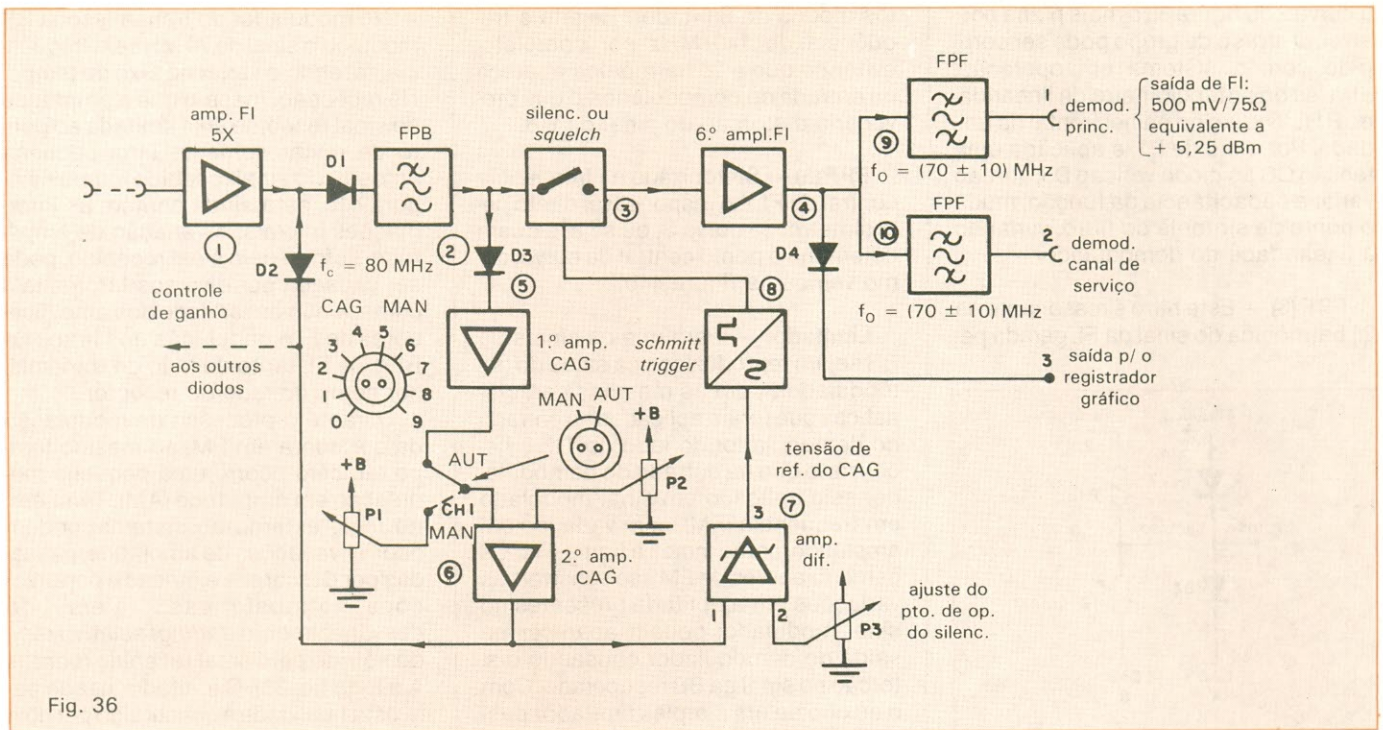


Fig. 36

Diagrama em blocos do amplificador de FI.

variação do nível recebido, ou quando este é muito forte. Para isso, ligamos na saída 3 um registrador gráfico, que, em um papel apropriado, registra a variação do sinal recebido em função do tempo, mostrada na figura 39.

O sinal de RF recebido na antena sofre dois tipos de variação: seletiva rápida e seletiva lenta. A primeira é caracterizada por ser uma variação do tipo transitório, de curta duração, como nos pontos A e B da figura 38; nesse caso, o CAG não tem atuação muito eficiente. Esse tipo de variação não é registrado por dois motivos: primeiro, porque o CAG não responde a variações rápidas, como vimos; segundo, porque o sistema mecânico do registrador não consegue acompanhá-lo totalmente. No desvanecimento lento, ou *fading*, o sinal recebido na antena varia muito lentamente em função do tempo; nesse caso, o CAG tem uma atuação mais eficiente, sendo possível gravá-lo. Na figura 39, temos um gráfico de variação do sinal recebido na antena em função do tempo, para controle manual.

Schmitt trigger (8) — A principal função do disparador de Schmitt é transformar os sinais variáveis da entrada em sinais lógicos na saída. O ST funciona baseado na informação recebida do CAG; esse por sua vez baseia-se no sinal recebido da antena. Quando a entrada do receptor cai abaixo de -76 dBm, o ST muda de estado lógico na saída, acionando o silenciador, abrindo o caminho para a FI e inter-

rompendo o sinal na saída da unidade.

O nível de referência no qual o silenciador deve operar é ajustado através do potenciômetro P3. Se o nível na entrada do receptor cai abaixo de -76 dBm (ponto A da fig. 39), o ruído variável aumenta, piorando a relação sinal/ruído (S/R), que cai abaixo do valor mínimo de operação recomendado pelo CCIR. Desse modo, o equipamento passaria a operar fora das condições normais de funcionamento e, para que isso não aconteça, o silenciador corta o sinal na saída. O silenciador, portanto, é ajustado para o nível de -76 dBm, só deixando de operar quando o sinal recebido aumenta de 3 dB, em relação a esse nível nominal, ou seja, quando a potência recebida dobra de valor (ponto B da fig. 39). A diferença em dB entre os pontos A e B é conhecida como *histerese* do silenciador; para rádio operando na faixa de SHF ela é de 3 dB.

Amplificador (4) — O sinal de FI presente na saída do silenciador é introduzido no amplificador (4) que eleva o nível para o valor nominal de $+5,25$ dBm na saída.

FPF (9) e (10) — Os filtros passa-faixas, em cada saída, estão sintonizados em 70 ± 10 MHz, de maneira a só deixarem passar essa faixa de frequências, rejeitando as demais; assim como os sinais espúrios gerados pelos diodos do CAG (D1 e D2).

Saídas (1) e (2) — No caso de estação terminal ou repetidora em BB a saí-

da 1, principal, vai ao demodulador de 960 canais e a saída reserva não é usada, sendo terminada com uma carga de 75Ω . No caso de estação repetidora em nível de FI, a saída principal vai ao amplificador de FI de transmissão, já mostrado na figura 13, onde o sinal recebido de uma direção é amplificado e convertido para outra frequência e, a seguir, transmitido na outra direção. A saída reserva, por sua vez, vai ao demodulador de canal de serviço, onde o sinal é demodulado, recuperando-se só a informação contida na sub-BB, como vimos na figura 2. Com isso, o pessoal técnico da estação tem acesso ao canal de voz, além da estação ser telecomandada e supervisionada remotamente através da supervisão. No caso da transmissão, a sub-BB é injetada no oscilador local do transmissor (fig. 15).

Demodulador

O sinal de 70 ± 10 MHz, após ter sido amplificado, é filtrado adequadamente e vai para o demodulador, que tem as seguintes funções:

- limitar ou ceifar os picos do sinal de FI e suprir o residual da modulação AM, presente no sinal recebido;
- demodular o sinal da BB, composto por: sub-BB, BB e piloto.

Visto no diagrama em blocos da figura 40, o demodulador é formado pelas seguintes subunidades:

Filtro (1) — Este tem como função, mais uma vez, corrigir o atraso de grupo do sinal de FI, de maneira a deixar

a curva 2 da figura 35 a mais plana possível. O atraso de grupo pode ser corrigido com o sistema em operação, através do potenciômetro de linearidade P1 (LIN), fixo no painel frontal da unidade. Por meio de P1, é aplicada uma tensão CC ao diodo varicap D5, que, ao variar a capacitância da função, muda o ponto de sintonia do filtro, variando a linearidade do demodulador.

FRF (3) — Este filtro é ressonante na 2ª harmônica do sinal da FI, gerada pe-

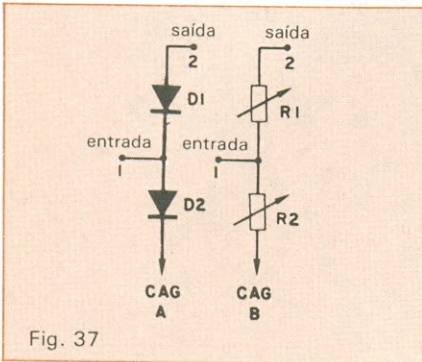


Fig. 37

Circuito do atenuador do amp. de FI: a) diodos; b) equivalente.

los diodos do limitador. Rejeita a frequência de 140 MHz por completo, evitando que a 2ª harmônica apareça na entrada do demodulador, o que provocaria distorção do sinal da BB.

FPF (5) — Sintonizado na frequência central da FI, é o responsável direto pela simetria da curva S, ou seja, é quem determina o ponto central da curva, como vemos na figura 44b.

Limitador — Para que os sinais da BB sejam reproduzidos na saída do demodulador, com as mesmas características que foram aplicadas na entrada do demodulador do lado do TX, é necessário que na entrada do demodulador seja aplicado um sinal modulado em frequência (FM), sem variação em amplitude, como indica a figura 41c. Os demoduladores de FM são sensíveis às variações em amplitude presentes no sinal modulado: podem aparecer na saída do demodulador causando distorção no sinal da BB recuperado. Com o auxílio de um simples limitador passivo podemos suprimi-las sem causar prejuízo à mensagem recebida, ou seja, no sinal da BB.

No modulador do transmissor a BB modulou o sinal de 70 MHz em frequência, fazendo-o variar no eixo do tempo. Na recepção, mesmo que a amplitude do sinal recebido seja limitada ao ponto de restar somente uma pequena amostra do sinal recebido, como na figura 41c, esta ainda contém as informações iniciais. A variação de amplitude, sofrida pelo sinal recebido, pode ser causada por diversos fatores tais como: a não-linearidade dos amplificadores de FI e ondulação dos filtros de RF e de FI, tanto do lado do transmissor como do lado do receptor.

Durante o processo de modulação da portadora em FM, ao mesmo tempo também ocorre uma pequena modulação em amplitude (AM). Também, no meio externo ao sistema, podem ocorrer variações de amplitude, causadas por descargas elétricas e perturbações atmosféricas, além do desvanecimento (*fading*) seletivo rápido sofrido pelo sinal recebido (pontos A e B da fig. 38). O limitador usado para esta finalidade é constituído por dois diodos ligados em série ou em paralelo.

Limitador série — O limitador série, visto na figura 42, é o mais usado, além de ser simples: tem boa simetria, ceifa igualmente tanto os picos positivos como os negativos, além de usar só uma fonte cc. O seu funcionamento está baseado em, através de R4, aplicar-se um potencial positivo aos anodos dos diodos D1 e D2.

A tensão aplicada no ponto B da figura 42 determina o ponto quiescente de operação dos diodos. Quando aplicamos um potencial de, por exemplo, +3 Vcc, duas correntes começam a circular: uma através de R1 e D1 e outra por D2 e R2. Considerando os diodos como sendo um par casado e R1 = R2, as duas correntes serão iguais, ou seja, I1 = I2. Com os diodos conduzindo, aparece uma queda de tensão (V_D = 0,7V) sobre cada diodo e o restante da tensão cai sobre as resistências R1 e R2; portanto VR1 = VR2 = 2,3 volts.

Se ligarmos ao ponto A um gerador de corrente alternada, com forma de onda senoidal e amplitude superior a 2,3 Vp, de maneira a simular o sinal a ser ceifado, acontecerá o seguinte:

- quando a tensão do sinal de entrada aumentar no sentido positivo, indo além de 2,3 Vp, aplicada ao catodo de D1, este vai ao corte e toda a corrente que circulava por ele e por R1 passará a circular, agora, por D2 e R2. A corrente que agora circula pela malha D2R2 será o dobro da anterior, fazendo aparecer uma tensão de 4,6 Vp sobre R2. A diminuição da corrente em D1 e o aumento correspondente em D2 obedece a uma função senoidal. Pelo fato de

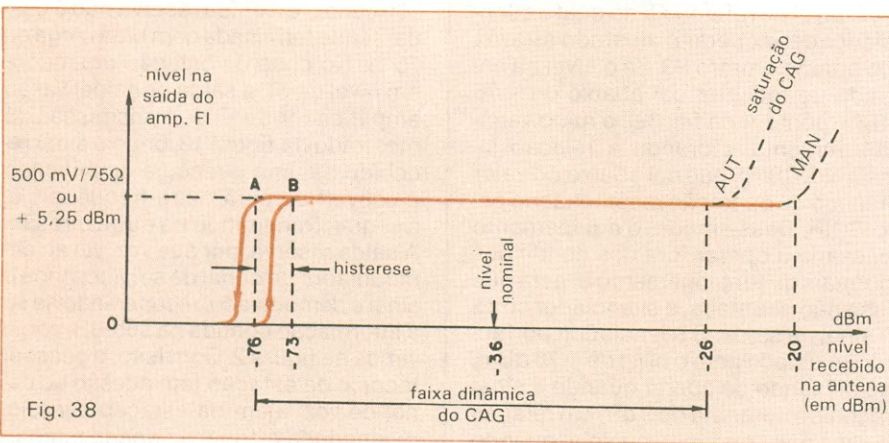


Fig. 38

Curva de atuação do Controle Automático de Ganho.

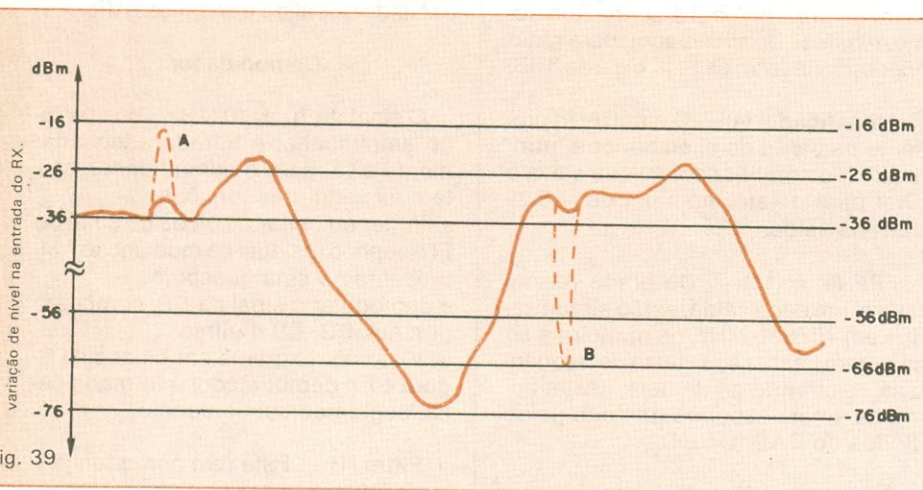


Fig. 39

Variação do nível na antena, em função do tempo.

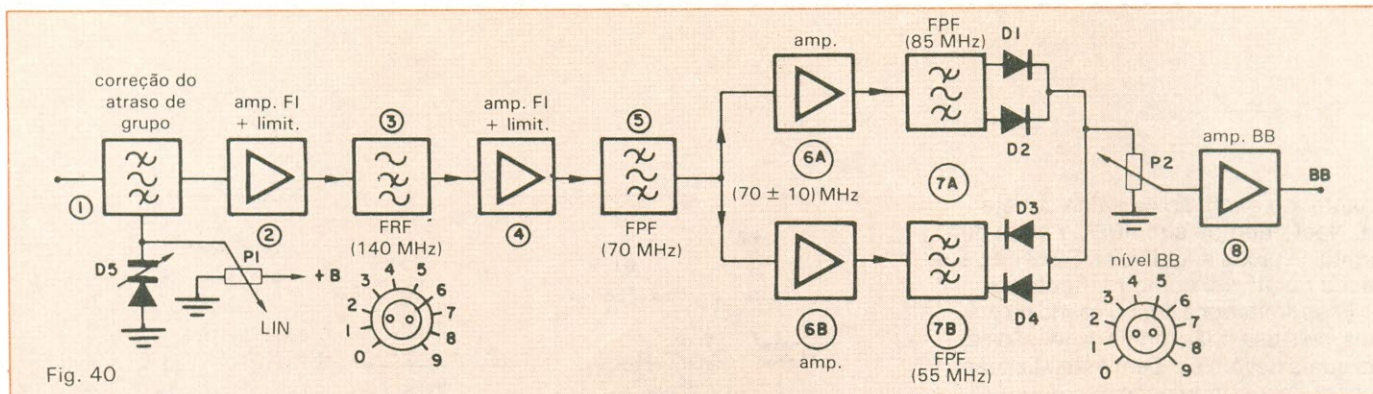
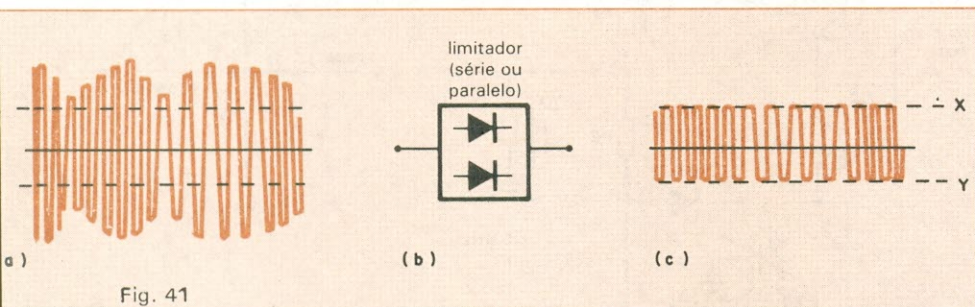
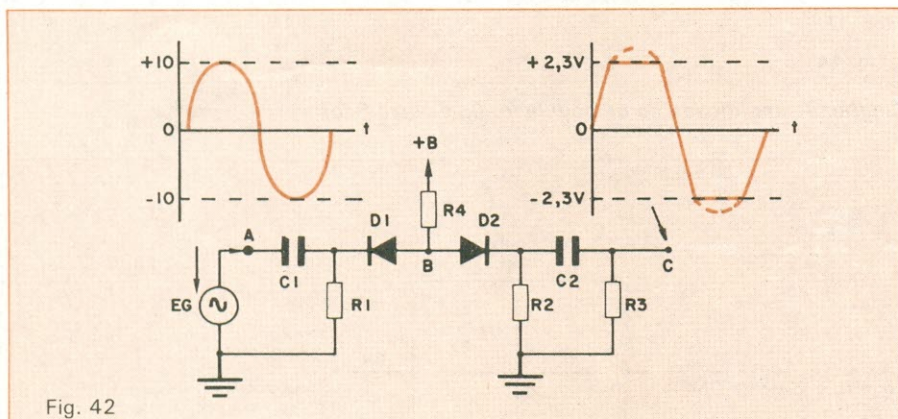


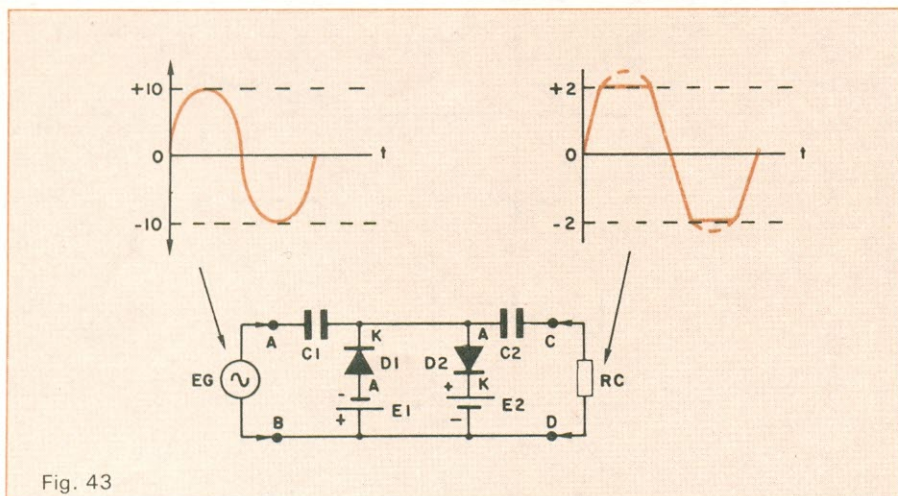
Diagrama em blocos do demodulador de 960 canais.



Formas de onda na entrada e na saída do limitador.



Circuito do limitador série.



Circuito do limitador paralelo.

D1 estar no corte, mesmo que a tensão do gerador aumente, indo além de 2,3 Vp, a tensão na saída, que aparece sobre R2, não aumenta mais, mantendo-se inalterada em torno de 4,6 Vp; quando o gerador inverter a polarização do sinal de entrada, no ponto B da figura 42, aparecerão agora duas tensões com polaridade opostas; sendo uma positiva (+ 3 Vcc) e uma negativa, aplicada pelo gerador, que varia em função do tempo. Quando a diferença entre as duas tensões aplicadas ao ponto B for igual ou menor que 0,65 V, o diodo D2 será levado ao corte; em conseqüência, a tensão na saída sobre R2 cai para zero volt. Mesmo que a tensão do gerador aumente além de -2,3 Vp, a saída mantém-se inalterada, em torno de zero volt.

Daí, podemos concluir que D1 limita os picos positivos e D2 limita os picos negativos do sinal de entrada. Na saída, temos uma tensão sobre R2 com variação de 0 a + 4,6 V e um valor médio em + 2,3 V; o capacitor C2 bloqueia a tensão cc presente sobre R2 e, assim, na saída sobre Rc, vamos ter uma tensão de ± 2,3 V, em torno do eixo do zero, como se vê na figura 42c. Se desejarmos ceifar o sinal de entrada em outro nível, diferente de 2,3 V, basta para isso alterar o valor de R4.

Limitador paralelo — Nesse tipo de limitador, os diodos D1 e D2 estão ligados em paralelo com o sinal de entrada, como ilustra a figura 43. A fonte E1 polariza D1 e a fonte E2 polariza D2, sendo ambos polarizados inversamente. Os diodos D1 e D2 só irão conduzir quando a tensão do gerador for superior à somatória da tensão inversa de cada fonte e a tensão de joelho, ou de condução, de cada diodo. Quando os diodos conduzem, ceifam tanto os picos positivos como negativos do sinal de entrada. Por exemplo: se a tensão de cada fonte for igual a + 1,3 Vcc e for usado diodo de silício ($V_D = 0,7 V$) a saída sobre Rc nunca irá além de 2 V. Mesmo que a tensão do gerador aumente acima de 2 V, os diodos ceifam,

mantendo a tensão na saída constante. Neste tipo de circuito, D1 ceifa ou limita os picos negativos e D2 ceifa os picos positivos, como na figura 43.

Esse limitador é pouco usado na prática, pois usa duas fontes de tensão cc, as quais devem ser bem estabilizadas e com baixa ondulação. Na figura 41, temos a aplicação prática do limitador, que ilustra bem o que foi descrito. Na entrada é aplicado um sinal modulado em FM, mas apresentando variação em amplitude; na saída do limitador (fig. 41c) temos o mesmo sinal modulado em FM, mas sem variação de amplitude. Para maior eficiência, o equipamento do MO-700 usa dois conjuntos de limitadores — circuitos (2) e (4) da figura 40 — sendo que cada um deles é formado por dois limitadores, um em série e um em paralelo. Com isso, conseguimos eliminar totalmente qualquer variação em amplitude do sinal de FI presente na entrada do demodulador.

Circuito do demodulador — O demodulador usado no MO-700 é formado por três circuitos sintonizados, sendo:

- um filtro passa-faixa, sintonizado na

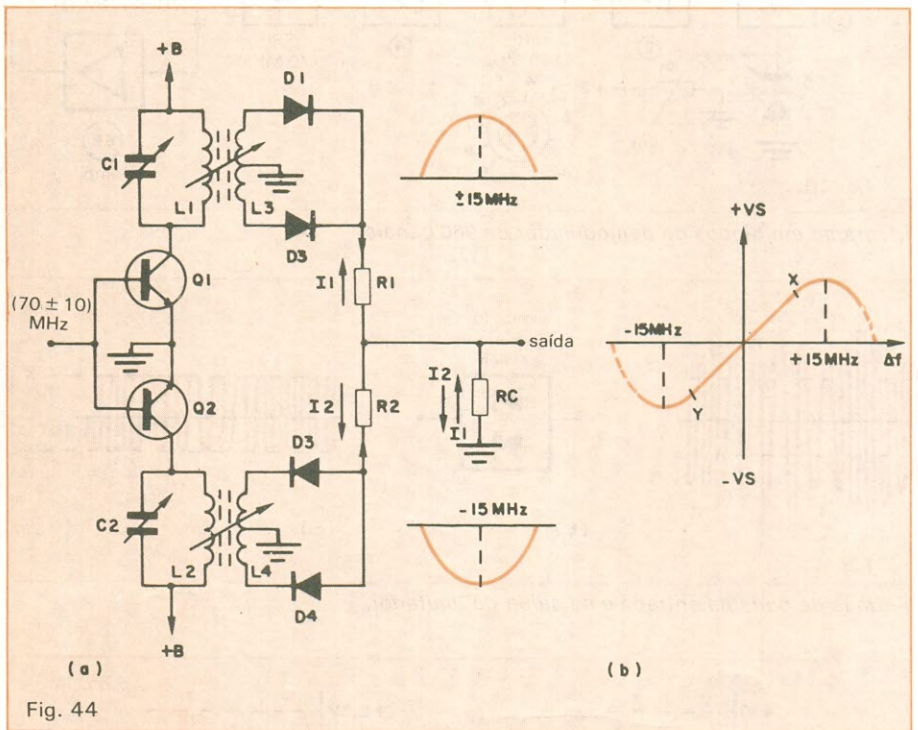
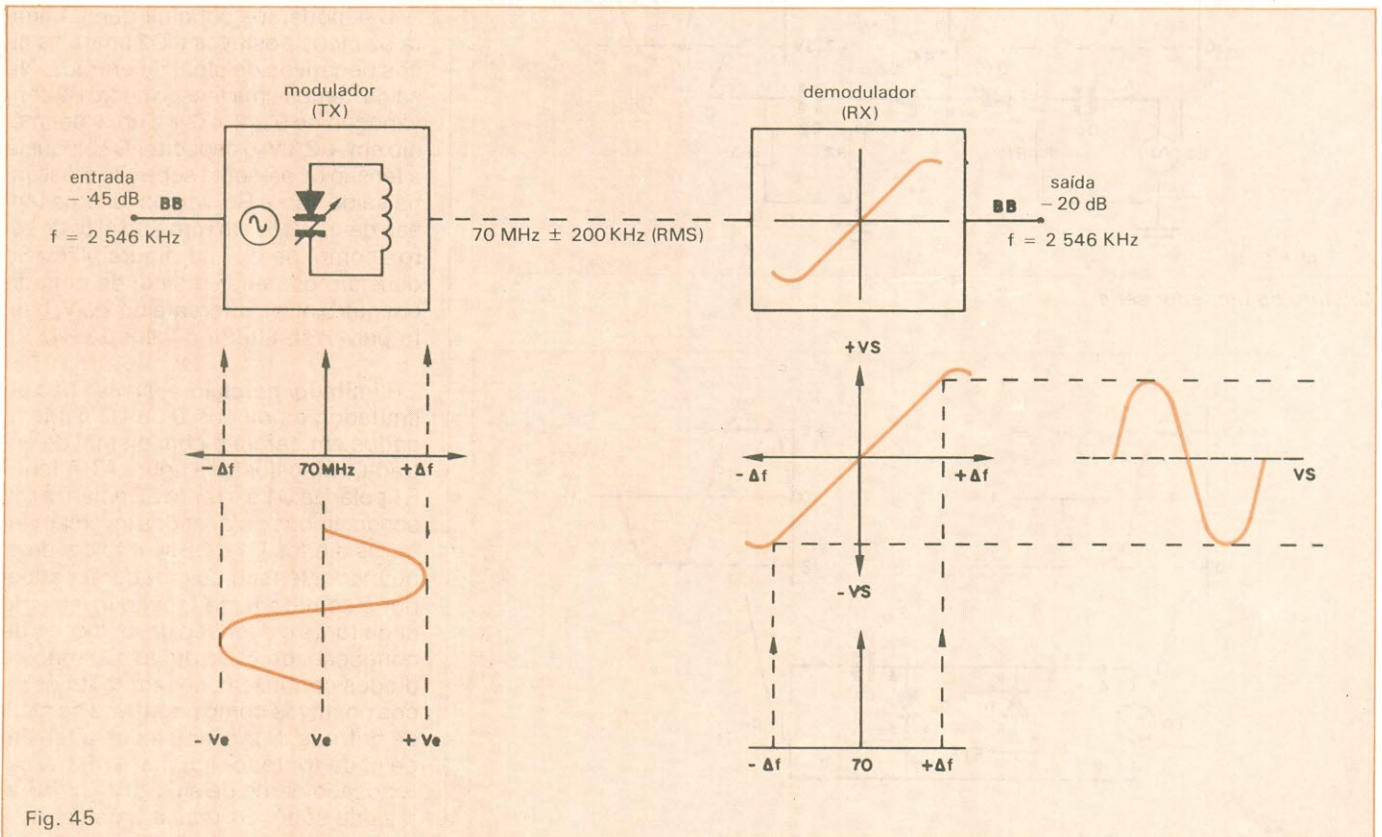


Diagrama simplificado do demodulador (a) e curva S (b).



Função do modulador e do demodulador no circuito.

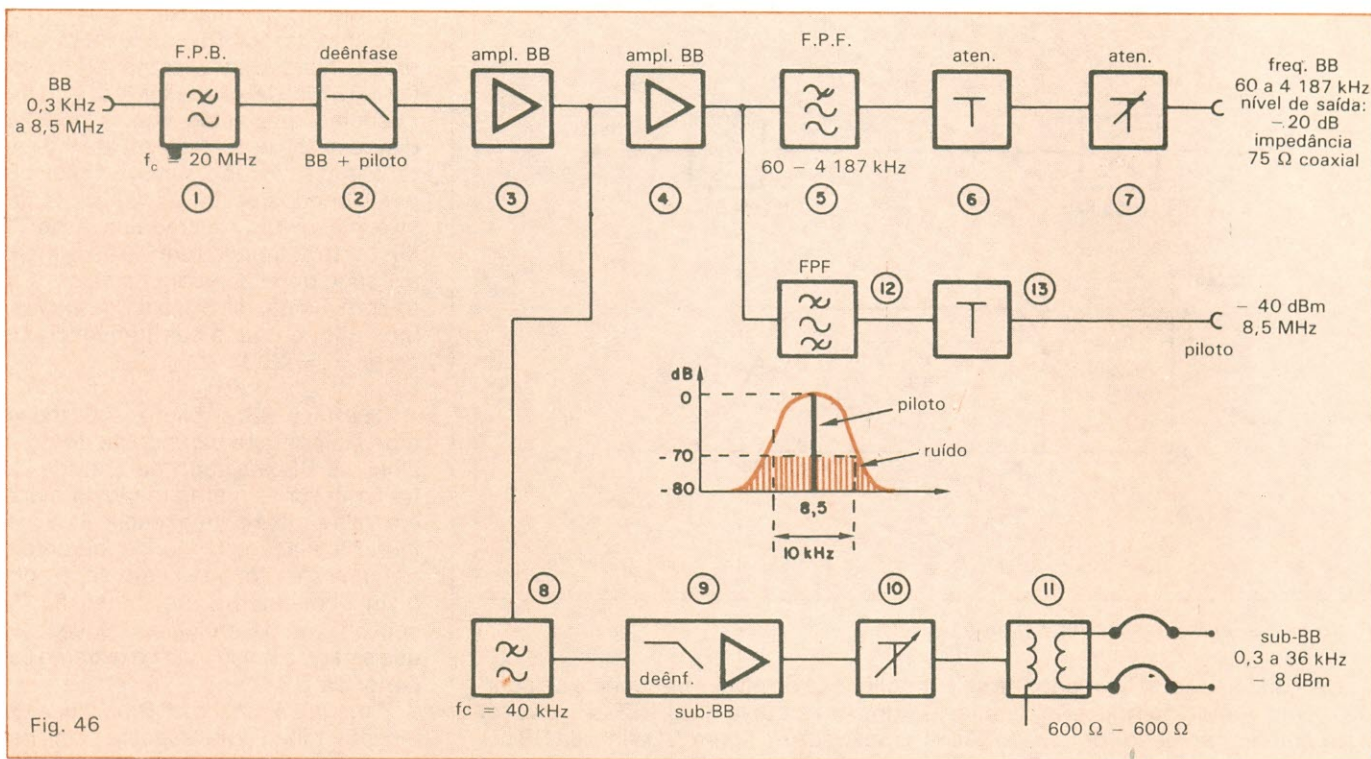


Fig. 46

Diagrama em blocos da saída do demodulador de 960 canais.

freqüência central de 70 MHz (FPF - 5), com banda passante plana de ± 10 MHz em torno de 70 MHz;

- um circuito, constituído por L1/C1, sintonizado 15 MHz acima da freqüência central, ou seja, em 85 MHz (circuito 7A da fig. 40);
- um circuito constituído por L2/C2, sintonizado 15 MHz abaixo da freqüência central, ou seja, em 55 MHz (circuito 7B da fig. 40).

Como se nota, dois circuitos estão sintonizados em freqüências além do desvio máximo da portadora. Quando não há modulação, não há desvio da portadora e, em conseqüência, as tensões que aparecem sobre cada resistência são iguais e opostas, cancelando-se mutuamente de maneira que a saída sobre R_c é nula. À medida que a freqüência da portadora sofre um desvio na direção da freqüência de ressonância de um dos enrolamentos, desenvolve-se uma tensão sobre o respectivo circuito ressonante, que é induzida no enrolamento secundário.

O sinal induzido em L3 (fig.44) é retificado por D1-D2, que formam um circuito retificador de onda completa. Quando o desvio é para um valor maior ($+\Delta f$), aparece uma tensão cc variável sobre R1 que cresce com o aumento do desvio positivo da portadora. Por sua vez, quando o desvio da portadora é para menos, o sinal induzido em L4 é retificado por D3 - D4, fazendo aparecer sobre R2 uma tensão cc variável proporcional ao desvio negativo ($-\Delta f$) da portadora.

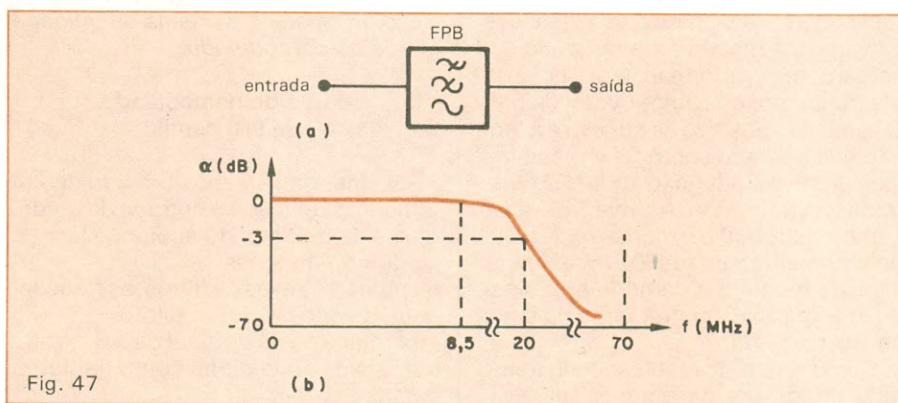


Fig. 47

Filtro passa-baixas e sua curva de atenuação.

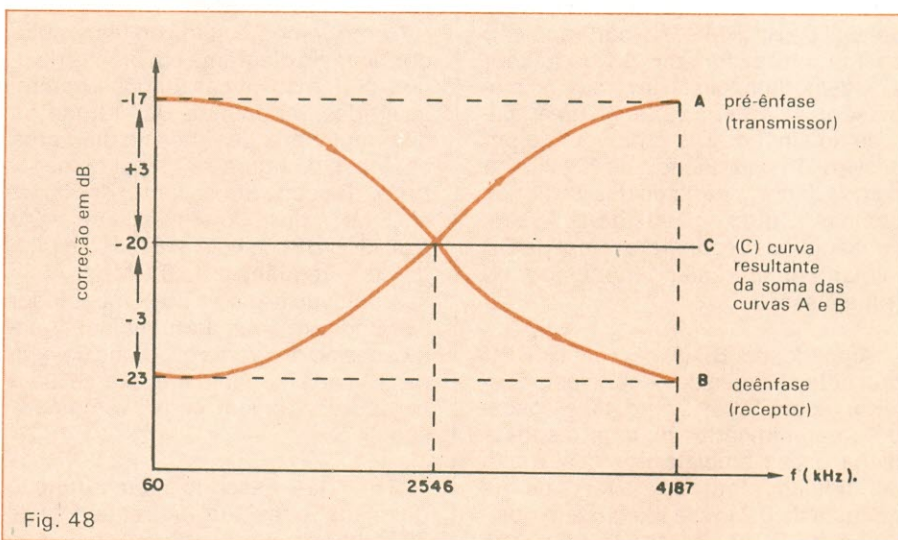


Fig. 48

Curvas de correção da pré-ênfase e da deênfase e sua resultante.

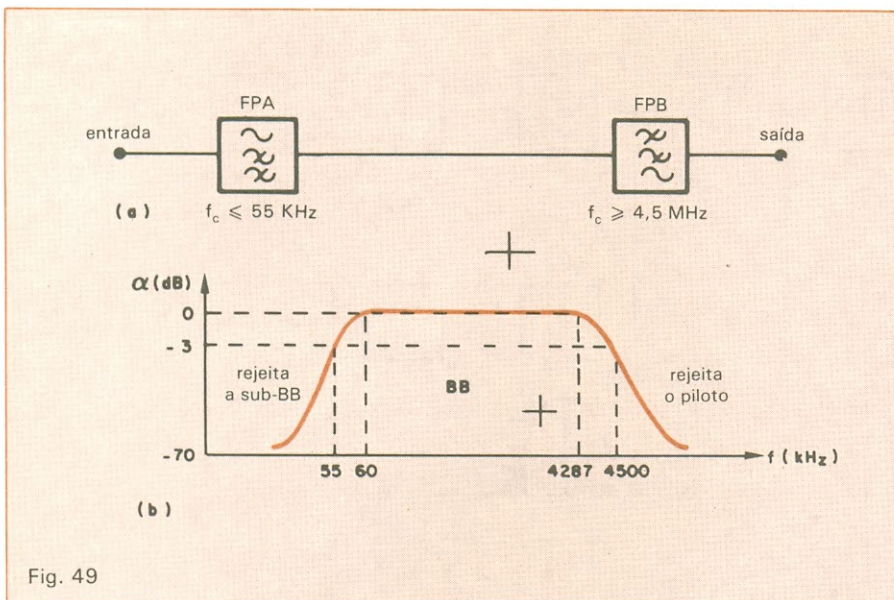


Fig. 49

Filtro passa-faixa e respectiva banda passante.

Os resistores R1 e R2, ligados na saída, como vemos na figura 44, funcionam com um somador de tensão. As tensões desenvolvidas sobre R1 e R2 têm polaridades opostas; isso ocorre devido à posição dos pares de diodos retificadores. A soma das duas tensões cc variáveis resulta em uma onda senoidal completa, formando a curva S do discriminador ou demodulador de FM. O semiciclo positivo da curva S é a tensão que aparece sobre R1 e o semiciclo negativo é a tensão sobre R2, ilustradas na figura 44b. A curva S deve ter característica linear numa região suficientemente grande (X-Y da figura 44b), de maneira a demodular o sinal de FI sem provocar distorção no sinal da BB na saída.

Como vimos, no modulador do transmissor (figs. 9 e 10), quando aplicávamos na entrada um tom de 2546 kHz, com um nível de -45 dBr, era provocado um desvio na frequência de 70 MHz de ± 200 kHz (RMS). Na configuração da figura 45, as funções do modulador e do demodulador são inversas: no modulador, a partir da variação da amplitude do sinal da BB, é provocado um desvio (Δf) na frequência de 70 MHz; no demodulador, a partir do desvio, temos como resultado o sinal da BB. Assim, conseguimos recuperar o sinal da BB injetado na entrada do modulador do transmissor.

Amplificador BB (8) — O sinal da BB presente na saída do circuito demodulador, sobre R_c da figura 44, é aplicado ao amplificador (8), com resposta plana, onde é amplificado. Na saída do demodulador temos uma faixa de frequência de 0,3 kHz a 8,5 MHz, incluindo a sub-BB, BB e piloto. O sinal na saída do demodulador apresenta uma in-

clinação de nível x frequência de acordo com a curva do CCITT-275, que foi mostrada na figura 7. O sinal da BB pode ser ajustado, através do potenciômetro P2 (NÍVEL), fixo no painel frontal do demodulador, para um nível de -20 dBr medido na saída da unidade saída do demodulador.

Saída do demodulador de 960 canais

O sinal da BB, após ter sido demodulado, é aplicado à entrada da unidade saída do demodulador, que tem as seguintes funções:

- separar, através de filtros, as frequências da sub-BB, BB e piloto;
- corrigir a curva do sinal da BB, de maneira a deixá-la plana como na figura 48c;
- ajustar os níveis dos sinais nas respectivas saídas para um nível desejado.

Como vemos, a saída do demodulador, vista no diagrama em blocos da figura 46, tem idênticas funções, porém, invertidas, da unidade de entrada do demodulador, que vimos no diagrama em bloco da figura 3. O sinal composto da BB ocupa um espectro de 300 Hz a 8,5 MHz, dividido em: sub-BB de 0,3 a 36 kHz; BB, de 60 a 4187 kHz; e piloto, com frequência de 8,5 MHz.

A unidade de saída do demodulador é dividida em diversas subunidades, indicadas no diagrama em bloco da figura 46, cada subunidade exerce uma função específica, como veremos a seguir.

FBF (1) — Esse filtro tem a função de rejeitar o residual da frequência de 70 MHz, bem como os sinais espúrios presentes na saída do demodulador. O

filtro apresenta uma frequência de corte (ponto de -3 dB) em 20 MHz, com uma banda passante plana na faixa de 0 a 8,5 MHz; deixa passar todas as frequências que estão compreendidas dentro desse espectro, sem atenuá-las, tal como se vê na figura 47. Os sinais posicionados acima de 40 MHz, inclusive o residual da frequência de 70 MHz, são atenuados em 70 dB ou mais, evitando que apareçam na saída, junto com o sinal da BB. Na figura 47 temos o filtro com a sua frequência de corte, $f_c = 20$ MHz.

Deênfase BB + piloto — Como vimos, na primeira parte deste artigo, o sinal da BB aplicado na entrada do transmissor tem uma resposta plana em toda a faixa de frequência. Para melhorar a relação sinal/ruído, durante a transmissão, foi ligada em série com o sinal uma malha (pré-ênfase, fig. 7), com objetivo de reforçar as frequências que estão posicionadas no extremo superior da BB.

Para que o sinal da BB na saída do receptor tenha uma resposta plana novamente, deve-se aplicar uma curva de correção com característica igual e contrária à da pré-ênfase, de maneira a ter-se uma atenuação nas altas frequências na mesma proporção que houve reforço na transmissão. Na curva A da figura 48, o sinal sofreu um reforço de +3 dB nas altas frequências em relação à frequência de zero pré-ênfase (4546 kHz). Devido à malha da pré-ênfase, na curva B temos uma atenuação de -3 dB em relação ao nível de referência de -20 dBr, devido à ação da pré-ênfase. Na curva C temos uma resposta plana resultante da soma das curvas A e B. Dessa maneira, o sinal na saída do receptor apresenta uma resposta plana, como foi introduzido na entrada do transmissor. O sinal da BB, já corrigido, é aplicado aos amplificadores de banda larga (3) e (4), onde é elevado para um valor desejado na saída.

FPF (5) — O sinal da BB composto é aplicado ao filtro passa-faixa, onde é separado dos demais. O filtro relaciona só a faixa de 60 a 4187 kHz, onde está contida a BB, rejeitando os demais sinais como mostra a figura 49. O filtro (5), visto na figura 46, é na realidade formado por dois filtros. Um passa-altas, com frequência de corte em ≈ 55 kHz, faixa plana de 60 kHz a ≈ 60 MHz, que rejeita o sinal da sub-BB abaixo de 36 kHz. O outro filtro, ligado em série com o primeiro, é do tipo passa-baixas, com frequência de corte em $\approx 4,5$ MHz, banda passante plana de 0 a 4187 kHz, que rejeita o sinal do piloto acima de 4,5 MHz, como vemos na figura 49b. A banda passan-

te plana, resultante dos dois filtros ligados em série, equivale à de um filtro passa-faixa com banda passante plana de 60 kHz a 4187 kHz.

Atenuadores (6) e (7) — O sinal da BB pode ser variado na saída de $\pm 4,5$ dB em relação ao nível nominal de -20 dB. O atenuador (6) proporciona um grau de atenuação de ± 3 dB, em passos de 0,5 dB, e o atenuador (7) atenua o nível de $\pm 1,5$ dB, em passos de 1 a 0,5 dB. A variação realizada por ambos os atenuadores é conseguida comutando-se os pontos soldáveis internamente. A variação do nível na saída tem por objetivo compensar as perdas ocorridas no cabo coaxial que interliga o rádio ao equipamento multiplex. Na saída do equipamento de rádio temos um nível nominal de -20 dB sobre uma impedância de 75Ω , medido em qualquer frequência, dentro da BB.

Sub-BB — O sinal da sub-BB é aplicado ao filtro passa-baixas (8), com frequência de corte em 40 kHz, onde a sub-BB é separada dos demais sinais. O FPB apresenta uma resposta plana de 0,3 a 36 kHz, atenuando as frequências da BB e do piloto em 60 dB ou mais e impedindo que estas apareçam na saída juntamente com a sub-BB.

Deênfase (9) — A malha da deênfase tem a função de reduzir a amplitude da frequência que está posicionada no extremo superior da sub-BB de maneira a termos na saída uma resposta plana em toda a faixa de 0,3 a 36 kHz.

Atenuador 10 — O nível do sinal da sub-BB pode ser variado na saída de $\pm 4,5$ dB em torno do valor nominal de -8 dBm; isto é feito através do atenuador (10), em passos de 1 dB.

FPF (12) — O filtro está sintonizado em 8,5 MHz, selecionando só a frequência do piloto e o ruído que aparece afastado de ± 10 kHz em torno de 8,5 MHz. O ruído afastado de ± 20 kHz, assim como os sinais da sub-BB e BB são totalmente atenuados, não aparecendo na saída. Como vimos, o piloto foi injetado do lado do transmissor juntamente com o sinal da BB, seguindo-o ao longo da rota; no final desta, o sinal do piloto e uma amostra do ruído são separados e comparados. Dependendo da relação sinal/ruído, o sistema comuta do principal para o reserva ou é totalmente silenciado.

O ruído é introduzido ao longo da rota: parte dele, gerado dentro das unidades que compõem o sistema, é classificado como "ruído térmico fixo"; e outra parte, gerada no meio em que o

ruído se propaga, é classificada como "ruído térmico variável". Da saída do receptor, o ruído e o piloto são levados à unidade Receptor de Piloto*, onde ambos são separados e transformados em nível cc variável. A variação cc é proporcional àquela sofrida pelo ruído ao longo da rota.

* Essa unidade não faz parte deste artigo.

Bibliografia

— Manual de Operação do MO-700/II, desenvolvido pela S/A Philips do Brasil — Div. Inbelsa.

— Modulação, Transmissão e Propagação das Ondas de Rádio, 2ª edição, do autor.

— Roteiro de aulas práticas — Centro de Treinamento da Telesp.

Colaboradores consultados:

Eng. Paolo Chiarottino — Telesp
Téc. José Cândido Leite — Telesp
Téc. Jair Alvarenga Barreto — Telesp

Agradecimento — O autor agradece à Sul América — Philips Telecomunicações, pela permissão dada à transcrição do Manual de Operação do MO-700/II, na pessoa do seu gerente comercial, eng. Kazimierz Josef Malachowski.

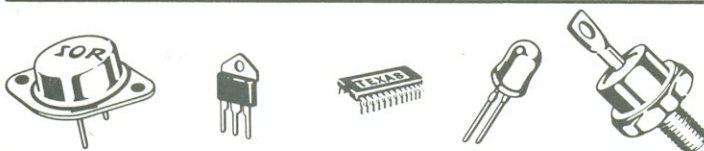
CINEL

COMERCIAL ELETRÔNICA LTDA.

SEMICONDUCTORES

COMPONENTES ELETRONICOS EM GERAL

SCHRACK • CONSTANTA • TEXAS • SEMIKRON • FAIRCHILD
ICOTRON • AMP • CELIS • BEGLI • WHINNER • BOURNS
PHILCO • PHILIPS • SHARP • SANYO • IBRAPE
KINETRON • RCA



DISTRIBUIDOR: PHILCO - PHILIPS - TAKEBO

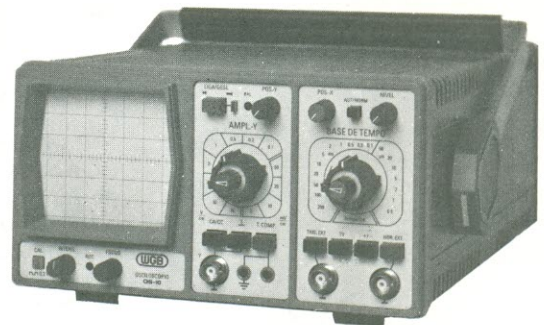
CONSULTE-NOS: PABX: **223-4411**

RUA SANTA IFIGENIA, 370/372
CEP 01207 - SÃO PAULO - SP

TVT

OS-10

Osciloscópio para faixa de frequências de C.C. a 10MHz



O OS-10 é um osciloscópio de traço único, com tela de 6 x 7 cm, projetado especialmente para o serviço de campo e amadores. Sua sensibilidade se eleva a 2 mV/cm pelo uso de controle variável. Sinais muito pequenos, a partir de 3 mm de altura na tela, sincronizam a imagem facilmente até 30 MHz. Um filtro de TV permite a apresentação de sinais de vídeo na sua frequência de quadro. Um circuito para teste de componentes foi incorporado ao OS-10, com o objetivo de possibilitar a verificação de semicondutores e de outros componentes. A boa luminosidade e foco do tubo, com graticulado interno, permitem a análise da imagem sem paralaxe - fato importante para serviços de manutenção e monitoração. A construção compacta e robusta, o baixo peso e o desempenho seguro fazem do OS-10 um item indispensável para oficina e campo.

WGB

ELETRÔNICA DE PRECISÃO LTDA.

Caixa Postal 21277 - Cep 04698 - São Paulo, SP

Vimos nos n.ºs 97 e 98, o modelamento dos motores trifásicos assíncronos. Vamos agora estudar os motores de corrente contínua, que, da mesma forma que os motores CA, têm grande aplicação industrial. Os motores CC, porém, apresentam como fator negativo seu alto custo, comparativamente aos motores trifásicos. Por outro lado, a extrema facilidade de controle de suas características de trabalho faz com que o seu uso seja muito difundido na indústria. De fato, nos motores de corrente contínua podemos controlar, de maneira simples, a velocidade, o conjugado ou torque e até utilizar o

Modelamento de motores por computador

Recordando primeiro alguns conceitos básicos, a série prossegue com programas específicos para motores de corrente contínua

motor como regulador de velocidade — já que pode funcionar como elemento motriz ou gerador; ou seja, como motor ou como freio.

Detalhes construtivos — O motor CC é constituído de três elementos importantes: indutor ou campo; induzido ou armadura; coletor ou comutador. O indutor é composto por núcleos polares, sobre os quais são colocadas bobinas, formando um enrolamento; este, por sua vez, quando é percorrido por corrente contínua, produz alternadamente os pólos norte e sul.

O induzido é constituído por um núcleo magnético cilíndrico. Este cilindro é composto por discos com ranhuras na sua periferia, de modo a formar canais, onde são alojados os condutores que constituem o enrolamento do induzido.

O coletor é constituído de lâminas de cobre duro, isoladas entre si e justapostas, de modo a formar um cilindro. As escovas são apoiadas com a pressão adequada sobre o coletor, para se obter a comutação.

Princípios de operação — Na figura 1, quando alimentamos a espira com uma tensão $e(t)$, aparece uma corrente $i(t)$; como essa espira está imersa em um campo magnético constante \vec{B} , vai surgir uma força tangencial, que tende a fazer girar a espira. Quando a espira assume uma posição onde não existe mais essa força tangencial, o comutador troca o sentido da corrente na espira e, assim, faz com que o movimento continue. Aumentando-se o número de espiras, o movimento fica mais uniforme e a armadura exibe velocidade constante. A movimentação da armadura no campo magnético constante cria uma tensão eletromotriz induzida, contrária à tensão de alimentação do motor e proporcional ao fluxo magnético e à velocidade de giro da armadura, ou seja:

$$V_{\text{arm}} = I_{\text{arm}} \cdot R_a + K \cdot \Phi \cdot \omega$$

onde V_{arm} é a tensão de armadura; I_{arm} , a corrente de armadura; R_a , a resistência de armadura; K , uma constante que depende de elementos construtivos; Φ , o fluxo indutor e ω , a velocidade angular da armadura. O fluxo magnético, por sua vez, depende diretamente da corrente de excitação. Assim, temos:

$$\Phi = f(I_{\text{exc}}).$$

Classificação dos motores CC — Existem múltiplos métodos para classificar os geradores e motores de corrente contínua; vamos considerar, em nosso caso, somente o tipo de excitação. Desse modo, os motores podem ser classificados em:

- I — motores independentemente ou duplamente excitados.
- II — Motores auto-excitados, divididos em *shunt*, *série* e *compound*.

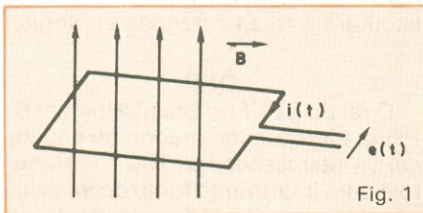
O modelamento para os três tipos de motor é o mesmo, mas as características apresentadas no funcionamento são diferentes.

O motor independentemente excitado quase que só é admitido para o estabelecimento de curvas características, pois necessita de uma fonte de excitação — o que não é vantajoso, já que o motor *shunt* apresenta quase que as mesmas características de funcionamento. Dentre as aplicações do motor independentemente excitado, temos elevadores, indústria de plástico e papel e frenagem elétrica.

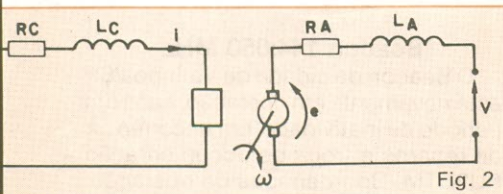
O motor *shunt* apresenta o campo ligado em paralelo à armadura, através de um resistor que limita a corrente de campo. Esse tipo de motor é interessante em casos onde há necessidade

de velocidade constante ou regulável, tal como no acionamento de máquinas (fresas, tornos) ou em freios elétricos.

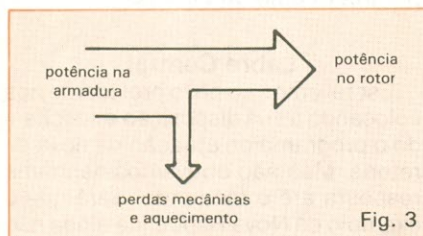
O motor série apresenta o campo em série à armadura, também através de um resistor para limitação da corrente de campo. Neste caso, as características são bem distintas daquelas apresentadas pelo motor *shunt*, que torna o motor série mais adequado a serviços onde existe uma grande variação de carga. Assim, suas aplicações mais freqüentes são os elevadores de carga, laminadores, serviços de tração, trole-



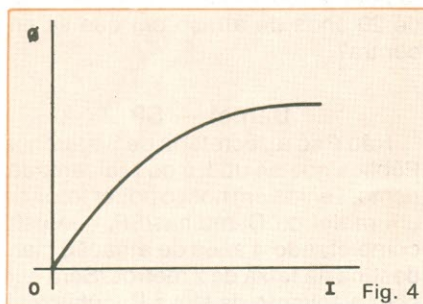
Princípio de operação de um motor CC.



Modelo equivalente de um motor de corrente contínua.



Mapa de potências dos motores CC.



Curva do fluxo magnético em função da corrente de excitação.

bus, trens e qualquer caso que necessite de rápidas acelerações e grande conjugado de partida.

O motor *compound* costuma apresentar características intermediárias aos dois tipos anteriores pois o campo é acoplado à armadura através de uma ligação série-paralelo. Sua aplicação é conveniente em casos onde se tem variações de velocidade e exige-se conjugados de partida relativamente altos. Desta forma a maior aplicação do *compound* se dá em máquinas que trabalham em regime intermitente ou acoplado a volantes.

Modelamento matemático — O modelamento de motores CC é por demais importante, pois como essas máquinas são normalmente utilizadas tendo em vista suas características de controle de velocidade ou conjugado, o estudo do modelo pode contribuir para dimensionar o comando do motor.

Já verificamos que o motor CC pode aparecer com ligações entre campo e armadura de forma diferente; logo, para o modelamento inicial vamos estudar o motor independentemente excitado e verificar, depois, como adaptar os outros estudos a este. O modelo elétrico do motor CC é apresentado na figura 2.

A tensão E alimenta o campo, que apresenta uma resistência R_c e uma indutância L_c . A tensão no campo pode ser representada da seguinte forma:

$$E = I_c \cdot R_c + L_c \cdot \frac{dI_c}{dt}$$

onde I_c é a corrente de campo e $\frac{dI_c}{dt}$, a derivada dessa corrente.

A corrente de campo cria um fluxo magnético na armadura, como já foi descrito anteriormente, mas o fluxo não é função linear da corrente de campo e não pode ser descrito por uma função simples; logo, de início, vamos considerar o fluxo como função da corrente de excitação:

$$\phi = f(I_c)$$

Passemos agora para o lado da armadura, onde vamos encontrar a tensão V alimentando o conjunto em que aparecem a resistência de armadura R_a e a indutância L_a . A tensão contraeletromotriz (e) surge devido à criação, pelo campo, de um fluxo magnético sobre a armadura, que ao girar faz surgir uma tensão eletromotriz dada pela fórmula:

$$e = K \cdot \phi \cdot \omega$$

Desse modo, a equação de malha para a armadura será:

$$V = R_a \cdot I_a + L_a \cdot \frac{dI_a}{dt} + e$$

onde I_a é a corrente de armadura e $\frac{dI_a}{dt}$, a derivada da corrente.

Através dessas equações, podemos estudar qualquer motor CC e conhecer todas as suas características de trabalho. Por exemplo, no caso de queremos calcular o conjugado fornecido pelo motor ou a potência consumida, basta calcular tensão e corrente na armadura.

Potências envolvidas — A figura 3 mostra o fluxo de energia em um motor CC. A potência entregue à armadura pode ser escrita da seguinte forma: $P_{cons} = V_a \cdot I_a$ onde P_{cons} é a potência consumida e $V_a \cdot I_a$ são a tensão e a corrente na armadura.

A perda no cobre da armadura é dada por:

$P_{c arm} = R_a \cdot I_a^2$ e a potência entregue ao rotor, desconsiderando as perdas mecânicas pode ser escrita assim:

$$P'_{mec} = e \cdot I_a$$

O conjugado pode ser descrito da seguinte forma:

$$C = \frac{P_{mec}}{\omega}$$

onde C é o conjugado e P_{mec} , a potência mecânica entregue ao rotor, considerando as perdas no ferro e as por atrito e ventilação.

No total vamos ter:

$P_{mec} = P'_{mec} - P_{fe} - P_{a+v}$ onde P_{fe} são as perdas no ferro e P_{a+v} , as perdas por atrito e ventilação.

Modelamento do campo — Até aqui, consideramos o fluxo magnético como função da corrente de campo, mas não desenvolvemos nenhuma expressão matemática que explique a correspondência entre essas variáveis. Na figura 4 apresentamos, agora, o espectro da função que estamos estudando. O estudo teórico para tal função é por demais complexo e trabalhoso e complicaria demais o estudo do nosso modelo. Vamos aproximar uma função mais simples e assim realizar o nosso estudo com base na mesma:

$$\phi = \frac{aI}{b+cI}$$

onde ϕ é o fluxo magnético; I a corrente de excitação e a, b e c, constantes que definem a curva da figura 4. ●

(conclui no próximo número)

ALUGUE SEU MICRO

AGORA A LOCASET TEM O SISTEMA LOCASET MICRO QUE É O PRIMEIRO A OFERECER MUITAS VANTAGENS ALÉM DAS QUE UM MICRO COMPUTADOR JÁ OFERECE. PRIMEIRO PORQUE VOCÊ NÃO COMPRA O MICRO E FICA TENTANDO DESCOBRIR COMO É QUE SE USA. NA LOCASET VOCÊ EXPERIMENTA, USA E AINDA PODE TROCAR POR OUTRO. CONSULTE-NOS E CONSTATE AS VANTAGENS EM ALUGAR UM MICRO COMPUTADOR. VOCÊ AINDA PODERÁ LOCAR O SEU TV A CORES, VIDEO CASSETE E TELAÔ. ASSISTÊNCIA TÉCNICA PERMANENTE GRATUITA

LOCASET
Av. Cidade Jardim, 691
TEL.: (011)815-8622

CURSOS DINÂMICOS

MANUTENÇÃO DE MICROCOMPUTADORES

Apresenta em detalhes ferramentas, técnicas, práticas e teorias envolvidas na manutenção de microcomputadores. Ideal para interessados em assistência técnica a micros.

Cr\$ 18.100 mais despesas postais

ELETRÔNICA BÁSICA — TEORIA/PRÁTICA

Aliando teoria à prática em projetos simples e fáceis de executar.

Cr\$ 10.400 mais despesas postais

RÁDIO — TÉCNICAS DE CONSERTOS

Com capítulos dedicado aos FMs, Alta Fidelidade, Stéreo, etc.

Cr\$ 10.400 mais despesas postais

TV A CORES — CONSERTOS

Com todos os problemas que ocorre na TV e as respectivas peças que provocam tais problemas.

Cr\$ 8.200 mais despesas postais

TV BRANCO E PRETO — CONSERTOS

Você sabendo o defeito, imediatamente saberá quais as peças que devem ser trocadas.

Cr\$ 8.200 mais despesas postais

SILK-SCREEN

Para você produzir circuitos impressos, adesivos, camisetas, chaveiros e muito mais com muitas ilustrações.

Cr\$ 6.800 mais despesas postais

FOTOGRAFIA

Aprenda fotografar e revelar por apenas:

Cr\$ 4.800 mais despesas postais — ou gratuitamente se o seu pedido dos cursos for acima de Cr\$ 26.000.

PETIT EDITORA LTDA.

CAIXA POSTAL 8414 — SP — 01000
Av. Brig. Luiz Antonio, 383 — São Paulo

QTC Minuano

Nossos cumprimentos ao PY3ET — Dante Vanderlei Efron — pelo brilhante trabalho desenvolvido em favor do radioamadorismo, exercendo o cargo de editor do QTC Minuano, órgão de divulgação da Labre/RS. A coragem e as posições firmes marcaram a sua passagem por aquele importante órgão de informação do radioamadorismo.

Grupo São Paulo de VHF

Apresentamos a seguir os principais colocados no 1.º Concurso da Primavera, promovido pelo Grupo São Paulo de VHF. *Classificação nacional:* campeão — PY2RRT/PY2: Roberto — Campos do Jordão/SP; *Operador Múltiplo:* PY2RRT/PY2 — Roberto — Campos do Jordão/SP; *Operador Único:* campeão — PY2QY/PY2 — Ibero — Pindamonhangaba/SP.

Para podermos avaliar o nível da competição, o campeão nacional do I Concurso da Primavera teve que contactar 23 municípios, totalizando 778 pontos. Integraram a equipe campeã outros três radioamadores, além de Roberto: PY2LDV/Marcos, PY2ITQ/Luiz e PY2SSQ/Moacir.

II Concurso de Verão — GSPVHF

Foi realizado nos dias 30 e 31 de março. Publicaremos os resultados assim que recebermos as informações do GSPVHF. Os radioamadores que quiserem mais detalhes sobre este grupo, poderão solicitá-los, através da Caixa Postal 18378 — CEP 04699 — São Paulo/SP.

Cartões QSL

Como acontece todos os anos, nossos patrocinadores nos oferecem inúmeros cartões QSL, que podem ser solicitados no seguinte endereço: rua Cristovão Colombo, 185 — apt. 101 — bairro Guanabara — CEP 13100 — Campinas/SP — A/C de Adolfo. Os cartões serão enviados gratuitamente.

Excursões 1984 — Dia do VHF

Realizadas tradicionalmente no último fim de semana do mês de junho, estas excursões têm se caracterizado pela independência. E, de uns tempos para cá, elas se transformaram — quase espontaneamente — na maior festa brasileira de DX em dois metros. Em 85, o Dia do VHF será comemorado nos dias 29 e 30 de junho.

Desenvolvendo-se de maneira livre, sem compromissos ou obrigações, a não ser o cumprimento da legislação vigente e das normas internacionais de boa conduta, estas excursões só enobrecem o DX. Aqueles que se interessarem em divulgar os resultados, basta enviá-los para o responsável por esta coluna.

160 metros

Está sendo “redescoberta” no Brasil a faixa dos 160 metros. É uma boa oportunidade para quem nunca operou nesta faixa “fazer” o seu DX. A modalidade principal é CW, mas podemos escutar diversas estações em fonia.

QSP

O rei do RTTY no Brasil, Homero de Paula Lima Júnior, mudou de endereço. Os interessados em RTTY — Homero é uma importante fonte de informação desta modalidade — poderão encontrá-lo no seguinte endereço: Caixa Postal 239 — CEP 16400 — Lins/SP.

Beacon 144:050 MHz

O Beacon da cidade de Valinhos/SP está novamente em operação, após um período de inatividade, em decorrência de reparos e troca de documentação PU2OTM. Coordenadas de operação: com linear Mac VS 100, uma fonte P20 e uma antena 3 x 5/8 de onda da Mantel. Os QSL SWL poderão ser enviados por intermédio da Labre/SP.

Labre Central

Escrevemos ao novo presidente nos colocando à sua disposição e solicitando o programa de atuação da nova diretoria. Mas não obtivemos nenhuma resposta até o momento. Será que o exemplo da Nova República ainda não chegou por lá? Será que a Labre Central não tem um programa para tirar o radioamadorismo brasileiro dos mais de 20 anos de atraso em que se encontra?

Dentel — SP

Não é só a secretaria de Segurança Pública que se utiliza do radioamadorismo. Temos em nosso poder fotos de um motel de Campinas/SP, que está completando 4 anos de atuação clandestina na faixa de 2 metros. Será que com o advento da Nova República alguém se importará com a situação precária do radioamadorismo brasileiro?

Programa de CW para micros

Os interessados em radioamadorismo que aplicarem este programa terão acesso a um curso completo de telegrafia

Apresentamos, há algumas edições, um curso completo para CW sob o título *Curso Tony de Telegrafia (PY2FWT)*. Estamos apresentando agora esta nova versão, dedicada especialmente aos iniciantes no radioamadorismo, em forma de programa para micros da linha Sinclair, como o CP 200, CP 200S, TK 83, TK 85 etc.

Com este programa você terá as seguintes possibilidades:

- Um curso completo de telegrafia, contendo todos os caracteres do alfabeto Morse (inclusive os sinais: ÆO, Å, Ç e Ê, geralmente não empregados na linguagem dos computadores), exercício de letras e de palavras. Permite repetir várias vezes os sinais (é um professor bem paciente...).
- Usar o micro como manipulador eletrônico, através da interface, cujo esquema publicaremos no próximo número de NE.
- Gravar suas mensagens e fazer seus QSOs via rádio, automaticamente.
- Analisar outros programas da série, tais como: *Textos para Exame Classe B*, *Textos para Exame Classe A*.

Esquema do Programa

Linha 1 — REM com 30 caracteres (espaço reservado para linguagem de máquina).

Linhas 5,6 — espaço entre palavras.

Linhas 12 a 63 — desviam o programa para a linha (rotina) que chama o "ponto e o traço".

Linhas 99 a 1710 — chamam as sub-rotinas que geram o ponto e o traço.

Linha 80 — chama o ponto.

Linha 90 — chama o traço.

Linhas 2080 a 2130 — definem o ta-

manho do ponto em relação ao traço, podendo ser alteradas para uma nova "caligrafia", se isso for necessário. Mas, a medida ideal corresponde ao que está neste programa, ou seja, o traço é três vezes maior que o ponto (uma caligrafia redondinha).

Linhas 2500 a 3100 — sub-rotinas, que desviam o programa para: "AGUARDE NOVOS PROGRAMAS DA SÉRIE".

Variáveis

P = tamanho do ponto

T = tamanho do traço

E = espaço entre o ponto e o traço

ES = espaço entre letras

O = espaço entre palavras

Após tomar contato com esta breve descrição do funcionamento do programa, veja a listagem completa do mesmo no Quadro 1.

Tendo digitado o programa até aqui, assegure-se de tê-lo gravado, pois um erro na digitação da segunda etapa poderá pôr tudo a perder. E, depois de ter feito isso, inicie a digitação de sua segunda fase, na qual uma parte será posta em linguagem de máquina.

Prosseguindo — Digite as linha 9000 a 9006, e rode o programa com GOTO 9000. À esquerda da tela, aparecerá o ENDEREÇO; comece a colocar os números, acionando o ENTER para cada numeral digitado. Uma vez tendo colocado todos os números, deverá aparecer na tela: 0 — 9006. Faça o teste para verificar se está tudo correto, colocando RAND USR 16514 e ENTER. Se o programa continuar listando, parta para a 3ª parte; se ele cair, regrave e digite novamente. Todo este procedimento está apresentado no Quadro 2.

Agora, apague as linhas 9000 a 9006 e, em seguida, digite o programa abaixo. Após ter digitado as linhas 9100 a 9160, rode o programa com GOTO 9100 e entre com a série de letras e os diversos sinais correspondentes aos números. Siga estas instruções:

9100 DIM F\$ (100,6)
9110 FOR N = 1 TO 100
9120 SCROLL
9130 PRINT N,
9140 INPUT F\$ (N)
9150 PRINT F\$ (N)
9160 NEXT N

Nunca rode o programa usando RUN, pois, desta forma, perderíamos todas as matrizes e variáveis. Rode o programa, usando GOTO. Use ENTER para cada linha, de 1 a 100 (veja o Quadro 3).

Agora, apague as linhas de 9100 até 9160 e digite a última etapa do programa.

Da mesma forma que no caso anterior, digite o programa abaixo e rode com GOTO 9200.

9200 — DIM N\$ (30,7)
9210 — FOR N = 1 TO 30
9220 — SCROLL
9230 — PRINT N,
9240 — INPUT N\$ (N)
9250 — PRINT N\$ (N)
9260 — NEXT N

Em seguida coloque as palavras selecionadas, conforme a seqüência de 1 a 30, contida no Quadro 4.

Agora, apague as linhas 9200 a 9260 e grave o programa com GOTO 2000.

Se você fez tudo certo até aqui, já terá o programa prontinho para ser usado, mas não se esqueça que isto só será possível através da montagem da interface, cujo diagrama esquemático é mostrado na figura 1. Trata-se de uma montagem relativamente simples, com poucos componentes.

Obs.: esta interface serve apenas para a transmissão e não para a recepção dos sinais Morse.

Nota: o circuito da interface foi baseado em um esquema para Vox Control, publicado pelo Hand Book da ARRL, edição de 1982.

Atenção: se você quiser adquirir a fita cassete deste programa, estou QRV, através da CX postal 15098 — Cep: 01599 — SP, ou pelo fone: (011) 273-9572.

Listagem completa do programa

Quadro 1

1	- REM 30 CARACTERES (ESPAÇO RESERVADO P/ 30 CARACTERES).	45	- GOTO 330	150	- GOTO L	530	- GOSUB 90	930	- GOSUB 90	1330	- GOSUB 8
5	- FOR N = 0 TO 0	46	- GOTO 350	160	- GOSUB 90	540	- GOSUB 90	940	- GOSUB 90	1340	- GOSUB 9
6	- NEXT N	47	- GOTO 510	170	- GOSUB 80	550	- GOTO L	950	- GOSUB 90	1350	- GOSUB 8
7	- GOTO L	48	- GOTO 280	180	- GOSUB 90	560	- GOSUB 90	960	- GOSUB 80	1360	- GOSUB 8
12	- GOTO 740	49	- GOTO 750	190	- GOSUB 90	570	- GOSUB 90	970	- GOTO L	1370	- GOTO L
13	- GOTO 1320	50	- GOTO 240	200	- GOSUB 80	580	- GOSUB 90	980	- GOSUB 80	1380	- GOSUB 8
14	- GOTO 615	51	- GOTO 130	210	- GOTO L	590	- GOSUB 80	990	- GOSUB 90	1390	- GOSUB 8
15	- GOTO 1240	52	- GOTO 460	220	- GOSUB 90	600	- GOSUB 90	1000	- GOSUB 90	1400	- GOSUB 8
16	- GOTO 1450	53	- GOTO 170	230	- GOSUB 80	610	- GOTO L	1110	- GOSUB 90	1410	- GOSUB 9
17	- GOTO 1450	54	- GOTO 270	240	- GOSUB 90	620	- GOSUB 90	1020	- GOSUB 90	1420	- GOSUB 8
18	- GOTO 100	55	- GOTO 120	250	- GOSUB 90	630	- GOSUB 90	1030	- GOTO L	1430	- GOSUB 9
19	- GOTO 1380	56	- GOTO 340	260	- GOTO L	640	- GOSUB 80	1040	- GOSUB 90	1440	- GOTO L
20	- GOTO 1580	57	- GOTO 250	270	- GOSUB 90	650	- GOSUB 80	1050	- GOSUB 80	1450	- GOSUB 8
21	- GOTO 1120	58	- GOTO 400	280	- GOSUB 90	660	- GOSUB 80	1060	- GOSUB 80	1460	- GOSUB 8
22	- GOTO 375	59	- GOTO 390	290	- GOSUB 80	670	- GOTO L	1070	- GOSUB 80	1470	- GOSUB 8
23	- GOTO 1390	60	- GOTO 230	300	- GOSUB 90	680	- GOSUB 90	1080	- GOSUB 80	1480	- GOSUB 9
24	- GOTO 680	61	- GOTO 810	310	- GOTO L	690	- GOSUB 80	1090	- GOTO L	1490	- GOSUB 8
25	- GOTO 99	62	- GOTO 220	320	- GOSUB 80	700	- GOSUB 80	1100	- GOSUB 80	1500	- GOTO L
26	- GOTO 1170	63	- GOTO 570	330	- GOSUB 80	710	- GOSUB 90	1120	- GOSUB 80	1520	- GOSUB 8
27	- GOTO 1100	80	- POKE 16522, P	340	- GOSUB 80	720	- GOSUB 80	1130	- GOSUB 90	1530	- GOSUB 9
28	- GOTO 440	81	- POKE 16528, P	350	- GOSUB 80	730	- GOTO L	1140	- GOSUB 80	1540	- GOSUB 8
29	- GOTO 980	82	- POKE 16515, 0	360	- GOSUB 80	740	- GOSUB 80	1150	- GOSUB 90	1550	- GOSUB 8
30	- GOTO 500	83	- RAND USR 16514	370	- GOTO L	750	- GOSUB 80	1160	- GOTO L	1560	- GOSUB 8
31	- GOTO 860	84	- FOR N = 0 TO E	375	- GOSUB 90	760	- GOSUB 90	1170	- GOSUB 90	1570	- GOTO L
32	- GOTO 380	85	- NEST N	380	- GOSUB 80	770	- GOSUB 80	1180	- GOSUB 90	1580	- GOSUB 9
33	- GOTO 320	86	- RETURN	390	- GOSUB 80	780	- GOSUB 80	1190	- GOSUB 80	1590	- GOSUB 8
34	- GOTO 1040	90	- POKE 16522, T	400	- GOSUB 80	790	- GOSUB 80	1200	- GOSUB 80	1600	- GOSUB 8
35	- GOTO 620	91	- POKE 16528, T	410	- GOSUB 80	800	- GOTO L	1210	- GOSUB 90	1610	- GOSUB 8
36	- GOTO 560	92	- POKE 16515, 0	420	- GOSUB 90	810	- GOSUB 90	1220	- GOSUB 90	1620	- GOSUB 9
37	- GOTO 920	93	- RAND URS 16514	430	- GOTO L	820	- GOSUB 80	1230	- GOTO L	1630	- GOTO L
38	- GOTO 410	94	- FOR N = 0 TO E	440	- GOSUB 90	830	- GOSUB 80	1240	- GOSUB 80	1640	- GOSUB 9
39	- GOTO 630	95	- NEXT N	450	- GOSUB 90	840	- GOSUB 90	1250	- GOSUB 80	1650	- GOSUB 8
40	- GOTO 110	96	- RETURN	460	- GOSUB 90	850	- GOTO L	1260	- GOSUB 90	1660	- GOSUB 8
41	- GOTO 580	99	- GOSUB 90	470	- GOSUB 90	860	- GOSUB 80	1270	- GOSUB 90	1680	- GOSUB 9
42	- GOTO 140	100	- GOSUB 80	480	- GOSUB 90	870	- GOSUB 80	1280	- GOSUB 80	1690	- GOSUB 8
43	- GOTO 690	110	- GOSUB 90	490	- GOTO L	880	- GOSUB 80	1290	- GOSUB 80	1700	- GOSUB 9
44	- GOTO 180	120	- GOSUB 80	500	- GOSUB 80	890	- GOSUB 90	1300	- GOTO L	1710	- GOTO L
		130	- GOSUB 90	510	- GOSUB 80	900	- GOSUB 90	1310	- GOSUB 90		
		140	- GOSUB 80	520	- GOSUB 90	910	- GOTO L	1320	- GOSUB 90		
						920	- GOSUB 90				

2000 - SAVE "MORSE"
 2001 - LET L = 3000
 2005 - PRINT "CURSO DE TELEGRAFIA - PY2FWT"
 2006 - PRINT "ESCOLHA A VELOCIDADE", "DE O LENTO", "A (30) RAPIDO"
 2080 - INPUT PVA
 2090 - LET PV = 30 - PVA
 2101 - IF PV < 3 THEN LET PV = 3
 2109 - LET P = PV * 2
 2110 - LET T = PV * 7
 2120 - LET E = INT (PV/2)
 2125 - LET ES = PV
 2130 - LET O = PV * 4
 2200 - PRINT AT 10, 0; "ESCOLHA O EXERCICIO", "L - LETRAS", "P - PALAVRAS", "A - ALFABETO COMPLETO"
 2210 - IF INKEY \$ = "A" THEN GOTO 4000
 2220 - IF INKEY \$ = "L" THEN GOTO 4500
 2230 - IF INKEY \$ = "P" THEN GOTO 5000
 2300 - GOTO 2210
 2500 - FAST
 2510 - LET W = 0
 3000 - LET W = W + 1
 3010 - IF W > LEN A\$ THEN GOTO 3030
 3012 - FOR N = 0 TO ES
 3013 - NEXT N
 3020 - GOTO CODE A\$ (W)
 3030 - SLOW

3100 - RETURN
 4000 - CLS
 4010 - LET A\$ = " ABCDEFGHIJKLMNOPQRST
 U V W X Y Z 1 2 3 4 5 6 7 8 9 0 £ \$ * ;
 ? / < > , . = + -)"
 4020 - GOSUB 2500
 4030 - GOSUB 4190
 4031 - CLS
 4032 - PRINT AT 10, 0; "QUAL EH A LETRA ?....."
 4033 - GOSUB 4190
 4035 - RAND
 4040 - LET A\$ = CHR\$ (INT (RND * 52) + 12)
 4045 - LET C\$ = A\$
 4050 - FOR Q = 0 TO 2
 4060 - GOSUB 2500
 4070 - NEXT Q
 4080 - INPUT B\$
 4081 - IF B\$ = "FIM" THEN GOTO 2001
 4095 - PRINT AT 21, 0; "ESCREVA (FIM) P/ MUDAR"
 4096 - CLS
 4100 - IF A\$ = B\$ THEN PRINT AT 10, 0; "MUITO BEM";
 B\$; "ESTA CORRETO"
 4105 - IF A\$ = B\$ THEN GOTO 4030
 4106 - PRINT AT 10, 0; "ESTA ERRADO, ", B\$; "EH ASSIM"
 4110 - GOSUB 4190
 4115 - CLS
 4120 - LET A\$ = B\$
 4130 - FOR Q = 0 TO 2

4140 - GOSUB 2500
 4150 - NEXT Q
 4160 - PRINT AT 10, 0; "VOU REPETIR NOVAMENTE"
 4170 - GOSUB 4190
 4183 - CLS
 4185 - LET A\$ = C\$
 4189 - GOTO 4050
 4190 - FOR N = 0 TO 20
 4191 - NEXT N
 4192 - RETURN
 4500 - CLS
 4510 - PRINT "QUE AULA VOCE QUER DE 1 A 9 ?"
 4520 - INPUT F
 4521 - CLS
 4530 - IF F < 1 THEN LET F = 1
 4540 - IF F > 9 THEN LET F = 9
 4550 - LET G\$ = F\$ (F)
 4555 - PRINT AT 5, 0; "AULA NR. "; F; " - "; G\$
 4560 - GOSUB 4190
 4570 - FOR H = 1 TO 6
 4580 - PRINT " "; G\$ (H);
 4585 - GOSUB 8000
 4590 - GOSUB 4190
 4600 - LET A\$ = G\$ (H)
 4605 - FOR K = 0 TO 2
 4610 - GOSUB 2500
 4615 - NEXT K
 4620 - NEXT H


```

4630 - PRINT , , "DIGITE ( E ) P/ EXERCICIO" , " OU
      ( R ) P/ REPETIR A AULA "
4640 - IF INKEY$ = " R " THEN GOTO 4500
4650 - IF INKEY$ = " E " THEN GOTO 4660
4655 - GOTO 4640
4660 - CLS
4700 - PRINT AT 10, 0; "QUE LETRA EH ESTA ? ..... "
4701 - RAND
4702 - LET HI = 0
4703 - LET NR = 1
4710 - LET HI = INT ( RND * 6 ) + 1
4720 - GOSUB 4190
4730 - LET A$ = G$ ( HI )
4735 - GOSUB 4190
4736 - INPUT J$
4737 - PRINT AT 21; 0; "ESCREVA FIM P/ MUDAR"
4738 - IF J$ = " FIM " THEN GOTO 2001
4740 - IF J$ = A$ THEN PRINT AT 10, 0; "MUITO BEM, VOCE
      ACERTOU "
4745 - IF J$ = A$ THEN GOSUB 4190
4748 - CLS
4750 - IF J$ = A$ THEN GOTO 4700
4751 - LET NR = NR + 1
4752 - IF NR > 3 THEN PRINT AT 10, 0; "VOCE JA ERROU 3,
      ESTA LETRA EH " , , , A$; " " ;
4754 - IF NR > 3 THEN LET H = HI
4755 - IF NR > 3 THEN GOSUB 8000
4756 - IF NR > 3 THEN GOSUB 4190
4757 - IF NR > 3 THEN GOSUB 4190
4758 - IF NR > 3 THEN CLS
4759 - IF NR > 3 THEN GOTO 4700
4760 - PRINT AT 10, 0; " VOCE ERROU , , , ; J$ ; " EH ASSIM "
4765 - GOSUB 4190
4770 - LET A$ = J$
4780 - GOSUB 2500
4790 - PRINT AT 10, 0; " VOU REPETIR DE NOVO "
4795 - GOSUB 4190
4796 - CLS
4800 - LET A$ = G$ ( HI )
4810 - GOTO 4735
4900 - CLS
4905 - LET Y = 0
4906 - LET CW = 0
4910 - PRINT " EXERCICIO DE QUE AULA, 1 A 9 ? "
4912 - PRINT
4915 - PRINT " EXERCICIO GERAL DIGITE (10) "
4920 - INPUT EX
4921 - CLS
4930 - IF EX < 1 THEN LET EX = 1
4940 - IF EX > 10 THEN LET EX = 10
4942 - IF EX = 10 THEN GOTO 6000
4945 - PRINT , , , " AULA NR. " ; EX
4950 - LET EX = EX * 10 - 1
4955 - LET Y = EX
4960 - LET Y = Y + 1
4965 - LET CW = CW + 1
4966 - IF CW > 10 THEN GOTO 5000
4969 - DIM S$ ( 1, 5 )
4970 - LET S$ ( 1 ) = F$ ( Y )
4975 - LET A$ = S$ ( 1 )
4980 - PRINT AT 10, 0; "QUE PALAVRA EH ESTA ? "
4981 - GOSUB 4190
4982 - GOSUB 2500
4983 - INPUT R$
4985 - IF R$ = " FIM " THEN GOTO 2001
4990 - IF A$ = R$ THEN PRINT AT 10, 0; " VOCE ACERTOU "
      ; A$ ; " ESTA CORRETO "
4992 - PRINT AT 21, 0; " ESCREVA ( FIM ) P/ MUDAR "
4995 - IF A$ = R$ THEN GOSUB 4190
4996 - CLS
4997 - IF A$ = R$ THEN GOTO 5060
4998 - IF A$ < > R$ THEN PRINT AT 10, 0; " ESTA ERRADA,
      VOU REPETIR "

```

```

5165 - GOSUB 4190
5166 - CLS
5180 - GOTO 5080
6000 - CLS
6001 - PRINT " EXERCICIO GERAL "
6005 - RAND
6010 - LET WC = INT ( RND * 30 ) + 1
6020 - LET A$ = N$ ( WC )
6080 - PRINT AT 10, 0; " QUE PALAVRA EH ESTA ? "
6090 - GOSUB 4190
6100 - GOSUB 2500
6130 - INPUT M$
6135 - IF M$ = " FIM " THEN GOTO 2001
6140 - IF A$ = M$ THEN PRINT AT 10, 0; " VC ACERTOU " ;
      A$ ; " ESTA CORRETO "
6142 - PRINT AT 21, 0; " ESCREVA ( FIM ) PARA MUDAR "
6150 - IF A$ = M$ THEN GOSUB 4190
6155 - IF A$ = M$ THEN GOTO 6000
6160 - IF A$ < > M$ THEN PRINT AT 10, 0; " ESTA ERRADA,
      VOU REPETIR "
6165 - GOSUB 4190
6170 - GOTO 6080
8000 - IF G$ ( H ) = " A " THEN PRINT " . DIDA "
8001 - IF G$ ( H ) = " B " THEN PRINT " .... DADIDIDI "
8002 - IF G$ ( H ) = " C " THEN PRINT " ... DADIDADI "
8003 - IF G$ ( H ) = " D " THEN PRINT " ... DADIDI "
8004 - IF G$ ( H ) = " E " THEN PRINT " . DI "
8005 - IF G$ ( H ) = " E " THEN PRINT " E .... DIDADIDI "
8006 - IF G$ ( H ) = " F " THEN PRINT " .... DIDADADI "
8007 - IF G$ ( H ) = " G " THEN PRINT " ... DADADI "
8008 - IF G$ ( H ) = " H " THEN PRINT " .... DIDIDIDI "
8009 - IF G$ ( H ) = " I " THEN PRINT " . DIDI "
8010 - IF G$ ( H ) = " J " THEN PRINT " ... DIDADADA "
8011 - IF G$ ( H ) = " K " THEN PRINT " ... DADIDA "
8012 - IF G$ ( H ) = " L " THEN PRINT " ... DIDADIDI "
8013 - IF G$ ( H ) = " M " THEN PRINT " - DADA "
8014 - IF G$ ( H ) = " N " THEN PRINT " - DADI "
8015 - IF G$ ( H ) = " O " THEN PRINT " - DADADA "
8016 - IF G$ ( H ) = " P " THEN PRINT " ... DIDADADI "
8017 - IF G$ ( H ) = " Q " THEN PRINT " - DADADIDA "
8018 - IF G$ ( H ) = " R " THEN PRINT " ... DIDADI "
8019 - IF G$ ( H ) = " S " THEN PRINT " ... DIDIDI "
8020 - IF G$ ( H ) = " T " THEN PRINT " - DA "
8021 - IF G$ ( H ) = " U " THEN PRINT " ... DIDIDA "
8022 - IF G$ ( H ) = " V " THEN PRINT " ... DIDIDIDA "
8023 - IF G$ ( H ) = " W " THEN PRINT " ... DIDADA "
8024 - IF G$ ( H ) = " X " THEN PRINT " ... DADIDIDA "
8025 - IF G$ ( H ) = " Z " THEN PRINT " ... DADADIDI "
8026 - IF G$ ( H ) = " 1 " THEN PRINT " .... DIDADADADA "
8027 - IF G$ ( H ) = " 2 " THEN PRINT " .... DIDADADADA "
8028 - IF G$ ( H ) = " 3 " THEN PRINT " .... DIDIDIDADA "
8029 - IF G$ ( H ) = " 4 " THEN PRINT " .... DIDIDIDIDA "
8030 - IF G$ ( H ) = " 5 " THEN PRINT " .... DIDIDIDIDI "
8031 - IF G$ ( H ) = " 6 " THEN PRINT " .... DADIDIDIDI "
8032 - IF G$ ( H ) = " 7 " THEN PRINT " .... DADADIDIDI "
8033 - IF G$ ( H ) = " 8 " THEN PRINT " .... DADADADIDI "
8034 - IF G$ ( H ) = " 9 " THEN PRINT " .... DADADADADI "
8035 - IF G$ ( H ) = " 0 " THEN PRINT " .... DADADADADA "
8036 - IF G$ ( H ) = " . " THEN PRINT " ... DIDADIDADIDA "
8037 - IF G$ ( H ) = " ; " THEN PRINT " ... DADIDADIDADI "
8038 - IF G$ ( H ) = " , " THEN PRINT " ... DADADIDIDADA "
8039 - IF G$ ( H ) = " ? " THEN PRINT " ... DIDADADIDI "
8040 - IF G$ ( H ) = " : " THEN PRINT " ... DADADADIDIDI "
8041 - IF G$ ( H ) = " / " THEN PRINT " ... DADIDIDADI "
8042 - IF G$ ( H ) = " ( ) " THEN PRINT " ... DADIDADIDADI "
8043 - IF G$ ( H ) = " > " THEN PRINT " ... DIDADIDADI "
8044 - IF G$ ( H ) = " < " THEN PRINT " ... DIDIDIDADIDA "
8045 - IF G$ ( H ) = " $ " THEN PRINT " ... DADIDADIDI "
8046 - IF G$ ( H ) = " * " THEN PRINT " ... DIDIDADIDA "
8047 - IF G$ ( H ) = " = " THEN PRINT " ... DADIDIDADI "
8048 - IF G$ ( H ) = " + " THEN PRINT " ... DIDADIDA "
8049 - IF G$ ( H ) = " - " THEN PRINT " ... DADIDIDIDADA "
8100 - RETURN

```

Passagem para a terceira parte

Quadro 2

9000 - FOR N = 16514	16523 - 211 ENTER
TO 16539	16524 - 255 ENTER
9001 - SCROLL	16525 - 16 ENTER
9002 - PRINT N,	16526 - 254 ENTER
9003 - INPUT M,	16527 - 6 ENTER
9004 - POKE N, M	16528 - 14 ENTER
9005 - PRINT PEEK N	16529 - 219 ENTER
9006 - NEXT N	16530 - 254 ENTER
GOTO 9000 ENTER	16531 - 16 ENTER
16514 - 33 ENTER	16532 - 254 ENTER
16515 - 0 ENTER	16533 - 237 ENTER
16516 - 1 ENTER	16534 - 82 ENTER
16517 - 17 ENTER	16535 - 200 ENTER
16518 - 0 ENTER	16536 - 195 ENTER
16519 - 0 ENTER	16537 - 136 ENTER
16520 - 43 ENTER	16538 - 64 ENTER
16521 - 6 ENTER	16539 - 118 ENTER
16522 - 14 ENTER	

Relação de componentes

CAPACITORES

C1, C2, C6, C8 — 0,01 μ F, poliéster
 C3, C5, C9 — 0,1 μ F, poliéster
 C4 — 2,2 μ F/16 V, eletrolítico
 C7, C11 — 100 μ F/16 V, eletrolítico
 C10 — 0,02 μ F, poliéster

RESISTORES

R1, R5 — 10 k Ω , trimpot
 R2 — 100 Ω
 R3 — 4,7 M Ω
 R4 — 10 M Ω
 R6, R10, R11 — 47 k Ω
 R7, R16, R17 — 1 M Ω
 R8 — 2,2 M Ω
 R9, R18 — 10 k Ω
 R12, R19, — 220 Ω
 R13, R14 — 100 k Ω
 R15 — 12 k Ω
 R20 — 2,2 k Ω
 R21 — 100 k Ω , trimpot
 R22 — 1 k Ω , trimpot

Obs.: Todos de 1/4 W.

SEMICONDUCTORES

CI 1 — 3900
 CI 2, CI 3 — 555
 Q1 — BC 558
 D1, D2 — OA96
 D3 — 1N4001

DIVERSOS

Relé: Schrack RU610106 p/ 6 V, 250 Ω
 1 alto-falante de 1 polegada, 500 mW, 8 Ω
 1 caixa de alumínio de 16 cm x 12 cm (aproximadamente)
 Duas fêmeas tipo P2, placa CI, soquetes para CI etc.
 A interface necessita de uma fonte de alimentação de 12 volts, estabilizada. A entrada de MIC do micro é conectada à entrada de MIC da interface.

Usando ENTER (de 1 a 100)

Quadro 3

1 ANMIUL	21 MENTE	41 FAROL	61 1 2 0 0 1	81 : / { } * .
2 LETOV B	22 TINTA	42 ADUBO	62 2 1 5 4 0	82 / , ({ * .
3 SHCPRG	23 MUITO	43 LIDER	63 1 2 4 5 0	83 . , / ? / .
4 FDJ + QY	24 VENTO	44 GORDO	64 5 3 4 3 1	84 = + - (* (
5 ZXKW\$ £	25 BULBO	45 +TRIO	65 2 3 4 1 5	85 - + = (: ;
6 0 1 2 3 4 5	26 BEATO	46 JUSTO	66 0 0 2 3 4	86 : ; ? / . (
7 4 5 6 7 8 9	27 ATIVO	47 JULHO	67 3 4 4 3 2 3	87 + \$ () ()
8 . , / - ? ;	28 BAMBU	48 S+BIO	68 3 2 4 5 2 1	88 ? / : ; . ,
9 : ({ } * * ?	29 BAMB A	49 TODAY	69 3 4 5 6 2 3	89 / . : - = -
10 ANI MA	30 BEATO	50 QUITO	70 4 3 5 2 1 2	90 , - = / ? ;
11 ANULA	31 SONHO	51 XAXIM	71 3 7 8 0 4 3	91 . , / ? ;
12 MANIA	32 BANHO	52 EXITO	72 6 5 7 6 8 7	92 (; ? : . ,
13 MUNIA	33 VENHO	53 TEXTO	73 4 9 8 1 1 2	93) . \$; : /
14 ANUAL	34 PAPEL	54 ZINCO	74 6 7 8 6 9 7	94 () ? = + -
15 ANIME	35 CESTA	55 EXAME	75 8 8 6 6 5 5	95 * / + ; : .
16 MIAMI	36 CHAPA	56 AWARD	76 7 6 6 5 4 5	96 \$ - (=) (
17 MILAN	37 RITMO	57 RA\$AS	77 1 9 0 0 8 3	97) () * / ?
18 LIANA	38 AMIGO	58 BEL £ M	78 4 5 6 7 6 4	98 + + - -)
19 ANIMO	39 GANHO	59 £ POCA	79 7 5 1 5 7 8	99 : ; - = = .
20 ANUAL	40 PLACA	60 MO\$AS	80 4 5 6 7 8 9	100 (. ; ? =

Colocação das palavras selecionadas

(conforme a seqüência de 1 a 30)
Quadro 4

1 LIBERAL	18 ENXOFF
2 PADARIA	19 GRAFIC
3 RECINTO	20 ENXOVA
4 REQUIEM	21 TALENT
5 ULTRAVE	22 PI MENT
6 VIOLETA	23 RANHE
7 CUENTRO	24 INFANT
8 ADITIVO	25 LUXURI
9 BAQUETA	26 CAMBA
10 MOSAICO	27 CASTEL
11 NAVALHA	28 DEFEIT
12 PINGUIM	29 GUI NCH
13 EPELIM	30 HECTA F
14 SISTEMA	
15 ATALAI A	
16 CALCULO	
17 MUNDIAL	

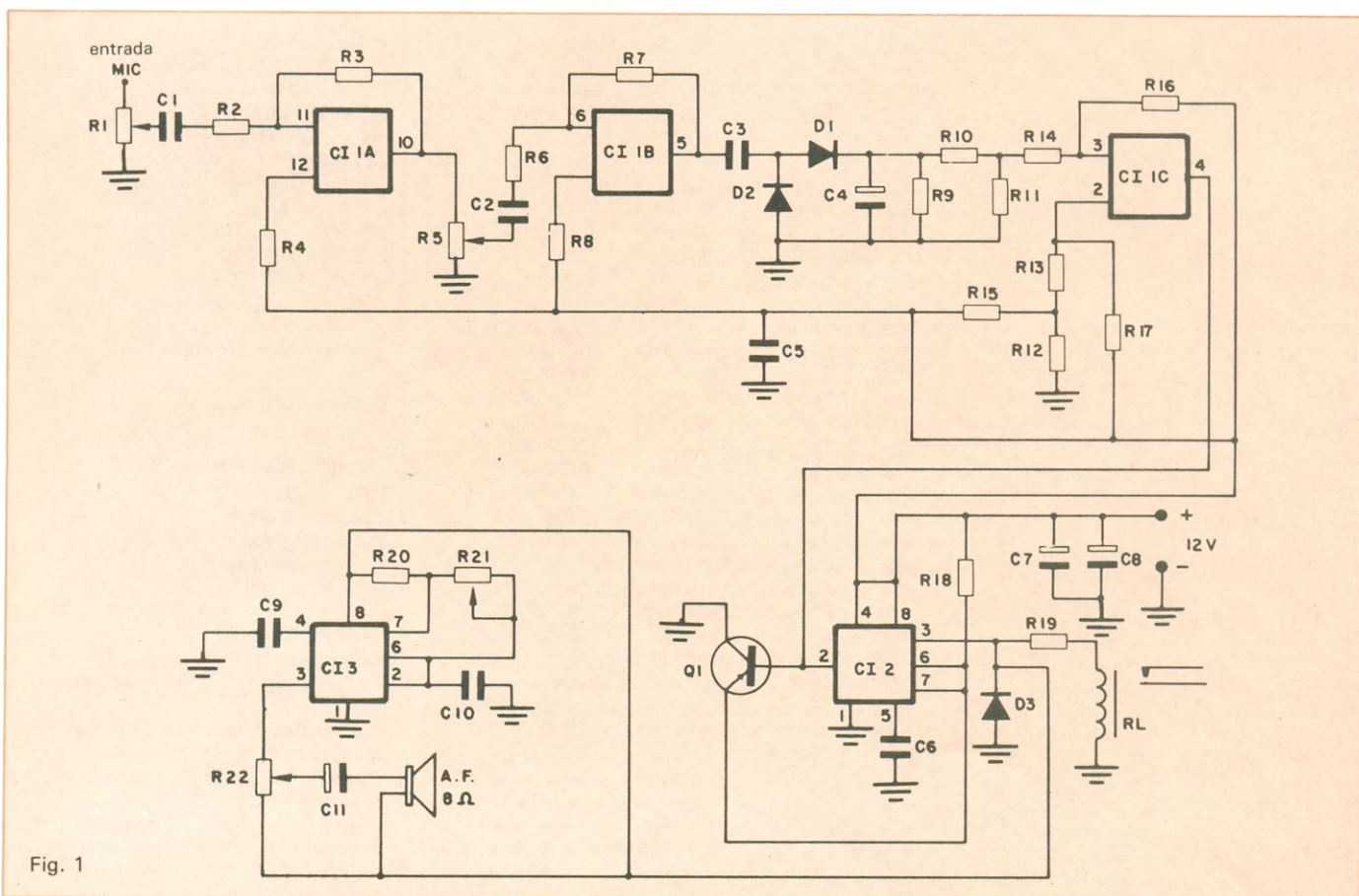


Fig. 1
Circuito para interface de CW (aplicação em micros pessoais da série TK e CP 200).

TÉCNICO EM ELETRÔNICA 2º GRAU

- 1 ano e meio de duração.
- Reconhecido pelo MEC.
- Escola cadastrada no CREA.
- Rádio - T.V. - Eletrônica: digital.
- 40 anos dedicados ao ensino técnico.

INSTITUTO EDISON DE CIÊNCIA ELETRÔNICA

Rua Tabatinguera, 122
CEP 01020 São Paulo - S.P.
Fones: (011) 36-5580 e 37-6263



PROJETOS ELETRÔNICOS "FORA DE SERIE"

LASER - ANTENA PARABÓLICA
DE SATÉLITE.
MICRO-TRANSMISSORES E
MAIS 200 PROJETOS DOS EUA.

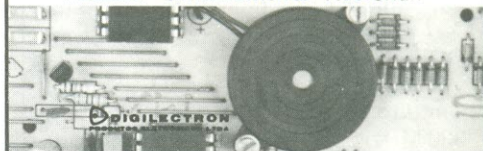
BASTA ENVIAR O VALOR DE
02 ORTNs PARA VOCÊ
RECEBER O CATÁLOGO.

DISCOVERY

01311-Av. Paulista, 2073-Sala 802
Tel.: (011) 289-1969 S. Paulo - SP - Brasil

SONALARME®

Transdutores eletroacústicos de alto rendimento para sinalização auditiva. Produto Genuinamente Nacional.



Disponível em diversos modelos para sinalização contínua, intermitente, bitonal, etc.

Representante Exclusivo: Alfatronic S.A.
Fone (011) 852-8277 Telex (011) 24.317 ALFABR



ASSISTÊNCIA TÉCNICA DE INSTRUMENTOS DE MEDIÇÃO

Laboratório especializado em: Multítester (Miter Analisador) - Alicates - Amperímetro - Voltímetro - Galvanômetros Especiais - Watímetros - Megohímetros - Teodolitos - Osciloscópios - Relógios Comparadores e Apalpadores - Micrometros de todos os tipos - Súbites Nivel de precisão - Cronômetros - Termômetros - Medidor de Vazão de Líquidos - Torquímetros - Estufas de Laboratório - Balanças Analíticas - Medidor de Umidade para Madeira - Gerador de Barra - Carregador de Tubo - Etc.

REEMBOLSO POSTAL E VARIG

LUPA INSTRUMENTOS DE MEDIÇÃO LTDA
Avenida Ipiranga, 1100 - 7.º andar Conjunto 76/77
01040 São Paulo - SP Tel.: (011) 229-7480

UMA NOVA OPÇÃO EM INDICADORES DIGITAIS MC 200



Intermatic Eletrônica Ltda

INTERMATIC ELETRÔNICA DISTRIBUIDOR

- THORNTON • CETEISA • JOTO
- TORPLAS • BEST • MOLDAÇO
- ENER • FAME • MOTORADIO
- RÖHM • MOLEX • SMK • CELIS
- SCHARACK • FE-AD • CIRCUITOS INTEGRADOS • RESISTORES
- CAPACITORES • DIODOS
- INSTRUMENTOS •

PREÇOS ESPECIAIS
RUA DOS GUSMÕES, Nº 351
FONES: 222-6105/222-5645

Eleto Componentes JB LTDA.

ORÇAMENTO GRÁTIS

intel, constante, rohm, fairchild, intersil, joto, mc, sgs, hp, mostek, ge, rca, gi, icotron, zilog, devices, monsanto, mitsubish, toshiba, smk, weston, rosvlad, molex, analog, ck, amphenol, nec, ibrape, motorola, amp, texas, national, telecomponentes, fusibras, bourns, signetics.

REEMBOLSO POSTAL
Telex (011) 36204 - JBEC
PBX - 220-3233/221-0719
NOVO ENDEREÇO

Av. Ipiranga, 919 - 14º andar
salas 1401/2 - CEP 01039 (entrada também pela Rua dos Timbiras, 445)

Simpson

DISTRIBUIDOR

- FITAS CASSETTES VAT (Zona Franca de Manaus)
- FITAS VIDEO CASSETTES VAT-VHS
- FITAS CASSETTES SCOTCH
- FITAS CASSETTES NEUTRAS
- PRODUTOS LE SON: Agulhas, Cristais, Microfones, Cápsulas, Tweeters, etc...
- CONVERSORES, FALANTES, COMPONENTES, etc...

Atendemos todo Brasil.

Consultem nossos preços e produtos.

Com. Ind. Rádio TV Simpson Ltda.
Rua Santa Ifigênia, 585
01207 - São Paulo - SP
Tel.: (011) 220-3340

SOS - SERVIÇO

VENDA DE QUALQUER MATERIAL ELETRÔNICO POR REEMBOLSO POSTAL

Um problema resolvido por você que possui uma oficina de conserto, uma loja, é estudante de eletrônica ou gosta da eletrônica e tem dificuldades em comprar peças.

ESCREVA-NOS O QUANTO ANTES.

SOS-SERVIÇO - Rua dos Guaianazes, 416
1.º and. - Centro - São Paulo - CEP. 01204
Tel. 221-1728 - DDD 011

Solicite grátis, informações sobre SOS-SERVIÇO

Nome _____
Endereço _____
Cep. _____ Bairro _____
Cidade _____ Estado _____

VENDO

ou *troco* por multímetro em bom estado, 100 revistas de eletrônica: *NE, Be-a-ba, DCE, Informática, Saber Eletrônica, Antenna Popular e Rádio Eletrônica*. Contato c/ Joaquim Monteiro Neto — Av. Transbrasiliana, 97 — Uruaçu — GO — 77480.

Circuito integrado 95H90 (divide até 320 MHz) por 3 ORTN e transformador para fonte (primário universal e secundário de 50 volts/10 Ampères) acompanhando diodos retificadores (ideal para fonte PX/PY) por 4 ORTN. Trat. c/ Sérgio Ricardo — QE 34 Cj. M — casa n.º 16 — Guará II — Brasília — DF — tel. 568.4203 — 71000.

ou *troco* xerox de artigos da NE do n.º 3 ao 90, c/ exceção dos n.ºs 21, 24, 36, 37, 38 e 39 por cartões postais ou selos. Trat. c/ Antonio Amaral — Av. Imperador, 45 — São Paulo — SP — 03745.

Todas as apostilas do curso de eletrônica, rádio e televisão do Occidental Schools. Trat. c/ Jorge L. Hynoyo — R. Presidente Bernardes, 101 — Salto — SP — 13320.

ou *troco* terminal de vídeo de 14" com teclado eletrônico de computador profissional IBM (usado), por freqüencímetro digital para até 300 MHz. Propostas para Jorge. Cx. Postal 31030 — Rio de Janeiro — RJ — 20732.

Multímetro digital; protoboard; capacitômetro digital e freqüencímetro. Trat. c/ Jean Bareel — tel. (0192) 51.2066 — Campinas — SP.

Fonte de alimentação simétrica de 30, 0, + 30 volts/1,5 A por Cr\$ 500 mil; fonte simples de 0 a 30 volts/1A por Cr\$ 250 mil e multímetro digital 3 1/2 dígitos Led (precisão de 0,2% em Vcc) por Cr\$ 600 mil. Tratar c/ Josué F. Santos — Caixa Postal 449 — Guarulhos — SP — 07111.

Saber eletrônica n.ºs 105, 107, 116, 119 e 120; *Micro Mundo*; *Vídeo News*; *Antenna*; *Rádio e TV*; *Rádio e Eletrônica*; *Exp. e Brincadeira c/ eletrônica*; *Práticas c/ CI-555* e *Curso Basic* da Editele, tudo por Cr\$ 70 mil. Trat. c/ Mário — Av. Antônio B. S. Sandoval, 539 — SP — 04783 — tel. 522.6536.

Amplificador c/ 150 W IMF e um equalizador de 10 réguas, ambos montado por técnico, excelente qualidade de som. Tratar c/ Alexandre — tel. 276.1883 — São Paulo — SP.

Pacotão eletrônico: resistências, capacitores, CIs (74C926, TAB 810AS, 74, 91 etc), TRS (BF 494, 13C 550, MCR 106, MPF 102 etc.) tudo por Cr\$ 155 mil. Caneta nipo pen 06 por Cr\$ 3 mil; perfurador PP3 por Cr\$ 7 mil; 1 par de cxs. acústicas Sanko, por Cr\$ 25 mil; gravador de rolo Westinghouse mod. H25R1A por Cr\$ 200 mil. Trat. c/ Cesário R. Costa — R. D.ª Benedita, 114 — Guarulhos — SP — 07000.

Curso completo de *Eletrônica — Rádio e Televisão*, do Instituto Rádio Técnico Monitor. Tratar c/ William — Cx. Postal 100 — Sorocaba — SP — 18100.

NE n.ºs 6 a 8, 11, 13, 26 a 30, 33, 34, 38, 40, 41, 43 a 45, 49, 50, 55, 56, 58, 60, 62 a 70, 72, 76, 77 a 83, 86, 87, 92 a 95. Tratar c/ Maria Amélia — R. Siqueira Cam-

pos, 671 — apto 33 — Santos — SP — 11100.

Toca-fitas Mitsubishi (auto reverse) p/ auto-peq. defeito, por Cr\$ 50 mil; tubo de imagem TV Telefunken mod. 595 c/ fly-back e sucata. Trat. c/ Marco Aurélio — R. 17 E, n.º 183/12 — Volta Redonda — RJ — 27180 — tel. (0243) 42.9709.

COMPRO

ou *troco* programas p/ Sinclair. Se possível enviem listas p/ Nilton S. C. — R. Francisco Franco, 92F — Bangu — RJ — 21820.

NE em bom estado (qualquer n.º até o 82). Escrevam p/ Mário M. P. Santos — Av. Antonio B. Sandoval, 539 — Interlagos — SP — 04783.

Manual de TTL em bom estado ou xerox, pago bem. *Vendo* amplificador desmontado DE 60W e amplificador Sansei de 80W. Tratar c/ Cassio — R. Mafalda, 836 — São Paulo — SP — tel. 271.7962.

troco ou *vendo* esquemas de micros (tenho mais de 25), videogames (4), interfaces p/ qualquer micro. Faço transcodificação, instalo Reset, vídeo direto/reverso e alta resolução em micros Sinclair. Tratar c/ Pedro Santos Carvalho — R. São Francisco Xavier, 657 — c.11 — Maracanã — RJ — 20550 — tel. 228.2091.

TROCO

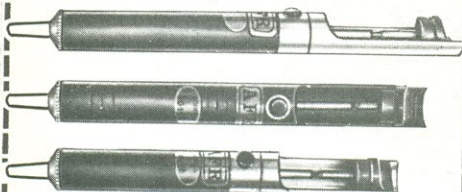
Programas p/ TK-85. Coloco vídeo inverso e led indicador em micros. *Vendo* dispositivo (sob encomenda) que preserva a memória do micro em caso de falta de energia. Marco A. Thompson — Cx. Postal 79963 — Nilópolis — RJ — 26501.

CONTATOS

O grupo Essência (Guto — guitarra, Júnior — contrabaixo) precisa de baterista, tecladista, vocalista e violonista. Estilo jazz-rock, rock psicodélico, rock pesado e free jazz. Contatos com Guto pelo telefone 23.0277 — R. Prof. João Cândido, 434 — 10.º andar — Londrina — PR — 86100.



Sugadores de solda



- QUALIDADE E DESEMPENHO.
- TRÊS MODELOS À SUA ESCOLHA.
- BICOS DE TEFLON INTERCAMBIÁVEIS COM OPÇÃO PARA BICO ANTIESTÁTICO PARA MOS/LSI.

Suporte para ferro de solda



COM ESPONJA VEGETAL PARA LIMPEZA DAS PONTAS

feito por profissionais para profissionais



Equipamentos e Acessórios Eletrônicos Ltda.
Rua Camé, 710
Cep 03121- São Paulo-SP
Telefone: (011) 914-5667

INSTRUMENTOS

* Decida sem dúvidas, erros de informação, falhas de estoque ou vacilações nas entregas.

- Completa linha de instrumentos de teste e medição.
 - Garantia de até 2 anos.
 - Assistência técnica própria permanente.
 - Sistema inédito de reposição quando em garantia.
 - Atendimento personalizado para todo o Brasil.

INFORMÁTICA

- * Ponha-se em dia com o futuro.
- Microcomputadores Prológica.
- Assistência técnica própria.
- Revendedores em todo o território nacional com a melhor assessoria para ampará-lo no momento de decisão, mesmo que você só precise de uma informação mais precisa sobre os equipamentos.

SUPRIMENTOS CPD

- * Unimos o útil ao agradável: qualidade/preço.
- Pronta entrega para todo o território nacional.
- Estoque com os mais variados produtos.
- Fitas impressoras
- Formulários
- Etiquetas
- Disquettes
- Mesas
- Estabilizadores
- Modems
- Pastas para formulários
- etc.



**AJUDANDO
A DESENVOLVER
TECNOLOGIA**

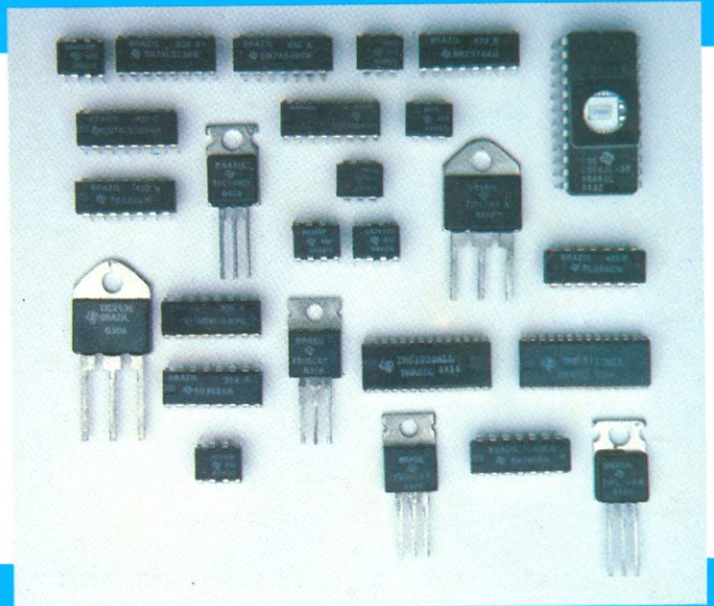
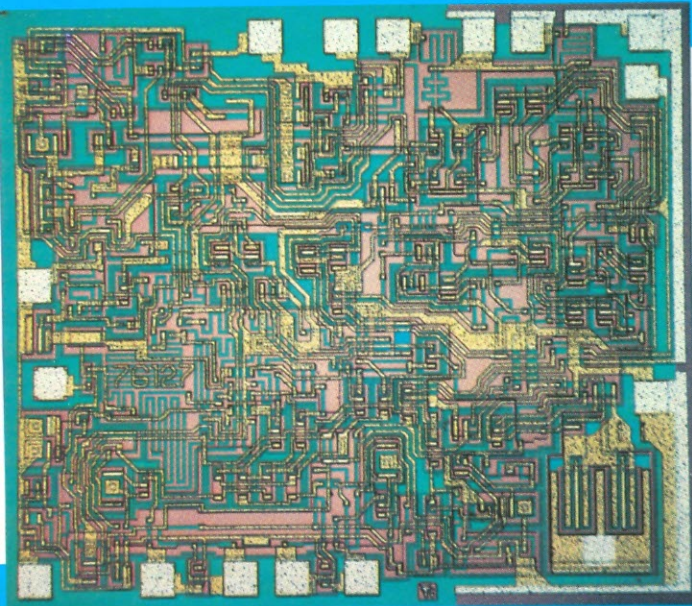
**VISITE NOSSO SHOW-ROOM OU
SOLICITE NOSSO REPRESENTANTE**

FILGRES ELETRÔNICA ATACADISTA LTDA.

**Rua Aurora, 165/171/179 – São Paulo – SP
PBX: 223-7388**

**Vendas São Paulo – Tels.: 220-7954/222-3458
Vendas outros Estados – Tels.: 223-7649/221-0147
Telex: 1131298**

Tecnologia. A arte de saber fazer.



Qualidade. A arte de fazer bem feito.

A TEXAS sabe o que faz, e faz bem feito. Detentora de avançada tecnologia e trabalhando dentro de rígidos padrões de controle de qualidade, fornece componentes semicondutores para as maiores indústrias nacionais de equipamentos eletrônicos, dentro dos padrões de qualidade e confiabilidade exigidos por elas. E o Departamento de Engenharia de Produto e Aplicações da TEXAS fornece assessoria técnica altamente especializada a seus clientes para o desenvolvimento de novos produtos.

Procure a TEXAS ou a sua rede de distribuidores autorizados. Ela sabe o que fazer por você. E ao utilizar componentes semicondutores TEXAS, você estará fazendo o melhor por você mesmo.

TEXAS 
INSTRUMENTOS
ELETRÔNICOS DO BRASIL LTDA.

DIVISÃO DE SEMICONDUCTORES

ESCRITÓRIO DE VENDAS

Rua Paes Leme, 524 - 7º andar - CEP 05424 - São Paulo - SP - Tel.: (011) 815-6166 - Telex: 1130498 -TEXI BR.

DISTRIBUIDORES AUTORIZADOS TEXAS

ALFATRONIC Av. Rebouças, 1498 05402 - São Paulo - SP Tel.: (011) 852-8277 Telex: 1124317	TITRONIX Rua Dr. Eurico Rangel, 40 04602 - São Paulo - SP Tel.: (011) 543-4766 Telex: 1131889	INTERTEK Rua Miguel Casagrande, 200 02714 - São Paulo - SP Tel.: (011) 266-2922 Telex: 1131280	L.F. Av. Ipiranga, 1100 - 8º 01040 - São Paulo - SP Tel.: (011)229-9644 Telex: 1131056	TELEIMPORT Rua Santa Ifigênia, 402 - 9º 01207 - São Paulo - SP Tel.: (011)222-2122/221-3944 Telex: 1124888
---	--	---	---	---

REVENDEDORES

C.B.G. LIMA (085) 226-6800 - Fortaleza (CE) • BARTÔ (081) 224-3699 - Recife (PE) • C.R. KAR (0512) 43-1260 - Porto Alegre (RS) • C.R. TV UNIVERSAL (0412) 23-6944 - Curitiba (PR) • ELETRO TV (031) 201-6552 - B. Horizonte (MG) • ELETRÔNICA SALVADOR (071) 243-7226 - Salvador (BA) • ELETRÔNICA SATELITE (061) 561-3258 - Taguatinga (DF) • STRAUCH (027) 222-6022 - Vitória (ES) • LIVRARIA POLIEDRO (011) 222-4297 - São Paulo (SP) • TELERÁDIO (011) 544-1722 - São Paulo (SP) • PANAMERICANA COMERCIAL (011) 222-3211 - São Paulo (SP) • UNIBRAS (011) 883-0573 - São Paulo (SP) • MICRO IC (011) 284-9116 - São Paulo (SP).

A mais completa linha de computadores pessoais.

CP 200 S

O professor ideal
para os iniciantes no
mundo da informática.



CP 300



O pequeno grande micro expansível, com enorme
base de programas.

CP 500

O
executivo
dos
executivos.
O
preferido
dos
profissionais
liberais.



CP 400 COLOR

Quem tem um
tem futuro.
O computador pessoal
que presta serviços
a toda família.



P 500 S

A
impressora
bem dotada.
Compatível com
todos os micros.



COMPUTADORES PESSOAIS

TECNOLOGIA
PROLOGICA



RUA PTOLOMEU, 650 - VILA SOCORRO
SÃO PAULO - SP - CEP 04762
FONE: (PBX) 521-1633